



**UNIVERSIDAD NACIONAL AUTÓNOMA DE MÉXICO**  
**DOCTORADO EN CIENCIAS BIOMÉDICAS**  
**INSTITUTO DE INVESTIGACIONES BIOMÉDICAS**

**ALTERACIONES EPIGENÉTICAS CON IMPACTO FUNCIONAL EN  
ADIPOCITOS DE PACIENTES OBESOS CON DIABETES**

**TESIS**  
**QUE PARA OPTAR POR EL GRADO DE:**  
**DOCTOR EN CIENCIAS**

**PRESENTA:**  
**PAULINA BACA PEYNADO**

**DIRECTORA DE TESIS:**  
**DRA. LORENA OROZCO**  
**INSTITUTO NACIONAL DE MEDICINA GENÓMICA**  
**MIEMBROS DEL COMITÉ TUTOR:**  
**DRA. IVETTE CALDELAS SÁNCHEZ**  
**INSTITUTO DE INVESTIGACIONES BIOMÉDICAS, UNAM**  
**DR. JOSÉ PEDRAZA CHAVERRI**  
**FACULTAD DE QUÍMICA, UNAM**

**CIUDAD DE MÉXICO, MÉXICO, 17 MAYO 2023**



**UNAM – Dirección General de Bibliotecas**

**Tesis Digitales**  
**Restricciones de uso**

**DERECHOS RESERVADOS ©**  
**PROHIBIDA SU REPRODUCCIÓN TOTAL O PARCIAL**

Todo el material contenido en esta tesis está protegido por la Ley Federal del Derecho de Autor (LFDA) de los Estados Unidos Mexicanos (Méjico).

El uso de imágenes, fragmentos de videos, y demás material que sea objeto de protección de los derechos de autor, será exclusivamente para fines educativos e informativos y deberá citar la fuente donde la obtuvo mencionando el autor o autores. Cualquier uso distinto como el lucro, reproducción, edición o modificación, será perseguido y sancionado por el respectivo titular de los Derechos de Autor.

## **AGRADECIMIENTOS**

No hay palabras suficientes que puedan expresar lo agradecida que estoy con todos aquellos que de alguna manera formaron parte de este proceso.

Gracias a todo el equipo del laboratorio, compañeros y doctores, por la paciencia que tuvieron para enseñarme, por integrarme y aceptarme como una más de ustedes desde que llegue al servicio social. Gracias a ustedes es que me enamore de la ciencia y me embarque en este camino. También les agradezco porque más que colegas, se convirtieron en grandes amigos.

Gracias a mis tutores, por confiar en mi desde un inicio. Gracias por compartir conmigo de sus valiosos consejos y tiempo a lo largo de este doctorado.

Gracias a mi tutora, por involucrarme en la ciencia, por guiarme y cuidarme en todos los sentidos. Espero hacerla sentir orgullosa.

Gracias a mi familia chilanga, por acogerme y darme un hogar, por apoyarme y por dejarme aprender y ser parte de ustedes.

Gracias a mis amigos, por darle alegría a mi vida. Hicieron que lo pesado se sintiera ligero, me animaron y me dieron fuerzas para seguir adelante. Gracias por perdonar mis ausencias aceptando mis limitaciones y por siempre enorgullecerse de mi.

Gracias a mis papas y hermanas, por caminar conmigo todos estos años. Por interesarse, entenderme y apoyarme incondicionalmente. Por siempre creer en mi y demostrar mi amor.

Esta tesis es tan suya como mía porque no estaría aquí si no fuera por ustedes.

¡Gracias vida! Porque estoy contenta con lo que aprendí en este proceso.

Esta tesis reconoce la complejidad de la obesidad como una enfermedad y le dedica su estudio.

Dedicado a mi papito.  
¡Si me titulé!

# ÍNDICE

<b>1. ÍNDICE DE FIGURAS.....</b>	<b>6</b>
<b>2. ÍNDICE DE TABLAS .....</b>	<b>8</b>
<b>3. LISTA DE ABBREVIATURAS .....</b>	<b>10</b>
<b>4. RESUMEN .....</b>	<b>11</b>
<b>5. ABSTRACT.....</b>	<b>13</b>
<b>6. INTRODUCCIÓN .....</b>	<b>15</b>
6.1. La obesidad .....	15
6. 2. Fisiopatología de la obesidad .....	16
6. 3. Insulina y la resistencia a la insulina .....	20
6. 4. Diabetes mellitus tipo 2 .....	25
6. 5. Fisiopatología de la diabetes tipo 2 .....	26
6. 6. Etiología de la diabetes tipo 2 y su relación con la obesidad.....	27
6. 7. Epigenética en diabetes tipo 2 y obesidad.....	29
6. 8. Metilación del ADN en obesidad y diabetes tipo 2 .....	33
<b>7. JUSTIFICACIÓN.....</b>	<b>35</b>
<b>8. HIPÓTESIS.....</b>	<b>36</b>
<b>9. OBJETIVO GENERAL .....</b>	<b>36</b>
<b>10. OBJETIVOS ESPECÍFICOS.....</b>	<b>36</b>
<b>11. MATERIAL Y MÉTODOS.....</b>	<b>37</b>
<b>11. 1. Reclutamiento de pacientes .....</b>	<b>38</b>
11. 1. 1. Criterios de inclusión de pacientes .....	39
11. 1. 2. Criterios de exclusión .....	39
11. 1. 3. Criterios de eliminación de pacientes.....	39
<b>11. 2. Extracción de ácidos nucleicos .....</b>	<b>40</b>
11. 2. 1. Extracción de ADN .....	40
11. 2. 2. Extracción de ARN .....	40
11. 2. 3. Integridad de ácidos nucleicos .....	40
<b>11. 3. Análisis de ácidos nucleicos.....</b>	<b>41</b>
11. 3. 1. Análisis de la metilación del ADN .....	41
11. 3. 2. Análisis de expresión .....	41
<b>11. 4. Procesamiento y análisis de datos genómicos .....</b>	<b>42</b>
11. 4. 1. Datos de metilación.....	42

Deleted:

Deleted:

Deleted:

Deleted:

11. 4. 2. Datos de expresión .....	44	
11. 4. 3. Análisis de correlación entre la metilación y la expresión.....	<u>44</u>	Deleted
11. 4. 4. Análisis de enriquecimiento funcional.....	45	
11. 4. 5. Validación de metilación diferencial en pacientes con diabetes tipo 2.....	<u>45</u>	Deleted
<b>11. 5. Análisis estadísticos adicionales .....</b>	<b>46</b>	
<b>12. RESULTADOS .....</b>	<b>46</b>	Deleted:
12. 1. Características clínicas de los pacientes.....	47	
12. 2. Análisis de metilación global .....	<u>47</u>	Deleted:
12. 3. Análisis de metilación diferencial entre pacientes con obesidad y diabetes tipo 2 y pacientes con obesidad y sin diabetes tipo 2 .....	52	
12. 4. Identificación de regiones diferencialmente metiladas entre pacientes con obesidad y diabetes tipo 2 y pacientes con obesidad y sin diabetes tipo 2.....	59	
12. 5. Análisis de enriquecimiento funcional.....	61	
12. 6. Análisis de expresión diferencial entre pacientes con obesidad y diabetes tipo 2 y pacientes con obesidad y sin diabetes tipo 2 .....	62	
12. 7. Alteraciones en la metilación del ADN y expresión.....	64	
12. 8. Correlación entre la metilación alterada y la expresión .....	66	
12. 9. Correlación entre la metilación alterada y niveles de glucosa en ayunas y HbA1c.....	67	
12. 10. Validación de metilación diferencial.....	69	
<b>13. DISCUSIÓN.....</b>	<b>73</b>	
<b>14. CONCLUSIONES.....</b>	<b>84</b>	
<b>15. REFERENCIAS .....</b>	<b>86</b>	
<b>16. DERIVADOS DEL TRABAJO.....</b>	<b>95</b>	
16.1. Presentación de avances en congresos y sesiones .....	95	
16.2. Publicación .....	96	
<b>17. ANEXOS .....</b>	<b>103</b>	
17. 1. Autorización de los comités de investigación .....	103	
17. 2. Tablas anexas.....	104	

## **1. ÍNDICE DE FIGURAS**

<b>Figura 1. Aspectos de la disfunción del adipocito en contexto de desbalance energético.....</b>	<b>17</b>
<b>Figura 2. Esquema de las vías de señalización de la insulina en el adipocito.....</b>	<b>21</b>
<b>Figura 3. Patogénesis de la obesidad visceral y la diabetes tipo 2.....</b>	<b>23</b>
<b>Figura 4. Factores que contribuyen al desarrollo de obesidad y diabetes tipo 2.....</b>	<b>28</b>
<b>Figura 5. Funciones de la metilación del ADN en la regulación de la expresión génica.....</b>	<b>31</b>
<b>Figura 6. Estrategia experimental.....</b>	<b>38</b>
<b>Figura 7. Dendograma del agrupamiento jerárquico no supervisado con muestras públicas y del estudio.....</b>	<b>48</b>
<b>Figura 8. Gráfico de la densidad de los datos crudos de metilación.....</b>	<b>49</b>
<b>Figura 9. Distribución de la metilación global por regiones genómicas.....</b>	<b>50</b>
<b>Figura 10. Dendograma del agrupamiento jerárquico no supervisado de la metilación global...</b>	<b>51</b>
<b>Figura 11. Metilación diferencial entre los pacientes con obesidad y diabetes tipo 2 y pacientes con obesidad y sin diabetes tipo 2.....</b>	<b>52</b>
<b>Figura 12. Agrupamiento de los pacientes con obesidad y diabetes tipo 2 y pacientes con obesidad y sin diabetes tipo 2 según los perfiles de metilación de los CpGs diferencialmente metilados .....</b>	<b>56</b>
<b>Figura 13. Distribución de la metilación de los CpGs diferencialmente metilados por regiones genómicas.....</b>	<b>58</b>
<b>Figura 14. Región diferencialmente metilada entre pacientes con obesidad y diabetes tipo 2 y pacientes con obesidad y sin diabetes tipo 2.....</b>	<b>60</b>
<b>Figura 15. Análisis de enriquecimiento funcional de los CpGs diferencialmente metilados.....</b>	<b>61</b>

<b>Figura 16. Análisis de enriquecimiento funcional de los regiones diferencialmente metiladas..</b>	<b>62</b>
<b>Figura 17. Expresión diferencial entre pacientes con obesidad y diabetes tipo 2 y pacientes con obesidad y sin diabetes tipo 2.....</b>	<b>63</b>
<b>Figura 18. Análisis de enriquecimiento funcional de los genes diferencialmente expresados....</b>	<b>64</b>
<b>Figura 19. Traslape entre la metilación y expresión diferencial.....</b>	<b>66</b>
<b>Figura 20. Correlación entre la metilación diferencial, expresión génica, niveles de glucosa en ayunas y HbA1c .....</b>	<b>68</b>
<b>Figura 21. Metilación diferencial entre pacientes con obesidad y diabetes tipo 2 y pacientes con obesidad y sin diabetes tipo 2 de datos públicos independientes.....</b>	<b>69</b>
<b>Figura 22. Metilación diferencial entre pacientes con obesidad y diabetes tipo 2 y pacientes con obesidad y sin diabetes tipo 2 de cohorte multiétnica.....</b>	<b>71</b>
<b>Figura 23. Región diferencialmente metilada entre pacientes con obesidad y diabetes tipo 2 y pacientes con obesidad y sin diabetes tipo 2 en estudio multiétnico.....</b>	<b>72</b>
<b>Figura 24. Resumen de los procesos y funciones en el adipocito con alteraciones en la metilación o expresión en pacientes con obesidad y diabetes tipo 2.....</b>	<b>85</b>

## **2. ÍNDICE DE TABLAS**

<b>Tabla 1. Características clínicas de los pacientes.....</b>	<b>47</b>
<b>Tabla 2. Genes con CpGs diferencialmente metilados en regiones con mayor densidad de alteraciones en cromosomas 4 y 11.....</b>	<b>53</b>
<b>Tabla 3. Genes con CpGs diferencialmente metilados sin asociación previa con diabetes tipo 2.....</b>	<b>54</b>
<b>Tabla 4. Genes con CpGs diferencialmente metilados previamente asociados con diabetes tipo 2.....</b>	<b>55</b>
<b>Tabla 5. Genes con mayores cambios en la expresión sin alteraciones en la metilación del ADN...</b>	<b>81</b>

## **ANEXAS**

<b>Tabla Anexa 1. Sitios CpGs diferencialmente metilados entre pacientes con obesidad y diabetes tipo 2 y pacientes con obesidad y sin diabetes tipo 2 .....</b>	<b>104</b>
<b>Tabla Anexa 2. Regiones diferencialmente metiladas entre pacientes con obesidad y diabetes tipo 2 y pacientes con obesidad y sin diabetes tipo 2 .....</b>	<b>124</b>
<b>Tabla Anexa 3. Análisis de enriquecimiento de vías de la Encyclopedia de Genes y Genomas de Kioto de CpGs diferencialmente metilados en pacientes con obesidad y diabetes tipo 2 .....</b>	<b>126</b>
<b>Tabla Anexa 4. Genes diferencialmente expresados entre pacientes con obesidad y diabetes tipo 2 y pacientes con obesidad y sin diabetes tipo 2 .....</b>	<b>129</b>

<b>Tabla Anexa 5. Traslape entre cambios en la metilación del ADN y la expresión génica (CpG diferencialmente metilado - gen diferencialmente expresado) y sus valores de correlación entre la metilación con la expresión y con niveles de glucosa en ayunas y HbA1c.....</b>	<b>133</b>
<b>Tabla Anexa 6. Análisis de enriquecimiento de vías de la Enciclopedia de Genes y Genomas de Kioto de CpGs diferencialmente metilados – genes diferencialmente expresados .....</b>	<b>134</b>
<b>Tabla Anexa 7. CpGs diferencialmente metilados validados en cohortes combinadas a un valor de <i>p</i> nominal.....</b>	<b>135</b>
<b>Tabla Anexa 8. Análisis de enriquecimiento de vías de la Enciclopedia de Genes y Genomas de Kioto de los CpGs diferencialmente metilados validados con la misma dirección en la Tabla 2.....</b>	<b>140</b>
<b>Tabla Anexa 9. CpGs diferencialmente metilados entre pacientes con obesidad y diabetes tipo 2 y pacientes con obesidad y sin diabetes tipo 2 del análisis de metilación extendida.....</b>	<b>141</b>
<b>Tabla Anexa 10. Análisis de enriquecimiento de vías de la Enciclopedia de Genes y Genomas de Kioto de los CpGs diferencialmente metilados del análisis extendido de metilación.....</b>	<b>156</b>
<b>Tabla Anexa 11. Regiones diferencialmente metiladas entre pacientes con obesidad y diabetes tipo 2 y pacientes con obesidad y sin diabetes tipo 2 en el análisis extendido de metilación....</b>	<b>158</b>

### **3. LISTA DE ABREVIATURAS**

1st Exon	Primer exón
3'UTR	Región no traducida 3'
5'UTR	Región no traducida 5'
ADN	Ácido desoxirribonucleico
Body	Cuerpo del gen
CGI	Islas CpG
dl	Decilitros
ENSANUT	Encuesta de Salud y Nutrición
FDR	Tasa de descubrimientos falsos
HbA1c	Hemoglobina glicosilada
HOMA-IR	Modelo homeostático para la resistencia a la insulina
IGR	Región intergénica
IMC	Índice de masa corporal
Kg	Kilogramos
mg	Miligramos
MHC	Complejo mayor de histocompatibilidad
mmHg	Milímetros de mercurio
pb	Pares de bases
SNP	Polimorfismos de un solo nucleótido
TSS	Sitio de inicio de transcripción
TSS1500	1,500-200 pb río arriba del sitio de inicio de transcripción
TSS200	200 pb río arriba del sitio de inicio de transcripción

## 4. RESUMEN

La obesidad se acompaña por un exceso en la acumulación de grasa en el tejido adiposo, lo cual puede conllevar a su disfunción, al desarrollo de resistencia a la insulina y/o a diabetes tipo 2. Sin embargo, hay individuos que, a pesar de presentar un alto grado de adiposidad, no desarrollan estas complicaciones metabólicas. Los estudios que han investigado las variantes genéticas de predisposición muestran que la tendencia a desarrollar diabetes tipo 2 en obesidad no puede ser explicada únicamente por la variación genética. De hecho, tanto la diabetes tipo 2 como la obesidad se consideran enfermedades multifactoriales que resultan de la interacción entre factores medioambientales y la predisposición genética. La interacción entre estos puede ser mediada por mecanismos epigenéticos, tales como la metilación del ADN. El presente estudio tuvo como objetivo identificar los cambios en la metilación del ADN y en la expresión génica en el tejido adiposo visceral que subyacen a la susceptibilidad de desarrollar diabetes tipo 2 en pacientes con obesidad. Para lograr el objetivo, se analizaron y se compararon los perfiles de metilación y de expresión entre pacientes con obesidad y diabetes tipo 2 contra los de pacientes con obesidad, pero sin diabetes tipo 2.

La metilación a escala del genoma fue analizada usando el arreglo Infinium EPIC Array. Buscando las diferencias entre los grupos, se identificaron múltiples alteraciones tanto en CpGs individuales como agrupados distribuidos a lo largo de los cromosomas, observándose una mayor densidad de estas en el locus del complejo mayor de histocompatibilidad. Estas alteraciones se encontraron en genes nueva y previamente relacionados a diabetes tipo 2, tales como la Lisocardiolipina aciltransferasa 1 (*LCLAT1*), Repetición de tetratricopéptido y de anikrina 1 (*TRANK1*), Proteína asociada al cáncer de mama (*BLCAP*) y la Peptidasa M20 (*PM20D1*). Varios de

estos hallazgos fueron apoyados por el análisis extendido y multiétnico realizado. Adicionalmente, el análisis de la expresión medida por el microarreglo Clariom S Human Microarray, reveló diferencias en la expresión de genes relacionados a procesos que favorecen el desarrollo de diabetes tipo 2. Notablemente, se encontró un traslape entre la metilación y la expresión alterada en genes que participan en la señalización de *PPARG* y en vías metabólicas. Un subconjunto de estos, incluyendo la ATPasa transportadora de fosfolípidos 11A (*ATP11A*), la Lipoproteína lipasa (*LPL*) y la Proteína 2 que contiene el dominio EH (*EHD2*), también revelaron correlaciones significativas entre su metilación y sus niveles de expresión, así como con niveles de glucosa en ayunas y HbA1c tras medir la correlación de Pearson usando un análisis de permutaciones.

Nuestros resultados revelaron nuevos genes candidatos relacionados con la patogénesis de diabetes tipo 2 en obesidad, y genes previamente asociados, pero sin alteraciones epigenéticas descritas. Interesantemente, algunos de estos genes presentaron perturbaciones en sus perfiles de metilación y de expresión lo cual sugiere que su actividad transcripcional puede ser influenciada por un desarreglo epigenético. Se demostró que la metilación del ADN es un biomarcador potencial al ser capaz de discriminar entre los pacientes con obesidad y diabetes tipo 2 de aquellos con obesidad, pero sin diabetes, aportando más evidencia de su relevancia en diabetes tipo 2.

## 5. ABSTRACT

Obesity is accompanied by excess adipose fat storage, which may lead to adipose dysfunction, insulin resistance, and type 2 diabetes. However, some individuals with high adiposity remain free of these metabolic disturbances. Studies addressing the genetic predisposing variants show that the tendency to develop type 2 diabetes in obesity cannot be explained by genetic variation alone. In fact, these diseases are considered as multifactorial which result from the interplay between environmental factors and genetic predisposition. The interaction between them can be mediated by epigenetic mechanisms, such as DNA methylation. The present study aimed to identify changes in DNA methylation and gene expression in visceral adipose tissue that might underlie type 2 diabetes susceptibility in patients with obesity. To meet this aim, the methylation and expression profiles were analyzed and compared between patients with obesity and type 2 diabetes to those from patients with obesity but without diabetes.

The genome-scale methylation was assessed by the Infinium EPIC Array. Looking for differences between the groups, multiple alterations were identified at individual and at clustered CpGs distributed across all chromosomes, with the greatest density of epigenomic alterations at the major histocompatibility complex locus. These alterations were found in newly and previously type 2 diabetes-related genes such as Lysocardiolipin Acyltransferase 1 (*LCLAT1*), Tetrastricopeptide Repeat And Ankyrin Repeat Containing 1 (*TRANK1*), Bladder cancer associated protein (*BLCAP*) and Peptidase M20 Domain Containing 1 (*PM20D1*). Several of these findings were supported by validation and extended multi-ethnic analyses. Additionally, the gene expression profiles measured by the Clariom S Human Microarray, revealed several differences in genes related to processes favoring type 2 diabetes development. Notably, an overlap

between altered methylation and expression was found in genes with a participation in *PPARG* signaling and metabolic pathways. A subset of them, including ATPase Phospholipid Transporting 11A (*ATP11A*), Lipoproteinlipase (*LPL*) and EH Domain Containing 2 (*EHD2*), also had significant correlations between their methylation and expression levels as well as with type 2 diabetes-related traits, such as HbA1c and fasting glucose, when testing for Pearson correlation using a bootstrap analysis.

Our results revealed novel candidate genes related to type 2 diabetes pathogenesis in obesity, and genes previously related but with unknown epigenetic alterations described. Interestingly, some of these genes showed perturbations in their methylation and expression profiles, which suggests that their transcriptional activity might be influenced by an epigenetic impairment. DNA methylation showed to be a potential biomarker by being able to discriminate patients with obesity and type 2 diabetes from patients with obesity but without diabetes, further providing evidence on its relevance in type 2 diabetes.

## **6. INTRODUCCIÓN**

### **6.1. La obesidad**

La obesidad y el sobrepeso son un estado patológico que se caracterizan por el aumento de peso corporal por un incremento en la acumulación de grasa. Según la Organización Mundial de la Salud (OMS), la prevalencia mundial del sobrepeso y la obesidad casi se ha triplicado desde 1975. A pesar de los múltiples esfuerzos, en la mayoría de los países la tendencia sigue en aumento, convirtiendo a la obesidad en un grave problema de salud pública (1). En México, según la última Encuesta de Salud y Nutrición (ENSANUT) publicada en el 2018, el porcentaje de adultos con sobrepeso y obesidad fue mayor al 75%, una cifra superior al 71.3% de descrita en el 2012 (2). Aunado a esto, se ha observado un dramático incremento en la incidencia de las comorbilidades de la obesidad, tales como la diabetes tipo 2, enfermedades cardiovasculares y cáncer, entre otras. De manera notable, este incremento se ha observado también en adultos jóvenes y en niños.

De los indicadores más utilizados para el diagnóstico de la obesidad, se encuentra el índice de masa corporal (IMC), el cuál se obtiene al dividir el peso del individuo en kilogramos entre su talla en metros al cuadrado ( $\text{kg}/\text{m}^2$ ). Según el Centro para el Control y la Prevención de Enfermedades (CDC) y la OMS, el IMC normal en adultos se define en un rango de 18.5 a 24.9  $\text{kg}/\text{m}^2$ , mientras que un  $\text{IMC} \geq 25 \text{ kg}/\text{m}^2$  es considerado como sobrepeso y un  $\text{IMC} \geq 30 \text{ kg}/\text{m}^2$  es catalogado como obesidad. A su vez, la OMS clasifica la obesidad en grado I cuando el IMC es  $\geq 30 \text{ kg}/\text{m}^2$ , grado II cuando el IMC es  $\geq 35 \text{ kg}/\text{m}^2$  y grado III o mórbida  $\geq 40 \text{ kg}/\text{m}^2$  (3). Sin embargo, aunque el IMC es

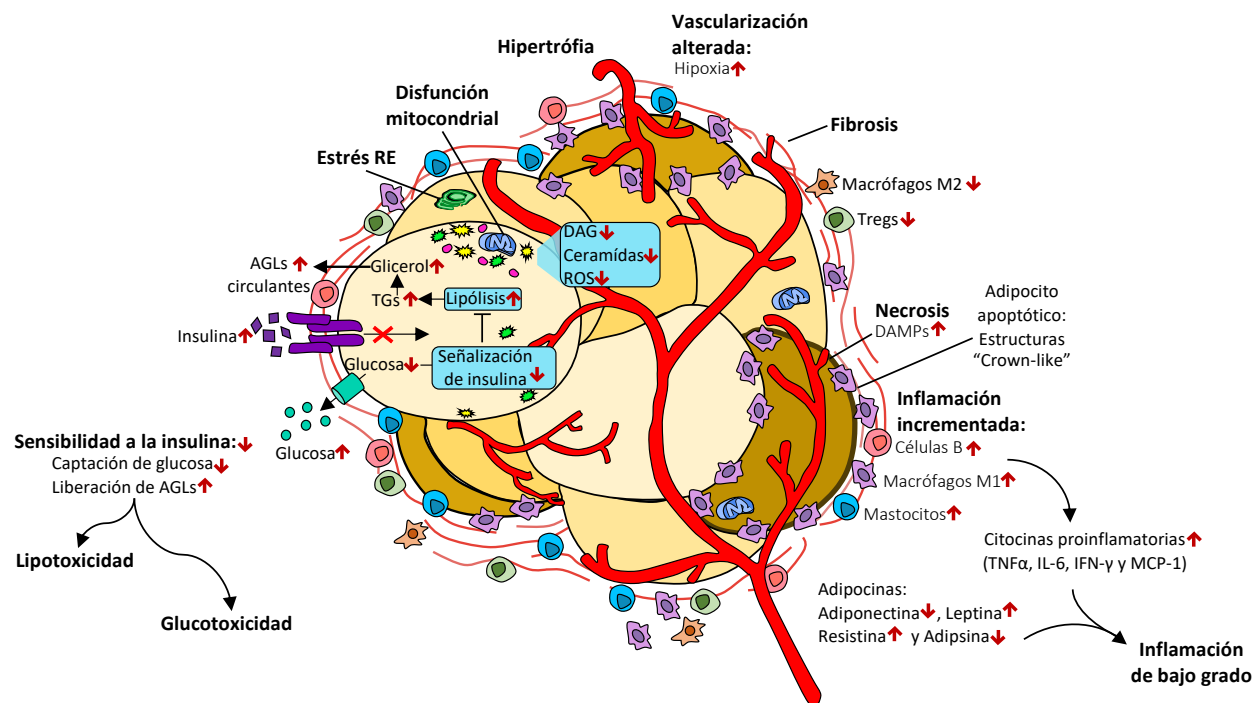
la herramienta más utilizada para definir la obesidad, el mejor predictor de los efectos deletéreos que la adiposidad puede ocasionar es la obesidad abdominal (4)

## **6. 2. Fisiopatología de la obesidad**

La obesidad es una enfermedad de origen multifactorial que resulta de un desequilibrio entre la ingesta calórica y el gasto energético. Cuando la ingesta excede al gasto, el exceso de energía es almacenada como triglicéridos en el tejido adiposo, favoreciendo su expansión y como consecuencia, se observa un incremento de la masa corporal. Dicha sobrecarga puede llegar a perturbar el funcionamiento del tejido adiposo, conocido también como adiposopatía. De hecho, se ha propuesto que más que la expansión del tejido adiposo, la afectación en su función es la que tiene una contribución fundamental en el desarrollo de sus comorbilidades, dentro de las cuales la diabetes tipo 2 es una de las más devastadoras, reafirmando así la necesidad de entender la relación entre la obesidad y la diabetes tipo 2 para desarrollar mejores estrategias de prevención y tratamiento (5).

Se ha sugerido que en etapas tempranas de la obesidad existe una expansión principalmente del tejido adiposo subcutáneo y que la deposición en tejido adiposo visceral ocurre después de que la capacidad de subcutáneo se ha rebasado. Al sostenerse la sobrecarga calórica, los adipocitos continúan almacenando activamente los triglicéridos y buscan mantener su capacidad lipolítica normal para compensar dicha sobrecarga. Conforme la adiposidad incrementa, la habilidad de los adipocitos para funcionar como células endocrinas y de secretar adipocinas se va afectando.

La excesiva demanda de contener los lípidos en el tejido adiposo y la consecuente sobrecarga metabólica conllevan a alteraciones en el proceso de remodelación del tejido adiposo, como hipertrofia del adipocito, hipoxia, alteraciones en la angiogénesis, disfunción mitocondrial y disfunción autofágica, entre otros (Fig. 1). Estos son algunos de los eventos iniciales que dan pie a las anormalidades necróticas en el adipocito y se ha propuesto que el incremento de adipocitos muertos o disfuncionales en la obesidad, afectan la función del tejido y contribuyen a un fenotipo proinflamatorio (6).



**Figura 1. Aspectos de la disfunción del adipocito en contexto de desbalance energético.**

Conforme la ingesta calórica incrementa durante la obesidad, los adipocitos aumentan de tamaño (hipertrofia) para contener el excedente calórico en forma de triglicéridos. Esto, impone una sobrecarga en las funciones metabólicas lo cual compromete su función y favorece a un

ambiente pro-inflamatorio tanto de manera local como en otros tejidos. AGLs: ácidos grasos libres; DAG: diacilglicerol; DAMPs: patrones moleculares asociados al daño; ROS: especies reactivas de oxígeno; TGs: triglicéridos. Figura modificada del ePoster de Metabolic Syndrome, Nature Medicine 2011 (Vol. 17, No.7)

Cuando la obesidad permanece por un largo periodo, el balance neto entre lo pro y antiinflamatorio cambia hacia inflamación crónica de bajo grado, estado característico de la obesidad. La población de macrófagos que habitualmente se encuentra en el tejido adiposo son los macrófagos M2 que, a diferencia de los macrófagos M1, secretan citocinas antiinflamatorias. Normalmente, la relación de macrófagos M2:M1 en tejido adiposo es de 4:1 y estos pueden llegar a ocupar el 10% de la totalidad del tejido. Sin embargo, en la obesidad esta relación se invierte y los macrófagos M1 pueden llegar a ocupar hasta el 50% de la totalidad de la población celular del tejido adiposo. Los adipocitos disfuncionales muestran una expresión y secreción incrementada de citocinas proinflamatorias como interleucina (IL) -6, IL-8, proteína quimoatravente de monocitos 1 (MCP-1), factor de necrosis tumoral alfa (TNF- $\alpha$ ), inhibidor del activador del plasminógeno (PAI-1), leptina y resistina, las cuales favorecen la infiltración y polarización de los macrófagos M1, quienes rodean al adipocito formando estructuras semejantes a una corona, conocidas como “Crown like”. A su vez, los macrófagos M1 retroalimentan el incremento de la secreción de citocinas inflamatorias, exacerbando aún más el estado inflamatorio (7,8).

Además, múltiples estudios han demostrado que la respuesta inflamatoria del tejido adiposo difiere dependiendo de la ubicación del tejido, por ejemplo, la acumulación de macrófagos M1

es mayor en tejido adiposo visceral que en tejido adiposo subcutáneo. Los niveles de mRNA de Proteína quimoatrayente de monocitos 1 (*MCP-1*), Factor de necrosis tumoral alfa (*TNF-α*), Interleucina 8 y 6 (*IL-8, IL-6*), Inhibidor del activador de plasminógeno 1 (*PAI-1*) y marcadores de macrófagos como el Grupo de diferenciación 14 y 163 (CD14 y CD163) también son más altos en tejido adiposo visceral que en el subcutáneo. Aunado a esto, la regulación lipolítica difiere entre estos tejidos. Los adipocitos de tejido adiposo visceral son metabólicamente más activos, mostrando una mayor capacidad lipolítica y una mayor lipólisis inducida por catecolaminas (como en la termogénesis). La capacidad lipolítica incrementada causa un aumento en la liberación de los ácidos grasos libres por tejido adiposo visceral los cuales son acumulados ectópicamente en tejidos no-grasos tales como el músculo, hígado, páncreas y otros órganos. Este incremento en la liberación de ácidos grasos libres promueve la lipotoxicidad ya que los lípidos y sus metabolitos favorecen al estrés del retículo endoplásmico y el estrés oxidativo en la mitocondria, promoviendo así la disfunción endotelial y ejerciendo daño en los tejidos al alterar la señalización mediada por insulina (9). La sangre proveniente del tejido adiposo visceral ingresa directamente al hígado a través de la vena porta, permitiendo el acceso de ácidos grasos libres y adipocinas proinflamatorias al interior del hígado, lo cual activa la producción de mediadores inflamatorios como la proteína C reactiva (PCR). De hecho, los niveles de PCR muestran una correlación positiva con la circunferencia de cintura.

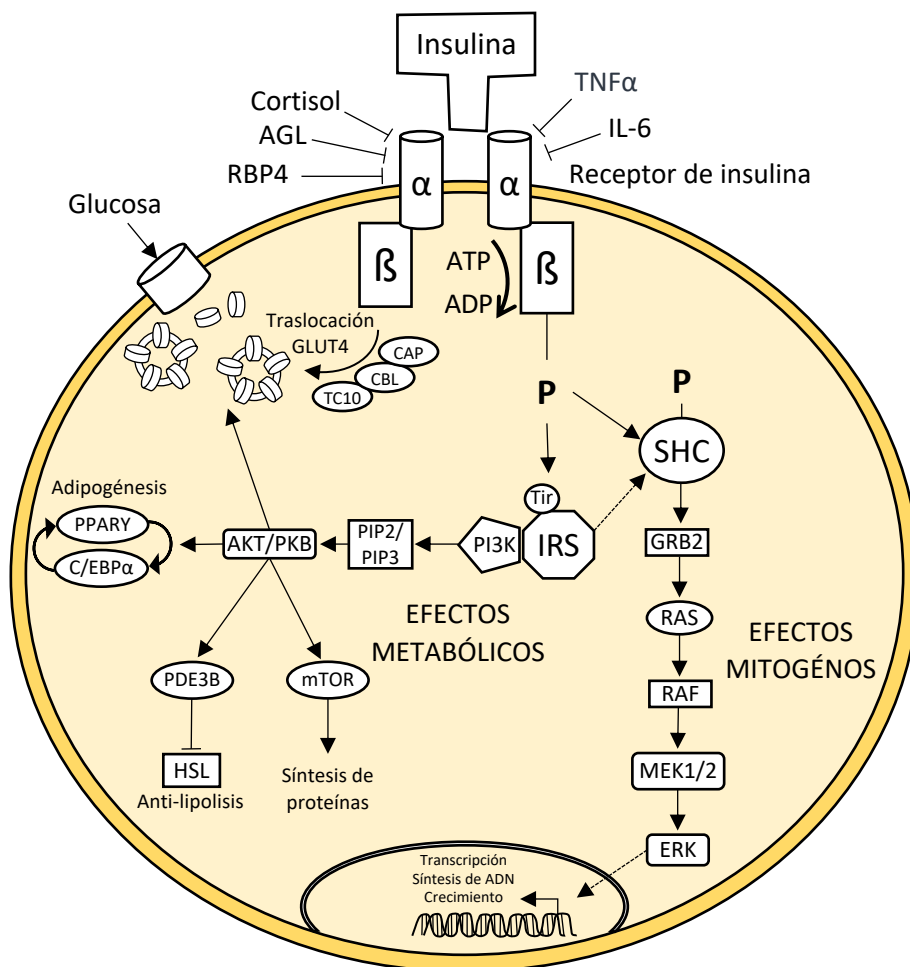
Lo anterior explica por que la obesidad androide (acumulación de grasa troncal/central o con forma de “manzana”) la cual refleja un incremento en tejido adiposo visceral más que la ginecoide (predomina la acumulación de grasa gluteofemoral, forma de “pera”), presenta una

mayor correlación con la resistencia a la insulina y la diabetes tipo 2. También se muestra que el incremento en el peso de un individuo no determina el estado de salud, sino que ésta depende del tejido y del funcionamiento de éste. Así, una expansión no disfuncional del tejido adiposo podría amortiguar el exceso de lípidos sin causar estrés metabólico. Por tanto, es importante estudiar más a detalle las diferencias entre aquellos sujetos que logran una expansión que mantiene la sensibilidad a la insulina de aquellos que no (9,10).

### **6. 3. Insulina y la resistencia a la insulina**

La insulina es una hormona anabólica particularmente esencial en el transporte intracelular de glucosa en tejidos dependientes de insulina tales como músculo y tejido adiposo. Esta hormona media sus efectos a través de su unión a receptores localizados en múltiples órganos (músculo, tejido adiposo, hígado, páncreas, timo, cerebro, riñón, etc.) y son capaces de unirse a otras moléculas desencadenando así la cascada de señalización de la insulina y dar pie así a sus acciones en cada tejido. Dicha unión genera un cambio conformacional que permite la unión de ATP en su parte intracelular desencadenando la fosforilación de esta subunidad confiriéndole la actividad de tirosina cinasa y así la propiedad de fosforilar en residuos de tirosina a los Sustratos 1 y 2 de los receptores de insulina (IRS-1 e IRS-2), quienes activan la vía del fosfatidilinositol 3 cinasa (PI3K)-AKT/proteína cinasa B (PKB). La vía del fosfatidilinositol 3 cinasa PI3K promueve la translocación de los transportadores de glucosa, la síntesis de glucógeno, de lípidos y proteínas, presenta un efecto anti lipolítico e inhibe la gluconeogénesis hepática. Los sustratos 1 y 2 de los receptores de insulina también interactúan con la proteína 2 unida al receptor del factor de crecimiento (GRB2) quien a su vez interactúa con la proteína de sarcoma de rata (RAS). La vía de

señalización de la proteína de sarcoma de rata RAS activa factores de transcripción y estimula las acciones de crecimiento de la insulina. Por tanto, la vía del fosfatidilinositol 3 cinasa PI3K media sus efectos metabólicos y de la proteína de sarcoma de rata RAS media sus efectos mitógenos (11). En la Figura 2 se muestra a mayor detalle la señalización mediada por insulina (11,12).

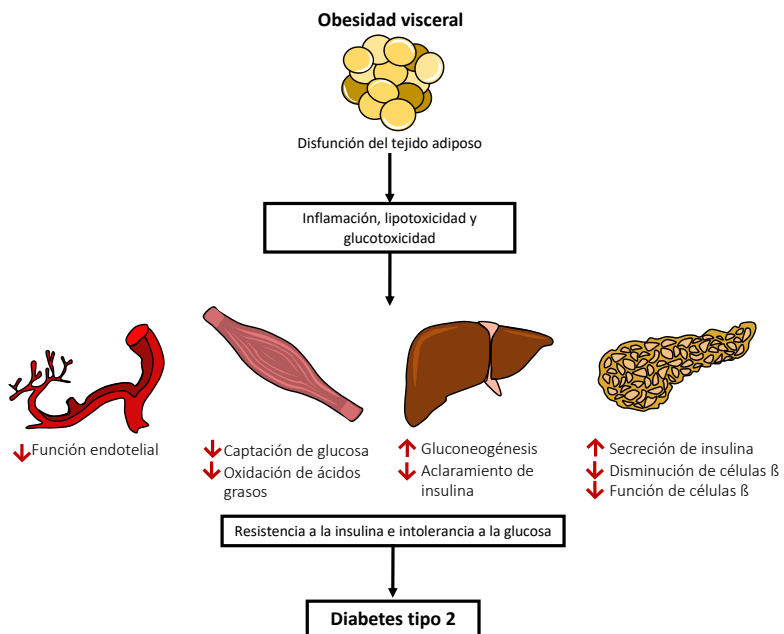


**Figura 2. Esquema de las vías de señalización de la insulina en el adipocito.** El receptor de insulina conformado por dos subunidades alfa, localizadas en el exterior de la membrana celular responsables de la unión de insulina y dos subunidades transmembranales que actúan como transductores de señales. La unión de insulina induce la autofosforilación de residuos de tirosina del receptor reconocidos por los IRS y posteriormente este fosforila los IRS en sus residuos de

tirosina, acción reconocida por la fosfatidilinositol 3 cinasa PI3K quien fosforila a la proteína inducida por prolactina (PIP) produciendo segundos mensajeros que reclutan a la proteína cinasa B (AKT/PKB) quienes regulan principalmente los efectos metabólicos. La translocación del transportador de solutos 4 (GLUT4) es promovido también por AKT/PKB y por la unión de insulina a su receptor al fosforilar a la proteína linfoma de linaje B de Casitas (CBL) la cual forma un complejo con la proteína activadora de catabolitos (CAP) desencadenando la activación de un miembro de la familia de homólogos de Ras Q (TC10). Por otro lado, la vía de MAPK es activada cuando la proteína 2 unida al receptor del factor de crecimiento se une a la proteína Src que contiene dominio de homología 2 (SHC) fosforilado vía el receptor de insulina lo cual promueve la activación de la proteína de sarcoma de rata RAS. Lo anterior recluta a la proteína acelerada de fibrosarcoma (RAF) quien activa a MAPK/Erk cinasa (MEK), esta vía de señalización regula a factores de transcripción asociados a la proliferación celular. AGL: ácidos grasos libres. Figura adaptada de referencias 11 y 12.

Altos niveles de glucosa inducen a la secreción mediada por glucosa de insulina en las células  $\beta$ . En sujetos sanos, esta secreción suele tener dos fases, la primera fase es una fase rápida después de 1 minuto de administrarse glucosa y consiste en insulina ya sintetizada. Mientras que, una segunda fase comienza alrededor de 10 minutos después, la cual representa parte de la ya sintetizada, así como de nueva. Esta secreción permite la captación de glucosa principalmente por el músculo (70%), mientras que el hígado capta alrededor del 30% y el tejido adiposo el 10% restante. La serie de desarreglos metabólicos mencionados, tales como altos niveles de lípidos y glucosa circulantes, la inflamación de bajo grado, entre otros, son responsables de perturbar la

señalización mediada por insulina (13). Todos estos metabolitos mencionados se encuentran elevados en pacientes con obesidad, principalmente en aquellos con una mayor acumulación de grasa visceral (Fig. 3).



**Figura 3. Patogénesis de la obesidad visceral y la diabetes tipo 2.** La inflamación, la lipotoxicidad y glucotoxicidad, consecuentes de la disfunción del tejido adiposo visceral ejercen efectos adversos de manera sistémica los cuales conducen a una resistencia periférica a la insulina. Tras el consecuente aumento de glucosa en sangre, las células  $\beta$  perciben la necesidad de secretar más insulina. El aumento en la insulina plasmática en respuesta compensatoria a la resistencia de esta misma mantiene por un tiempo los niveles plasmáticos de glucosa normales. De ser mantenido este escenario, esta compensación fracasa por el agotamiento y disminución de las células  $\beta$  lo que detona una hiperglucemia que marca el estado de diabetes tipo 2. Figura adaptada de referencias 13-15.

A consecuencia, se observa un decremento en la respuesta metabólica de células responsivas a la insulina, un estado de resistencia a la insulina el cual precede el desarrollo de la diabetes. Aunque los efectos de la resistencia a la insulina se observan a nivel sistémico, los primeros defectos en la acción de la insulina se observan en tejido adiposo y músculo esquelético, observándose una falla en la translocación de los transportadores de glucosa GLUT4 y como consecuente, el transporte de glucosa mediado por insulina se ve afectado, además de un bloqueo en las demás rutas. Esta manifestación ocurre por defectos en su receptor los cuales bloquean la cascada de señalización. Como se mencionó anteriormente, la inflamación acompañada de una sobreproducción de citocinas proinflamatorias como el factor de necrosis tumoral alfa (TNF $\alpha$ ), secretadas principalmente por macrófagos, pero también por los adipocitos y puede causar resistencia a la insulina por una acción directa de esta citocina al fosforilar los residuos serina y treonina de los sustratos 1 y 2 de los receptores de insulina, regulándolos negativamente. También, los ácidos grasos como acil coenzima-A y el diacilglicerol activan la proteína cinasa C (PKC) ejerciendo el mismo bloqueo. Además, la ceramida que es otra clase de metabolito lipídico puede exacerbar la resistencia a la insulina. El incremento en la biosíntesis de ceramida inducida por el factor de necrosis tumoral alfa (TNF $\alpha$ ), glucocorticoides, y ácidos grasos saturados perjudica la acción de la insulina tras inhibir la activación de la proteína cinasa B estimulada por insulina (14). Los efectos consecuentes debido al bloqueo en la señalización mediada por la insulina varían de acuerdo con las funciones fisiológicas de cada tejido y órgano, y de su dependencia en la insulina para conllevar los procesos metabólicos. Este desarrollo de resistencia a la insulina típicamente resulta en un incremento compensatorio en la producción endógena de la insulina (hiperinsulinemia) por las células  $\beta$  pancreáticas buscando mantener la

glicemia en niveles normales. Sin embargo, eventualmente estas células comienzan a fallar, la secreción de insulina cae resultando en una hiperglicemia (15). La falla eventual de las células  $\beta$  es uno de los eventos requeridos para progresar de resistencia a la insulina a diabetes tipo 2.

#### **6. 4. Diabetes mellitus tipo 2**

La diabetes es un conjunto de enfermedades metabólicas que se caracterizan por una hiperglicemia resultante de un defecto en la secreción o en la acción de la insulina, o ambas (16). De los distintos tipos de diabetes, el 90% del que se padece es del tipo 2. La diabetes tipo 2, anteriormente conocida como “diabetes del adulto”, se ha convertido en uno de los padecimientos más prevalentes en el mundo, afectando actualmente a un amplio espectro de grupos etarios (15). Según el último reporte de la Federación Internacional de la Diabetes presentado en el 2021, 537 millones de adultos de entre 20-79 años padecían de diabetes tipo 2, y se prevé que para el 2045 esta cifra rebase los 700 millones (17). En México, según el reporte de la ENSANUT publicado en el 2018, se presenta una prevalencia del 10.3% de casos previamente diagnosticados en población mayor a 20 años, aunque se estima que la cifra real de casos sea mayor (2). Dentro de los principales detonadores en el incremento de la diabetes tipo 2 se encuentra el incremento en paralelo de la obesidad. Los síntomas característicos de la diabetes tipo 2 incluyen la poliuria, polidipsia, pérdida de peso y la polifagia. Esta patología afecta múltiples órganos y sistemas, causando en el largo plazo, complicaciones como retinopatía, neuropatía, nefropatía, etc. que pueden llevar a discapacidad y muerte. Los pacientes con diabetes tienen un 15% de incremento en el riesgo de muerte comparado con personas que no la padecen siendo las enfermedades cardiovasculares la principal causa de morbilidad y

mortalidad asociada a diabetes tipo 2 (18,19). Esto, aunado a la alta prevalencia de la enfermedad, la coloca dentro de las primeras causas de defunción tanto en México como en otros países (2).

Desde hace tiempo, el diagnóstico de la diabetes se ha basado en los niveles de glucemia. El primer Comité de Expertos en la Clasificación de la Diabetes Mellitus observó la asociación entre la glucosa en ayunas y la presencia de retinopatía como uno de los factores para identificar el umbral máximo para la glucemia. Tras varios estudios se definió el nuevo criterio diagnóstico estableciendo como punto de corte  $\geq 126\text{mg/dl}$  ( $7.0 \text{ mmol/L}$ ) de glucosa en ayunas y se confirmó el previo de  $\geq 200 \text{ mg/dl}$  ( $11.1 \text{ mmol/L}$ ) después de 2 hrs glicemia postprandial, según los estatutos de la OMS. La hemoglobina glicosilada (HbA1c), refleja la cantidad de glucosa unida a los glóbulos rojos, y es un marcador usado ampliamente para el diagnóstico de esta entidad que aporta una visión retrospectiva de los niveles de glucosa en los últimos 3 meses. Valores por encima del 6.5% afirman el diagnóstico de diabetes tipo 2 . Otros indicadores más recientes como el modelo homeostático para la resistencia a la insulina (HOMA-IR) es una alternativa que mide la relación entre los niveles de glucosa y de insulina y se usa como herramienta de apoyo para el diagnóstico. Sin embargo, aun no hay puntos de corte bien establecidos que permita utilizarla para todas las poblaciones (16).

## **6. 5. Fisiopatología de la diabetes tipo 2**

La diabetes tipo 2 se caracteriza por progresar de manera silenciosa a lo largo del tiempo, ya que la hiperglucemia desarrollada en etapas tempranas es compensada por un estado de

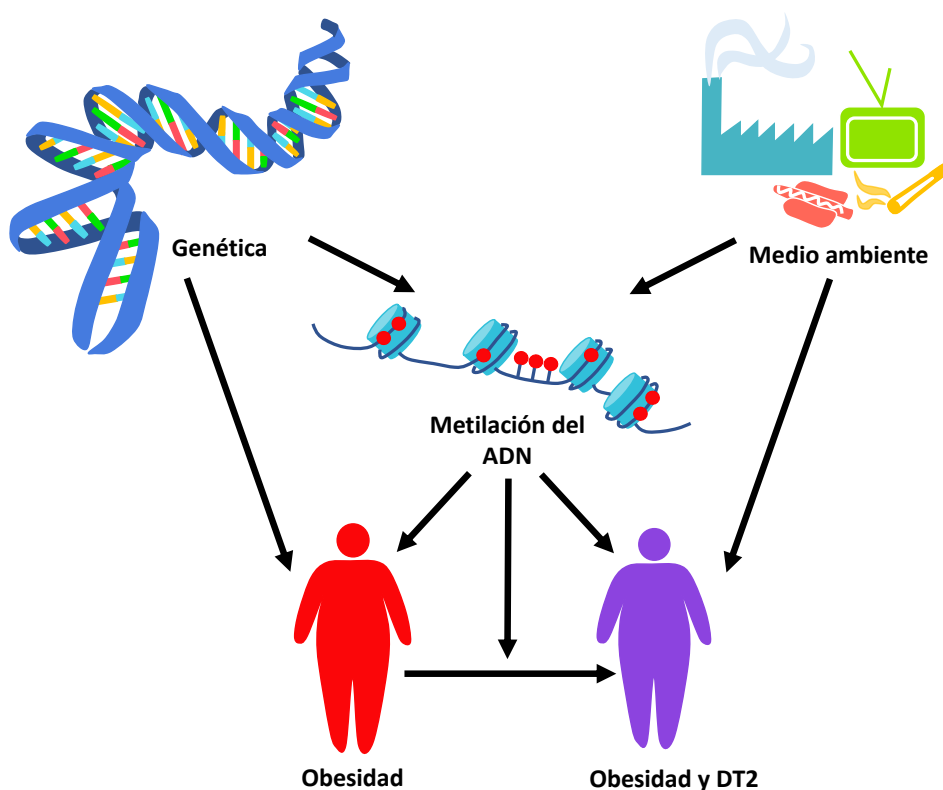
hiperinsulinemia producido por las células  $\beta$  pancreáticas. Una vez que esta compensación resulta insuficiente, se presenta el estado de hiperglicemia, característico de la diabetes tipo 2 (15,20). Este estado de hiperglicemia presente de manera crónica favorece a la disfunción endotelial y contribuye a las complicaciones microvasculares involucrando pequeños vasos y favoreciendo la retinopatía, nefropatía y neuropatía. También, se observan daños a nivel macrovascular los cuales parecen no estar tan relacionadas con la hiperglicemia. Estos pueden desencadenar enfermedades cardiovasculares involucrando a las arterias coronarias, lo que puede conducir a un infarto al miocardio (21).

## **6. 6. Etiología de la diabetes tipo 2 y su relación con la obesidad**

Como se mencionó con anterioridad, la obesidad y principalmente el exceso de adiposidad visceral predisponen de manera importante al desarrollo de resistencia a la insulina y diabetes tipo 2 . Sin embargo, hay individuos los cuales presentan un mayor riesgo a desarrollar estas complicaciones mientras que otros, no las desarrollan a pesar del grado de adiposidad que presentan (22,23).

Múltiples estudios genéticos en diversas poblaciones se han dado a la tarea de buscar aquellas variantes asociadas a obesidad y a la diabetes tipo 2 para identificar a individuos con mayor riesgo a desarrollarlas. Estudios en familias han mostrado que existe una heredabilidad similar entre IMC y diabetes tipo 2 la cual es alrededor del 50-60%. Gracias a los Estudios Amplios de Genoma Completo (GWAS) se han identificado múltiples loci asociados a rasgos tanto de diabetes tipo 2 como de obesidad. Sin embargo, a pesar de que estas enfermedades están ampliamente

relacionadas, tanto de un punto de vista epidemiológico, así como fisiopatológico, la etiología genética dada por las variantes que comparten es limitada (24). Cabe mencionar que la prevalencia de estas enfermedades crece a tal velocidad que no puede ser explicada por factores genéticos. Además, estas patologías son multifactoriales ya que su desarrollo comprende de la compleja interacción de factores genéticos, metabólicos y medio ambientales. La epigenética puede proveer de los mecanismos moleculares que puedan ligar la interacción entre estos factores y participar en el desarrollo de diabetes tipo 2 (Fig. 4) (25,26).



**Figura 4. Factores que contribuyen al desarrollo de obesidad y diabetes tipo 2.** La interacción entre la genética y el medio ambiente pueden modificar el metiloma y contribuir con el desarrollo de diabetes tipo 2 en individuos con obesidad. DT2: diabetes tipo 2 Figura adaptada de referencias 25-26.

## **6. 7. Epigenética en diabetes tipo 2 y obesidad**

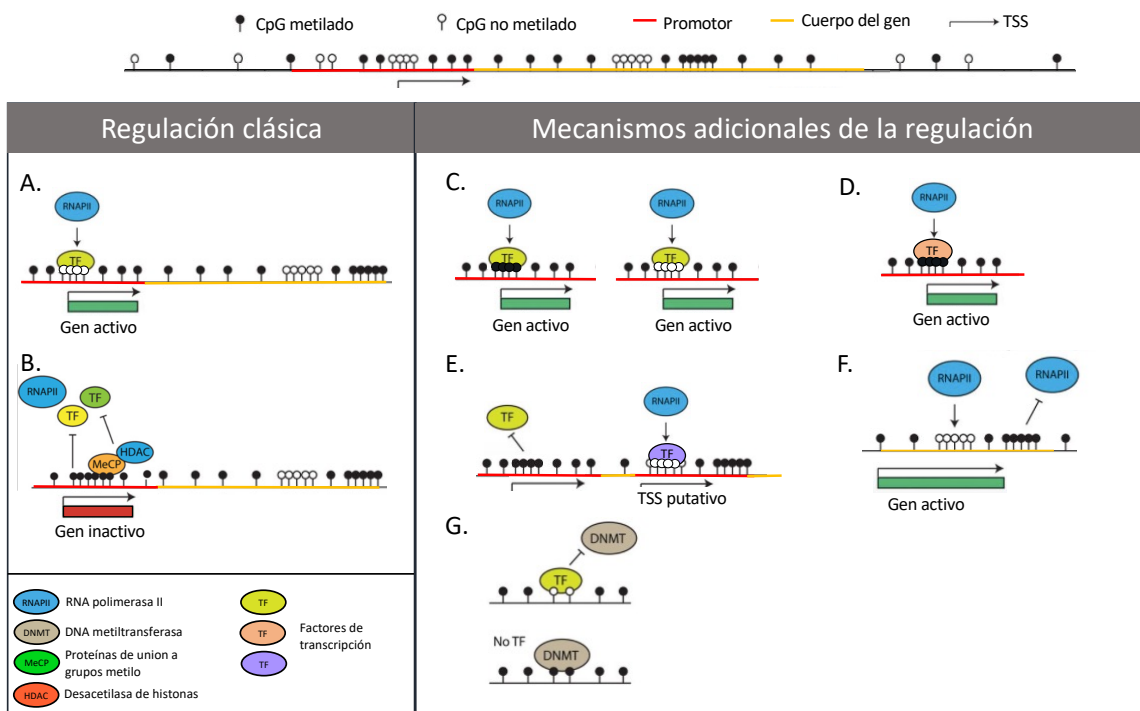
El término de epigenética fue propuesto por Waddington en 1942, definiéndola como cambios al fenotipo sin ocasionar cambios en el genotipo. Actualmente, sabemos que los mecanismos epigenéticos transducen la herencia de patrones de expresión sin alterar la secuencia del ADN. Estos incluyen la metilación de las citosinas en dinucleótidos CpG del ADN, modificaciones postraduccionales de las histonas, posicionamiento de los nucleosomas, ARNs no codificantes, entre otros (27).

La interacción de todos estos mecanismos tiene como objetivo la regulación transcripcional de genes para lo cual, regulan la compactación del genoma permitiéndole que este sea funcional y accesible para la maquinaria de la transcripción. El empaquetamiento del genoma no solo sirve para contenerlo dentro del núcleo si no para restringir la información que se va a codificar y darle así identidad a cada célula.

De los mecanismos epigenéticos mejor comprendidos, se encuentra la metilación del ADN la cual consiste en la incorporación de un grupo metilo en el carbono 5 de las citosinas ocurriendo generalmente en un contexto de dinucleótidos CpG (pares de citosina y guanina enlazados por fosfatos). En mamíferos, del 70-80% de los dinucleótidos del genoma están metilados con excepción de pequeños grupos de dinucleótidos llamados islas CpG, estas miden alrededor de 200 pares de bases y muestran un alto contenido de dinucleótidos CpG, estas se encuentran principalmente en los promotores de genes (28,29).

La función de la metilación del ADN esta directamente ligada a los mecanismos encargados de establecerla, mantenerla, leerla y de remover el grupo metilo. Diversas familias de enzimas se encargan de establecer la metilación. La metilación del ADN es catalizada por la familia de las metiltransferasas de ADN (DNMTs) las cuales transfieren el grupo metilo del S-adenil metionina al quinto carbón del residuo de la citosina formando la 5mC. Por años se había aceptado que las metiltransferasas de ADN 1 (DNMT1) eran encargadas de mantener los patrones de metilación durante la síntesis de ADN uniéndose a la horquilla de replicación y metilando la nueva hebra sintetizada según la hebra parental del ADN y que la metiltransferasas de ADN 3A y 3B (DNMT3A y DNMT3B) establecían un nuevo patrón de metilación al ADN (*de novo*). Sin embargo, ahora se sabe que estas dos últimas también participan en el mantenimiento de la metilación (30).

Generalmente, la metilación en la vecindad inmediata del sitio de inicio de transcripción se asocia con el silenciamiento de la expresión génica mientras que la metilación en el cuerpo del gen se asocia a la prevención de transcritos espurios (31). El silenciamiento por medio de la metilación del ADN se logra a través de mecanismos tanto directos como indirectos y es mucho mas compleja de lo que se esperaba (Fig. 5).



**Figura 5. Funciones de la metilación del ADN en la regulación de la expresión génica.** Regulación clásica: (A) Un gen con expresión activa, su región promotora se encuentra no metilada permitiendo la unión de factores de transcripción y así el reclutamiento de la maquinaria de transcripción (RNAPII); (B) Un gen donde su región promotora metilada inactiva su expresión por medio de dos mecanismos: (i) inhibición directa de la unión de factores de transcripción y el reclutamiento de la maquinaria de transcripción y (ii) inhibición indirecta tras la unión de MeCP las cuales se asocian con corepresores como las desacetilasas de histonas (HDAC). Mecanismos adicionales de la regulación: (C) Un gen donde los factores de transcripción se unen independientemente del estado de metilación en su región promotora; (D) Un gen donde los factores de transcripción tienen preferencia a CpGs metilados; (E) La metilación en regiones promotoras regula el uso de promotores putativos dando las diferentes isoformas; (F) La metilación en el cuerpo del gen previene de transcritos espurios; (G) La metilación de una región

es protegida por la ocupación de factores de transcripción. TSS: sitio de inicio de la transcripción.

Figura adaptada de referencias 27-32.

La presencia del 5mC puede inhibir de manera directa la unión de factores de transcripción o esta metilación puede ser reconocida por tres tipos de familias diferentes: las proteínas con dominio de unión de grupo metilo (MBD), las proteínas que contienen dominios de dedo PHD y RING similares a ubiquitina (UHFR) y las proteínas de dedos de zinc. Las proteínas con dominio de unión grupo metilo tienen la habilidad de unirse directamente al ADN metilado y contienen dominios de represión transcripcional lo cual les permite a las unirse a una variedad de complejos represores fungiendo como un represor transcripcional. Las proteínas que contienen dominios de dedo PHD y RING similares a ubiquitina en cambio, su función primaria es de no unirse al ADN y reprimir la transcripción. Estas proteínas se unen a las metiltransferasas de ADN 1 y la dirige al ADN hemimetilado para mantener el estado de metilación. Por último, las proteínas de dedos de zinc reconocen y se unen al ADN metilado. Las proteínas de unión a grupo metilo sirven como un fuerte lazo entre la metilación de ADN y las modificaciones de histonas. Ambas, tanto las proteínas con dominio de unión de grupo metilo como las proteínas que contienen dominios de dedo PHD y RING similares a ubiquitina interactúan con el ADN metilado e histonas para potenciar la represión génica. La proteína 2 de unión a metil-CpGs (MeCP2) de la familia de las proteínas con dominio de unión de grupo metilo recluta a las desacetilasas de histonas y las metiltransferasas de histonas. En conjunto, la metilación del ADN y las modificaciones de histonas se intercomunican para regular la expresión génica.

Por otro lado, no hay enzimas con capacidad de remover el grupo metilo directamente. Aunque no se ha detallado en su totalidad, se propone que la manera en que el grupo metilo es eliminado sea de manera pasiva (diluido tras la replicación del ADN durante la división celular) versus la activa (realizado por enzimas). La enzima Tet metilcitosina dioxigenasa 1-3 (TET1-3) y familia de citidina desaminasa (AID/APOBEC) tiene la habilidad de convertir la 5mC a 5-hidroximetilcitosina (5hmC) en un proceso de oxidación que genera otros intermediarios (5-formilcitosina (5fC) y 5-carboxilcitosina (5aC)). Finalmente, una escisión enzimática de las bases modificadas por medio de ADN glicosilasas de reparación por escisión de base (BER) concluye en un templado de ADN completamente demetilado. Alteraciones en estos mecanismos que regulan los patrones de metilación del ADN se han asociado con el desarrollo de múltiples enfermedades, desde afecciones en el desarrollo, enfermedades neurológicas, cáncer y enfermedades metabólicas (28,30,32).

## **6. 8. Metilación del ADN en obesidad y diabetes tipo 2**

La variabilidad de la metilación del ADN se observa comúnmente como el resultado de una desregulación epigenética y esto se asocia a diversos fenotipos, patologías y a un ambiente adverso (25). Como se menciono anteriormente, la metilación del ADN puede ser un mecanismo que ligue la obesidad con diversas condiciones clínicas tales como la diabetes tipo 2. A pesar de que los estudios iniciales analizaban la metilación de genes candidato en ADN de sujetos con diabetes tipo 2 comparando con sujetos no-diabéticos como control, estos fueron suficientes para apoyar la participación de la epigenética en la incidencia de diabetes tipo 2 . Sin embargo, gracias a los avances en la tecnología se ha podido interrogar todo el genoma usando

metodologías basadas en microarreglos y secuenciación. De manera reciente, múltiples estudios han identificado alteraciones en los patrones de metilación en tejidos con relevancia metabólica como los islotes pancreáticos, tejido adiposo, hígado, sangre y músculo esquelético de pacientes con diabetes tipo 2 comparado con sujetos no diabéticos (26,33).

Un estudio identificó que existe una mayor variabilidad en la metilación del ADN de sangre de sujetos con obesidad y que esta variabilidad en la metilación puede predecir la obesidad hasta en un 70% (34). Recientemente, un estudio realizado por Wahl y colaboradores analizó los perfiles de metilación en sangre identificando alrededor de 180 sitios CpGs asociados significativamente a IMC los cuales predijeron el riesgo a desarrollar diabetes tipo 2 (35). Mas aun, se ha descrito que existen diferencias en los perfiles de metilación en el tejido adiposo visceral de pacientes con resistencia a la insulina y obesidad apoyando el rol potencial de los mecanismos epigenéticos en el desarrollo de los disturbios en la sensibilidad a la insulina en obesidad (36). Además, de los genes identificados con alteraciones en su estado de metilación varios de estos se asocian con la vía de señalización de la insulina y pertenecen a genes relacionados a diabetes tipo 2 (37). Para comprender mas a detalle la etiopatogénesis de la diabetes tipo 2 y el impacto funcional de estas alteraciones epigenéticas, es importante interrogar también si esta se relaciona a cambios en los niveles de transcripción. Sin embargo, los estudios pareando tanto el estudio de los perfiles de metilación como los de expresión, utilizando el mismo tejido, son escasos(38–42).

## **7. JUSTIFICACIÓN**

La prevalencia de la obesidad ha incrementado a tal velocidad que no puede ser explicada sólo por factores genéticos. Su incremento se ve acompañado de un aumento en la incidencia de las complicaciones clínicas a las que ésta favorece, tales como la diabetes tipo 2. Esta última, representa una de las mayores comorbilidades en individuos con obesidad y es esta responsable de un mayor numero de efectos adversos para la salud.

El riesgo para desarrollar diabetes tipo 2 incrementa conforme el IMC va en aumento. Además, se ha descrito que muchos de los mecanismos que se alteran en la obesidad, también se encuentran alterados en sujetos con diabetes tipo 2. Sin embargo, a pesar de que aproximadamente 90% de los pacientes con diabetes tipo 2 presentan obesidad o sobrepeso, cerca de un tercio de los pacientes con obesidad no desarrollan diabetes tipo 2. Estudios demuestran que la relación entre la obesidad y la diabetes tipo 2 es muy compleja y que para su desarrollo intervienen tanto factores genéticos como ambientales los cuales interaccionan entre si a través de mecanismos epigenéticos como la metilación del ADN. Este mecanismo participa en la regulación transcripcional y su estudio puede indicar la actividad génica. La variabilidad en la metilación del ADN es comúnmente vista como resultado de una desregulación asociada a diferentes fenotipos y patologías. De hecho, estudios señalan que hay una mayor variabilidad en la metilación del ADN en individuos con obesidad y que estas alteraciones pueden favorecer el desarrollo de diabetes tipo 2. Sin embargo, una limitación importante es que la mayoría de estos estudios son realizados en sangre al ser un tejido más accesible y lo más probable es que no tengan una contribución real en la etiopatogénesis de la diabetes tipo 2. Por tanto, es importante

realizar estos estudios en tejidos que tengan relevancia en su desarrollo, como el tejido adiposo, para así incrementar la probabilidad de identificar marcas epigenéticas que tengan un significado biológico. Mas aun, es de gran relevancia realizar estudios que utilicen tecnologías ómicas más actuales que permitan medir la metilación del ADN en una mayor espectro, así como parear su estudio con otras tecnologías ómicas que integren los efectos de esta en la actividad transcripcional y den un mayor entendimiento de los mecanismos de la metilación del ADN detrás del desarrollo de diabetes tipo 2 en sujetos con obesidad para identificar a aquellos sujetos con obesidad mayor riesgo a desarrollar diabetes tipo 2.

## **8. HIPÓTESIS**

Si existen alteraciones en la metilación del ADN del tejido adiposo visceral de pacientes con obesidad y diabetes tipo 2, es posible que su función transcripcional también se encuentre alterada.

## **9. OBJETIVO GENERAL**

Identificar las alteraciones en la metilación del ADN que tienen impacto en la desregulación de la transcripción en el tejido adiposo visceral de pacientes con obesidad y diabetes tipo 2.

## **10. OBJETIVOS ESPECÍFICOS**

1.- Identificar sitios CpG con metilación diferencial en el tejido adiposo visceral entre pacientes con obesidad, con y sin diabetes tipo 2, así como las vías de señalización en las que participan los genes que incluyan estos sitios CpG.

2.- Identificar los genes diferencialmente expresados en el tejido adiposo visceral entre pacientes con obesidad, con y sin diabetes tipo 2 y las vías de señalización que muestren una sobrerepresentación de los genes diferencialmente expresados.

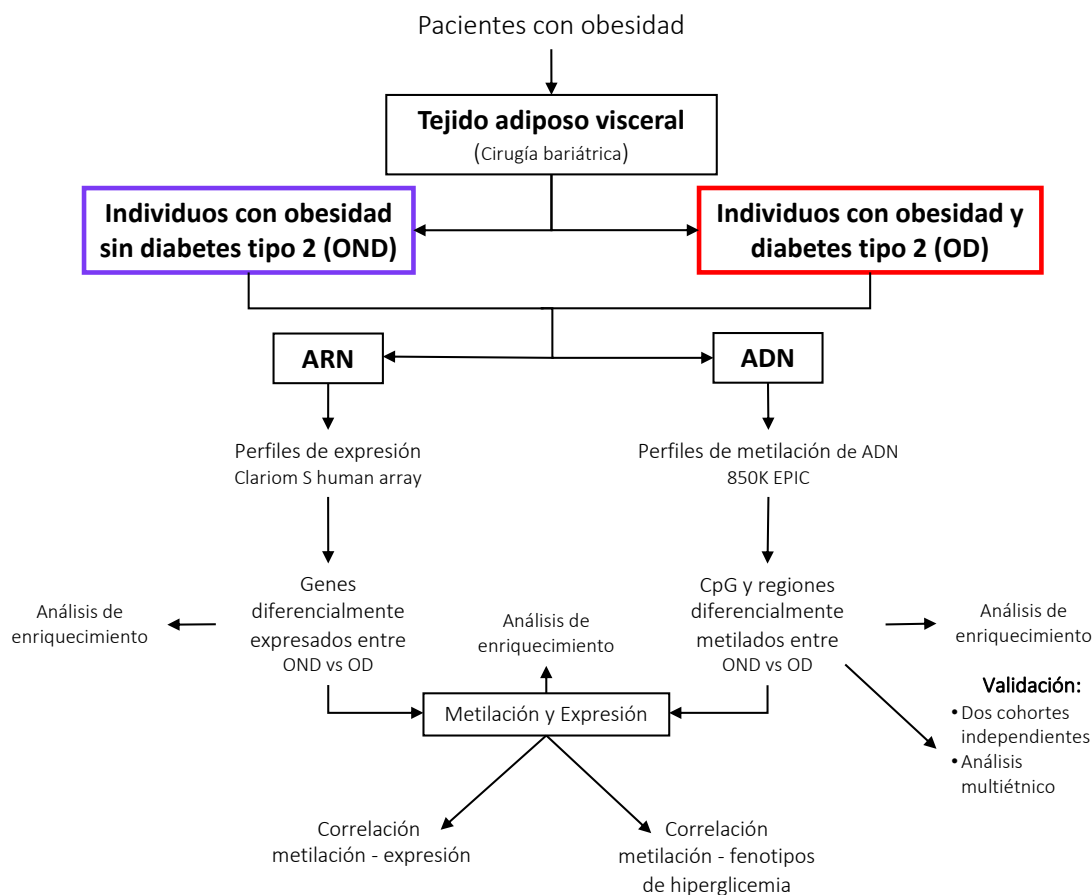
3.- Identificar aquellos genes que muestren diferencias significativas tanto en expresión como en metilación, y determinar si existe una correlación entre sus valores de metilación con los niveles de expresión, de glucosa en ayunas y con el porcentaje de HbA1c.

4.- Realizar un análisis de metilación extendido utilizando datos públicos disponibles de los perfiles de metilación del tejido adiposo visceral de pacientes con obesidad, con y sin diabetes tipo 2, y aquellos analizados en este trabajo para contrastar estos resultados con los hallazgos iniciales.

## **11. MATERIAL Y MÉTODOS**

El presente estudio es de carácter observacional transversal de tipo correlacional con muestreo no probabilístico a conveniencia. En la Figura 6 se detalla la estrategia a seguir. En resumen, se analizaron los perfiles de metilación del ADN y de expresión a partir de biopsias de tejido adiposo

visceral y se compararon entre pacientes con obesidad y diabetes tipo 2 y pacientes con obesidad y sin diabetes tipo 2, para obtener los sitios y las regiones diferencialmente metilados y los genes diferencialmente expresados. Estas diferencias en la metilación se correlacionaron con los niveles de expresión, niveles de glucosa en ayunas y HbA1c.



**Figura 6. Estrategia experimental.**

### 11. 1. Reclutamiento de pacientes

Las biopsias de tejido adiposo visceral fueron obtenidas durante un procedimiento de cirugía bariátrica de pacientes con obesidad grado II y III en la Clínica de Atención Integral para la

Obesidad y Enfermedades Metabólicas del Gobierno de la Ciudad de México, Unidad Tláhuac.

Los pacientes fueron invitados a participar en el estudio y firmaron la carta de consentimiento informado. El estudio fue conducido según los lineamientos de la Declaración de Helsinki y aprobado por el Comité de Ética en investigación del Instituto Nacional de Medicina Genómica (C1\_29/2011).

#### *11. 1. 1. Criterios de inclusión de pacientes*

Se incluyeron pacientes mexicanos con obesidad y diagnóstico clínico previo de diabetes tipo 2 (glucosa en ayuno  $\geq 126$  mg/dL o Hb1Ac  $\geq 6.5\%$ ) y pacientes con obesidad y sin diabetes tipo 2 (glucosa en ayuno  $\leq 100$  mg/dL y Hb1Ac  $\leq 6.5\%$ ), dentro de un rango de edad de 35 a 56 años, y que no presentaran diferencias significativas en IMC, presión sanguínea y lípidos séricos.

#### *11. 1. 2. Criterios de exclusión*

Se descartaron a aquellos pacientes que cursaban con obesidad secundaria a algún trastorno genético o disfunción endocrinológica captada en su expediente médico, o que no desearan participar en el estudio.

#### *11. 1. 3. Criterios de eliminación de pacientes*

Se eliminaron a aquellos individuos en los cuales se haya presentado alguna falla técnica en los diferentes procedimientos realizados posteriores a la selección de su biopsia o aquellos que demandaran no continuar en el estudio.

## **11. 2. Extracción de ácidos nucleicos**

### *11. 2. 1. Extracción de ADN*

La extracción de ADN del tejido adiposo visceral se realizó utilizando el QIAamp DNA Mini Kit, siguiendo el protocolo del fabricante (QIAGEN). La extracción se realizó a partir de 50 mg de tejido.

### *11. 2. 2. Extracción de ARN*

La extracción de ARN de tejido adiposo visceral se hizo utilizando el kit RNAeasy Lipid Tissue Mini Kit, siguiendo el protocolo provisto a partir de ~150 mg de tejido (QIAGEN).

### *11. 2. 3. Integridad de ácidos nucleicos*

La integridad del ADN se evaluó por electroforesis en un gel de agarosa al 1% y se visualizó mediante luz UV para asegurar que no se encontrara fragmentado. Posteriormente, por medio del Nanodrop se cuantificó y se evaluó la pureza de este (NanoDrop Technologies Inc.). Todas las muestras presentaron relaciones A<sub>260</sub>/A<sub>280</sub> y A<sub>260</sub>/A<sub>230</sub> mayores a 1.8. En cuanto a la valoración de la integridad del ARN, ésta se analizó utilizando el Bioanalizador 2100 (Agilent) el cual califica asigna el número de integridad del ARN (RIN por sus siglas en inglés RNA Integrity Number). Esta calificación va de 1-10, siendo 1 indicador de una degradación total y 10, totalmente integro. Para los análisis posteriores se aceptaron solo aquellas con un número de integridad del ARN mayor a 8.

## **11. 3. Análisis de ácidos nucleicos**

### *11. 3. 1. Análisis de la metilación del ADN*

El análisis de los perfiles de metilación se realizó utilizando el microarreglo Infinium Human Methylation EPIC BeadChip Array de Illumina (850K) en la Unidad de Alta Tecnología del INMEGEN siguiendo el protocolo del fabricante. Este microarreglo analiza más de 850,000 sitios CpGs y alrededor de 14,000 genes. La obtención de las fluorescencias de los microarreglos se obtuvo utilizando el iScan de Illumina. Los datos crudos fueron extraídos usando el software de GenomeStudio y los valores de metilación fueron calculados como un valor  $\beta$ :

$$\beta = \frac{M}{M + U + \alpha}$$

donde M es la intensidad del alelo metilado, U es la intensidad del alelo no metilado y  $\alpha$  es una constante ( $\alpha = 100$ ). Los valores de metilación van de 0 (no metilado) hasta 1 (completamente metilado).

### *11. 3. 2. Análisis de expresión*

Para la obtención de los perfiles de expresión se utilizó el microarreglo Clariom S Human Microarray procesado en la Unidad de Alta Tecnología del INMEGEN siguiendo el protocolo del fabricante (Affymetrix). Este arreglo analiza más de 20,000 genes anotados. Las fluorescencias de los microarreglos fueron medidas con el The GeneChip<sup>®</sup> Scanner 3000 (Affymetrix).

## **11. 4. Procesamiento y análisis de datos genómicos**

El procesamiento, análisis y representación gráfica de los datos obtenidos por los microarreglos se realizó en el ambiente de R CRAN Project, de donde se descargaron las herramientas necesarias para cada análisis.

### *11. 4. 1. Datos de metilación*

Para los datos de metilación, los archivos .idat fueron procesados usando el paquete de análisis de arreglos de metilación (ChAMP por sus siglas en inglés Chip Analysis Methylation Pipeline) (43). Luego de precargar los archivos .idat crudos, se procedió a filtrar los datos según los criterios establecidos por el análisis de arreglos de metilación ChAMP. Los datos crudos generados fueron depositados en el repositorio Array Express, ID no. E-MTAB-11037. En este paso se eliminaron todas las sondas con una detección fallida (detección de  $p > 0.01$ ), tales como aquellas no-CpG, multi-hit o relacionadas a SNPs (44), así como aquellas con menos de 3 perlas en al menos 5% de las muestras (45). Además, puesto que las muestras son de mujeres, las sondas contenidas en el cromosoma Y también fueron eliminadas. Este filtrado dejó 781,385 sondas para análisis subsecuentes. Posteriormente, los datos fueron normalizados por cuantiles con el método de BMIQ (BMIQ por sus siglas en inglés Beta Mixture Quantile dilation). A continuación, aplicamos la función de Descomposición en valores singulares (SVD por sus siglas en inglés Singular Value Decomposition) para identificar los componentes de variación en nuestro conjunto de datos, tales como edad, lote y tratamiento (metformina y/o insulina). Este análisis identificó al lote y a la edad como covariables significativas, por lo que para ajustar por su efecto se implementó el

algoritmo de ComBat del análisis de arreglos de metilación ChAMP. Las anotaciones de cada CpG fueron obtenidas del Manifesto de Illumina HumanMethylationEPIC v1.0 B5. Se definió como región promotora cuando un CpG estuviera 1,500-200 pb río arriba del sitio de inicio de transcripción (TSS) (*TSS1500*), 200 pb río arriba del TSS (*TSS200*), región no traducida 5' (*5'UTR*) o primer exón (*1st Exon*); mientras que la región del cuerpo del gen se definió como aquellos CpG anotados en cuerpo (*Body*), las uniones exón-exón (*Exon-bound*) y región no traducida 3' (*3'UTR*) (46). Aquellos CpG fuera de estas regiones son anotados como región intergénica (*IGR*). Además, los CpGs se clasificaron también en el contexto de su distancia a una isla CpG, es decir, a menos de 2 Kb como *shore*, de 2-4 Kb como *shelf* y los sitios remanentes en el genoma como *open sea*. Una vez ubicadas las CpGs se procedió a la identificación de las diferencias en la metilación entre los pacientes con obesidad y diabetes tipo 2 y pacientes con obesidad y sin diabetes tipo 2 (delta  $\beta = (\text{media } \beta \text{ OD} - \text{media } \beta \text{ OND}) \%$ ) usando el paquete Limma el cual calcula el valor de *p* para metilación diferencial usando un modelo lineal (47). Los valores de *p* fueron ajustados siguiendo el método Benjamini y Hochberg (48). Aquellos CpGs con un valor  $<0.05$  de Tasa de Descubrimientos Falsos (FDR por sus siglas en inglés False Discovery Rate) fueron considerados como CpGs diferencialmente metilados (DMC, del inglés Differentially Methylated CpG). Adicionalmente, para identificar las regiones diferencialmente metiladas (DMR, del inglés Differentially Methylated Regions) (que de *p*  $<0.05$ ), usamos el algoritmo de Bumphunter siguiendo los parámetros predeterminados por el análisis de arreglos de metilación ChAMP. Esta función crea grupos de un mínimo de 7 sondas con una separación máxima de 300 pares de bases para identificar las regiones diferencialmente metiladas.

#### *11. 4. 2. Datos de expresión*

Para el análisis de los datos obtenidos con el microarreglo de expresión, se cargaron los archivos CEL los cuales fueron analizados implementando el paquete de Oligo (49). Los datos crudos generados fueron depositados en el repositorio Array Express, ID no. E-MTAB-11841. Para mejorar la normalización, nuestros datos fueron procesados empleando los datos publicados por Schäffler y colaboradores, quienes analizaron muestras de sangre con el mismo microarreglo utilizado en esta tesis (50). Para ajustar las fluorescencias crudas se aplicó el método Promedio Robusto de Microarreglos (RMA por sus siglas en inglés Robust Multi-array Average). Posterior a la normalización, los datos fueron corregidos por efecto de lote y edad utilizando el algoritmo de ComBat (cita). Aquellas sondas localizadas en el cromosoma Y fueron removidas, resultando en 19,872 sondas para los análisis subsecuentes. Las anotaciones fueron tomadas del sitio web del fabricante (cita). Las diferencias en la expresión entre pacientes con obesidad y diabetes tipo 2 y pacientes con obesidad y sin diabetes tipo 2 fueron estimadas con Limma (cita). Los valores de  $p$  fueron ajustados por múltiples pruebas con el procedimiento de Benjamini-Hochberg. Para identificar los genes diferencialmente expresados (DEG, por sus siglas en inglés Differentially Expressed Genes) se consideró un valor de  $p < 0.05$ , y para incrementar la astringencia se seleccionaron sólo aquellos que alcanzaron al menos el 0.5 en el valor de las diferencias absolutas de la expresión ( $|\log FC| > 0.5$ ).

#### *11. 4. 3. Análisis de correlación entre la metilación y la expresión*

Para estimar la relación entre las diferencias en la metilación y la expresión (CpGs diferencialmente metilados y genes diferencialmente expresados), así como la relación con

niveles de glucosa en ayunas y HbA1c, se evaluó la correlación de Pearson con un análisis de *bootstrap* usando el paquete Boot (51,52), el cuál consiste en realizar 1000 combinaciones posibles para eliminar la posibilidad de que datos anómalos generen valores significativos. Es decir, este método realiza un remuestreo de los datos dentro de la misma muestra de manera aleatoria para asegurar solo las asociaciones robustas y reducir falsos positivos. Después, se consideraron como significativas aquellas correlaciones con una  $p < 0.05$ .

#### *11. 4. 4. Análisis de enriquecimiento funcional*

Para la interpretación biológica de los resultados observados e identificación de vías con procesos alterados, los genes correspondientes a los CpGs diferencialmente metilados, las regiones diferencialmente metiladas y los genes diferencialmente expresados se sometieron a un análisis de enriquecimiento funcional en la herramienta WebGestalt (WEB-bases Gene SeT AnaLysis Toolkit)(53), empleando como referencia la colección de la Enciclopedia de Genes y Genomas de Kioto (KEGG por sus siglas en inglés Kyoto Encyclopedia of Genes and Genomes) y utilizando el método Análisis de sobrerrepresentación (ORA por sus siglas en inglés Over Representation Analysis). Todos los valores de  $p$  fueron ajustados por Benjamini-Hochberg.

#### *11. 4. 5. Validación de metilación diferencial en pacientes con diabetes tipo 2*

Para reforzar nuestros hallazgos de metilación, se utilizaron los datos de metilación de ADN de tejido adiposo visceral de dos cohortes públicas independientes contenidas en los repositorios *Gene Expression Omnibus* (GSE162166) y *ArrayExpress* (E-MTAB-10999) (40,41). La cohorte GSE162166 contiene 14 mujeres chinas (OND = 8 y OD = 6) mientras que la E-MTAB-10999

contiene 7 mujeres alemanas (OND = 3 y OD = 4) . Para incrementar el tamaño de muestra, ambos conjuntos de datos fueron combinados para obtener una muestra final de 11 pacientes con obesidad y sin diabetes tipo 2 y 10 con obesidad y diabetes tipo 2. Con ésta, se realizó un análisis de validación de los CpGs diferencialmente metilados obtenidos en nuestro estudio. Además, se realizó un análisis extendido multiétnico donde se integraron los datos de las muestras independientes con los obtenidos en este estudio, dando un total de 20 pacientes con obesidad y sin diabetes tipo 2 y 20 pacientes con obesidad y diabetes tipo 2. Para este análisis se consideraron todos los sitios CpG analizados por el microarreglo. Los análisis de metilación se realizaron siguiendo la estrategia mencionada arriba.

## **11. 5. Análisis estadísticos adicionales**

Los valores de los datos clínicos se presentan como medias y desviación estándar. La prueba de Wilcoxon fue usada para comparar las medias de los valores clínicos entre los pacientes con obesidad y sin diabetes tipo 2 y los pacientes con obesidad y diabetes tipo 2. La significancia estadística se asumió a valores de  $p <0.05$ . Las gráficas presentadas fueron realizadas con códigos propios.

## 12. RESULTADOS

### 12. 1. Características clínicas de los pacientes

En el presente estudio se incluyeron 19 pacientes femeninas del Banco de Muestras de Tejidos del Laboratorio de Inmunogenómica y Enfermedades Metabólicas. Estos fueron clasificados como pacientes con obesidad y diabetes tipo 2 ( $n=10$ ) y pacientes con obesidad y sin diabetes tipo 2 ( $n=9$ ). Las características clínicas de los individuos se presentan en la Tabla 1. Tanto el IMC, los valores de presión sanguínea, así como los lípidos séricos no revelaron diferencias significativas. Como era de esperarse, los valores relevantes para el diagnóstico de diabetes, tales como la glucosa y la HbA1c fueron significativamente mayores en los como la glucosa y la HbA1c fueron significativamente mayores en los pacientes con obesidad y diabetes tipo 2.

**Tabla 1.** Características clínicas de los pacientes

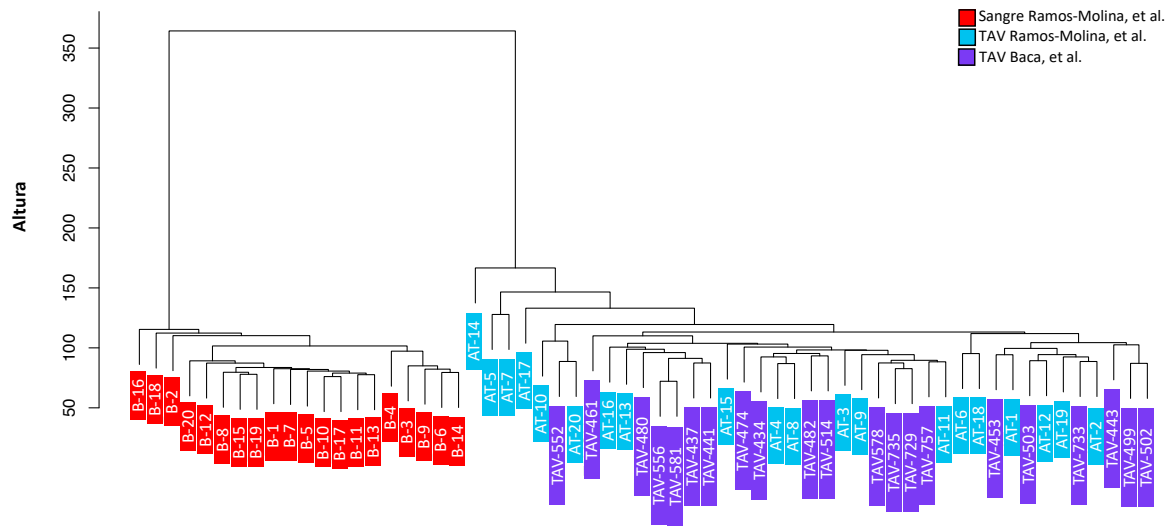
	<b>OD</b> <b>n=10</b>	<b>OND</b> <b>n=9</b>	<b>p</b>
<b>Edad (años)</b>	$46.8 \pm 6.5$	$39.1 \pm 4.8$	0.02405*
<b>IMC (kg/m<sup>2</sup>)</b>	$41.6 \pm 5.1$	$41.1 \pm 5$	0.8064
<b>HbA1c (%)</b>	$6.3 \pm 1$	$5.4 \pm 0.2$	0.0003108*
<b>Glucosa (mg/dl)</b>	$135 \pm 77.4$	$81.6 \pm 9.3$	0.03379*
<b>Colesterol total (mg/dl)</b>	$180 \pm 48.4$	$166.4 \pm 39$	0.7238
<b>HDL (mg/dl)</b>	$45.6 \pm 10.8$	$53.9 \pm 47.8$	0.3865
<b>Triglicéridos (mg/dl)</b>	$136 \pm 46.7$	$146.7 \pm 73.2$	0.736
<b>LDL (mg/dl)</b>	$115.6 \pm 39.4$	$104.7 \pm 34.8$	0.8148
<b>Presión sanguínea sistólica (mmHg)</b>	$125.9 \pm 24.1$	$112.3 \pm 9.8$	0.1399
<b>Presión sanguínea diastólica (mmHg)</b>	$67.3 \pm 7.3$	$66.7 \pm 5.4$	0.8202

Datos presentados como medias con desviación estándar ( $\pm$ ). IMC, índice de masa corporal; HDL, lipoproteína de alta densidad; LDL, lipoproteína de baja densidad. La prueba de Wilcoxon fue utilizada para comparar los valores, \*  $p < 0.05$  significancia estadística.

### Análisis de metilación global

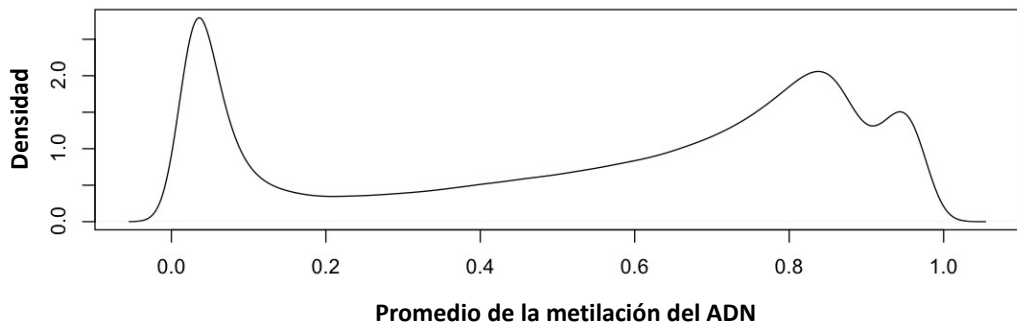
Para validación del origen visceral del tejido adiposo, se realizó un análisis de agrupamiento jerárquico no supervisado, utilizando como referencia los datos de metilación disponibles de

pacientes con obesidad, publicados por Ramos-Molina, et al. quienes analizaron la metilación en sangre y en tejido adiposo visceral (54). Se observó una clara agrupación entre nuestros datos y los de tejido adiposo visceral utilizados como referencia (Fig. 7).



**Figura 7. Dendograma del agrupamiento jerárquico no supervisado con muestras públicas y del estudio.** Agrupamiento de las muestras usando los valores de metilación de todos los CpGs analizados por el 850K de 20 muestras publicas de sangre y de tejido adiposo visceral en conjunto con las 19 muestras de tejido adiposo visceral del presente estudio.

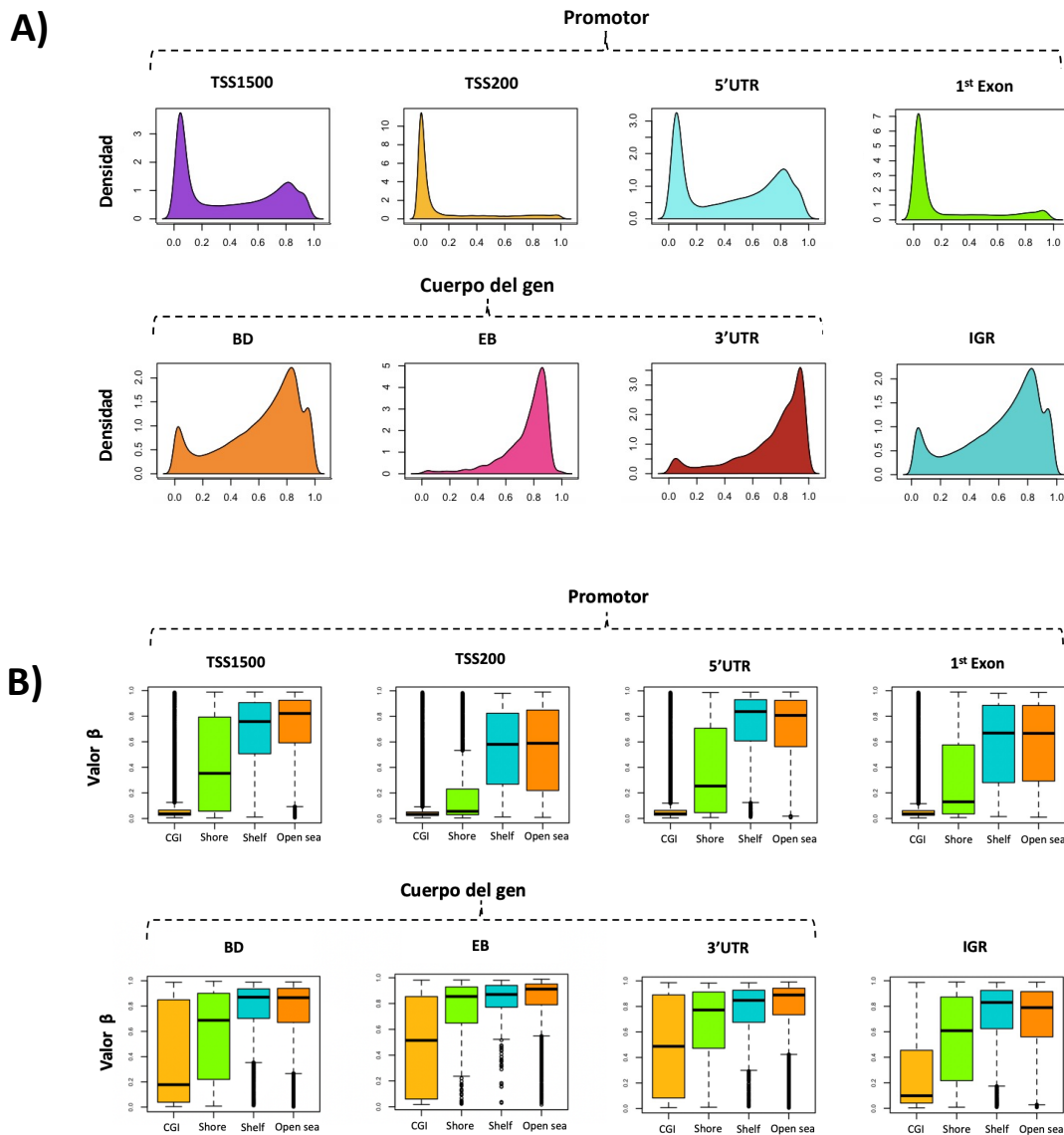
El análisis de densidad del estado de metilación a nivel global mostró un comportamiento bimodal, de acuerdo con lo descrito en la literatura (Fig. 8).



**Figura 8. Gráfico de la densidad de los datos crudos de metilación.** Distribución del valor  $\beta$  de metilación de las 19 pacientes.

El análisis por regiones reveló que las regiones promotoras (TSS1500, TSS200, 5'UTR y 1st Exon) se encontraban mayormente hipometiladas (Fig. 9A). Particularmente, TSS200 y 1st Exon presentaron el más alto número de sitios hipometilados, seguidos por TSS1500 y 5'UTR. Por el contrario, en las regiones localizadas dentro del cuerpo del gen (*Body*, *Exon-bound* y 3'UTR) se encontraron el mayor número de sitios hipermetilados, aunque en la región *Body* también se observaron sitios con hipometilación. Los sitios en regiones intergénicas se comportaron de manera similar a aquellos localizados en *Body*. Puesto que la metilación del ADN ocurre en contexto de CpG, para conocer la influencia de la densidad de los sitios CpG en la metilación, contrastamos el nivel de metilación según su densidad y localización en el genoma (Fig. 9B). Nuestros resultados muestran que las islas CpGs presentan el estado de hipometilación más importante, independientemente de su localización en el gen, aunque esto fue más evidente en la región promotora. Por otra parte, estos resultados sugieren que conforme disminuye la

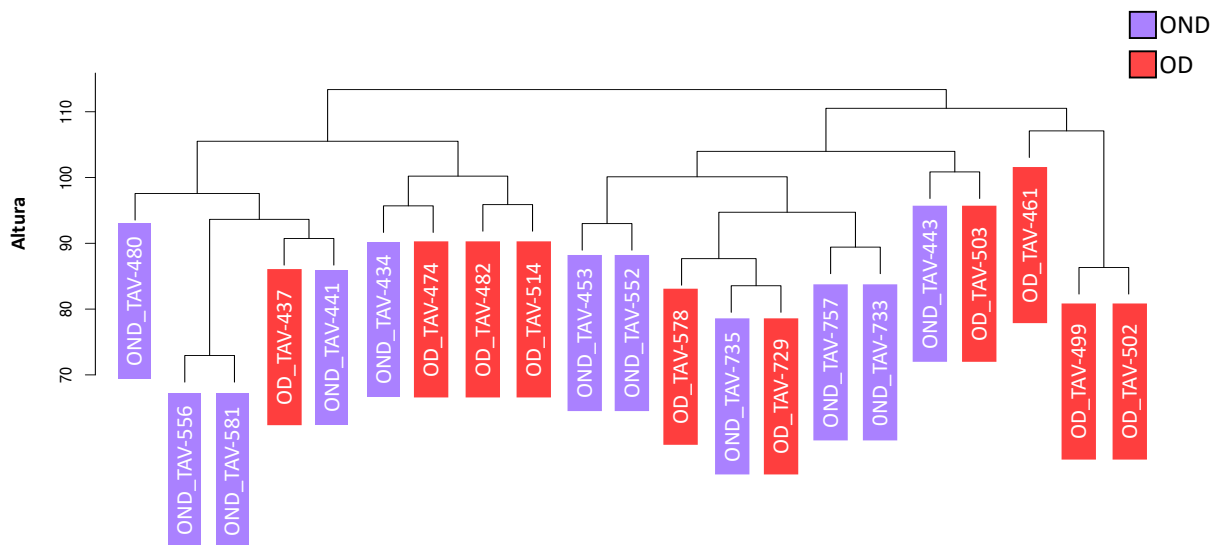
densidad de CpGs (shore y shelf), los niveles de metilación incrementan y presentan mayor variación. Un comportamiento similar se observó en regiones intergénicas.



**Figura 9. Distribución de la metilación global por regiones genómicas. A)** Gráficos de densidad de la metilación de todos los CpGs analizados por el 850K localizados en promotores, cuerpo del gen y regiones intergénicas. **B)** Diagrama de cajas y bigotes de la metilación de todos los CpGs analizados por el 850K localizados en promotores, cuerpo del gen y regiones intergénicas

estratificados por el contexto de su distancia a una isla CpG. TSS1500: 1,500-200 pb río arriba del sitio de inicio de transcripción; TSS200: 200 pb río arriba del sitio de inicio de transcripción; Body: cuerpo del gen; Exon-bound: uniones exón-exón; IGR: región intergénica; CGI: isla CpG.

Un análisis de agrupamiento utilizando todos los sitios CpGs analizados, mostró que no existen diferencias en la metilación global entre pacientes con obesidad con y sin diabetes tipo 2, en línea con lo que se ha informado en la literatura (36,55) (Fig. 10).

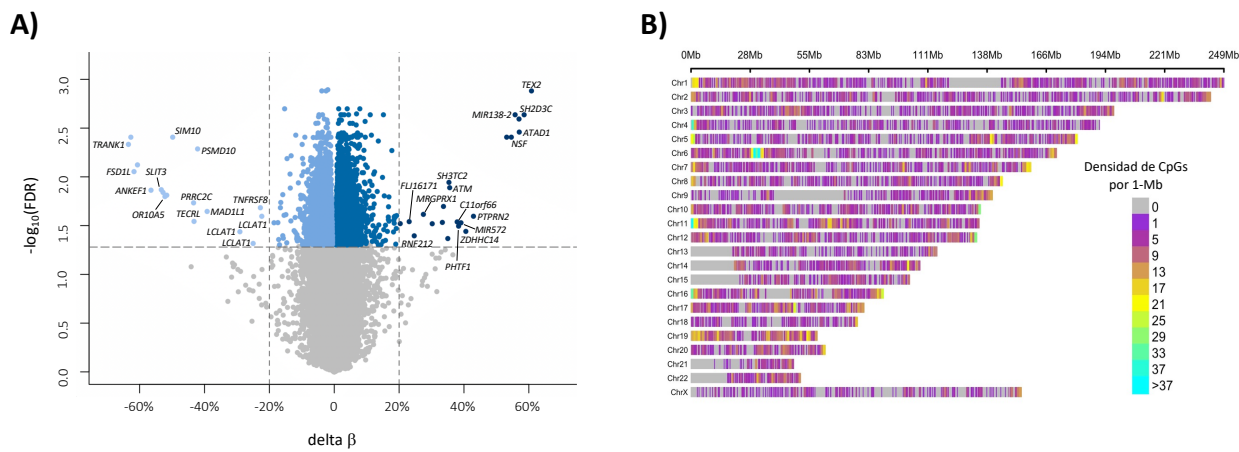


**Figura 10. Dendograma del agrupamiento jerárquico no supervisado de la metilación global.**

Agrupamiento de las muestras usando los valores de metilación de todos los CpGs analizados por el 850K de las 19 muestras de tejido adiposo visceral del presente estudio. OND: Pacientes con obesidad y sin diabetes tipo 2; OD: Pacientes con obesidad y diabetes tipo 2; TAV: tejido adiposo visceral.

## 12. 3. Análisis de metilación diferencial entre pacientes con obesidad y diabetes tipo 2 y pacientes con obesidad y sin diabetes tipo 2

Para identificar sitios específicos con metilación diferencial entre los pacientes con obesidad y diabetes tipo 2 y pacientes con obesidad y sin diabetes tipo 2, se compararon los niveles de metilación de cada uno de los sitios CpG analizados. Este reveló 11,120 CpGs diferencialmente metilados (5,880 genes), 48.4% hipometilados y 51.6% hipermetilados (Fig. 11A y Tabla Anexa 1). Se identificaron CpGs diferencialmente metilados distribuidos en todos los cromosomas, aunque el cromosoma 6 presentó el mayor número de alteraciones (Fig. 11B).



**Figura 11. Metilación diferencial entre pacientes con obesidad y diabetes tipo 2 y pacientes con obesidad y sin diabetes tipo 2.** A) Gráfica de volcán de la comparación de la proporción de cambio ( $\delta\beta$ ) y la significancia expresada como el logaritmo de base 10 del FDR. La línea horizontal punteada señala un valor de  $FDR = < 0.05$ , las líneas verticales punteadas indican un  $\delta\beta > |20\%|$ , los puntos color azul claro señalan los CpGs diferencialmente hipometilados y los azul oscuro hipermetilados en los pacientes con obesidad y diabetes tipo 2 y pacientes con obesidad y sin diabetes tipo 2.

obesidad y sin diabetes tipo 2. **B)** Gráfico de densidad de CpGs según su cromosoma. El eje horizontal muestra el largo del cromosoma (Mb); los diferentes colores dependen de las densidades de los CpGs en una ventana de 1-Mb.

Este cromosoma mostró 132 CpGs diferencialmente metilados e interesantemente, 70 de ellos pertenecen al complejo mayor de histocompatibilidad (MHC por sus siglas en inglés Major Histocompatibility Complex). Otras regiones con alta presencia de alteraciones se localizaron en el cromosoma 4, destacando genes como *PDE6B*, *PCGF3*, *CTBP1*, etc., y en el cromosoma 11, con los genes *PKP3* y *KCNQ1*, entre otros (Tabla 2).

**Tabla 2.** Genes con CpGs diferencialmente metilados en regiones con mayor densidad de alteraciones en cromosomas 4 y 11.

Función relacionada	Nombre del gen	Símbolo del gen
Retinitis	Fosfodiesterasa 6B	<i>PDE6B</i>
Complejo Polycomb - remodelación de la cromatina	Grupo Polycomb Anillo Dedo 3	<i>PCGF3</i>
Supresor tumoral, pardeamiento de tejido adiposo	Proteína 1 de unión al extremo C-terminal	<i>CTBP1</i>
Adhesión celular	Placofilina 3	<i>PKP3</i>
Exocitosis de insulina	Canal de potasio dependiente de voltaje subfamilia Q miembro 1	<i>KCNQ1</i>

Notablemente, los CpGs diferencialmente metilados con mayores diferencias en la metilación ( $\delta\beta > 20\%$ ) revelaron genes asociados por primera vez a diabetes tipo 2 (*TRANK1*, *TEX2*, *SH2D3C*, *ATAD1*, *ANKEF1*, *MIR138-2*, *OR10A5*, *SIM1*, *PRRC2C*, *TECRL*, *ZDHHC14*, *PHTF1*, *C11orf66*, *SH3TC2*, *MRGPRX1*, *RNF212* y *FLJ16171*) (Tabla 3) y otros previamente asociados (*FSD1L*, *NSF*, *SLIT3*, *PTPRN2*, *PSMD10*, *MAD1L1*, *MIR572*, *ATM*, *LCLAT1* y *TNFRSF8*) (Tabla 4) (56–65).

**Tabla 3.** Genes con CpGs diferencialmente metilados sin asociación previa con diabetes tipo 2.

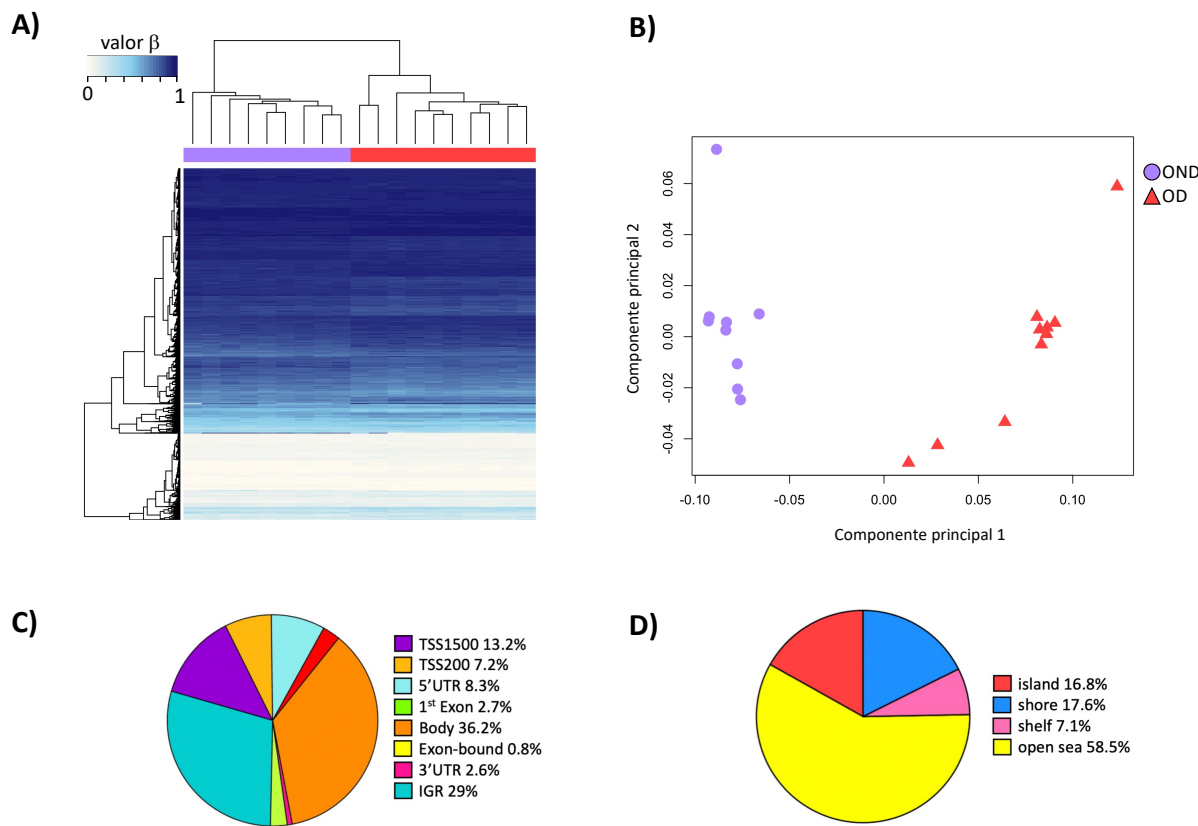
Función relacionada	Nombre del gen	Símbolo del gen
Estructura y función de la mitocondria	ATPasa de la familia AAA que contiene el dominio 1	<i>ATAD1</i>
Metabolismo de lípidos	Expressasdo en testículo 2	<i>TEX2</i>
	Como Trans-2,3-enoil-CoA reductasa	<i>TECRL</i>
Inflamación	Repetición de tetratricopéptido y de anikrina 1	<i>TRANK1</i>
Ensamblaje de gránulos de estres	Bobina en espiral rica en prolina 2C	<i>PRRC2C</i>
Desarrollo de células neuromoduladoras	Homólogo 1 single-minded	<i>SIM1</i>
Sistema inmune innato	Dominio SH2 que contiene 3C	<i>SH2D3C</i>
Entrecruzamiento durante la meiosis	Proteína de dedo anular 212	<i>RNF212</i>
Cáncer- supresión de tumores	Dedo de zinc Palmitoiltransferasa tipo DHHC 14	<i>ZDHHC14</i>
	Micro RNA 138-2	<i>MIR138-2</i>
	Factor de transcripción de homeodominio putativo 1	<i>PHTF1</i>
Olfato	Receptor olfatorio de la familia 19 y miembro 5 de la subfamilia A	<i>OR10A5</i>
Función poco descrita	Repetición de aniquirina que contiene dominio EF-Hand 1	<i>ANKEF1</i>
	Proteína fosfatasa 1 subunidad regulatoria 32	<i>C11orf66</i>
	Dominio SH3 y repetido de tetratricopeptido 2	<i>SH3TC2</i>
	Miembro de la familia GPR relacionado con MAS X1	<i>MRGPRX1</i>
	ARN intergénico largo no codificante para proteína 1951	<i>FLJ16171</i>

**Tabla 4.** Genes con CpGs diferencialmente metilados previamente asociados con diabetes tipo 2.

Función relacionada	Nombre del gen	Símbolo del gen
Resistencia a la insulina	Ataxia telangiectasia mutada	<i>ATM</i>
	ATPasa de fusión de vesículas, factor sensible a N-etilmaleimida	<i>NSF</i>
	No-ATPasa 10, subunidad de proteosoma 26S	<i>PSMD10</i>
Secreción de insulina	Receptor de proteína tirosina fosfatasa tipo N2	<i>PTPRN2</i>
Adipogénesis	Caja pareada 8	<i>PAX8</i>
	Transportadora de soluto de la familia 25 miembro 24	<i>SLC25A24</i>
Inflamación	Miembro 8 de la super familia de receptores TNF	<i>TNFRSF8</i>
	Ligando de guía de hendidura 3	<i>SLIT3</i>
Procesos mitocondriales	Lisocardiolipina aciltransferasa 1	<i>LCLAT1</i>
Mecanismo desconocido	Fibronectina tipo III y dominio que contiene 1 SPRY	<i>FSD1L</i>
	Deficiente de arresto mitótico 1 como 1	<i>MAD1L</i>
	MicroRNA 572	<i>MIR572</i>

Posteriormente, un análisis de agrupamiento jerárquico no supervisado y el escalamiento multidimensional (MDS por sus siglas en inglés Multidimensional Scalling) de estos CpGs diferencialmente metilados separaron a los pacientes con obesidad y diabetes tipo 2 de los pacientes con obesidad y sin diabetes tipo 2 (Fig. 12A y 12B). La distribución genómica de estos CpGs diferencialmente metilados se caracterizó por ser mayormente intragénica (71%), presentándose principalmente en cuerpo (39.6%) seguido por regiones asociadas al promotor (31.4%) (TSS1500, TSS200, 5'UTR, 1st Exon) (Fig. 12C). En cuanto a la distribución de la densidad de CpGs, la mayoría de estos CpGs diferencialmente metilados se encontraron en regiones de

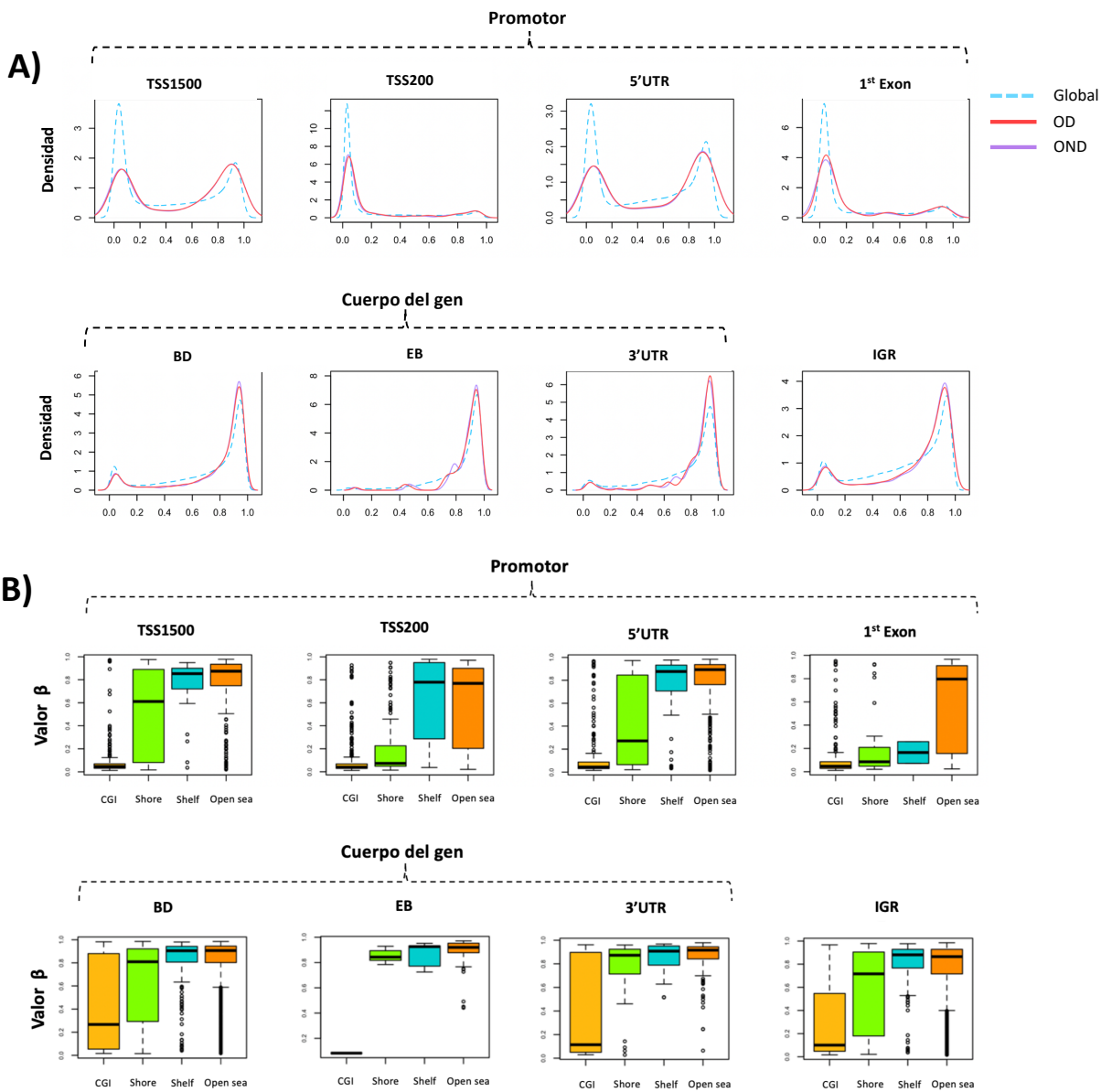
baja densidad, tales como shelves (7.1%), shores (17.6%) y open sea (58.5%), comparado a las islas CpGs (16.8%) (Fig. 12D).



**Figura 12. Agrupamiento de los pacientes con obesidad y diabetes tipo 2 y pacientes con obesidad y sin diabetes tipo 2 según los perfiles de metilación de los CpGs diferencialmente metilados. A)** Mapa de calor de los CpGs diferencialmente metilados mostrando los niveles de metilación para cada CpG (fila) por paciente (columna), después de aplicar un análisis de agrupamiento jerárquico no supervisado. **B)** Escalamiento multidimensional de las muestras, basado en los valores de metilación de los 11,120 CpGs diferencialmente metilados. **C)** Distribución de los CpGs diferencialmente metilados en las diferentes regiones genómicas. **D)**

Distribución de los CpGs diferencialmente metilados según el contexto en su distancia a una isla CpG. OND: Pacientes con obesidad y sin diabetes tipo 2; OD: Pacientes con obesidad y diabetes tipo 2; TSS1500: 1,500-200 pb río arriba del sitio de inicio de transcripción; TSS200: 200 pb río arriba del sitio de inicio de transcripción; Body: cuerpo del gen; Exon-bound: uniones exón-exón; IGR: región intergénica; CGI: isla CpG.

El análisis de la distribución de la metilación por regiones de los CpGs diferencialmente metilados mostró un comportamiento similar al presentado en la metilación global, con excepción de las regiones del promotor, donde disminuyó la densidad de CpGs hipometilados (Fig. 13A). Igualmente, cuando se consideró la densidad de sitios CpG, se observó la misma tendencia a la observada globalmente y sin presentar diferencias entre pacientes con obesidad y diabetes tipo 2 y pacientes con obesidad y sin diabetes tipo 2 (Fig.13B).

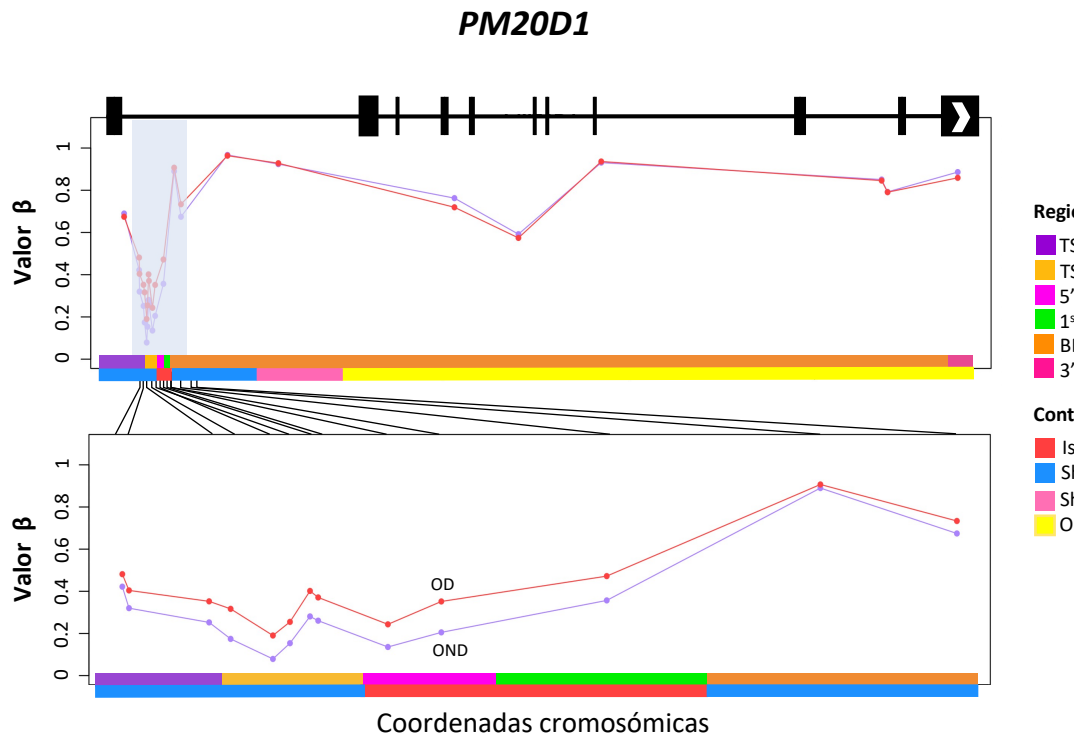


**Figura 13. Distribución de la metilación de los CpGs diferencialmente metilados por regiones genómicas.** A) Gráficos de densidad de la metilación de los CpGs diferencialmente metilados localizados en promotores, cuerpo del gen y regiones intergénicas. B) Diagrama de cajas y bigotes de la metilación de los CpGs diferencialmente metilados localizados en promotores, cuerpo del gen y regiones intergénicas estratificados por el contexto de su distancia a una isla CpG. TSS1500: 1,500-200 pb río arriba del sitio de inicio de transcripción; TSS200: 200 pb río arriba del sitio de

inicio de transcripción; Body: cuerpo del gen; Exon-bound: uniones exón-exón; IGR: región intergénica; CGI: isla CpG.

## **12. 4. Identificación de regiones diferencialmente metiladas entre pacientes con obesidad y diabetes tipo 2 y pacientes con obesidad y sin diabetes tipo 2**

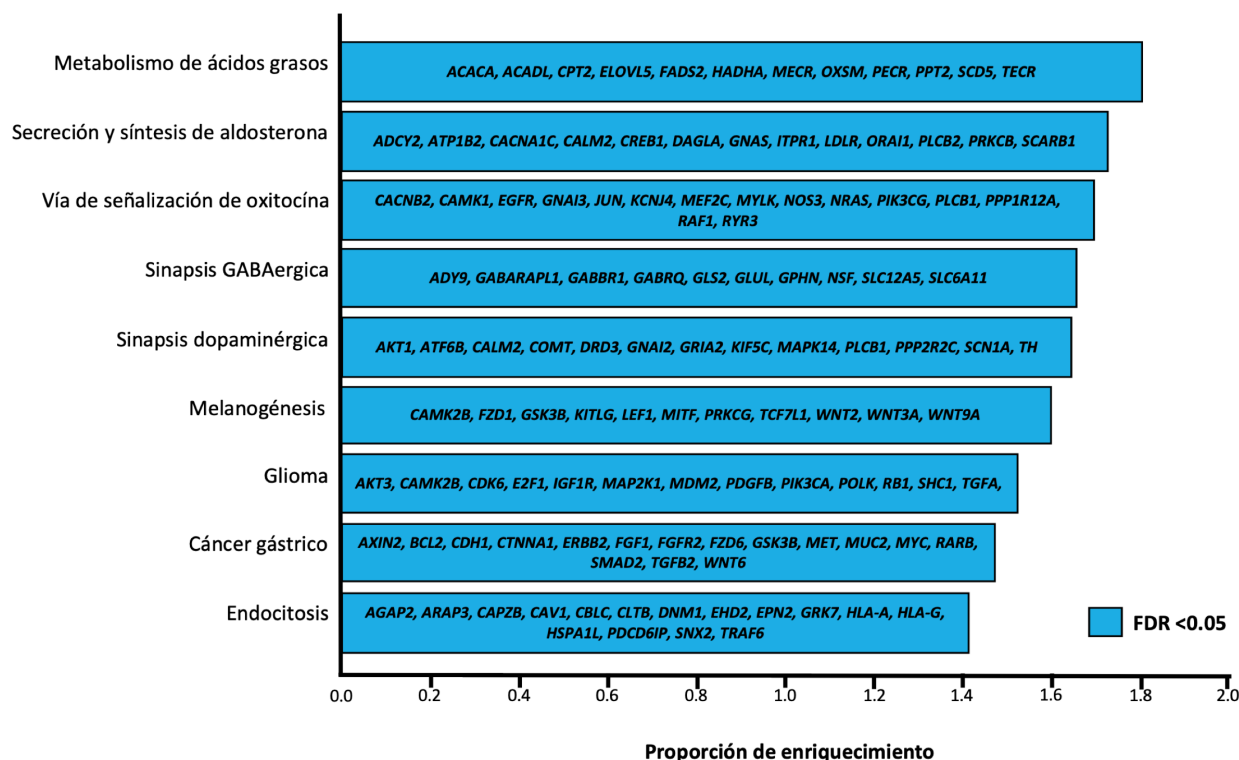
La búsqueda de regiones diferencialmente metiladas entre pacientes con obesidad y diabetes tipo 2 y pacientes con obesidad y sin diabetes reveló 96 regiones diferencialmente metiladas principalmente hipermetiladas (74%) en los pacientes con obesidad y diabetes tipo 2, la mayoría de estas localizadas en regiones con alta densidad de sitios CpGs (Tabla Anexa 2). Además, 92 de estas se encontraron asociadas a un gen, con 80 de ellas aledañas a sitios de inicio de transcripción y algunas extendiéndose hasta el cuerpo del gen. Las 12 restantes, se localizaron únicamente en el cuerpo del gen. Adicionalmente, se encontró que 50 de los genes que presentaron CpGs diferencialmente metilados también presentaron regiones diferencialmente metiladas, las más significativas encontrándose en el gen de la Proteína asociada a cáncer de vejiga (*BLCAP*), Transportadora de soluto de la familia 25 miembro 24 (*SLC25A24*), Peptidasa M20 (*PM20D1*), Caja pareada 8 (*PAX8*) y Lisocardiolipina aciltransferasa 1 (*LCLAT1*). Un ejemplo de estas regiones diferencialmente metiladas se muestra en la Figura 14.



**Figura 14. Región diferencialmente metilada entre pacientes con obesidad y diabetes tipo 2 y pacientes con obesidad y sin diabetes tipo 2.** Imagen del gen *PM20D1* obtenida del NCBI (panel superior) gráficos del promedio de los niveles de metilación del ADN en *PM20D1* y un acercamiento al la regiones diferencialmente metiladas (panel intermedio) con anotaciones adicionales de la región genómica y por el contexto de su distancia a una isla CpG. OND: Pacientes con obesidad y sin diabetes tipo 2; OD: Pacientes con obesidad y diabetes tipo 2; TSS1500: 1,500-200 pb río arriba del sitio de inicio de transcripción; TSS200: 200 pb río arriba del sitio de inicio de transcripción; Body: cuerpo del gen; CGI: isla CpG.

## 12. 5. Análisis de enriquecimiento funcional

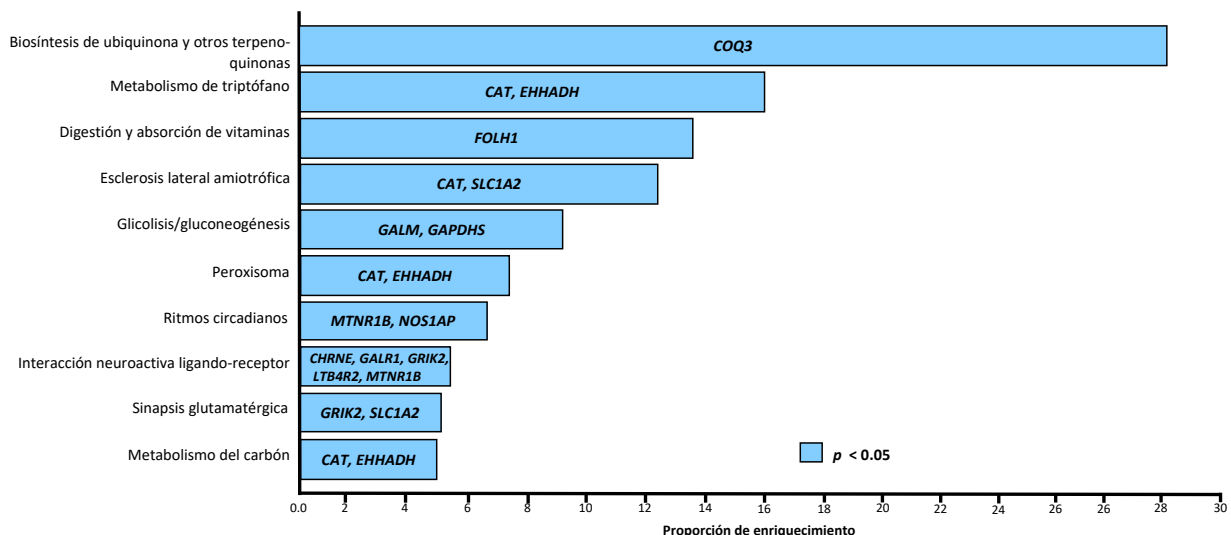
Para tener un mayor entendimiento de las alteraciones en la metilación identificadas y de su relación con el desarrollo de diabetes tipo 2, se realizó un análisis de enriquecimiento con los genes que contienen CpGs diferencialmente metilados y regiones diferencialmente metiladas. Los genes que presentaron CpGs diferencialmente metilados en los pacientes con obesidad y diabetes tipo 2 identificaron vías relacionadas al metabolismo de ácidos grasos, síntesis y secreción de aldosterona, señalización de oxitocina, sinapsis GABAergica, sinapsis dopaminérgica, entre otras (Fig. 15 y Tabla Anexa 3).



**Figura 15. Análisis de enriquecimiento funcional de los CpGs diferencialmente metilados.**

Enriquecimiento de vías de la Enciclopedia de Genes y Genomas de Kioto asociados con los genes que contienen CpGs diferencialmente metilados.

El análisis de enriquecimiento con los genes correspondientes a las regiones diferencialmente metiladas mostró vías relevantes para diabetes tipo 2 tales como glicolisis, gluconeogénesis, peroxisoma, ritmos circadianos, entre otras (Fig. 16), significativas a una  $p$  nominal  $<0.05$ .



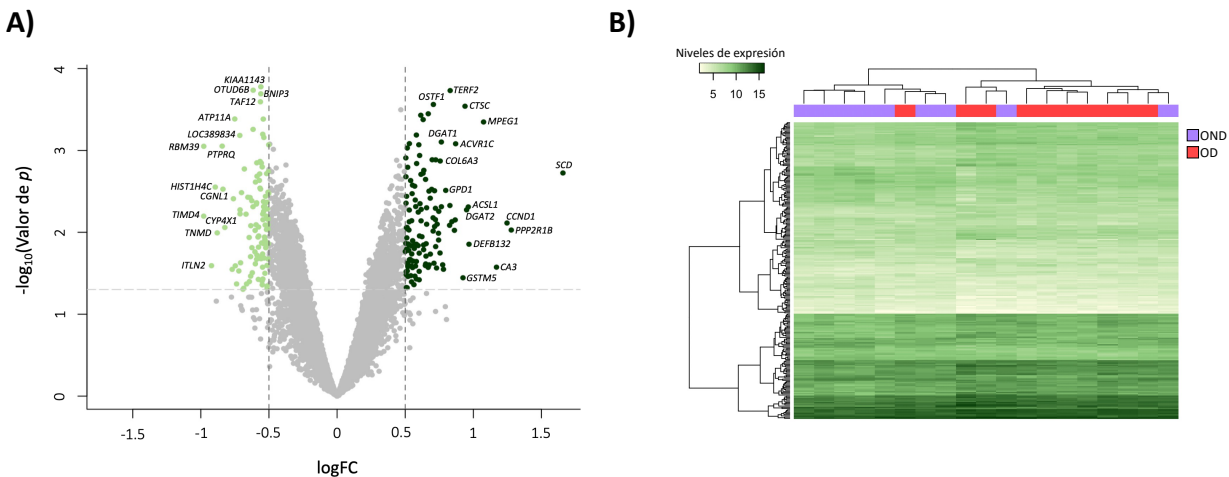
**Figura 16. Análisis de enriquecimiento funcional de los regiones diferencialmente metiladas.**

Enriquecimiento de vías de la Encyclopedia de Genes y Genomas de Kioto asociados con los genes que contienen regiones diferencialmente metiladas.

## 12. 6. Análisis de expresión diferencial entre pacientes con obesidad y diabetes tipo 2 y pacientes con obesidad y sin diabetes tipo 2

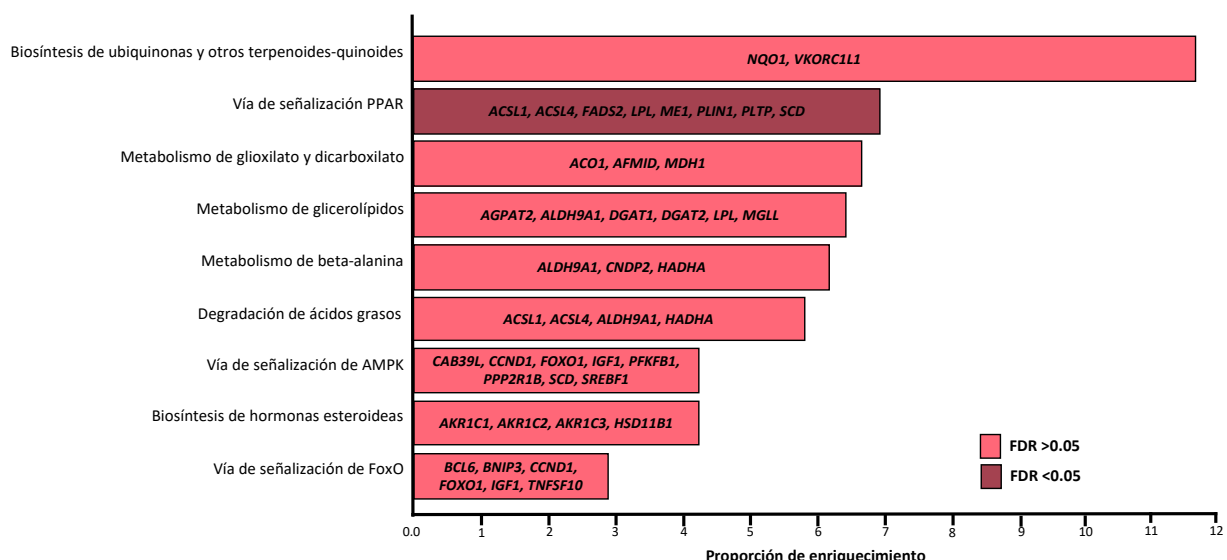
La búsqueda de genes diferencialmente expresados entre pacientes con obesidad y diabetes tipo 2 y pacientes con obesidad y sin diabetes tipo 2 reveló 252 genes diferencialmente expresados, de los cuales el 55.6% estaba sobreexpresado y 44.4% subexpresado en los pacientes con

obesidad y diabetes tipo 2 (Fig. 17A y Tabla Anexa 4). El análisis de agrupamiento jerárquico no supervisado no logró discriminar los pacientes con obesidad y diabetes tipo 2 de los pacientes con obesidad y sin diabetes (Fig. 17B).



**Figura 17. Expresión diferencial entre pacientes con obesidad y diabetes tipo 2 y pacientes con obesidad y sin diabetes tipo 2.** **A)** Gráfica de volcán de la comparación de la proporción de cambio (logFC) y la significancia expresada como el logaritmo de base 10 del vapor  $p$ . La línea horizontal punteada señala un valor de  $p = 0.05$ , las líneas verticales punteadas indican un  $\log FC > |0.5|$ , los puntos color verde claro señalan los genes diferencialmente expresados subexpresados y los verde oscuro sobreexpresados en los pacientes con obesidad y diabetes tipo 2. **B)** Mapa de calor de los genes diferencialmente expresados mostrando los niveles de expresión para cada gen (fila) por paciente (columna), después de aplicar un análisis de agrupamiento jerárquico no supervisado. OND: Pacientes con obesidad y sin diabetes tipo 2; OD: Pacientes con obesidad y diabetes tipo 2.

El análisis de enriquecimiento de los genes con expresión diferencial en los OD mostró a la vía de señalización del receptor activado por el proliferador de peroxisomas (PPAR) como la más relevante, seguida por la de metabolismo de glicerolípidos, señalización de la proteína quinasa activada por AMP (AMPK) y la de metabolismo, y degradación de ácidos grasos (Fig. 18).



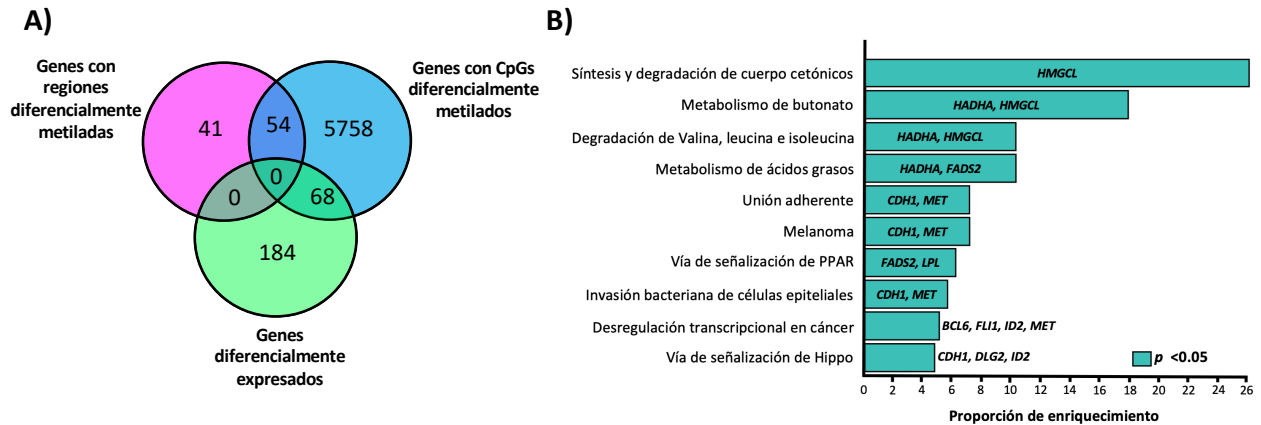
**Figura 18. Análisis de enriquecimiento funcional de los genes diferencialmente expresados.**

Enriquecimiento de vías de Enciclopedia de Genes y Genomas de Kioto asociados con los genes diferencialmente expresados.

## 12. 7. Alteraciones en la metilación del ADN y expresión

Para identificar los genes con alteraciones epigenéticas y en sus niveles de expresión, se contrastaron los genes diferencialmente expresados con los genes de los CpGs diferencialmente metilados y regiones diferencialmente metiladas, encontrándose un traslape únicamente con los

genes que contienen sitios CpGs (CpGs diferencialmente metilados - genes diferencialmente expresados). De los 252 genes diferencialmente expresados, 68 (CpGs diferencialmente metilados = 88) presentaron metilación alterada (Fig. 19A y Tabla Anexa 5). Ya que se sabe que la metilación del ADN juega diferentes papeles en la regulación de la expresión dependiendo de la localización genómica de los CpGs, se analizaron los CpGs diferencialmente metilados - genes diferencialmente expresados de acuerdo con la localización del sitio CpG diferencialmente metilado, es decir, aquellos en región promotora ( $n = 35$ ) independientemente de aquellos localizados en el cuerpo del gen ( $n = 53$ ). Dentro de los genes con CpGs diferencialmente metilados en promotor, 12 estuvieron hipometilados (8 sobreexpresados y 4 subexpresados) y 23 hipermetilados (12 sobreexpresados y 11 subexpresados). Además, en los genes con CpGs diferencialmente metilados en cuerpo, 25 se encontraron hipometilados (8 sobreexpresados y 17 subexpresados) y 28 hipermetilados (16 sobreexpresados y 12 subexpresados). El análisis de enriquecimiento de los 68 genes con CpGs diferencialmente metilados - genes diferencialmente expresados, reveló vías tales como señalización de receptor activado por el proliferador de peroxisomas gama (*PPARG*) e Hippo, síntesis y degradación de cuerpos cetónicos, metabolismo de butonato y ácidos grasos, así como degradación de leucina, valina e isoleucina ( $p = 0.05$ ) (Fig. 19B y Tabla Anexa 6).



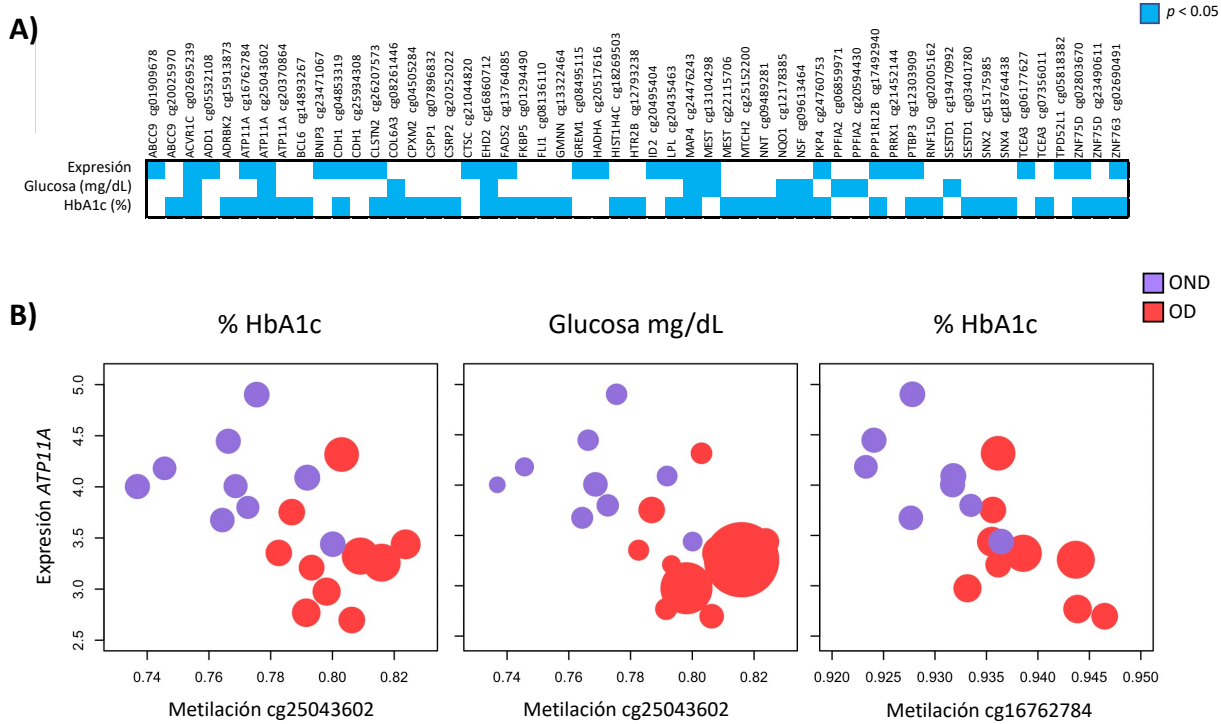
**Figura 19. Traslape entre la metilación y expresión diferencial. A)** Diagrama de Venn mostrando el traslape entre los genes con CpGs diferencialmente metilados y/o regiones diferencialmente metiladas y los genes diferencialmente expresados. **B)** Enriquecimiento de vías de Enciclopedia de Genes y Genomas de Kioto asociados con los genes CpGs diferencialmente metilados - genes diferencialmente expresados.

## 12. 8. Correlación entre la metilación alterada y la expresión

Para investigar la correlación entre la expresión y la metilación alterada, se contrastaron los valores  $\beta$  de metilación con los valores de expresión de los genes que con CpGs diferencialmente metilados - genes diferencialmente expresados. Dentro de los 88 CpGs diferencialmente metilados (68 genes), 26 localizadas en 24 genes, mostraron correlaciones significativas con su expresión (Fig. 20A y Tabla Anexa 5). Las cinco correlaciones más significativas se presentaron en los genes de la ATPasa transportadora de fosfolípidos 11A (*ATP11A*), Lipoproteinlipasa (*LPL*), Homeobox relacionado emparejado 1 (*PRRX1*), Miembro 9 de la subfamilia C del cassette de unión a ATP (*ABCC9*) y Dominio que contiene EH 2 (*EHD2*).

## **12. 9. Correlación entre la metilación alterada y niveles de glucosa en ayunas y HbA1c**

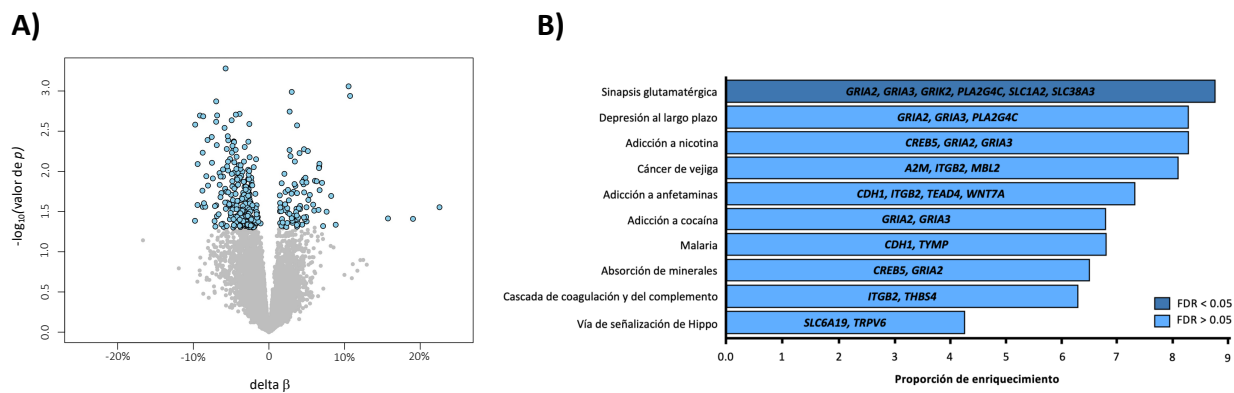
Para identificar las relaciones potenciales entre la metilación alterada del ADN con los niveles de HbA1c y glucosa en ayunas en suero, se analizó la correlación de Pearson usando los valores  $\beta$  de metilación del grupo de genes que mostró CpGs diferencialmente metilados - genes diferencialmente expresados. De los 88 CpGs diferencialmente metilados, encontramos 48 (35 genes) con correlaciones significativas con HbA1c, 11 de las cuales correlacionaron también con los niveles séricos de glucosa en ayunas (Fig. 20A y Tabla Anexa 5). Notablemente, de los 24 genes con correlación significativa entre la metilación y la expresión , la metilación de 16 de estos, también mostró correlación significativa con niveles de glucosa en ayunas y HbA1c, siendo los más significativos la ATPasa transportadora de fosfolípidos 11A (*ATP11A*), Lipoproteinlipasa (*LPL*), Dominio que contiene EH 2 (*EHD2*), Receptor tipo 1C de activina A (*ACVR1C*) y la Proteína asociada a microtúbulos (*MAP4*). La figura 20B muestra al gen de la ATPasa transportadora de fosfolípidos 11A (*ATP11A*) el cual mostró una correlación significativa con 3 de sus CpGs diferencialmente metilados (Fig. 20B).



**Figura 20. Correlación entre la metilación diferencial, expresión génica, niveles de glucosa en ayunas y HbA1c . A)** Gráfico mostrando los CpGs diferencialmente metilados con correlación de Pearson (valor de  $p < 0.05$ ) entre los niveles de metilación y expresión de los genes correspondientes, glucosa en ayunas y niveles de HbA1c en suero. **B)** ATP11A: correlación de Pearson para dos de los CpGs diferencialmente metilados más representativos con sus niveles de expresión. El tamaño del circulo va en función del valor de los niveles de glucosa en ayunas o HbA1c. OND: Pacientes con obesidad y sin diabetes tipo 2; OD: Pacientes con obesidad y diabetes tipo 2.

## 12. 10. Validación de metilación diferencial

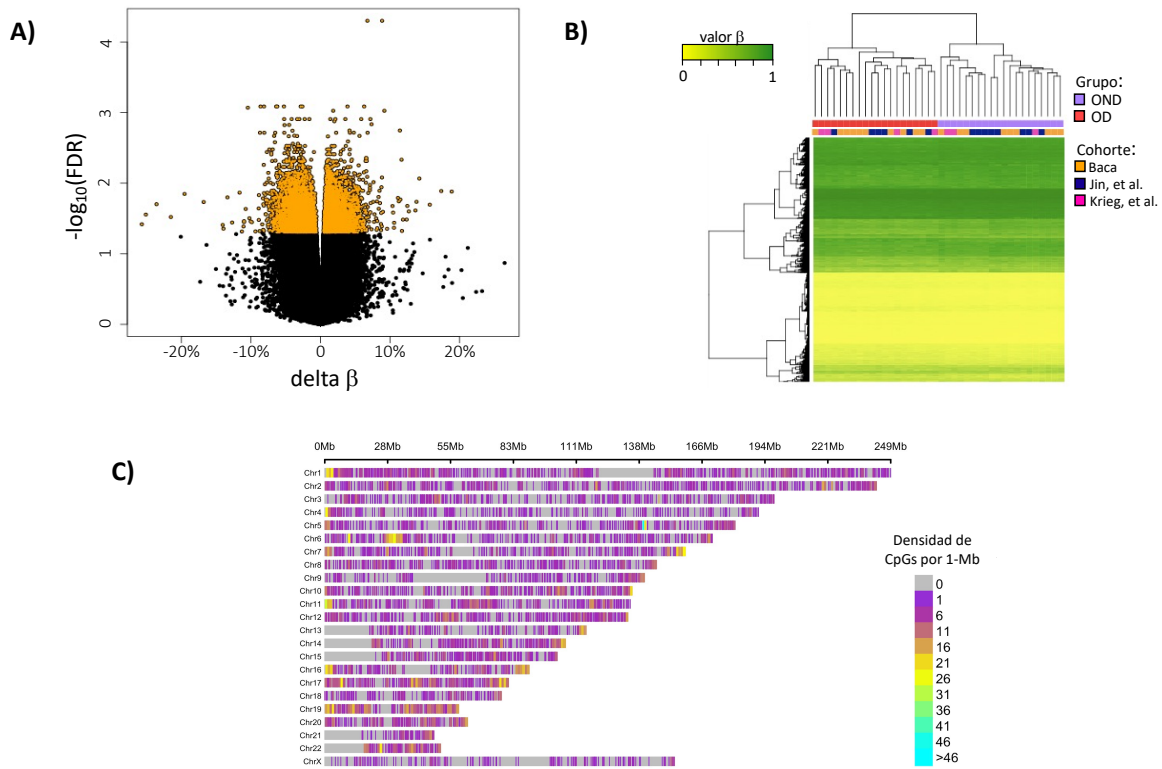
Para validar nuestros resultados, se emplearon dos bases de datos públicas independientes, una de mujeres chinas y otra de mujeres alemanas (11 con obesidad y sin diabetes tipo 2 y 10 con obesidad y diabetes tipo 2) (40,41). Cuando se contrastaron los valores de metilación de los CpGs diferencialmente metilados obtenidos con nuestra muestra con los de la cohorte combinada, se identificaron 233 CpGs mostrando la misma dirección en la metilación a una  $p$  nominal  $<0.05$  (Fig. 21A y Tabla Anexa 7). El análisis de enriquecimiento de vías utilizando estos genes, fue capaz de reproducir la sobrerrepresentación de algunas de las vías encontradas en nuestro estudio, tales como la sinapsis glutamatérgica, depresión a largo plazo y la vía de señalización de Hippo (Fig. 21B y Tabla Anexa 8).



**Figura 21. Metilación diferencial entre pacientes con obesidad y diabetes tipo 2 y pacientes con obesidad y sin diabetes tipo 2 de datos públicos independientes. A)** Gráfica de volcán de la comparación de la proporción de cambio ( $\delta\beta$ ) y la significancia expresada como el logaritmo de base 10 del vapor  $p$ , los puntos color azul claro señalan los CpGs diferencialmente metilados. **B)** Enriquecimiento de vías de la Enciclopedia de Genes y Genomas de Kioto asociados con los

genes que contienen CpGs diferencialmente metilados validados. OND: Pacientes con obesidad y sin diabetes tipo 2; OD: Pacientes con obesidad y diabetes tipo 2; DMCs: sitios CpG diferencialmente metilados.

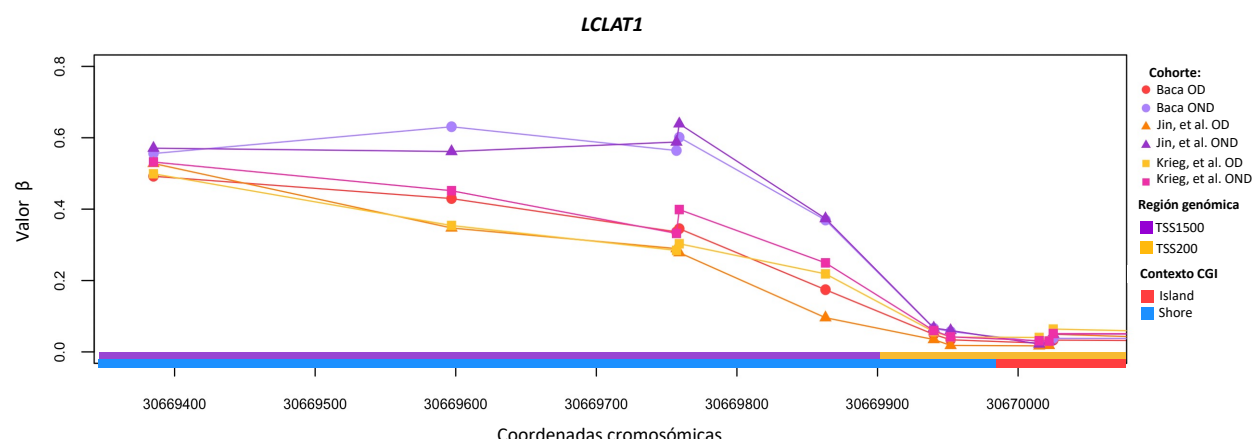
Posteriormente, para ganar poder estadístico en nuestros hallazgos, se realizó un análisis extendido de metilación combinando los 2 conjuntos de datos públicos con aquellos obtenidos en esta tesis, encontrándose 9648 CpGs diferencialmente metilados en 5135 genes (Fig. 22A y Tabla Anexa 9), de los cuales, 2092 genes y 945 CpGs diferencialmente metilados fueron identificados en nuestra cohorte de manera independiente. Todos los CpGs diferencialmente metilados compartidos presentaron consistencia en la direccionalidad en ambos análisis, excepto por el cg25140607 localizado en el gen del Factor de transcripción AP-2 alfa (*TFAP2A*). Interesantemente, el análisis de agrupamiento jerárquico no supervisado fue capaz de discriminar a los pacientes con obesidad y diabetes tipo 2 de los pacientes con obesidad y sin diabetes tipo 2, independientemente de su origen étnico (Fig. 22B). Además, se observó que las regiones que destacaron por su densidad de alteraciones en la metilación como las del cromosoma 4 y 6, entre otras, se compartieron, aunque en menor grado (Fig. 22C).



**Figura 22. Metilación diferencial entre pacientes con obesidad y diabetes tipo 2 y pacientes con obesidad y sin diabetes tipo 2 de cohorte multiétnica. A)** Gráfica de volcán de la comparación de la proporción de cambio ( $\delta\beta$ ) y la significancia expresada como el logaritmo de base 10 del vapor  $p$ , los puntos color anaranjado señalan los CpGs diferencialmente metilados. **B)** Mapa de calor de los CpGs diferencialmente metilados mostrando los niveles de metilación para cada CpG (fila) por paciente (columna), después de aplicar un análisis de agrupamiento jerárquico no supervisado. **C)** Gráfico de densidad de CpGs según su cromosoma. El eje horizontal muestra el largo del cromosoma (Mb); los diferentes colores dependen de las densidades de los CpGs en una ventana de 1-Mb. OND: Pacientes con obesidad y sin diabetes tipo 2; OD: Pacientes con obesidad y diabetes tipo 2.

Al igual que lo observado en nuestra cohorte, en el análisis multiétnico extendido, el gen Lisocardiolipina aciltransferasa 1 (*LCLAT1*) mostró múltiples CpGs diferencialmente metilados y presentó los valores de delta  $\beta$  más altos (>25%) (Fig. 23), igual que el pseudogén y el gen Glutatión S-transferasa theta 2 (*GSTTP2/GSTT1*).

El análisis de enriquecimiento también reveló 26 vías previamente identificadas en la muestra mexicana, incluyendo señalización de oxitocina, sinapsis GABAergica, sinapsis glutamatérgica, señalización MAPK, ritmos circadianos, síntesis y secreción de aldosterona, entre otras (Tabla Anexa 10). Aún más, 32 regiones diferencialmente metiladas fueron localizadas en los mismos genes a las regiones diferencialmente metiladas identificadas con nuestra cohorte, los cuales se muestran en la Tabla Anexa 11.



**Figura 23. Región diferencialmente metilada entre pacientes con obesidad y diabetes tipo 2 y pacientes con obesidad y sin diabetes tipo 2 en estudio multiétnico.** Región diferencialmente metiladas localizada en el gen de Lisocardiolipina aciltransferasa *LCLAT1* graficando los valores

de metilación de las cohortes públicas y los del presente estudio, con anotaciones adicionales de la región genómica y por el contexto de su distancia a una isla CpG. OND: Pacientes con obesidad y sin diabetes tipo 2; OD: Pacientes con obesidad y diabetes tipo 2; TSS1500: 1,500-200 pb río arriba del sitio de inicio de transcripción; TSS200: 200 pb río arriba del sitio de inicio de transcripción; CGI: isla CpG.

## 13. DISCUSIÓN

Tanto en México como el mundo la obesidad es reconocida como un grave problema de salud pública y una epidemia del siglo XXI. Múltiples estudios han mostrado como los rasgos asociados a obesidad, tales como el IMC y la circunferencia de cintura, se asocian a un incremento en el riesgo a desarrollar diabetes tipo 2. De acuerdo con esto, el aumento acelerado en la prevalencia de la obesidad ha contribuido a un incremento en la prevalencia de la diabetes tipo 2 y otras comorbilidades metabólicas (66). Sin embargo, a pesar de que estas dos patologías presentan una alta interrelación desde un punto de vista tanto epidemiológico como fisiopatológico, entender la progresión de la obesidad a diabetes ha resultado sumamente complejo, ya que no todos los individuos con obesidad desarrollan diabetes tipo 2 (4,22). Más aún, estudios amplios de genoma muestran que estas condiciones comparten pocos alelos de riesgo, por lo que estos explican sólo una pequeña parte de la variabilidad interindividual en la susceptibilidad de los pacientes con obesidad para desarrollar diabetes tipo 2 (24). Por otro lado, la evidencia sugiere que la presente epidemia de obesidad y diabetes tipo 2 también se asocia de manera relevante a otros factores tales como el medio ambiente y el estilo de vida, los cuales inducen cambios

epigenéticos (26,33). De hecho, diversos estudios han identificado una desregulación en los perfiles de metilación del ADN en pacientes con diabetes tipo 2, lo cual apoya el rol de las alteraciones epigenéticas en el incremento de la incidencia de diabetes tipo 2(36). El tejido adiposo visceral , uno de los mayores contribuyentes a los efectos deletéreos de la obesidad, se ha mostrado como uno de los tejidos que sufre mayores desregulaciones epigenéticas, las cuales pudieran contribuir en la disfunción del adipocito a través de la desregulación de la expresión génica, y mediar así el desarrollo de la resistencia a la insulina y a la diabetes tipo 2 (39). Se sabe, que para entender la función de la metilación del ADN es necesario considerar el contexto o la región genómica donde esta ocurre (67). Mientras que la metilación en la región promotora regula la transcripción, la metilación en el cuerpo del gen se ha relacionado con la elongación de transcritos y el *splicing* (31). Normalmente, las regiones cercanas al promotor se caracterizan por estar hipometiladas, aunque en algunos padecimientos tales como el cáncer, enfermedades neurológicos, autoinmunes y metabólicas, estos patrones se han visto perturbados de manera significativa (30). Sin embargo, a pesar de los importantes avances en el conocimiento de la relación epigenética con la obesidad y la diabetes tipo 2, aún se necesitan más estudios para entender las consecuencias funcionales de las alteraciones en la metilación del tejido adiposo. Sin duda, esto tendrá un impacto en el descubrimiento de blancos terapéuticos y de nuevos biomarcadores que permitan identificar aquellos individuos con obesidad que presentan un mayor riesgo a progresar a diabetes tipo 2.

En el presente estudio, nos propusimos identificar las alteraciones epigenéticas que tienen impacto en la desregulación de la función de vías de señalización en el tejido adiposo visceral de pacientes con obesidad y diabetes. Para esto, se compararon los perfiles de metilación del ADN

y los perfiles de expresión génica entre pacientes con obesidad, con y sin diabetes tipo 2. Además, se documentó la correlación de la alteración de la metilación con parámetros relacionados a diabetes tipo 2 . Como era de esperarse, la metilación global se encontró dentro de los patrones normales en los pacientes con diabetes tipo 2, es decir, con los valores de metilación de todos los sitios analizados no se observó una agrupación por estatus de diabetes tipo 2 mediante un análisis de escalamiento multidimensional, en contraste a lo que comúnmente se observa en los estudios cáncer y autismo (68,69). El análisis por región genómica mostró predominantemente una hipometilación en los sitios CpGs del promotor, mientras que las regiones localizadas en el cuerpo del gen se encontraron mayormente hipermetiladas, con excepción de la región *Body*, la cual también mostró sitios hipometilados. Se ha descrito que la región cercana al TSS presenta una mayor densidad de sitios CpG, la cual tiene una correlación negativa con los niveles de metilación, es decir, las regiones ricas en CpGs, las islas CpGs se caracterizan por estar hipometiladas y por presentar niveles de metilación más estable. Por otro lado, la metilación en regiones no- isla CpG se caracteriza por ser más dinámica (70). Nuestros resultados están en línea con esta observación, ya que las islas CpGs se encontraron mayormente hipometiladas, independientemente de la región genómica. Además, se observó que los valores y la dispersión en la metilación aumentaron conforme la densidad de CpGs disminuía. No obstante, estas observaciones fueron menos claras en el cuerpo del gen. De hecho, se ha sugerido que la metilación de las islas CpGs en el cuerpo del gen es tejido específica y que la variabilidad en su metilación pudiera deberse a la presencia de promotores alternos, lo cual ha dificultado su entendimiento (28).

Por otra parte, nuestros resultados estuvieron de acuerdo con lo descrito previamente en el contexto de la obesidad y la diabetes tipo 2, donde se han reportado alteraciones en sitios CpG específicos en múltiples tejidos blancos de la insulina. Es decir, cuando se compararon los perfiles de metilación entre los pacientes con obesidad y diabetes tipo 2 y pacientes con obesidad y sin diabetes tipo 2, se identificaron 11,120 CpGs diferencialmente metilados y 96 regiones diferencialmente metiladas, un mayor número de alteraciones a las encontradas en estudios previos, posiblemente debido a que el arreglo utilizado para analizar la metilación en el presente estudio interroga un mayor numero de sitios CpG, la diferencia en el tamaño de muestra analizada o a la metodología seguida para realizar los análisis (33, 36, 39, 40, 41). La mayoría de estas alteraciones que identificamos se presentaron en regiones de baja densidad de sitios CpGs, donde se había observado una mayor variabilidad en la metilación en el análisis global (71,72). Posteriormente, la comparación de la distribución de la metilación por regiones genómicas entre los CpGs diferencialmente metilados y la global, no mostró diferencias significativas. Sin embargo, interesantemente, en la región promotora se observó una menor presencia de CpGs diferencialmente metilados hipometilados, sugiriendo que esta región muestra una mayor estabilidad ante las alteraciones epigenéticas.

Notablemente, nuestros hallazgos refuerzan la participación de las alteraciones epigenéticas en la etiopatogénesis de la diabetes tipo 2 en la obesidad ya que algunos de los genes con CpGs diferencialmente metilados y con las más grandes diferencias en la metilación (delta β) ya se han asociado previamente con diabetes tipo 2 (Tabla 4). Estos genes se han involucrado con la resistencia y secreción de insulina (*ATM*, *PTPRN2*, *PSMD10* y *NSF*) (57,58,62,64), adipogénesis (*SLC25A24* y *PAX8*) (73,74), inflamación (*TNFRSF8* y *SLIT3*) (56,59), y procesos mitocondriales

(*PM20D1* y *LCLAT1*)(65,75). Notablemente el análisis de enriquecimiento de estos genes con CpGs diferencialmente metilados también identificó vías previamente asociadas al desarrollo de diabetes tipo 2, tales como las de la señalización Hippo, oxitocina, Wnt, ritmos circadianos (19,76–78), entre otras .

Así también, en este estudio también se identificaron genes nuevos, es decir genes que aun no habían sido asociados directamente con diabetes tipo 2 (Tabla 3). La revisión de la literatura nos permitió identificar que algunos de estos genes están involucrados en procesos relacionados con el desarrollo de diabetes tipo 2 como el control de la estructura y función de la mitocondria (*ATAD1*)(79), el metabolismo de lípidos (*TEX2* y *TECRL*)(80,81), la inflamación (*TRANK1*)(82), el ensamblaje de gránulos de estrés (*PRRC2C*)(83), así como el desarrollo de células neuronales (*SIM1*)(84). Otro subconjunto de estos genes nuevos se han asociado con la interferencia del sistema inmune innato (*SHD2D3C*)(85) y procesos proliferativos como apoptosis (*BLCAP*)(86), regulación del entrecruzamiento en meiosis (*RNF212*)(87) y supresión de tumores (*ZDHHC14*, *MIR138-2* y *PHTF1*)(88–90). Finalmente, de otros de los genes identificados no se ha descrito su función y se conoce poco su relación con enfermedades (*ANKEF1*, *OR10A5*, *C11orf66*, *SH3TC2*, *MRGPRX1* y *FLJ16171*). Dentro de las vías enriquecidas con estos genes se identificaron otras no relacionadas con diabetes o con la disfunción del tejido adiposo visceral tales como la sinapsis glutamatérgica y colinérgica (91,92), entre otras.

De manera notable, las alteraciones en la metilación fueron encontradas a lo largo del genoma, destacando en densidad, regiones en los cromosomas 6, 4 y 11. Interesantemente, las

alteraciones en el cromosoma 6 se localizaron en el locus del complejo mayor de histocompatibilidad, la región más importante en inflamación e inmunidad innata (93). Dentro de esta región se encontraron involucrados múltiples genes del antígeno leucocitario humano (HLA). En apoyo a esta observación, estos resultados fueron reproducibles en el análisis multiétnico extendido. Mas aún, en un estudio realizado por nuestro grupo, se observaron hallazgos similares durante la adipogénesis *in vitro* de células mesenquimales aisladas de las mismas biopsias analizadas en este estudio, lo que sugiere que estas observaciones se derivan de adipocitos y no de células inflamatorias infiltradas (94). Más aun, se ha reportado que una dieta alta en grasas conlleva a un aumento en la expresión de los genes de la región del MHC en adipocitos y macrófagos del tejido adiposo de ratones. Además, se observó que este cambio fue consecuente a un incremento en la secreción de leptina debido a la dieta y previo a la invasión de leucocitos al tejido adiposo, e inclusive antes que iniciara la inflamación a nivel celular (95). En línea con estos hallazgos, recientemente una revisión sistemática que recopiló las marcas epigenéticas en tejido adiposo visceral de individuos con obesidad, con y sin resistencia a la insulina y/o disglucemia, reportó que las más grandes alteraciones ocurrieron en genes de la región del HLA (36). Pese a que esta región se ha relacionado más con diabetes tipo 1, estos hallazgos incrementan la evidencia de que esta región podría estar involucrada en el desarrollo de diabetes tipo 2 en individuos con obesidad debido a un desarreglo epigenético. Similar a como se ha descrito en estudios anteriores, el acoplamiento de la metilación con la expresión alterada no se observó, quizá debido a la gran complejidad en su sistema regulatorio y a la alta frecuencia de variantes genéticas en esta región.

Por otro lado, en la región localizada en el cromosoma 4 destacaron los genes *PDE6B*, *PCGF3* y *CTBP1*, al presentar múltiples CpGs diferencialmente metilados ( $\geq 3$ ) (Tabla 2). *PDE6B*, asociado con retinitis (96) y *PCGF3* componente del complejo Polycomb (97), no han sido relacionados a diabetes tipo 2 ni se les ha descrito una función en tejido adiposo visceral , sin embargo, *CTBP1* es un correpresor de supresores de tumores y en interacción con *PPARy*, participa en el pardeamiento del tejido adiposo, mecanismo por el cual podría relacionarse con diabetes tipo 2 (98). Finalmente, en la región del cromosoma 11, destacaron, con 6 CpGs diferencialmente metilados, los genes *PKP3* y *KCNQ1* (Tabla 2). Mientras que *KCNQ1* ha mostrado alteraciones en su metilación en pacientes con obesidad, además de ser un gen de susceptibilidad para diabetes tipo 2 (33), *PKP3* que participa en adhesión celular, se ha asociado con cardiomielopatías mas no con diabetes tipo 2 (99).

Otra región que destacó por un gran número de alteraciones en la metilación se localizó en el gen Lisocardiolipina aciltransferasa 1 (*LCLAT1*), el cual mostró una de las regiones diferencialmente metiladas mas significativas, así como múltiples CpGs diferencialmente metilados que presentaron las diferencias más significativas entre pacientes con obesidad y diabetes tipo 2 y pacientes con obesidad y sin diabetes tipo 2 (delta  $\beta$ ). Importantemente, esta región también mostró hipometilación en los pacientes con obesidad y diabetes tipo 2 tanto en el análisis de validación como en el análisis multiétnico extendido. Mas aún, el estudio publicado por Jin-N y colaboradores (40), documentó la misma región diferencialmente metilada en pacientes con diabetes tipo 2. Podría suponerse que el efecto esperado tras la hipometilación observada en su región promotora sería la sobreexpresión del gen, la cual contribuiría al

desarrollo de diabetes tipo 2. En apoyo a esto, se ha observado que la sobreexpresión de este gen por estrés oxidativo y por obesidad, inducida por dieta en ratones, reduce la fosforilación de Akt, conllevando a una resistencia a la insulina y a una hiperglicemia (65). Cabe mencionar que ni en nuestro estudio ni en los que refieren alteraciones en la metilación de este gen en tejido adiposo visceral, encuentran diferencias en sus valores de expresión en pacientes con obesidad y diabetes tipo 2. Notablemente, en un estudio previo en nuestro laboratorio (94), fuimos capaces de demostrar una alteración de la metilación en todas las etapas de la adipogénesis en pacientes diabéticos, pero interesantemente la correlación entre hipometilación y sobreexpresión de el gen Lisocardiolipina aciltransferasa 1 (*LCLAT1*), sólo se observó en células mesenquimales, lo que sugiere que, para algunos genes, el efecto de la metilación sobre la expresión pudiera presentarse en etapas específicas de la diferenciación.

Igualmente, ninguna de las regiones diferencialmente metiladas mencionadas ni otras encontradas como las más significativas como la proteína asociada al cáncer de mama (*BLCAP*), proteína transportadora de s80oluto de la familia 25 miembro 24 (*SLC25A24*) o la peptidasa M20 (*PM20D1*), así como ninguno de los CpGs diferencialmente metilados con mayores diferencias en la metilación previamente descritos como el repetición de tetratricopéptido y de anikrina 1 (*TRANK1*), Fibronectina tipo III y Dominio que contiene como SPRY 1 (*FSD1L*), Expresado en testículo 2 (*TEX2*), entre otros, reflejaron alteraciones significativas en la expresión. De hecho, múltiples estudios han mostrado que solo un pequeño porcentaje de la regulación transcripcional depende de cambios en la metilación (100,101). Nuestros hallazgos apoyan a esta noción ya que solo un pequeño conjunto de genes con CpGs diferencialmente metilados también muestran

genes diferencialmente expresados, aunque no podemos descartar un fenómeno similar al observado para *LCLAT1*.

Igualmente, de los genes diferencialmente expresados con mas grandes diferencias (*SCD*, *PPP2R1B*, *CCND1*, *CA3*, *MPEG1* y *S100A8*) no revelaron alteraciones significativas en la metilación, concordando con lo publicado en la literatura (Tabla 5). Sin embargo, no se descarta la relevancia de estos genes en el desarrollo de diabetes tipo 2 ya que *CA3*, *MPEG1* y *S100A8* se han mostrado alterados en adipogénesis y obesidad, y contribuyen a un ambiente proinflamatorio (102–104) . Mientras que las funciones de los genes *PPP2R1B* y *CCND1* no son del todo conocidas en este contexto, se ha descrito que el gen *SCD* participa en múltiples procesos metabólicos incluyendo lipogénesis, oxidación de ácidos grasos, señalización mediada por insulina, termogénesis e inflamación (105). Nuestros resultados postulan a estos genes como importantes candidatos para la fisiopatogenia de diabetes tipo 2 y muestran la necesidad de realizar futuros estudios para conocer su función en tejido adiposo.

**Tabla 5.** Genes con mayores cambios en la expresión sin alteraciones en la metilación del ADN.

Nombre del gen	Símbolo del gen
Esteroil-CoA Desaturasa	<i>SCD</i>
Proteína fosfatasa 2 andamio subunidad Abeta	<i>PPP2R1B</i>
Ciclina D1	<i>CCND1</i>
Anhidrasa carbónica 3	<i>CA3</i>
Expresada en macrófagos 1	<i>MPEG1</i>
Proteína fijadora de calcio S100-A8	<i>S100A8</i>

Por otro lado, el análisis de enriquecimiento del subconjunto de genes que presentaron tanto alteración en la metilación como en la expresión (CpGs diferencialmente metilados - genes diferencialmente expresados) mostró que estos participan en procesos potenciadores de diabetes tipo 2, tales como señalización de *PPARG*, así como en múltiples vías metabólicas que promueven la diferenciación de adipocitos y median la sensibilidad a insulina. Mas aún, algunos de estos presentaron correlaciones significativas entre sus valores de metilación y de expresión, siendo los genes ATPasa transportadora de fosfolípidos 11A (*ATP11A*), la Lipoproteinlipasa (*LPL*) y el gen Dominio EH que contiene 2 (*EHD2*) los que cursaron con las mayores alteraciones en metilación y expresión más significativas. Además, la metilación de estos genes también correlacionó significativamente con parámetros relacionados a diabetes tipo 2. El gen ATPasa transportadora de fosfolípidos 11A (*ATP11A*) pertenece a la familia de las 14 P4 APTasas, las cuales translocan fosfolípidos a través de las membranas celulares (106). La alteración de la metilación de este gen se ha asociado con cáncer colorectal y la enfermedad de Crohn (107,108). Aunque su participación en obesidad y diabetes tipo 2 no se ha descrito aún, existe evidencia de que otros miembros de esta familia de genes tales como las ATPasas transportadoras de fosfolípidos 10C y 10A (*ATP10C* y *ATP10A*), afectan la movilización de vesículas de GLUT4 estimulada por insulina o la regulación de su señalización (109). Aquí, la hipermetilación de *ATP11A* correlacionó significativamente con un decremento en sus niveles de expresión y con un incremento en los niveles de glucosa circulante y de HbA1c, lo cual sugiere que similar a *ATP10*, un decremento en su expresión se asocia con una disparidad en el metabolismo de glucosa.

En cuanto al gen Lipoproteinlipasa (*LPL*) que codifica para una lipoproteína lipasa, una enzima clave en la hidrolisis de triglicéridos dependiente de insulina, un estudio previo encontró un CpG diferencialmente metilado en la región promotora en tejido adiposo visceral de individuos con síndrome metabólico y este correlacionó positivamente con un decremento del perfil metabólico (110). Otro estudio documentó las asociaciones mas significativas entre la metilación de la Lipoproteinlipasa en linfocitos y medidas de sensibilidad a la insulina (111). Aquí, la metilación de su promotor correlacionó significativamente con un incremento en HbA1c. Dicho esto, el presente estudio aporta con más evidencia de que la hipermetilación del gen de la Lipoproteinlipasa puede predisponer a enfermedades metabólicas como la diabetes tipo 2. Similarmente, el gen Dominio EH que contiene 2 (*EHD2*), es un gen asociado a obesidad e implicado en la endocitosis de GLUT4 y en el mantenimiento del metabolismo intracelular de lípidos en adipocitos (90,112). Su metilación se ha encontrado alterada en adipocitos de ratones con obesidad. En el presente estudio, un CpG diferencialmente metilado localizado en el cuerpo de el gen Dominio EH que contiene 2 (*EHD2*) tuvo una correlación con su sobreexpresión, e interesantemente, con niveles de glucosa en sangre y de HbA1c.

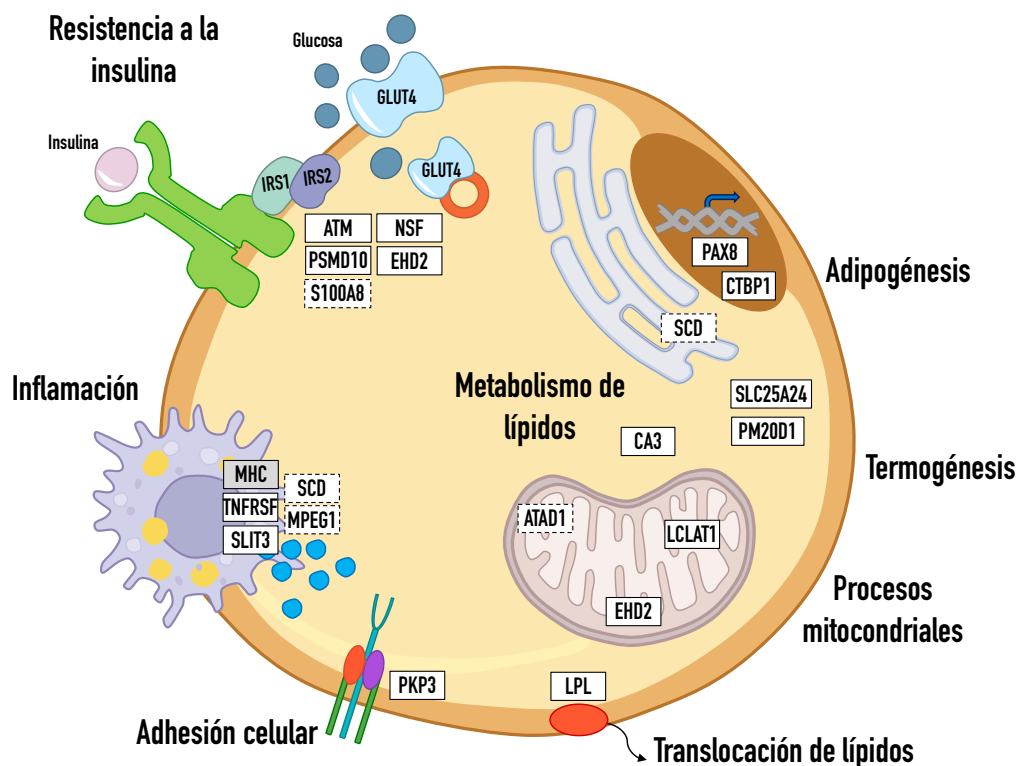
## 14. CONCLUSIONES

El trabajo realizado en esta tesis ha incrementado el repertorio de genes candidatos involucrados en los mecanismos que subyacen la fisiopatología de diabetes tipo 2 en pacientes con obesidad (Figura 24). Es decir, gracias al análisis del metiloma y a su correlación con el transcriptoma del tejido adiposo y parámetros relacionados a diabetes tipo 2, se documentan aberraciones en la metilación de genes previamente asociados al desarrollo de diabetes tipo 2 y permitió la identificación de nuevos candidatos.

Aunque no en todos los casos se observó la correlación esperada entre la metilación y la expresión, nuestros resultados sugieren que la alteración la metilación es relevante para el desarrollo de diabetes tipo 2. De igual manera, según el análisis de agrupamiento, el cuál fue capaz de discriminar a los pacientes con obesidad y diabetes tipo 2 pacientes con obesidad y sin diabetes tipo 2 usando los perfiles de metilación, mas no los de expresión, apoyan la idea de que la metilación del ADN podría ser mejor biomarcador que la expresión.

Por otra parte, nuestros hallazgos apoyan la noción de que existen alteraciones en la metilación del tejido adiposo visceral de pacientes con diabetes tipo 2 que son tanto comunes como particulares de las diferentes etnidades, probablemente debido a la variación genética o a las diferencias medioambientales entre las poblaciones, las cuales contribuyen significativamente a moldear la susceptibilidad epigenómica a enfermedades. Esto se concluyó con base a las observaciones en el análisis extendido del presente trabajo, en el sentido de que algunas de las marcas observadas como las de la región del complejo mayor de histocompatibilidad y *LCLAT1*, fueron compartidos entre individuos de diferentes orígenes étnicos, mientras que algunas otras en genes como la ATPasa transportadora de fosfolípidos 11A (*ATP11A*), la Lipoproteinlipasa (*LPL*),

la Proteína asociada al cáncer de vejiga (*BLCAP*), etc., fueron encontrados sólo en nuestra población. Los hallazgos reportados aportan mayor evidencia de que los mecanismos epigenéticos, tales como la metilación del ADN, pueden contribuir con el desarrollo de diabetes tipo 2 en individuos con obesidad lo cual puede aumentar potencialmente nuestro conocimiento de la diabetes tipo 2.



**Figura 24. Resumen de los procesos y funciones en el adipocito con alteraciones en la metilación o expresión en pacientes con obesidad y diabetes tipo 2.** Los rectángulos con la línea lisa señalan los genes con alteraciones en la metilación y los que presentan línea punteada señalan los genes con alteraciones en la expresión. El rectángulo de color gris señala a una región con alteración en la metilación. ATAD1: ATPasa de la familia AAA que contiene el dominio 1; ATM: Ataxia telangiectasia mutada; CA3: Anhidrasa carbónica 3; CTBP1: Proteína 1 de unión al extremo

C-terminal; EHD2: Dominio que contiene EH 2; GLUT4: Transportador de solutos 4; IRS-1 e IRS-2: Sustratos 1 y 2 de los receptores de insulina; LCLAT1: Lisocardiolipina aciltransferasa 1; LPL: Lipoproteinlipasa; MHC: Complejo mayor de histocompatibilidad; MPEG1: Expresada en macrófagos 1; NSF: ATPasa de fusión de vesículas, factor sensible a N-etilmaleimida; PAX8: Caja pareada 8; PKP3: Placofilina 3; PM20D1: Peptidasa M20; PSMD10: No-ATPasa 10, subunidad de proteosoma 26S; S100A8: Proteína fijadora de calcio S100-A8; SCD: Estearoil-CoA Desaturasa; SLC25A24: Transportadora de soluto de la familia 25 miembro 24; SLIT3: Ligando de guía de hendidura 3; TNFRSF: Miembro 8 de la superfamilia de receptores TNF.

## 15. REFERENCIAS

1. Blüher M. Obesity: global epidemiology and pathogenesis. *Nat Rev Endocrinol*. 2019;15(5):288–98.
2. Shamah LT, Cuevas NL, Romero MM, Gaona PEB, Gómez ALM, Mendoza AL, et al. Encuesta Nacional de Salud y Nutrición 2018-19. Resultados Nacionales [Internet]. Instituto Nacional de Salud Pública. 2020. 268 p. Available from: <https://ensanut.insp.mx/encuestas/ensanut2018/informes.php>
3. Chooi YC, Ding C, Magkos F. The epidemiology of obesity. *Metabolism* [Internet]. 2019;92:6–10. Available from: <https://doi.org/10.1016/j.metabol.2018.09.005>
4. Blüher M. Metabolically healthy obesity. *Endocr Rev*. 2020;41(3):405–20.
5. Mittendorfer B. Origins of metabolic complications in obesity: adipose tissue and free fatty acid trafficking. *Curr Opin Clin Nutr Metab Care*. 2011;73(3):535–41.
6. Wensveen FM, Valentić S, Šestan M, Turk Wensveen T, Polić B. The “Big Bang” in obese fat: Events initiating obesity-induced adipose tissue inflammation. *Eur J Immunol*. 2015;45(9):2446–56.
7. Kraakman MJ, Murphy AJ, Jandeleit-Dahm K, Kammoun HL. Macrophage polarization in obesity and type 2 diabetes: Weighing down our understanding of macrophage function? *Front Immunol*. 2014;5(SEP):1–6.
8. Castoldi A, Naffah de Souza C, Câmara NOS, Moraes-Vieira PM. The Macrophage Switch in Obesity Development. *Front Immunol* [Internet]. 2016;6(January):1–11. Available from: <http://journal.frontiersin.org/article/10.3389/fimmu.2015.00637>
9. Choe SS, Huh JY, Hwang IJ, Kim JI, Kim JB. Adipose tissue remodeling: Its role in energy metabolism and metabolic disorders. *Front Endocrinol (Lausanne)*. 2016;7(APR):1–16.

10. Ibrahim MM. Subcutaneous and visceral adipose tissue: Structural and functional differences. *Obes Rev.* 2010;11(1):11–8.
11. Wilcox G. Insulin and insulin resistance. *Clin Biochem Rev* [Internet]. 2005;26(2):19–39. Available from: <http://www.ncbi.nlm.nih.gov/pmc/articles/PMC1204764/>
12. Kido Y, Nakae J, Accili D. Clinical review 125: The insulin receptor and its cellular targets. *J Clin Endocrinol Metab.* 2001;86(3):972–9.
13. Day C, Bailey CJ. Obesity in the pathogenesis of type 2 diabetes. *Br J Diabetes Vasc Dis.* 2011;11(2):55–61.
14. Guilherme A, Virbasius J V, Vishwajeet P, Czech MP. Adipocyte dysfunctions linking obesity to insulin resistance and type 2 diabetes. *Nat Rev Mol Cell Biol* [Internet]. 2008;9(5):367–77. Available from: <http://www.nature.com/nrm/journal/v9/n5/abs/nrm2391.html>
15. Galicia-Garcia U, Benito-Vicente A, Jebari S, Larrea-Sebal A, Siddiqi H, Uribe KB, et al. Pathophysiology of type 2 diabetes mellitus. *Int J Mol Sci.* 2020;21(17):1–34.
16. Care D, Suppl SS. Classification and diagnosis of diabetes: Standards of medical care in diabetes-2021. *Diabetes Care.* 2021;44(January):S15–33.
17. Federation ID. IDF Diabetes Atlas [Internet]. 10th ed. International Diabetes Federation. Brussels, Belgium; 2021. Available from: <https://diabetesatlas.org/atlas/tenth-edition/>
18. Ng ACT, Delgado V, Borlaug BA, Bax JJ. Diabesity: the combined burden of obesity and diabetes on heart disease and the role of imaging. *Nat Rev Cardiol* [Internet]. 2021;18(4):291–304. Available from: <http://dx.doi.org/10.1038/s41569-020-00465-5>
19. Bonora E, A.DeFronzo R. Diabetes. Epidemiology, Genetics, Pathogenesis, Diagnosis, Prevention, and Treatment. Springer. 2018. 17 p.
20. Al-Goblan AS, Al-Alfi MA, Khan MZ. Mechanism linking diabetes mellitus and obesity. *Diabetes, Metab Syndr Obes Targets Ther.* 2014;7:587–91.
21. Cade WT. Diabetes-related microvascular and macrovascular diseases in the physical therapy setting. *Phys Ther.* 2008;88(11):1322–35.
22. Jung CH, Lee WJ, Song KH. Metabolically healthy obesity: A friend or foe? *Korean J Intern Med.* 2017;32(4):611–21.
23. Lin H, Zhang L, Zheng R, Zheng Y. The prevalence, metabolic risk and effects of lifestyle intervention for metabolically healthy obesity. *Medicine (Baltimore)* [Internet]. 2017;96(47):e8838. Available from: <http://insights.ovid.com/crossref?an=00005792-201711270-00083>
24. Grarup N, Sandholt CH, Hansen T, Pedersen O. Genetic susceptibility to type 2 diabetes and obesity: From genome-wide association studies to rare variants and beyond. *Diabetologia.* 2014;57(8):1528–41.

25. Nilsson E, Ling C. DNA methylation links genetics, fetal environment, and an unhealthy lifestyle to the development of type 2 diabetes. *Clin Epigenetics*. 2017;9(1):1–8.
26. Burgio E, Lopomo A, Migliore L. Obesity and diabetes: from genetics to epigenetics. *Mol Biol Rep*. 2015;42(4):799–818.
27. Allis CD, Jenuwein T. The molecular hallmarks of epigenetic control. *Nat Rev Genet* [Internet]. 2016;17(8):487–500. Available from: <http://dx.doi.org/10.1038/nrg.2016.59>
28. Moore LD, Le T, Fan G. DNA methylation and its basic function. *Neuropsychopharmacology* [Internet]. 2013;38(1):23–38. Available from: <http://dx.doi.org/10.1038/npp.2012.112>
29. Mattei AL, Bailly N, Meissner A. DNA methylation: a historical perspective. *Trends Genet* [Internet]. 2022;38(7):676–707. Available from: <https://doi.org/10.1016/j.tig.2022.03.010>
30. Greenberg MVC, Bourc'his D. The diverse roles of DNA methylation in mammalian development and disease. *Nat Rev Mol Cell Biol* [Internet]. 2019;20(10):590–607. Available from: <http://dx.doi.org/10.1038/s41580-019-0159-6>
31. Neri F, Rapelli S, Krepelova A, Incarnato D, Parlato C, Basile G, et al. Intron DNA methylation prevents spurious transcription initiation. *Nature* [Internet]. 2017;543(7643):72–7. Available from: <http://dx.doi.org/10.1038/nature21373>
32. Reddington JP, Pennings S, Meehan RR. Non-canonical functions of the DNA methylome in gene regulation. *Biochem J*. 2013;451(1):13–23.
33. Ling C, Rönn T. Epigenetics in Human Obesity and Type 2 Diabetes. *Cell Metab*. 2019;29(5):1028–44.
34. Xu X, Su S, Barnes VA, De Miguel C, Pollock J, Ownby D, et al. A genome-wide methylation study on obesity: Differential variability and differential methylation. *Epigenetics*. 2013;8(5):522–33.
35. Wahl S, Drong A, Lehne B, Loh M, Scott WR, Kunze S, et al. Epigenome-wide association study of body mass index, and the adverse outcomes of adiposity. *Nature*. 2017;541(7635):81–6.
36. Andrade S, Morais T, Sandovici I, Seabra AL, Constâncio M, Monteiro MP. Adipose Tissue Epigenetic Profile in Obesity-Related Dysglycemia - A Systematic Review. *Front Endocrinol (Lausanne)*. 2021;12(June).
37. Crujeiras AB, Diaz-Lagares A, Moreno-Navarrete JM, Sandoval J, Hervas D, Gomez A, et al. Genome-wide DNA methylation pattern in visceral adipose tissue differentiates insulin-resistant from insulin-sensitive obese subjects. *Transl Res* [Internet]. 2016;178:13-24.e5. Available from: <http://dx.doi.org/10.1016/j.trsl.2016.07.002>
38. Wang C, Ha X, Li W, Xu P, Zhang Z, Wang T, et al. Comparative gene expression profile and DNA methylation status in diabetic patients of Kazak and Han people.

- Med (United States). 2018;97(36):1–9.
- 39. Barajas-Olmos F, Centeno-Cruz F, Zerrweck C, Imaz-Rosshandler I, Martínez-Hernández A, Cordova EJ, et al. Altered DNA methylation in liver and adipose tissues derived from individuals with obesity and type 2 diabetes. *BMC Med Genet.* 2018;19(1):1–8.
  - 40. Jin N, Lee H, Hou Y, Yu ACS, Li J, Kong APS, et al. Integratome analysis of adipose tissues reveals abnormal epigenetic regulation of adipogenesis, inflammation, and insulin signaling in obese individuals with type 2 diabetes. *Clin Transl Med.* 2021;11(12):1–7.
  - 41. Krieg L, Didt K, Karkossa I, Bernhart SH, Kehr S, Subramanian N, et al. Multiomics reveal unique signatures of human epiploic adipose tissue related to systemic insulin resistance. *Gut.* 2021;gutjnl-2021-324603.
  - 42. Shen J, Zhu B. Integrated analysis of the gene expression profile and DNA methylation profile of obese patients with type 2 diabetes. *Mol Med Rep.* 2018;17(6):7636–44.
  - 43. Morris TJ, Butcher LM, Feber A, Teschendorff AE, Chakravarthy AR, Wojdacz TK, et al. ChAMP: 450k Chip Analysis Methylation Pipeline. *Bioinformatics.* 2014;30(3):428–30.
  - 44. Zhou W, Laird PW, Shen H. Comprehensive characterization, annotation and innovative use of Infinium DNA methylation BeadChip probes. *Nucleic Acids Res.* 2017;45(4):e22.
  - 45. Teschendorff AE, Marabita F, Lechner M, Bartlett T, Tegner J, Gomez-Cabrero D, et al. A beta-mixture quantile normalization method for correcting probe design bias in Illumina Infinium 450 k DNA methylation data. *Bioinformatics.* 2013;29(2):189–96.
  - 46. Moran S, Arribas C, Esteller M. Validation of a DNA methylation microarray for 850,000 CpG sites of the human genome enriched in enhancer sequences. *Epigenomics.* 2016;8(3):389–99.
  - 47. Smyth GK. limma: Linear Models for Microarray Data. *Bioinforma Comput Biol Solut Using R Bioconductor.* 2005;(2005):397–420.
  - 48. Benjamini Y, Hochberg Y. Controlling the False Discovery Rate: A Practical and Powerful Approach to Multiple Testing. *J R Stat Soc Ser B.* 1995;57(1):289–300.
  - 49. Carvalho BS, Irizarry RA. A framework for oligonucleotide microarray preprocessing. *Bioinformatics.* 2010;26(19):2363–7.
  - 50. Schäffler H, Rohde M, Rohde S, Huth A, Gittel N, Hollborn H, et al. NOD2-And disease-specific gene expression profiles of peripheral blood mononuclear cells from Crohn's disease patients. *World J Gastroenterol.* 2018;24(11):1196–205.
  - 51. Ikpotokin O, Edokpa I. Correlation Analysis: The Bootstrap Approach. *Int J Sci Eng Res [Internet].* 2013;4(5):1695–702. Available from: <http://www.ijser.org>
  - 52. Leisch F. Functions for the Book “An introduction to the bootstrap.” 2019;28.

Available from: <https://gitlab.com/scottkosty/bootstrap%0ABugReports>

53. Wang J, Duncan D, Shi Z, Zhang B. WEB-based GEne SeT AnaLysis Toolkit (WebGestalt): update 2013. *Nucleic Acids Res.* 2013;41(Web Server issue):77–83.
54. Ramos-Molina B, Sánchez-Alcoholado L, Cabrera-Mulero A, Lopez-Dominguez R, Carmona-Saez P, Garcia-Fuentes E, et al. Gut microbiota composition is associated with the global DNA methylation pattern in obesity. *Front Genet.* 2019;10(JUL):1–9.
55. Nilsson E, Jansson PA, Perfiliev A, Volkov P, Pedersen M, Svensson MK, et al. Altered DNA methylation and differential expression of genes influencing metabolism and inflammation in adipose tissue from subjects with type 2 diabetes. *Diabetes.* 2014;63(9):2962–76.
56. Skuratovskaya DS, Komar A, Vulf M, Quang HV, Shunkin E, Kirienkova E, et al. Tumor necrosis receptor superfamily interact with fusion and fission of mitochondria of adipose tissue in obese patients without type 2 diabetes. *Biomedicines.* 2021;9(9).
57. Lee S. The association of genetically controlled CpG methylation (cg158269415) of protein tyrosine phosphatase, receptor type N2 (PTPRN2) with childhood obesity. *Sci Rep.* 2019;9(1):1–7.
58. Yu T, Acharya A, Mattheos N, Li S, Ziebolz D, Schmalz G, et al. Molecular mechanisms linking peri-implantitis and type 2 diabetes mellitus revealed by transcriptomic analysis. *PeerJ.* 2019;2019(6):1–19.
59. Daily JW, Liu M, Park S. High genetic risk scores of SLIT3, PLEKHA5 and PPP2R2C variants increased insulin resistance and interacted with coffee and caffeine consumption in middle-aged adults. *Nutr Metab Cardiovasc Dis [Internet].* 2019;29(1):79–89. Available from: <https://doi.org/10.1016/j.numecd.2018.09.009>
60. Tang H, Jiang L, Stolzenberg-Solomon RZ, Arslan AA, Beane Freeman LE, Bracci PM, et al. Genome-wide gene-diabetes and gene-obesity interaction scan in 8,255 cases and 11,900 controls from panScan and PanC4 consortia. *Cancer Epidemiol Biomarkers Prev.* 2020;29(9):1784–91.
61. Haertle L, El Hajj N, Dittrich M, Müller T, Nanda I, Lehnen H, et al. Epigenetic signatures of gestational diabetes mellitus on cord blood methylation. *Clin Epigenetics.* 2017;9(1):1–11.
62. Yechoor VK, Patti ME, Ueki K, Laustsen PG, Saccone R, Rauniyar R, et al. Distinct pathways of insulin-regulated versus diabetes-regulated gene expression: An in vivo analysis in MIRKO mice. *Proc Natl Acad Sci U S A.* 2004;101(47):16525–30.
63. Yan S, Wang T, Huang S, Di Y, Huang Y, Liu X, et al. Differential expression of microRNAs in plasma of patients with prediabetes and newly diagnosed type 2 diabetes. *Acta Diabetol.* 2016;53(5):693–702.
64. Espach Y, Lochner A, Strijdom H, Huisamen B. ATM Protein Kinase Signaling, Type 2 Diabetes and Cardiovascular Disease. *Cardiovasc Drugs Ther.* 2015;29(1):51–8.

65. Li J, Romestaing C, Han X, Li Y, Hao X, Wu Y, et al. Cardiolipin remodeling by ALCAT1 links oxidative stress and mitochondrial dysfunction to obesity. *Cell Metab* [Internet]. 2010;12(2):154–65. Available from: <http://dx.doi.org/10.1016/j.cmet.2010.07.003>
66. De Ferranti S, Mozaffarian D. The perfect storm: Obesity, adipocyte dysfunction, and metabolic consequences. *Clin Chem*. 2008;54(6):945–55.
67. Jones PA. Functions of DNA methylation: Islands, start sites, gene bodies and beyond. *Nat Rev Genet* [Internet]. 2012;13(7):484–92. Available from: <http://dx.doi.org/10.1038/nrg3230>
68. Pan H, Renaud L, Chaligne R, Bloehdorn J, Tausch E, Mertens D, et al. Discovery of candidate dna methylation cancer driver genes. *Cancer Discov*. 2021;11(9):2266–81.
69. Tsang SY, Ahmad T, Mat FWK, Zhao C, Xiao S, Xia K, et al. Variation of global DNA methylation levels with age and in autistic children. *Hum Genomics* [Internet]. 2016;10(1):1–6. Available from: <http://dx.doi.org/10.1186/s40246-016-0086-y>
70. Chen F, Zhang Q, Deng X, Zhang X, Chen C, Lv D, et al. Conflicts of CpG density and DNA methylation are proximally and distally involved in gene regulation in human and mouse tissues. *Epigenetics* [Internet]. 2018;13(7):721–41. Available from: <https://doi.org/10.1080/15592294.2018.1500057>
71. Doi A, Park I, Wen B, Murakami P, Aryee MJ, Herb B, et al. Differential methylation of tissue- and cancer-specific CpG island shores distinguishes human induced pluripotent stem cells, embryonic stem cells and fibroblasts. 2010;41(12):1350–3.
72. Jeong M, Sun D, Luo M, Huang Y, Challen GA, Zhang X, et al. Large conserved domains of low DNA methylation maintained by Dnmt3a. 2014;46(1):17–23.
73. Urano T, Shiraki M, Sasaki N, Ouchi Y, Inoue S. SLC25A24 as a novel susceptibility Gene for low fat mass in humans and mice. *J Clin Endocrinol Metab*. 2015;100(4):E655–63.
74. Xu B, O'Donnell M, O'Donnell J, Yu J, Zhang Y, Sartor MA, et al. Adipogenic differentiation of thyroid cancer cells through the pax8-PPAR $\gamma$  fusion protein is regulated by thyroid transcription factor 1 (TTF-1). *J Biol Chem*. 2016;291(37):19274–86.
75. Benson KK, Hu W, Weller AH, Bennett AH, Chen ER, Khetarpal SA, et al. Natural human genetic variation determines basal and inducible expression of PM20D1, an obesity-associated gene. *Proc Natl Acad Sci U S A*. 2019;116(46):23232–42.
76. Ardestani A, Lupse B, Maedler K. Hippo Signaling: Key Emerging Pathway in Cellular and Whole-Body Metabolism. *Trends Endocrinol Metab* [Internet]. 2018;29(7):492–509. Available from: <https://doi.org/10.1016/j.tem.2018.04.006>
77. Ding C, Leow MKS, Magkos F. Oxytocin in metabolic homeostasis: implications for obesity and diabetes management. *Obes Rev*. 2019;20(1):22–40.
78. Henry CJ, Kaur B, Quek RYC. Chrononutrition in the management of diabetes. *Nutr*

- Diabetes [Internet]. 2020;10(1). Available from:  
<http://dx.doi.org/10.1038/s41387-020-0109-6>
- 79. Chen Y, Umanah GKE, Dephoure N, Andrabi SA, Gygi SP, Dawson TM, et al. Msp1/ATAD1 maintains mitochondrial function by facilitating the degradation of mislocalized tail-anchored proteins. *EMBO J.* 2014;33(14):1548–64.
  - 80. Liu LK, Choudhary V, Toulmay A, Prinz WA. An inducible ER-Golgi tether facilitates ceramide transport to alleviate lipotoxicity. *J Cell Biol.* 2017;216(1):131–47.
  - 81. Devalla HD, Gélinas R, Aburawi EH, Beqqali A, Goyette P, Freund C, et al. TECRL, a new life-threatening inherited arrhythmia gene associated with overlapping clinical features of both LQTS and CPVT. *EMBO Mol Med.* 2016;8(12):1390–408.
  - 82. Lai J, Jiang J, Zhang P, Xi C, Wu L, Gao X, et al. Impaired blood-brain barrier in the microbiota-gut-brain axis: Potential role of bipolar susceptibility gene TRANK1. *J Cell Mol Med.* 2021;25(14):6463–9.
  - 83. Youn JY, Dunham WH, Hong SJ, Knight JDR, Bashkurov M, Chen GI, et al. High-Density Proximity Mapping Reveals the Subcellular Organization of mRNA-Associated Granules and Bodies. *Mol Cell.* 2018;69(3):517–532.e11.
  - 84. Zegers D, Beckers S, Hendrickx R, Van Camp JK, De Craemer V, Verrijken A, et al. Mutation screen of the SIM1 gene in pediatric patients with early-onset obesity. *Int J Obes.* 2014;38(7):1000–4.
  - 85. Yeh YC, Lawal B, Huang CYF, Hsiao M, Huang TH. Identification of nsp3 (Sh2d3c) as a prognostic biomarker of tumor progression and immune evasion for lung cancer and evaluation of organosulfur compounds from allium sativum l. as therapeutic candidates. *Biomedicines.* 2021;9(11).
  - 86. Moreira JMA, Ohlsson G, Gromov P, Simon R, Sauter G, Celis JE, et al. Bladder cancer-associated protein, a potential prognostic biomarker in human bladder cancer. *Mol Cell Proteomics.* 2010;9(1):161–77.
  - 87. Daniel Harris, BA, Lynn McNicoll, MD, Gary Epstein-Lubow, MD, and Kali S. Thomas P, Chirag M Lakhani<sup>1</sup>, Braden T Tierney<sup>1, 2</sup>, Arjun K Manrai<sup>1, 3</sup>, Jian Yang<sup>4, 5</sup>, Peter M Visscher<sup>#4, 5,\*</sup>, and Chirag J Patel<sup>#1 1Department</sup>. A SUMO-ubiquitin relay recruits proteasomes to chromosome axes to regulate meiotic recombination. *Physiol Behav.* 2017;176(1):139–48.
  - 88. Yeste-Velasco M, Mao X, Grose R, Kudahetti SC, Lin D, Marzec J, et al. Identification of ZDHHC14 as a novel human tumour suppressor gene. *J Pathol.* 2014;232(5):566–77.
  - 89. Sha HH, Wang DD, Chen D, Liu SW, Wang Z, Yan DL, et al. MiR-138: A promising therapeutic target for cancer. *Tumor Biol.* 2017;39(4).
  - 90. Fryklund C, Morén B, Shah S, Grossi M, Degerman E, Matthaeus C, et al. EH Domain-Containing 2 Deficiency Restricts Adipose Tissue Expansion and Impairs Lipolysis in Primary Inguinal Adipocytes. *Front Physiol.* 2021;12(September).
  - 91. Martinelli I, Tomassoni D, Roy P, Amenta F, Tayebati SK. Altered brain cholinergic

- and synaptic markers in obese zucker rats. *Cells*. 2021;10(10).
- 92. Ripoli C, Spinelli M, Natale F, Fusco S, Grassi C. Glucose Overload Inhibits Glutamatergic Synaptic Transmission: A Novel Role for CREB-Mediated Regulation of Synaptotagmins 2 and 4. *Front Cell Dev Biol*. 2020;8(August):1–13.
  - 93. Csorba TR, Lyon AW, Hollenberg MD. Autoimmunity and the pathogenesis of type 1 diabetes. *Crit Rev Clin Lab Sci*. 2010;47(2):51–71.
  - 94. Mirzaeicheshmeh E, Zerrweck C, Centeno-Cruz F, Baca-Peynado P, Martínez-Hernández A, García-Ortiz H, et al. Alterations of DNA methylation during adipogenesis differentiation of mesenchymal stem cells isolated from adipose tissue of patients with obesity is associated with type 2 diabetes. *Adipocyte*. 2021;
  - 95. Jacobi T, Massier L, Klöting N, Horn K, Schuch A, Ahnert P, et al. HLA Class II Allele Analyses Implicate Common Genetic Components in Type 1 and Non-Insulin-Treated Type 2 Diabetes. *J Clin Endocrinol Metab*. 2020;105(3):238–48.
  - 96. Kim YN, Song JS, Oh SH, Kim YJ, Yoon YH, Seo EJ, et al. Clinical characteristics and disease progression of retinitis pigmentosa associated with PDE6B mutations in Korean patients. *Sci Rep [Internet]*. 2020;10(1):1–12. Available from: <https://doi.org/10.1038/s41598-020-75902-z>
  - 97. Almeida M, Pintacuda G, Masui O, Koseki Y, Gdula M, Cerase A, et al. PCGF3/5-PRC1 initiates Polycomb recruitment in X chromosome inactivation. *Science (80-)*. 2017;356(6342):1081–4.
  - 98. Vernoched C, Peres SB, Davis KE, McDonald ME, Qiang L, Wang H, et al. C/EBP $\alpha$  and the Corepressors CtBP1 and CtBP2 Regulate Repression of Select Visceral White Adipose Genes during Induction of the Brown Phenotype in White Adipocytes by Peroxisome Proliferator-Activated Receptor  $\gamma$  Agonists. *Mol Cell Biol*. 2009;29(17):4714–28.
  - 99. Headrick AT, Rosenfeld JA, Yang Y, Tunuguntla H, Allen HD, Penny DJ, et al. Incidentally identified genetic variants in arrhythmic right ventricular cardiomyopathy-associated genes among children undergoing exome sequencing reflect healthy population variation. *Mol Genet Genomic Med*. 2019;7(6):1–11.
  - 100. Lea AJ, Vockley CM, Johnston RA, Del Carpio CA, Barreiro LB, Reddy TE, et al. Genome-wide quantification of the effects of DNA methylation on human gene regulation. *Elife*. 2018;7:1–27.
  - 101. Zhong H, Kim S, Zhi D, Cui X. Predicting gene expression using DNA methylation in three human populations. *PeerJ*. 2019;2019(5):1–20.
  - 102. Yamamoto H, Uramaru N, Kawashima A, Higuchi T. Carbonic anhydrase 3 increases during liver adipogenesis even in pre-obesity, and its inhibitors reduce liver adipose accumulation. *FEBS Open Bio*. 2022;12(4):827–34.
  - 103. Zhang Q, Meng XH, Qiu C, Shen H, Zhao Q, Zhao LJ, et al. Integrative analysis of multi-omics data to detect the underlying molecular mechanisms for obesity in vivo in humans. *Hum Genomics [Internet]*. 2022;16(1):1–13. Available from:

<https://doi.org/10.1186/s40246-022-00388-x>

104. Chen N, Miao L, Lin W, Zou D, Huang L, Huang J, et al. Integrated DNA Methylation and Gene Expression Analysis Identified S100A8 and S100A9 in the Pathogenesis of Obesity. *Front Cardiovasc Med.* 2021;8(May):1–13.
105. Morcillo S, Martín-Núñez GM, Garcíá-Serrano S, Gutierrez-Repiso C, Rodriguez-Pacheco F, Valdes S, et al. Changes in SCD gene DNA methylation after bariatric surgery in morbidly obese patients are associated with free fatty acids. *Sci Rep.* 2017;7(July 2016):1–8.
106. Wang J, Molday LL, Hii T, Coleman JA, Wen T, Andersen JP, et al. Proteomic Analysis and Functional Characterization of P4-ATPase Phospholipid Flippases from Murine Tissues. *Sci Rep [Internet].* 2018;8(1):2–15. Available from: <http://dx.doi.org/10.1038/s41598-018-29108-z>
107. Serena C, Millan M, Ejarque M, Saera-Vila A, Maymó-Masip E, Núñez-Roa C, et al. Adipose stem cells from patients with Crohn's disease show a distinctive DNA methylation pattern. *Clin Epigenetics.* 2020;12(1):1–15.
108. Izquierdo AG, Boughanem H, Diaz-Lagares A, Arranz-Salas I, Esteller M, Tinahones FJ, et al. DNA methylome in visceral adipose tissue can discriminate patients with and without colorectal cancer. *Epigenetics [Internet].* 2021;00(00):1–12. Available from: <https://doi.org/10.1080/15592294.2021.1950991>
109. Dhar MS, Sommardahl CS, Kirkland T, Nelson S, Donnell R, Johnson DK, et al. Mice Heterozygous for Atp10c, A Putative AmphiPath, Represent A Novel Model of Obesity and Type 2 Diabetes. *J Nutr.* 2004;134(4):799–805.
110. Castellano-Castillo D, Moreno-Indias I, Fernandez-Garcia JC, Alcaide-Torres J, Moreno-Santos I, Ocana L, et al. Adipose tissue LPL methylation is associated with triglyceride concentrations in the metabolic syndrome. *Clin Chem.* 2018;64(1):210–8.
111. Arpón A, Santos JL, Milagro FI, Cataldo LR, Bravo C, Riezu-Boj JI, et al. Insulin sensitivity is associated with lipoprotein lipase (Lpl) and catenin delta 2 (ctnnd2) dna methylation in peripheral white blood cells in non-diabetic young women. *Int J Mol Sci.* 2019;20(12).
112. Guilherme A, Soriano NA, Bose S, Holik J, Bose A, Pomerleau DP, et al. EHD2 and the Novel EH Domain Binding Protein EHBP1 Couple Endocytosis to the Actin Cytoskeleton. *J Biol Chem [Internet].* 2004;279(11):10593–605. Available from: <http://dx.doi.org/10.1074/jbc.M307702200>

## 16. DERIVADOS DEL TRABAJO

### 16.1. Presentación de avances en congresos y sesiones

- **3er Encuentro estudiantil, INMEGEN**

Titulo: Exposición de alteraciones epigenéticas en el tejido adiposo de pacientes con obesidad y diabetes tipo 2

*Ciudad de México,  
México*

*Diciembre, 2017*

- **International Society for Developmental Origins of Health and Disease (DOHAD)**

*International Symposium on Metabolic programming and Microbiome*

Titulo: Alteraciones epigenéticas en adipocitos derivados de pacientes con obesidad y diabetes tipo 2

*Cancún, México*

*Noviembre, 2018*

- **4to Encuentro estudiantil, INMEGEN**

Titulo: Alteraciones en la metilación y expresión en el tejido adiposo, adipocitos y células mesenquimales de pacientes con obesidad y diabetes tipo 2

*Ciudad de México,  
México*

*Diciembre, 2018*

## 16.2. Publicación

Nutrition & Diabetes

[www.nature.com/nutd](http://www.nature.com/nutd)

ARTICLE OPEN



# DNA methylation and gene expression analysis in adipose tissue to identify new loci associated with T2D development in obesity

Paulina Baca<sup>1</sup>, Francisco Barajas-Olmos<sup>1</sup>, Elaheh Mirzaeicheshmeh<sup>1</sup>, Carlos Zerrweck<sup>2</sup>, Lizbeth Guilbert<sup>3</sup>, Ernesto Carlos Sánchez<sup>1</sup>, Marlen Flores-Huacuja<sup>1</sup>, Rafael Villafán<sup>1</sup>, Angélica Martínez-Hernández<sup>1</sup>, Humberto García-Ortiz<sup>1</sup>, Cecilia Contreras-Cubas<sup>1</sup>, Federico Centeno-Cruz<sup>1</sup> and Lorena Orozco<sup>1</sup>✉

© The Author(s) 2022

**BACKGROUND:** Obesity is accompanied by excess adipose fat storage, which may lead to adipose dysfunction, insulin resistance, and type 2 diabetes (T2D). Currently, the tendency to develop T2D in obesity cannot be explained by genetic variation alone—epigenetic mechanisms, such as DNA methylation, might be involved. Here, we aimed to identify changes in DNA methylation and gene expression in visceral adipose tissue (VAT) that might underlie T2D susceptibility in patients with obesity.

**METHODS:** We investigated DNA methylation and gene expression in VAT biopsies from 19 women with obesity, without (OND = 9) or with T2D (OD = 10). Differences in genome-scale methylation (differentially methylated CpGs [DMCs], false discovery rate < 0.05; and differentially methylated regions [DMRs], *p* value < 0.05) and gene expression (DEGs, *p* value < 0.05) between groups were assessed. We searched for overlap between altered methylation and expression and the impact of altered DNA methylation on gene expression, using bootstrap Pearson correlation. The relationship of altered DNA methylation to T2D-related traits was also tested.

**RESULTS:** We identified 11 120 DMCs and 96 DMRs distributed across all chromosomes, with the greatest density of epigenomic alterations at the MHC locus. These alterations were found in newly and previously T2D-related genes. Several of these findings were supported by validation and extended multi-ethnic analyses. Of 252 DEGs in the OD group, 68 genes contained DMCs (*n* = 88), of which 24 demonstrated a significant relationship between gene expression and methylation (*p* values < 0.05). Of these, 16, including *ATP11A*, *LPL* and *EHD2* also showed a significant correlation with fasting glucose and HbA1c levels.

**CONCLUSIONS:** Our results revealed novel candidate genes related to T2D pathogenesis in obesity. These genes show perturbations in DNA methylation and expression profiles in patients with obesity and diabetes. Methylation profiles were able to discriminate OND from OD individuals; DNA methylation is thus a potential biomarker.

*Nutrition and Diabetes* (2022)12:50; <https://doi.org/10.1038/s41387-022-00228-w>

## INTRODUCTION

Obesity is a complex multifactorial disease characterized by an imbalance in energy intake and expenditure that results in adipose tissue expansion [1]. This sustained imbalance compromises the capacity of adipose tissue to store lipids, which leads to ectopic fat accumulation followed by an array of metabolic derangements such as insulin resistance and type 2 diabetes (T2D) [2]. In fact, obesity is a major risk factor for T2D. Furthermore, accumulations of visceral adipose tissue (VAT) contribute more to T2D than accumulations of subcutaneous fat [3]. Although these associations are widely recognized at the population level, individuals differ in their susceptibility to the expected obesity comorbidities. The mechanisms underlying these differences have been difficult to explain on the basis of factors related to lifestyle, environment, and genetic predisposition [4].

An additional mechanism underlying the link between obesity and T2D might involve epigenetic factors, which have been linked to interactions between genetic backgrounds and environmental exposures [5]. Several studies have identified genes with alterations in DNA methylation in patients with obesity. Some of those genes were also associated with T2D or glucose homeostasis [6–8]. Thus, it has been suggested that alterations in DNA methylation might drive T2D development. DNA methylation alterations should correlate with changes in the expression of T2D driver genes. However, the interplay between DNA methylation and gene expression is complex, because different genomic regions can exert a variety of influences on a given gene [9]. Some studies have addressed this issue, but studies that have paired DNA methylation and gene expression analyses in the context of T2D are scarce [10–16]. In this study, we aimed to extend our

<sup>1</sup>Immunogenomics and Metabolic Disease Laboratory, Instituto Nacional de Medicina Genómica, SS, Mexico City, Mexico. <sup>2</sup>Facultad de Medicina, Alta especialidad en Cirugía Bariatrica, UNAM, Mexico City, Mexico. <sup>3</sup>Clinica Integral de Obesidad, Hospital General Tláhuac, Secretaría de Salud de la CDMX, Mexico City, Mexico.  
✉email: lorozco@inmegen.gob.mx

Received: 4 October 2021 Revised: 28 November 2022 Accepted: 6 December 2022  
Published online: 19 December 2022

SPRINGER NATURE

understanding of the pathogenesis of T2D in obesity by investigating DNA methylation differences between VAT samples from obese individuals with and without T2D. Additionally, we examined correlations between these differences in DNA methylation and changes in gene expression profiles, as well as their relationship to T2D-related traits.

## SUBJECTS AND METHODS

### Subjects and sample collection

Female adults with a body mass index  $\geq 35 \text{ kg/m}^2$  were recruited prior to bariatric surgery in the Comprehensive Surgery Clinics for Obesity and Metabolic Diseases at Tláhuac General Hospital in Mexico City. To minimize confounding factors, only females were included in the study. We excluded subjects with other known endocrine diseases or dysregulated hypertension. A total of 19 participants with obesity were enrolled in this study, including nine individuals without diabetes (OND group), who were classified as controls, and 10 individuals with obesity and T2D (OD group). All patients in the OD group fulfilled the American Diabetes Association criteria for a T2D diagnosis. We collected data on clinical, biochemical, and anthropometric characteristics at the time of surgery (Supplementary Table S1). From the OD patients, nine were under T2D medication: four were treated with both metformin and insulin, four received metformin treatment only, and one was treated only with insulin. One of the OND patients received metformin treatment. VAT biopsies were acquired during bariatric surgery procedures, then immediately stored in RNAlater (Qiagen, Hilden, Germany) at  $-70^\circ\text{C}$  until DNA and RNA extraction. The study was conducted according to the guidelines of the Declaration of Helsinki and approved by the Institutional Ethics and Research Committees of Instituto Nacional de Medicina Genómica (C1\_29/2011). A written informed consent was obtained from all subjects before their participation.

### DNA methylation analysis

DNA was extracted from 50 mg of VAT with a QIAamp DNA Mini kit (Qiagen, Valencia, CA, USA). DNA quality and quantity were confirmed by the samples having  $A_{260}/A_{280}$  and  $A_{260}/A_{230}$  ratios  $>1.8$ , measured with a NanoDrop ND-1000 Spectrophotometer v3.5.2 (NanoDrop Technologies Inc., Wilmington, DE, USA). Integrity was verified by electrophoresis in a 1% agarose gel. Methylation analysis was performed with Infinium Human Methylation EPIC BeadChip Arrays (850 K) according to the manufacturer's protocol (Illumina, San Diego, CA, USA). Raw data were extracted with GenomeStudio software (V2011.1, Illumina), and all samples passed standard quality controls.

### Gene expression analysis

Total RNA extraction was performed from  $\sim 150$  mg of VAT with the RNeasy Lipid Tissue Mini Kit (Qiagen, Valencia, CA, USA), according to the manufacturer's protocol. RNA quality and quantity were assessed using a Bioanalyzer 2100 (Agilent, Santa Clara, CA, USA), with all samples having an acceptable RIN score  $>8$ . Global gene expression was analyzed with a Clariom S Human Microarray (Affymetrix, Santa Clara, CA, USA).

### Microarray data analysis

All computational and statistical analyses were performed with R, v4.0 [17]. For DNA methylation analyses, Idat files were processed following the Chip Analysis Methylation Pipeline (ChAMP) package [18]. The raw datasets generated were deposited in the Array Express repository, ID no. E-MTAB-11037. Raw  $\beta$ -methylation scores were calculated as the ratio of the methylated probe intensity to the overall intensity, where overall intensity was the sum of methylated and unmethylated probe intensities.  $\beta$ -methylation values ranged from 0 (unmethylated) to 1 (completely methylated) [19]. Filtering of probes was according to ChAMP default parameters, where probes with  $<3$  beads in at least 5% of samples, non-CpG probes, multi-hit probes, and SNP-related probes (list compiled by Zhou's Nucleic Acids Research paper in 2016) were removed. In addition, as it was a female cohort, all Y chromosome probes were filtered out, yielding 781 385 probes for subsequent analyses. Data were normalized with the beta-mixture quantile normalization method [20]. To assess for sources of variation in our dataset we applied ChAMP singular value decomposition function (SVD) including as covariates age, batch, and treatment (metformin and/or insulin). After SVD analysis, we implemented ChAMP ComBat method to adjust only for significant covariates (age and

microarray batch effects). Probe annotations were based on the HumanMethylationEPIC v1.0 B5 Manifest File. A promoter region was defined when a given CpG was located at TSS1500 (1500–200 bp upstream of the transcriptional start site [TSS]), TSS200 (200 bp upstream of the TSS), in the 5'UTR, or in the first exon, while the gene body encompassed the Body, exon-bound and 3' UTR [21]. To assess differences in methylation between groups, the mean  $\beta$  value for each CpG site was calculated in each patient group. The difference between groups was defined as the delta  $\beta$ , calculated as the mean OND  $\beta$  value minus the mean OD  $\beta$  value. Differential methylation was identified using Limma [22], and  $p$  values were adjusted for multiple testing using the Benjamini and Hochberg method [23]. CpG sites with a false discovery rate  $<0.05$  were considered differentially methylated CpGs (DMCs). To identify differentially methylated regions (DMRs) ( $p$  value area  $<0.05$ ), we used the Bumphunter algorithm from ChAMP with the default parameters, which creates clusters with a minimum of 7 probes and a maximum separation gap of 300 bp to identify DMRs. Next, to estimate gene expression, CEL files generated from Affymetrix Clariom S human arrays were preprocessed, implementing the oligo Bioconductor package [24]. Raw expression datasets obtained were deposited in the Array Express repository, ID no. E-MTAB-11841. Then, to improve the normalization, we processed them with available blood-sample data [25] obtained from the same array. We applied the robust multi-array average algorithm to adjust the raw intensities. After normalization, we corrected batch effects and age by implementing ComBat. Gene probes encoded in the Y chromosome were removed to obtain expression data for 19,872 probe sets for subsequent analyses. Annotations were obtained from the manufacturer's website. The differences in gene expression between OND and OD were examined using Limma [22]. Results were listed as log fold change (logFC) with the  $p$  values adjusted for multiple testing. Benjamini-Hochberg correction yielded no significantly differentially expressed genes (DEGs); therefore, for subsequent analyses, uncorrected  $p$  values  $<0.05$  were used and, to increase stringency, an additional threshold based on the mean differences between groups with a minimum  $|logFC|>0.5$  was applied.

### Correlation analysis

To evaluate relationships between DMCs or DMRs with their corresponding gene expression (DMC-DEG), as well as their relationship to T2D-related traits (fasting glucose and HbA1c), a Pearson's correlation was evaluated with a bootstrap analysis, provided in the Boot package, to select only robust associations ( $R = 1000$ ) [26, 27]. In both DMC-DEG and DMC-T2D-related trait correlations, a  $p$  value  $<0.05$  was considered statistically significant.

### Biological pathway analysis

We analyzed gene overrepresentation with the WEB-based Gene SeT Analysis Toolkit (WebGestalt) [28]. Gene symbols that corresponded to DMCs, DMRs, and DEGs were evaluated with the Kyoto Encyclopedia of Genes and Genomes pathways identification analysis. All  $p$  values were Benjamini-Hochberg adjusted.

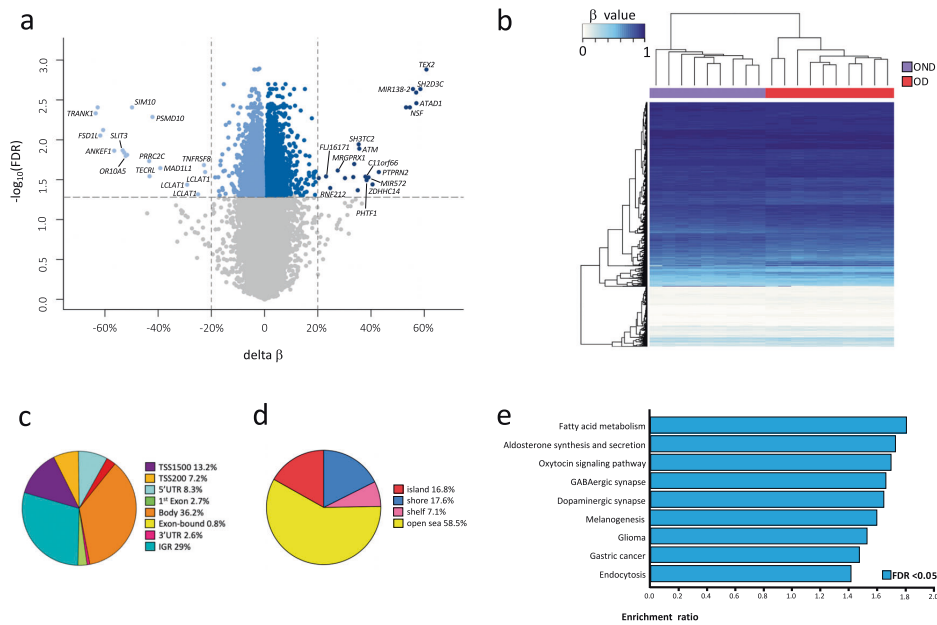
### Support of methylation effects

Additional independent DNA methylation data from VAT of 14 Chinese (OND = 8 and OD = 6) and 7 German (OND = 3 and OD = 4) women obtained by EPIC microarray were included to support our methylation findings. We selected all female individuals with data contained in the GSE162166 and E-MTAB-10999 database repositories [13, 14]. Both datasets were combined due to the small size, thus the validation cohort comprised 11 OND and 10 OD subjects. Considering only the CpGs from those DMCs obtained in our initial study, we assessed differential methylation between OND and OD in the combined dataset. To gain statistical power, an additional extended analysis was performed by merging the datasets contained in both public repositories with ours, which yielded a total of 20 OND and 20 OD individuals. Genome-wide DNA methylation profiles were examined following the previously mentioned strategy.

## RESULTS

### Participant characteristics

Clinical characteristics of the participants are detailed in Supplementary Table S1. Body mass index, blood pressure, and lipid serum levels did not differ significantly between the OD and OND



**Fig. 1 Comparison of visceral adipose tissue DNA methylation profiles between patients with obesity but without diabetes (OND) and patients with obesity and diabetes (OD).** **a**, A Volcano plot shows differences in methylation. Points represent all analyzed CpGs, and blue points indicate DMCs ( $FDR < 0.05$ ): lighter blue hypomethylated and darker blue hypermethylated in OD, and gray points non-significant. **b**, Heat map of DMCs showing DNA methylation levels for each CpG (row) by patient (columns), after applying an unsupervised hierarchical clustering analysis. **c**, Distribution of the DMCs among the different genomic locations. **d**, Distributions of DMCs across the CGI, the shore (2 kb from the CGI), the shelf (2–4 kb from the CGI), and the open sea (the remaining genome) regions. **e**, Gene set enrichment analysis of DMCs (Affinity propagation). Kyoto Encyclopedia of Genes and Genomes pathway enrichments associated with genes with DMCs. X axis: FDR (false discovery rate) value. DMCs differentially methylated CpGs, TSS1500 1500–200 bp upstream of the transcriptional start site (TSS), TSS200 200 bp upstream of the TSS, IGR intergenic regions, UTR untranslated region, CGI CpG island.

groups. As expected, the OD group had significantly ( $p$  value  $<0.05$ ) higher HbA1c ( $6.3 \pm 1\%$  vs.  $5.4 \pm 0.2\%$ ) and serum glucose levels ( $7.49 \pm 4.3$  mmol/l vs  $4.53 \pm 0.52$  mmol/l) compared with the OND group.

#### Differential methylation between OD and OND groups

To identify DNA methylation differences between the OD and OND groups, we compared VAT methylation profiles obtained with Illumina EPIC microarrays. We found DMCs in all chromosomes. The highest and longest density of epigenomic alterations was observed on chromosome 6, with 132 DMCs encompassing 70 genes at the Major Histocompatibility Complex (MHC). Other regions showing high densities of alterations were located on chromosomes 4 and 11 (Supplementary Fig. S1). In the OD group, we found 11 120 DMCs (5880 genes), of which 48.4% were hypomethylated and 51.6% were hypermethylated compared to the OND group (Fig. 1, Supplementary Table S2). An unsupervised hierarchical cluster analysis and multi-dimensional scaling of the DMCs showed a clear methylation profile for each patient group (Fig. 1b, Supplementary Fig. S2).

Notably, DMCs that showed the highest  $\delta\beta$  values ( $>20\%$ ) were associated with genes that were newly related to T2D (TRANK1, TEX2, SH2D3C, ATAD1, ANKEF1, MIR138-2, OR10A5, SIM1, PRRC2C, TECRL, ZDHHC14, PHTF1, C11orf66, SH3TC2, MRGPRX1, RNF212, and FLJ16171) or previously related to T2D (FSD1L, NSF, SLT3, PTPRN2, PSM10, MAD1L1, MIR572, ATM, LCLAT1, and TNFRSF8) (Supplementary Table S3). Among the 11 120 DMCs, 71% were intragenic, including 39.6% that were mainly distributed in the gene body and 31.4% that were in promoter regions, upstream of the TSS (Fig. 1c). Most DMCs were found in

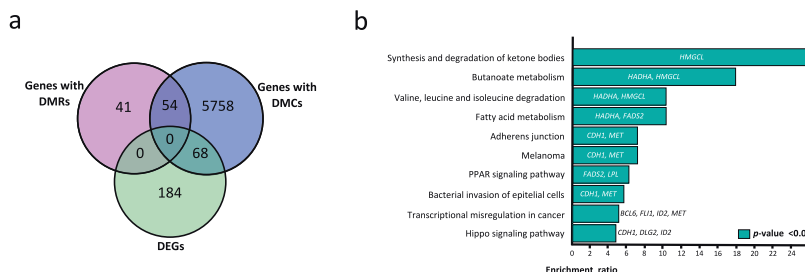
regions with low CpG content, like the shore (17.6%), shelf (7.1%), and open sea regions (58.5%), compared with CpG islands (16.8%; Fig. 1d).

Using the Bumphunter algorithm, we found 96 DMRs that were mainly hypermethylated (74%) in the OD compared to the OND group. Most of these DMRs had overlapping CpG-rich regions (CpG islands; Supplementary Table S3). Furthermore, 92 of the 96 DMRs were located within gene regions. Of these DMRs, 80 were in the vicinity of a TSS, including some that extended into the gene body, and 12 were confined to gene bodies. Additionally, overlaps between DMCs and DMRs were observed in 54 genes, the most significant being in *BLCAP*, *SLC25A24*, *PM20D1*, *PAX8*, and *LCLAT1* (Fig. 2a and Supplementary Table S13).

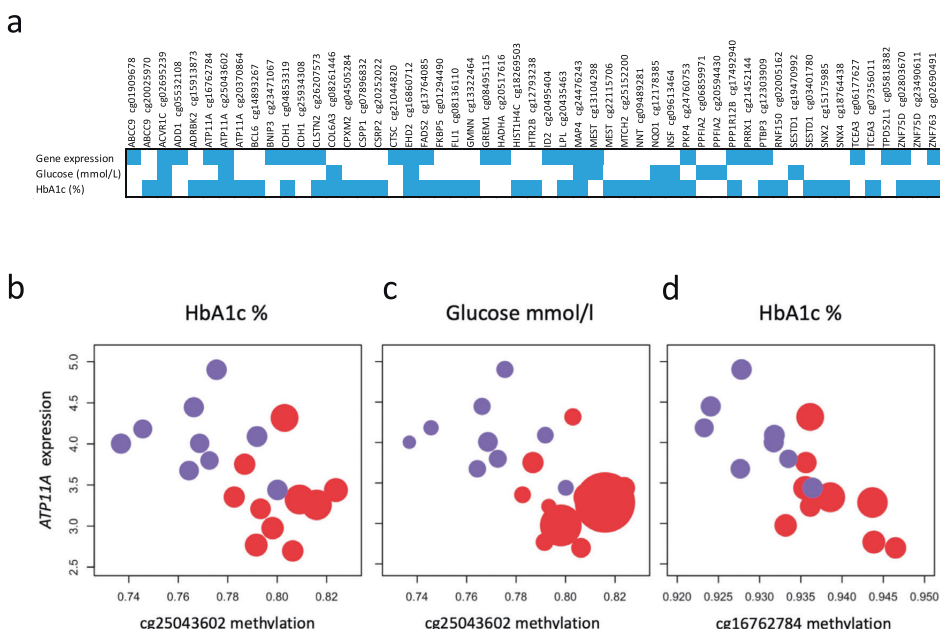
Among the genes with DMCs, the enrichment analysis mainly identified pathways related to fatty acid metabolism, aldosterone synthesis and secretion, the oxytocin signaling pathway, GABAergic synapse, and dopaminergic synapse, among others (Fig. 1e and Supplementary Table S4). After FDR correction, enrichment analysis of genes with DMRs was not able to identify any significantly enriched pathways.

#### Overlapping changes between DNA methylation and gene expression (DMC-DEG)

Gene expression analysis identified 252 DEGs between the OD and OND, with 55.6% being overexpressed and 44.4% underexpressed in the OD (Supplementary Fig. S3 and Supplementary Table S5). Overlap between altered expression and methylation was observed with DMCs, but not with DMRs (Fig. 2a and Supplementary Table S6). Out of the 252 DEGs, 68 (DMCs = 88) showed altered methylation (DMC-DEG); in 35 it was located in the



**Fig. 2 Overlap of differential methylation and gene expression.** **a** Venn diagram showing overlap between genes with DMCs or DMRs and the DEGs. **b** Gene set enrichment analysis of overlapping DMC-DEG genes. Kyoto Encyclopedia of Genes and Genomes pathway enrichments associated with genes with DMCs. X axis: *p* value. DMCs differentially methylated CpGs, DMRs differentially methylated regions, DEGs differentially expressed genes.



**Fig. 3 Correlations between differentially methylated CpGs, gene expression, and T2D-related traits.** **a** A plot displaying only the DMCs with significant Pearson correlation (*p* value < 0.05) between DNA methylation levels and corresponding gene expression, fasting glucose, and HbA1c levels; blue squares indicate those with significant *p* values. **b–d** ATP11A: Pearson's correlation for two of its representative DMCs with expression levels. Red dots represent OD patients, purple represents OND; the size of the dot depends on the value of each T2D-related trait. X axis:  $\beta$ -methylation; Y axis: ATP11A expression levels. **b** cg25043602-ATP11A expression:  $r = -0.533$ ,  $p = 0.037$ ; cg25043602-HbA1c:  $r = 0.686$ ,  $p = 0.002$ . **c** cg25043602-Glucose:  $r = 0.539$ ,  $p = 0.031$ ; **d** cg16762784-ATP11A expression:  $r = -0.766$ ,  $p = 0.003$ ; cg16762784-HbA1c:  $r = 0.548$ ,  $p = 0.038$ .

promoter region, and in 53 it was in the gene body. Among those genes with promoter DMCs, 12 were hypomethylated (8 overexpressed and 4 underexpressed) and 23 were hypermethylated (12 overexpressed and 11 underexpressed). In addition, among the genes with DMCs in the gene body, 25 were hypomethylated (8 overexpressed and 17 underexpressed) and 28 hypermethylated (16 overexpressed and 12 underexpressed). Enrichment analysis of the 68 overlapping genes did not reveal any significant pathways at FDR < 0.05. However, with a nominal *p* value (<0.05), we found important enriched pathways such as PPARG and Hippo signaling (Fig. 2b and Supplementary Table S7). Other important pathways were synthesis and degradation of ketone bodies; butanoate metabolism; valine, leucine, and isoleucine degradation; and fatty acid metabolism, among others.

#### Correlation between methylation and gene expression

To investigate correlation between expression and methylation, we matched the  $\beta$ -methylation values and expression levels of the DMC-DEG. Among the 88 DMCs (68 genes), we observed 26 (24 genes) with a significant DMC-DEG correlation (Supplementary Table S6). The top five correlations were observed in the genes ATP11A, LPL, PRRX1, ABCC9, and EHD2 (Fig. 3 and Supplementary Table S13).

#### Identification of correlations between differential methylation and T2D-related traits

To identify the potential relationships of DNA methylation with HbA1c and fasting glucose, we performed Pearson's correlation analysis using CpG  $\beta$ -methylation values on genes showing DMC-

DEG. From 88 DMCs, we found 38 (35 genes) significant correlations with HbA1c ( $p$  value  $<0.05$ ), of which 11 were also correlated with fasting glucose (Supplementary Table S6). Notably, from the 24 genes with DMC-DEG correlation, the methylation of 16 genes, including *ATP11A*, *LPL*, *EHD2*, *ACVR1C*, and *MAP4*, was also significantly correlated with T2D-related traits (Fig. 3 and Supplementary Table S13).

#### Support of methylation analyses: validation and extended analyses

To support the methylation findings, we performed a validation analysis of the DMCs combining two female public datasets (11 OND and 10 OD) [13, 14]. When CpGs from the DMCs obtained in our initial study were contrasted between OND and OD included in the validation dataset, we observed 233 CpGs showing the same effect directions of differential methylation, at a nominal  $p$  value ( $<0.05$ ) (Supplementary Table S8). These genes also enriched the glutamatergic synapse, long-term depression, and Hippo signaling pathways (Supplementary Table S9), similar to those observed in our sample.

Additionally, to gain statistical power in our findings, we performed a multi-ethnic extended analysis, combining the datasets contained in both public repositories with our own. When we compared the OD ( $n = 20$ ) and the OND ( $n = 20$ ) groups of the extended cohort, we found 9 648 DMCs in 5 135 genes (Supplementary Fig. S4 and Supplementary Table S10). Out of these, 2 092 genes and 945 DMRs were also found when our cohort was independently analyzed (Supplementary Table S2). All of the shared DMCs showed consistent directionality in both analyses, except for cg25140607 at *TFAP2A* (Supplementary Table S13). Similar to what was observed in our group of Mexican patients, in the multi-ethnic extended cohort the unsupervised hierarchical cluster analysis of the DMCs was able to separate OND and OD patients independently of their ethnic background (Supplementary Fig. S4b). Again, *LCLAT1* displayed multiple DMCs and showed the highest delta  $\beta$  values ( $>25\%$ ), together with *GSTTP2/GSTT1* (Supplementary Table S13). Furthermore, the enrichment analysis revealed 26 pathways shared between the two analyses, including oxytocin signaling, GABAergic synapse, glutamatergic synapse, Hippo signaling pathway, MAPK signaling pathway, circadian entrainment, aldosterone synthesis, and secretion, among others (Supplementary Table S11). In addition, 32 DMRs (*GALR1*, *LCLAT1*, *SLC25A24*, *SLC1A2*, *GRIK2*, *TDRD12*, *MIR886*, *GSTO2*, *LRCOL1*, etc.) were found in the same genes as the DMRs observed in our cohort (Supplementary Tables S12, S13).

#### DISCUSSION

Obesity constitutes a serious health issue because it increases the risk of developing T2D and other comorbidities [29]. A growing body of evidence has shown that perturbations in DNA methylation patterns can contribute to dysfunctional adipose tissue in obesity by inducing changes in gene expression, although the exact mechanisms remain to be understood [8]. A more comprehensive picture of the functional consequences of altered DNA methylation may provide insight into new biological mechanisms underlying tissue dysfunction and lead to improved methods for identifying which individuals with obesity are at risk of progressing to diabetes. In this study, we examined VAT DNA methylation and expression profiles in patients with obesity and compared these profiles between groups with and without T2D. We also documented the correlation of altered methylation with T2D traits.

We found 11 120 DMCs and 96 DMRs between OD and OND individuals. These numbers are higher than those reported in previous studies [11, 13, 14, 30, 31]. Most differential alterations were in regions of low CpG density, like shores and shelves, where methylation has been shown to be relatively dynamic [32, 33]. The

DMCs within genes were mainly located in the gene body, and the DMRs were mostly found upstream of the TSS.

Some DMCs and DMRs with the highest delta  $\beta$  values occurred in genes that were previously shown to be altered in T2D. These genes have been involved in insulin resistance and secretion (*ATM*, *PTPRN2*, *PSMD10*, and *NSF*), adipogenesis (*SLC25A24* and *PAX8*), inflammatory processes (*TNFRSF8* and *SLC13A1*), and mitochondrial processes (*PM20D1* and *LCLAT1*). Others such as *FSD1L* have been associated with T2D in GWAS studies, although the underlying mechanism remains unclear. On the other hand, herein we also report a subset of new genes with altered methylation in OD patients, when compared with OND individuals. Even though their alteration has not been well documented in T2D, some of them have been involved in T2D-related processes such as mitochondrial quality control (*ATAD1*), lipid metabolism (*TEX2* and *TECRL*), inflammation (*TRANK1*) and stress granule assembly (*PRRC2C*), as well as neuronal cells development in the hypothalamus (*SIM1*). In addition, other genes have been involved in cancer processes, such as interference with innate immune system (*SH2D3C*), apoptosis (*BLCAP*), crossing-over regulation during meiosis (*RNF212*), and tumor suppression (*ZDHHC14*, *MIR138-2*, and *PHTF1*). Finally, another group of genes whose function remains to be further characterized was also found (*ANKEF1*, *OR10A5*, *C11orf66*, *SH3TC2*, *MRGPRX1*, and *FLJ16171*) (Supplementary Table S13).

Additionally, the OND and OD groups showed differential DNA methylation along all chromosomes. Although there is little evidence that epigenetic changes in the MHC locus might be involved in T2D [5, 11, 31], in the present study this region showed the greatest and longest density of epigenomic alterations, including in our extended multi-ethnic analysis. Multiple alterations were found in the human leukocyte antigen (HLA) region. Remarkably, similar findings were observed during adipogenesis *in vitro* from mesenchymal stem cells isolated from the same biopsies analyzed in the present study, suggesting that our observations are derived from the adipocytes and not from the infiltrating inflammatory cells whose numbers are increased in obesity [16]. In addition, a recent study compiling methylation data from adipose tissue found the most altered methylation at HLA in metabolically unhealthy patients with obesity [6]. Together, these findings increase the evidence that the most important genetic region in inflammation and innate immunity, the MHC locus, could be involved in the physiopathology of T2D in patients with obesity, due to epigenetic impairment. As reported in other studies, here the pairing of altered methylation and expression at the MHC locus was difficult to demonstrate. Further exhaustive studies might be required in order to better understand the role of epigenetic regulation in this locus, considering the complexity of its regulatory system due to its high SNV frequency.

Another notable region was the *LCLAT1* locus, which harbors one of the top DMRs and displays multiple DMCs with the highest delta  $\beta$ . Hypomethylation at *LCLAT1* was also found in our validation and multi-ethnic extended study, as well as in other studies, such as the previously mentioned adipogenesis study and that published by Jin-N et al. [13], where the same hypomethylated DMR was documented in T2D patients. Although we did not find any significant relationship between DMC-DEG, there is evidence showing that *LCLAT1* upregulation by oxidative stress and diet-induced obesity in mice reduces insulin-stimulated Akt phosphorylation, leading to insulin resistance and hyperglycemia [34]. This might shed light on the role this gene plays in T2D development.

It is noteworthy that some of the loci with the largest changes in methylation, like the MHC region and *LCLAT1*, and others such as *BLCAP*, *SLC25A24*, *PM20D1*, *TRANK1*, *FSD1L*, and *TEX2*, did not show significant changes in their expression. Multiple studies have shown that only a small percentage of transcriptional regulation is dependent on methylation changes [35, 36]. Our findings support this notion, as only a small subset of the genes with DMCs were

DEGs. These DMC-DEG were enriched in pathways involved in T2D development, such as PPARG signaling and multiple metabolism-related pathways that promote adipocyte differentiation and mediate insulin sensitization [37–39].

Furthermore, significant correlations were found between multiple DMC-DEG. Notably, the *ATP11A*, *LPL*, and *EHD2* genes displayed the highest methylation-expression correlation. These genes also showed a significant correlation between altered methylation and T2D-related traits. *ATP11A* belongs to a family of 14 P4 ATPases which actively flip phospholipids across cell membranes [40]. Methylation of this gene has been suggested to be involved in colorectal cancer and Crohn's disease [41, 42]. Even though *ATP11A*'s involvement in obesity and T2D is unknown, there is evidence that deficient expression of some P4 ATPase family members, such as *ATP10C* and *ATP10A*, affects insulin-stimulated mobilization of GLUT4 vesicles to the plasma membrane or the regulation of insulin signaling [43]. Here, *ATP11A* hypermethylation correlated significantly with decreased expression levels and increased fasting glucose and HbA1c levels, suggesting that, similar to *ATP10*, its decreased expression could be related to impaired glucose metabolism.

On other hand, *LPL* encodes lipoprotein lipase, an insulin-dependent rate-limiting enzyme for the hydrolysis of fatty acids. In a previous study, a DMC in the *LPL* promoter was found in VAT from individuals with metabolic syndrome and was positively associated with a worse metabolic profile [44]. Another study documented the most significant signals of association between *LPL* methylation levels in white blood cells and insulin sensitivity measurements [45]. Here, hypermethylation of the *LPL* promoter correlated significantly with an increased HbA1c. Thus, we have provided more evidence that *LPL* hypermethylation can predispose to metabolic diseases like T2D. Similarly, *EHD2*, the EH domain-containing 2, is a known obesity-associated gene implicated in GLUT4 endocytosis and in the maintenance of intracellular lipid metabolism in adipocytes [46, 47]. Its methylation has only been found as altered in epididymal adipocytes of mice with obesity [48]. In our study, a DMC located at *EHD2* body had a significant correlation with its overexpression, and notably, with fasting glucose and HbA1c levels.

In summary, our findings have increased the repertoire of candidate genes involved in mechanisms underlying T2D pathophysiology in patients with obesity, through the analysis of the methylome and its correlation with the transcriptome of adipose tissue and T2D-related traits. Our results suggest that even though the expected correlation between methylation and expression was not observed in multiple genes, methylation impairment is still important for T2D development. Likewise, our findings also support the idea that DNA methylation is a better biomarker than gene expression, since gene clustering analysis was able to discriminate the OND group from the OD group by methylation profiles, but not by expression profiles. Nevertheless, future studies analyzing male samples might strengthen our findings. Even more, some of these marks (MHC region and *LCLAT1*) were shared across individuals with different ethnic backgrounds, as shown by our validation and extended analysis, although some others such as *ATP11A*, *LPL*, *BLCAP*, etc., were found only in our population. Our findings support the notion that methylation profiles are partially shared between different ethnicities, perhaps due to genetic or environmental differences among populations that significantly contribute to shaping the epigenomic susceptibility to disease [49].

Follow-up functional studies will be needed to characterize the pathogenic influence of these alterations and how they contribute to diabetic phenotypes.

## DATA AVAILABILITY

DNA methylation and Gene expression datasets generated and analyzed during the current study are available in the Array Express repository, accession numbers: E-MTAB-11037 and E-MTAB-11841, respectively.

## REFERENCES

- Choe SS, Huh JY, Hwang IJ, Kim JI, Kim JB. Adipose tissue remodeling: its role in energy metabolism and metabolic disorders. *Front Endocrinol (Lausanne)*. 2016;7:1–16.
- Al-Goblan AS, Al-Alfi MA, Khan MZ. Mechanism linking diabetes mellitus and obesity. *Diabetes Metab Syndr Obes Targets Ther*. 2014;7:587–91.
- Guilherme A, Virbasius JV, Vishwanath P, Czech MP. Adipocyte dysfunctions linking obesity to insulin resistance and type 2 diabetes. *Nat Rev Mol Cell Biol*. 2008;9:367–77.
- Blüher M. Metabolically healthy obesity. *Endocr Rev*. 2020;41:405–20.
- Nilsson E, Ling C. DNA methylation links genetics, fetal environment, and an unhealthy lifestyle to the development of type 2 diabetes. *Clin Epigenet*. 2017;9:1–8.
- Andrade S, Morais T, Sandovici I, Seabra AL, Constâncio M, Monteiro MP. Adipose tissue epigenetic profile in obesity-related dysglycemia - a systematic review. *Front Endocrinol (Lausanne)*. 2021;12:681649.
- Kim M. DNA methylation: a cause and consequence of type 2 diabetes. *Genomics Inf*. 2019;17:e38.
- Ling C, Rönn T. Epigenetics in human obesity and type 2 diabetes. *Cell Metab*. 2019;29:1028–44.
- Jones PA. Functions of DNA methylation: Islands, start sites, gene bodies and beyond. *Nat Rev Genet* [Internet]. 2012;13:484–92.
- Wang C, Ha X, Li W, Xu P, Zhang Z, Wang T, et al. Comparative gene expression profile and DNA methylation status in diabetic patients of Kazak and Han people. *Medicine*. 2018;97:1–9.
- Barajas-Olmos F, Centeno-Cruz F, Zerrweck C, Imaz-Rosshandler I, Martínez-Hernández A, Cordova EJ, et al. Altered DNA methylation in liver and adipose tissues derived from individuals with obesity and type 2 diabetes. *BMC Med Genet*. 2018;19:1–8.
- Andersen E, Ingerslev LR, Fabre O, Donkin I, Altintas A, Versteyhe S, et al. Pre-adipocytes from obese humans with type 2 diabetes are epigenetically reprogrammed at genes controlling adipose tissue function. *Int J Obes*. 2019;43:306–18.
- Jin N, Lee H, Hou Y, Yu ACS, Li J, Kong APS, et al. Integratome analysis of adipose tissues reveals abnormal epigenetic regulation of adipogenesis, inflammation, and insulin signaling in obese individuals with type 2 diabetes. *Clin Transl Med*. 2021;11:1–7.
- Krieg L, Didk K, Karkossa I, Bernhart SH, Kehr S, Subramanian N, et al. Multiomics reveal unique signatures of human epiploic adipose tissue related to systemic insulin resistance. *Gut*. 2021;2179–2193.
- Shen J, Zhu B. Integrated analysis of the gene expression profile and DNA methylation profile of obese patients with type 2 diabetes. *Mol Med Rep*. 2018;17:7636–44.
- Mirzaeicheshmeh E, Zerrweck C, Centeno-Cruz F, Baca-Peynado P, Martínez-Hernández A, García-Ortiz H, et al. Alterations of DNA methylation during adipogenesis differentiation of mesenchymal stem cells isolated from adipose tissue of patients with obesity is associated with type 2 diabetes. *Adipocyte*. 2021;493–504.
- CoreTeam R. R: A Language and Environment for Statistical Computing [Internet]. Vol. 2. 2017 <https://www.r-project.org/>.
- Morris TJ, Butcher LM, Feber A, Teschendorff AE, Chakravarthy AR, Wojdacz TK, et al. ChAMP: 450k chip analysis methylation pipeline. *Bioinformatics*. 2014;30:428–30.
- Du P, Zhang X, Huang CC, Jafari N, Kibbe WA, Hou L, et al. Comparison of Beta-value and M-value methods for quantifying methylation levels by microarray analysis. *BMC Bioinformatics*. 2010;11:587.
- Teschendorff AE, Marabita F, Lechner M, Bartlett T, Tegnér J, Gomez-Cabrero D, et al. A beta-mixture quantile normalization method for correcting probe design bias in Illumina Infinium 450 k DNA methylation data. *Bioinformatics*. 2013;29:189–96.
- Moran S, Arribas C, Esteller M. Validation of a DNA methylation microarray for 850,000 CpG sites of the human genome enriched in enhancer sequences. *Epidemiology*. 2016;8:389–99.
- Smyth GK. limma: linear models for microarray data. In: *Bioinformatics and Computational Biology Solutions Using R and Bioconductor*. 2005;397–420.
- Benjamini Y, Hochberg Y. Controlling the false discovery rate: a practical and powerful approach to multiple testing. *J R Stat Soc Ser B*. 1995;57:289–300.
- Carvalho BS, Irizarry RA. A framework for oligonucleotide microarray preprocessing. *Bioinformatics*. 2010;26:2363–7.
- Schäffler H, Rohde M, Rohde S, Huth A, Gittel N, Hollborn H, et al. NOD2-And disease-specific gene expression profiles of peripheral blood mononuclear cells from Crohn's disease patients. *World J Gastroenterol*. 2018;24:1196–205.
- Ikpotokin O, Edokpa I. Correlation analysis: the bootstrap approach. *Int J Sci Eng Res* [Internet]. 2013;4:1695–702.

27. Leisch F Functions for the Book "An introduction to the bootstrap." 2019;28. Available from: <https://gitlab.com/scottkosty/bootstrap%0ABugReports>.
28. Wang J, Duncan D, Shi Z, Zhang B. WEB-based GEne SeT Analysis Toolkit (WebGestalt): update 2013. *Nucleic Acids Res.* 2013;41:77–83.
29. De Ferranti S, Mozaffarian D. The perfect storm: obesity, adipocyte dysfunction, and metabolic consequences. *Clin Chem.* 2008;54:945–55.
30. Arner P, Sinha I, Thorell A, Rydén M, Dahlman-Wright K, Dahlman I. The epigenetic signature of subcutaneous fat cells is linked to altered expression of genes implicated in lipid metabolism in obese women. *Clin Epigenetics* [Internet]. 2015;7:93.
31. Crujeiras AB, Diaz-Lagares A, Moreno-Navarrete JM, Sandoval J, Hervas D, Gomez A, et al. Genome-wide DNA methylation pattern in visceral adipose tissue differentiates insulin-resistant from insulin-sensitive obese subjects. *Transl Res* [Internet]. 2016;178:13–24.e5.
32. Doi A, Park I, Wen B, Murakami P, Aryee MJ, Herb B, et al. Differential methylation tissue-*specific* CpG IsL shores distinguishes *Hmgb1* pluripotent stem cells, embryonic stem cells fibroblasts. *Nat Genet.* 2010;41:1350–3.
33. Jeong M, Sun D, Luo M, Huang Y, Challen GA, Zhang X, et al. Large Conserved domains low DNA methylation maintained *Dnmt3a*. *Nat Genet.* 2014;46:17–23.
34. Li J, Romestaing C, Han X, Li Y, Hao X, Wu Y, et al. Cardiolipin remodeling by ALCAT1 links oxidative stress and mitochondrial dysfunction to obesity. *Cell Metab* [Internet]. 2010;12:154–65.
35. Lee AJ, Vockley CM, Johnston RA, Del Carpio CA, Barreiro LB, Reddy TE, et al. Genome-wide quantification of the effects of DNA methylation on human gene regulation. *Elife* 2018;7:1–27.
36. Zhong H, Kim S, Zhi D, Cui X. Predicting gene expression using DNA methylation in three human populations. *PeerJ* 2019;2019:1–20.
37. Hwang JH, Kim AR, Kim KM, Il Park J, Oh HT, Moon SA, et al. TAZ couples Hippo/Wnt signalling and insulin sensitivity through *Irs1* expression. *Nat Commun.* 2019;10:421.
38. Sears B, Perry M. The role of fatty acids in insulin resistance. *Lipids Health Dis* [Internet]. 2015;14:1–9.
39. Giorgino F, Leonardi A, Laviola L, Perrini S, Natalicchio. A cross-talk between PPAR $\gamma$  and insulin signaling and modulation of insulin sensitivity. *PPAR Res.* 2009;2009:818945.
40. Wang J, Molday LL, Hill T, Coleman JA, Wen T, Andersen JP, et al. Proteomic analysis and functional characterization of P4-ATPase phospholipid flippases from murine tissues. *Sci Rep.* [Internet]. 2018;8:2–15.
41. Serena C, Milan M, Ejarque M, Saera-Vila A, Maymó-Masip E, Núñez-Roa C, et al. Adipose stem cells from patients with Crohn's disease show a distinctive DNA methylation pattern. *Clin Epigenetics.* 2020;12:1–15.
42. Izquierdo AG, Bouhanem H, Diaz-Lagares A, Arranz-Salas I, Esteller M, Tinahones FJ, et al. DNA methylation in visceral adipose tissue can discriminate patients with and without colorectal cancer. *Epigenetics* [Internet]. 2021;00:1–12.
43. Dhar MS, Sommardahl CS, Kirkland T, Nelson S, Donnell R, Johnson DK, et al. Mice heterozygous for Atp10c, a putative amiphipath, represent a novel model of obesity and type 2 diabetes. *J Nutr.* 2004;134:799–805.
44. Castellano-Castillo D, Moreno-Indias I, Fernandez-Garcia JC, Alcaide-Torres J, Moreno-Santos I, Ocaña L, et al. Adipose tissue LPL methylation is associated with triglyceride concentrations in the metabolic syndrome. *Clin Chem.* 2018;64:210–8.
45. Arpón A, Santos JL, Milagro FI, Cataldo LR, Bravo C, Riezu-Boj JL, et al. Insulin sensitivity is associated with lipoprotein lipase (LPL) and catenin delta 2 (ctnd2) DNA methylation in peripheral white blood cells in non-diabetic young women. *Int J Mol Sci.* 2019;20:2928.
46. Guilherme A, Soriano NA, Bose S, Holik J, Bose A, Pomerleau DP, et al. EHD2 and the novel EH domain binding protein EHBP1 couple endocytosis to the actin cytoskeleton. *J Biol Chem* [Internet]. 2004;279:10593–605.
47. Fryklund C, Morén B, Shah S, Grossi M, Degerman E, Matthaeus C, et al. EH domain-containing 2 deficiency restricts adipose tissue expansion and impairs lipolysis in primary inguinal adipocytes. *Front Physiol.* 2021;12:740666.
48. Chen N, Miao L, Lin W, Zou D, Huang L, Huang J, et al. Integrated DNA methylation and gene expression analysis identified S100A8 and S100A9 in the pathogenesis of obesity. *Front Cardiovasc Med.* 2021;8:1–13.
49. Galanter JM, Gignoux CR, Oh SS, Torgerson D, Pino-Yanes M, Thakur N, et al. Differential methylation between ethnic sub-groups reflects the effect of genetic ancestry and environmental exposures. *Elife* 2017;6:1–24.

## ACKNOWLEDGEMENTS

Paulina Baca Peynado is a doctoral student from the Programa de Doctorado en Ciencias Biomédicas, Universidad Nacional Autónoma de México (UNAM), and received a CONACyT fellowship (607882). The present project was supported by CONACyT grants no. 223019 and PDCPN\_2016\_3251. The authors would like to thank M.C. Raúl Mojica Espinosa and the staff of the Microarray Unit in the Instituto Nacional de Medicina Genómica (México).

## AUTHOR CONTRIBUTIONS

Conceptualization, LO, FBO, FCC, and PB; Clinical Research and Metabolic Phenotyping, CZ; Methodology FCC, FBO and PB; formal analysis, LO, FBO, and PB; resources, LO and CZ; data curation, PB and FBO; writing – original draught preparation, LO and PB; writing review and editing, PB, LO, FBO, FCC, CZ, LG, HGO, AM, CCC, EM, ECS, MFH and RV; visualization, PB, LO, FBO, FCC, CZ, LG, HGO, AM, CCC, EMC, EM and ECS; supervision, LO, FCC and FBO; project administration, LO, CZ, FCC and AM; funding acquisition LO and CZ. All authors have read and agreed to the published version of the manuscript. Institutional review board statement.

## COMPETING INTERESTS

The authors declare no competing interests.

## ADDITIONAL INFORMATION

**Supplementary information** The online version contains supplementary material available at <https://doi.org/10.1038/s41387-022-00228-w>.

**Correspondence** and requests for materials should be addressed to Lorena Orozco.

**Reprints and permission information** is available at <http://www.nature.com/reprints>

**Publisher's note** Springer Nature remains neutral with regard to jurisdictional claims in published maps and institutional affiliations.



**Open Access** This article is licensed under a Creative Commons Attribution 4.0 International License, which permits use, sharing, adaptation, distribution and reproduction in any medium or format, as long as you give appropriate credit to the original author(s) and the source, provide a link to the Creative Commons license, and indicate if changes were made. The images or other third party material in this article are included in the article's Creative Commons license, unless indicated otherwise in a credit line to the material. If material is not included in the article's Creative Commons license and your intended use is not permitted by statutory regulation or exceeds the permitted use, you will need to obtain permission directly from the copyright holder. To view a copy of this license, visit <http://creativecommons.org/licenses/by/4.0/>.

© The Author(s) 2022

## 17. ANEXOS

### 17. 1. Autorización de los comités de investigación



PDCB/FM/001/2023.

**Lic. Diana González Nieto**

Directora de Certificación y Control Documental  
Dirección General de Administración Escolar, UNAM  
**P r e s e n t e.**

Nos permitimos informar que con base al Artículo 31 del RGEP el Comité Académico de **DOCTORADO EN CIENCIAS BIOMÉDICAS** en su reunión 525 del 11 de enero del 2023, designó el siguiente jurado para examen de grado de **DOCTORA EN CIENCIAS** de **PAULINA BACA PEYNADO** con número de cuenta **517012976** con la tesis titulada "**Alteraciones epigenéticas con impacto funcional en adipocitos de pacientes obesos con diabetes**", dirigida por la Dra. Lorena Sofía Orozco Orozco.

Presidente: Dr. Jaime Berumen Campos.  
Secretario: Dra. Lorena Sofía Orozco Orozco.  
Vocal: Dr. Samuel Canizales Quinteros.  
Vocal: Dra. María Cristina Regina Fernández Mejía.  
Vocal: Dra. María Elizabeth Tejero Barrera.

Sin otro particular, aprovecho la ocasión para enviarle un cordial saludo.

A t e n t e m e n t e

*"Por mi raza hablará el espíritu"*

Ciudad Universitaria, Cd. de Mx., a 25 de enero de 2023.



**DRA. YOLANDA IRASEMA CHIRINO LÓPEZ**  
**COORDINADORA DEL PROGRAMA**

YICL/ALP/evb

Unidad de Posgrado Coordinación de Posgrado en Ciencias Biomédicas Edificio B, 1er. Piso Circuito de Posgrado Cd. Universitaria Delegación Coyoacán C.P. 04510 México, D.F. Tel. 5623 0222 Ext. 37001  
<http://www.pdcn.unam.mx> E-mail:pdcn@unam.mx

## 17. 2. Tablas anexas

**Tabla Anexa 1. Sitios CpGs diferencialmente metilados entre pacientes con obesidad y diabetes tipo 2 y pacientes con obesidad y sin diabetes tipo 2.**

#	CpG	delta β %	FDR	Chr	Símbolo del gen	Localización genómica/ Contexto CGI	#	CpG	delta β %	FDR	Chr	Símbolo del gen	Localización genómica/ Contexto CGI	#	CpG	delta β %	FDR	Chr	Símbolo del gen	Localización genómica/ Contexto CGI
1	cg06978998	-63.460	0.0046	3	TRANK1	BD/opensea	61	cg17041723	-16.484	0.0183	6		IGR/opensea	121	cg27518156	-11.383	0.0454	6		IGR/opensea
2	cg26218380	-67.215	0.0039	14		IGR/opensea	62	cg18678645	16.388	0.0362	5	MIR886	TSS200/island	122	cg23639072	-11.183	0.0420	10	CUBN	BD/opensea
3	cg02571587	-61.736	0.0088	9	FDNL	BD/opensea	63	cg11763394	-15.869	0.0402	2	PAX8	BD/shore	123	cg04945518	11.100	0.0023	7	RSPN1L	BD/opensea
4	cg16713588	60.815	0.0013	17	TEX2	BD/opensea	64	cg20954178	-15.868	0.0152	17	FAM134C	1stExon/island	124	cg15546412	-11.063	0.0115	4		IGR/opensea
5	cg13837997	-60.669	0.0075	7		IGR/opensea	65	cg04029726	15.803	0.0313	17		IGR/opensea	125	cg06683487	-11.053	0.0215	16	LMF1	BD/opensea
6	cg14565762	58.547	0.0023	9	SH2D3C	BD/shelf	66	cg07135960	15.794	0.0448	11		IGR/opensea	126	cg01988559	10.994	0.0111	8		IGR/opensea
7	cg09921548	57.047	0.0035	10	ATAD1	5'UTR/shelf	67	cg19689876	-15.699	0.0426	19	NLRP2	TSS200/opensea	127	cg03470646	10.985	0.0210	8		IGR/opensea
8	cg10192694	56.971	0.0026	14		IGR/opensea	68	cg04322894	-15.476	0.0248	6		IGR/opensea	128	cg13010497	10.820	0.0275	9		IGR/island
9	cg24670950	-56.502	0.0137	20	ANKEF1	TSS1500/shore	69	cg26905254	15.430	0.0157	19		IGR/opensea	129	cg14373733	10.709	0.0139	5		IGR/opensea
10	cg26475094	55.768	0.0023	16	MIR138-2	TSS1500/opensea	70	cg16320788	-15.300	0.0020	8	KCNB2	BD/opensea	130	cg17310354	10.643	0.0362	11	SAA2	3'UTR/opensea
11	cg09613464	54.401	0.0039	17	NSF	BD/opensea	71	cg09044981	15.261	0.0348	16	CDH13	BD/opensea	131	cg21764456	-10.571	0.0215	16	TEKT5	BD/opensea
12	cg01785153	53.333	0.0136	5	SLC7	BD/opensea	72	cg17773808	15.162	0.0023	12	DHX37	BD/opensea	132	cg14239983	-10.529	0.0257	11	SORLI	BD/opensea
13	cg01793008	53.167	0.0039	12		IGR/opensea	73	cg23758822	15.064	0.0458	17		IGR/shore	133	cg15228618	-10.454	0.0239	18	ATP8B1	5'UTR/opensea
14	cg09855248	-52.798	0.0144	14		IGR/opensea	74	cg2045253	-14.912	0.0244	1	ATP13A2	BD/shore	134	cg26076054	10.432	0.0290	5	AHRR	BD/island
15	cg12166679	-52.201	0.0159	11	OR10AS	TSS1500/opensea	75	cg10618621	14.881	0.0101	12	SLC15A5	BD/opensea	135	cg19123390	-10.420	0.0237	8		IGR/opensea
16	cg24782937	-51.650	0.0154	13		IGR/opensea	76	cg27392904	-14.642	0.0474	19	IL4I1	TSS1500/opensea	136	cg15204487	-10.401	0.0445	4		IGR/opensea
17	cg13365524	-49.811	0.0039	6	SIM1	BD/shore	77	cg12576854	-14.556	0.0065	8	KCNB2	BD/opensea	137	cg23012519	-10.360	0.0155	11	PKP3	BD/shore
18	cg10036802	43.370	0.0185	1	PRRC2C	TSS1500/shore	78	cg13768055	14.423	0.0496	17	RPHB1	BD/opensea	138	cg04143156	10.306	0.0160	4	ARFIP1	BD/opensea
19	cg24022184	-43.232	0.0286	4	TECR1	BD/opensea	79	cg08085267	14.036	0.0396	17	C17orf57	5'UTR/shore	139	cg18634301	-10.265	0.0168	20	JNC0127Z	5'UTR/opensea
20	cg26394233	42.927	0.0254	7	PTPRN2	BD/shore	80	cg06864186	13.864	0.0402	10	LIPF	BD/opensea	140	cg13944838	-10.220	0.0452	5	GFP72	BD/island
21	cg11720358	-42.130	0.0052	X	PSMD10	5'UTR/island	81	cg0636942	13.850	0.0413	5		IGR/shore	141	cg15628303	10.194	0.0080	1	UBXN11	BD/shelf
22	cg19561561	40.575	0.0362	6	ZDHHC14	BD/opensea	82	cg02352685	13.751	0.0311	5	BTNL8	3'UTR/opensea	142	cg04117566	10.122	0.0299	3		IGR/opensea
23	cg05279229	-39.192	0.0226	7	MAD11	BD/island	83	cg24449463	-13.632	0.0094	1	DCAP6	BD/island	143	cg05635399	10.042	0.0251	8		IGR/opensea
24	cg06606539	39.082	0.0296	4	MIR572	TSS1500/shore	84	cg27391564	13.598	0.0499	2		IGR/opensea	144	cg18768515	10.032	0.0270	5		IGR/opensea
25	cg04939069	38.342	0.0320	1	PHTF1	BD/opensea	85	cg20676004	13.590	0.0043	8	PTDSS1	BD/opensea	145	cg02277334	-9.984	0.0097	10		IGR/opensea
26	cg19574514	37.896	0.0290	11	C11orf66	TSS1500/opensea	86	cg26616083	-13.555	0.0130	1	LIN28	TSS1500/shore	146	cg06795995	9.962	0.0367	5	SETD9	TSS1500/shore
27	cg06879405	35.594	0.0129	11	ATM	BD/opensea	87	cg10186901	-13.371	0.0283	10		IGR/opensea	147	cg15734230	9.960	0.0164	19		IGR/shore
28	cg19523892	35.368	0.0114	5	SH3TC2	3'UTR/opensea	88	cg12391979	-13.291	0.0061	6		IGR/opensea	148	cg18009000	9.944	0.0466	10	H2AFY2	TSS1500/shore
29	cg04633645	35.014	0.0429	1		IGR/opensea	89	cg09973771	13.252	0.0141	2	SNTG2	BD/opensea	149	cg04713170	-9.888	0.0046	17	NUP88	BD/opensea
30	cg24066005	33.678	0.0201	18		IGR/opensea	90	cg15469624	13.024	0.0464	3		IGR/opensea	150	cg19761818	-9.835	0.0275	18	CIDEA	BD/shore
31	cg06814851	33.337	0.0293	17		IGR/opensea	91	cg22241571	12.998	0.0337	3	FGF12	BD/opensea	151	cg00124993	9.832	0.0455	5	MIR886	TSS200/island
32	cg18513517	30.212	0.0303	10		IGR/opensea	92	cg02427172	12.698	0.0355	8	TST3	TSS1500/shore	152	cg11600511	9.807	0.0484	22	PNPLAS	BD/shelf
33	cg10326673	-29.092	0.0365	2	LCLAT1	TSS1500/shore	93	cg18764771	12.673	0.0357	6	FRK	TSS200/opensea	153	cg12451061	-9.807	0.0495	12	CISTR	BD/shelf
34	cg23375282	27.487	0.0242	11	MRGPXR1	TSS1500/opensea	94	cg06741367	12.483	0.0423	2		IGR/shore	154	cg09219402	-9.792	0.0156	1		IGR/shelf
35	cg19652532	-25.006	0.0482	2	LCLAT1	TSS1500/shore	95	cg13939549	12.439	0.0089	X	DACH2	BD/shelf	155	cg05586384	9.786	0.0192	10	RTKN2	BD/opensea
36	cg21126229	24.663	0.0402	4	RNF212	TSS1500/shore	96	cg23221052	-12.377	0.0356	5	GPFT2	BD/island	156	cg15787438	-9.785	0.0065	2	TANK	TSS1500/opensea
37	cg21256907	23.103	0.0288	5	FU16171	TSS1500/opensea	97	cg01324343	12.318	0.0190	3	ABCC5	5'UTR/shore	157	cg01998345	-9.701	0.0464	7	DOX56	BD/shore
38	cg0053960	-22.777	0.0207	1	TNFRSF8	TSS200/shore	98	cg04156016	12.282	0.0371	5		IGR/opensea	158	cg26796873	9.669	0.0251	11	TMEM126	5'UTR/opensea
39	cg12454169	-22.339	0.0254	2	LCLAT1	TSS1500/shore	99	cg24433124	12.213	0.0399	6		IGR/opensea	159	cg21078322	9.667	0.0076	6	SGK1	3'UTR/opensea
40	cg18851133	20.346	0.0302	11		IGR/opensea	100	cg25716013	12.162	0.0094	6	COX7A2	TSS1500/opensea	160	cg25982946	-9.662	0.0475	7	SSBP1	TSS1500/shore
41	cg05284277	19.228	0.0250	4	WHSC1	5'UTR/shore	101	cg16597836	12.141	0.0407	14	LRRK9	BD/opensea	161	cg04085423	-9.640	0.0236	3		IGR/opensea
42	cg20597540	19.170	0.0338	8		IGR/opensea	102	cg13548034	-12.065	0.0261	13	CO66	TSS200/shore	162	cg12896271	9.620	0.0250	4	OC729218	TSS200/opensea
43	cg25366315	18.967	0.0490	5		IGR/opensea	103	cg05721374	12.036	0.0159	1	TAF13	TSS1500/shore	163	cg08029281	9.601	0.0331	1		IGR/island
44	cg02511570	18.732	0.0261	17	THC4T158	TSS1500/shore	104	cg11921111	-12.017	0.0370	13		IGR/opensea	164	cg02174092	9.580	0.0039	10		IGR/island
45	cg27284194	18.693	0.0253	4		IGR/island	105	cg25173405	11.979	0.0246	17	C17orf57	5'UTR/shore	165	cg07220032	9.574	0.0174	13	SPATA13	5'UTR/opensea
46	cg22550084	-18.571	0.0296	2	NMI	TSS1500/shore	106	cg26893134	11.940	0.0317	6	FRK	1stExon/opensea	166	cg17643330	-9.546	0.0074	5	CDH18	5'UTR/opensea
47	cg07777042	18.497	0.0299	8		IGR/shelf	107	cg04227007	11.919	0.0207	19	OC284412	TSS1500/shore	167	cg001308572	9.528	0.0117	11	MTRN1B	BD/island
48	cg21095610	18.496	0.0257	3		IGR/opensea	108	cg21603534	-11.864	0.0037	15		IGR/shelf	168	cg00134032	9.527	0.0410	7		IGR/opensea
49	cg14457074	18.373	0.0278	5		IGR/opensea	109	cg11685843	11.718	0.0157	4		IGR/opensea	169	cg01910579	9.515	0.0027	17	RUNDIC1	BD/opensea
50	cg14473575	18.271	0.0367	3		IGR/shore	110	cg24157836	11.714	0.0459	5	BTNL3	TSS1500/opensea	170	cg19149522	-9.498	0.0491	7	ZDHHC4	TSS1500/shore
51	cg18220841	17.763	0.0054	16		IGR/shelf	111	cg25294910	11.638	0.0251	6		IGR/island	171	cg09781943	-9.496	0.0159	19	ANKRD24	BD/shore
52	cg10564883	-17.383	0.0295	8	JRK	TSS1500/shore	112	cg01843127	11.638	0.0122	8		IGR/opensea	172	cg14848251	9.482	0.0423	2	SNRNP27	BD/opensea
53	cg21550016	-17.137	0.0439	2	PAX8	BD/shore	113	cg01289112	11.614	0.012										





#	CpG	delta β %	FDR	Chr	Simbolo del gen	Localización genómica/ Contexto CGI	#	CpG	delta β %	FDR	Chr	Simbolo del gen	Localización genómica/ Contexto CGI	#	CpG	delta β %	FDR	Chr	Simbolo del gen	Localización genómica/ Contexto CGI
541	cg16606110	-6.334	0.0137	12		IGR/opensea	601	cg06197264	-6.169	0.0296	9		IGR/opensea	661	cg09475718	-5.985	0.0157	10	<i>BICC1</i>	BD/opensea
542	cg25106105	6.333	0.0447	12		IGR/opensea	602	cg12092346	6.168	0.0441	18	<i>KCNG2</i>	BD/island	662	cg2283050	5.985	0.0451	19	<i>MED16</i>	BD/shore
543	cg12884422	6.329	0.0329	11		IGR/opensea	603	cg01659202	6.158	0.0383	12		IGR/opensea	663	cg15077975	5.984	0.0227	3		IGR/opensea
544	cg12853258	6.329	0.0395	5		IGR/opensea	604	cg08780332	6.155	0.0158	1		IGR/opensea	664	cg09731698	-5.979	0.0401	5		IGR/opensea
545	cg24785368	6.326	0.0330	14	<i>TMBM30B</i>	TSS200/shore	605	cg26536378	-6.153	0.0214	4	<i>FSTL5</i>	BD/opensea	665	cg08746762	-5.976	0.0188	4		IGR/opensea
546	cg121329660	6.325	0.0306	18		IGR/opensea	606	cg25535316	6.151	0.0236	11	<i>PHRF1</i>	5'UTR/shelf	666	cg08763063	-5.976	0.0268	7	<i>CNTNAP2</i>	BD/opensea
547	cg26284735	-6.325	0.0329	3		IGR/shelf	607	cg03928353	-6.151	0.0218	15		IGR/opensea	667	cg03014957	-5.973	0.0072	20	<i>DEFB118</i>	TSS1500/opensea
548	cg1722932	6.324	0.0335	11	<i>MTRN1B</i>	TSS200/shore	608	cg25529370	6.149	0.0320	14	<i>GPATCH2L</i>	BD/opensea	668	cg01076861	-5.973	0.0336	6		IGR/opensea
549	cg07407736	-6.322	0.0257	4		IGR/opensea	609	cg09349058	-6.145	0.0465	11		IGR/opensea	669	cg15713662	5.969	0.0232	X	<i>NHS</i>	BD/opensea
550	cg04764399	6.319	0.0327	19	<i>EID2B</i>	TSS1500/shore	610	cg12462883	6.143	0.0347	3	<i>SLC9A10</i>	TSS200/opensea	670	cg16753771	-5.965	0.0474	7	<i>SNDI</i>	BD/opensea
551	cg17266123	-6.317	0.0431	21	<i>MAP3K7C1</i>	5'UTR/opensea	611	cg11660561	6.143	0.0381	14	<i>PRKCH</i>	BD/opensea	671	cg08497835	-5.964	0.0473	1	<i>EPB41</i>	5'UTR/opensea
552	cg07859753	-6.315	0.0199	13		IGR/shelf	612	cg24439037	-6.141	0.0146	14		IGR/opensea	672	cg15178291	5.963	0.0242	8	<i>SPIDR</i>	BD/opensea
553	cg04767522	6.307	0.0269	6	<i>KIF13A</i>	BD/opensea	613	cg23985374	6.140	0.0209	5	<i>PDCD46</i>	BD/shore	673	cg08773154	-5.963	0.0194	6	<i>TRIM10</i>	BD/opensea
554	cg16760019	6.304	0.0086	8	<i>HMBX01</i>	5'UTR/shelf	614	cg04124296	-6.139	0.0228	8	<i>PLEKH2</i>	TSS1500/shore	674	cg50263725	-5.961	0.0394	10	<i>JNC00867</i>	BD/opensea
555	cg18598108	-6.304	0.0311	5		IGR/opensea	615	cg04612667	6.137	0.0422	6		IGR/opensea	675	cg04547000	-5.960	0.0486	16		IGR/opensea
556	cg08697310	6.303	0.0358	11	<i>C11orf85</i>	TSS1500/shore	616	cg25043442	-6.136	0.0108	10		IGR/shelf	676	cg14330386	-5.960	0.0110	9	<i>NELFB</i>	BD/opensea
557	cg20663448	-6.303	0.0322	6	<i>FILIP1</i>	TSS1500/opensea	617	cg16367518	6.134	0.0295	6	<i>HLA-E</i>	TSS1500/shore	677	cg14200251	5.958	0.0492	8	<i>RMDN1</i>	BD/shore
558	cg26314966	6.299	0.0438	17		IGR/island	618	cg04600055	-6.128	0.0452	8		IGR/island	678	cg09834729	-5.957	0.0129	11		IGR/opensea
559	cg11646294	6.299	0.0253	2	<i>PRLH</i>	TSS1500/opensea	619	cg05828191	6.126	0.0101	16	<i>WRD59</i>	TSS1500/shore	679	cg02159635	-5.955	0.0409	4	<i>C4orf22</i>	BD/opensea
560	cg02296932	-6.298	0.0121	7	<i>MMD2</i>	BD/opensea	620	cg24441899	6.124	0.0275	7	<i>SDK1</i>	BD/opensea	680	cg15162316	5.950	0.0038	10	<i>MLLT10</i>	EB/opensea
561	cg26775604	-6.298	0.0182	6	<i>HIST1H1D</i>	TSS1500/opensea	621	cg02076818	-6.114	0.0257	4		IGR/opensea	681	cg06153964	5.948	0.0399	8		IGR/opensea
562	cg21809927	6.297	0.0438	6	<i>TRIM31</i>	BD/opensea	622	cg12821812	6.113	0.0122	19	<i>TCF3</i>	BD/shelf	682	cg14033737	5.945	0.0213	3		IGR/opensea
563	cg21096684	6.293	0.0359	17	<i>SRR</i>	BD/opensea	623	cg07016730	6.113	0.0090	22	<i>SBF1</i>	BD/shore	683	cg10160614	-5.939	0.0383	2		IGR/shelf
564	cg00646813	6.292	0.0467	4	<i>TLR1</i>	5'UTR/opensea	624	cg11482779	6.112	0.0075	19	<i>MEGF8</i>	BD/opensea	684	cg18708233	5.938	0.0316	10	<i>CCDC109A</i>	TSS1500/shore
565	cg02145337	-6.285	0.0227	X	<i>SLC25A14</i>	BD/opensea	625	cg07740705	-6.111	0.0195	11	<i>SNX19</i>	3'UTR/opensea	685	cg24727089	-5.935	0.0369	18		IGR/opensea
566	cg05373339	-6.284	0.0251	22	<i>TUG1</i>	TSS1500/shore	626	cg00471476	6.111	0.0239	15		IGR/opensea	686	cg02557364	5.934	0.0375	7		IGR/island
567	cg14519184	6.281	0.0047	7	<i>DNAH11</i>	BD/opensea	627	cg02755130	6.110	0.0227	4	<i>WWC2</i>	BD/opensea	687	cg08668883	5.934	0.0497	7		IGR/opensea
568	cg01124539	6.281	0.0245	9		IGR/shore	628	cg24817502	6.104	0.0046	X	<i>KCNEL1</i>	TSS1500/shore	688	cg12082922	-5.931	0.0484	10		IGR/opensea
569	cg02056268	-6.267	0.0271	1	<i>OR278</i>	TSS1500/opensea	629	cg09536738	6.102	0.0139	2	<i>EFHD1</i>	TSS1500/island	689	cg15931507	-5.928	0.0231	1	<i>NUP210L</i>	EB/opensea
570	cg12302402	6.265	0.0187	11	<i>OC49414</i>	TSS200/island	630	cg20486004	6.100	0.0238	4		IGR/opensea	690	cg04770282	5.926	0.0214	16		IGR/shelf
571	cg12885826	-6.261	0.0335	11	<i>PICALM</i>	5'UTR/opensea	631	cg03258257	6.100	0.0101	16	<i>ZNF276</i>	TSS1500/shore	691	cg13497283	-5.922	0.0362	16		IGR/opensea
572	cg02062237	-6.253	0.0465	4	<i>ANK2</i>	BD/opensea	632	cg05988046	6.085	0.0239	2		IGR/opensea	692	cg09774931	-5.920	0.0381	4		IGR/opensea
573	cg22669698	6.252	0.0248	15	<i>CENK1G1</i>	TSS1500/shore	633	cg17913306	6.083	0.0306	14		IGR/opensea	693	cg18473196	5.918	0.0269	19	<i>MAMSTR</i>	5'UTR/shore
574	cg08590134	6.252	0.0364	9	<i>FOCAD</i>	BD/opensea	634	cg08784247	6.081	0.0121	12	<i>MIR618</i>	TSS200/shore	694	cg09577317	5.917	0.0331	8		IGR/shore
575	cg25661961	-6.249	0.0091	4	<i>PDGFC</i>	BD/opensea	635	cg09539578	-6.076	0.0342	8	<i>KCNB2</i>	BD/opensea	695	cg08622859	-5.917	0.0372	X		IGR/opensea
576	cg12095549	-6.247	0.0196	13		IGR/opensea	636	cg18211686	6.076	0.0309	5	<i>ALDH7A1</i>	BD/shore	696	cg15811435	-5.910	0.0258	4	<i>LNX1</i>	BD/opensea
577	cg1015483	6.246	0.0098	4		IGR/opensea	637	cg11230822	6.073	0.0483	1	<i>CBA</i>	BD/opensea	697	cg06712980	-5.909	0.0198	12		IGR/opensea
578	cg13337773	-6.244	0.0376	5	<i>GLRA1</i>	BD/opensea	638	cg26646542	6.071	0.0412	10	<i>C1019276</i>	TSS1500/shelf	698	cg00361017	5.902	0.0394	6	<i>PDE10A</i>	BD/shore
579	cg13448633	6.242	0.0162	5	<i>ELL2</i>	BD/opensea	639	cg1739620	6.063	0.0457	2	<i>SCN1A</i>	5'UTR/opensea	699	cg05262295	5.892	0.0147	19		IGR/shore
580	cg09810059	6.238	0.0491	1		IGR/island	640	cg26724025	-6.062	0.0275	4		IGR/opensea	700	cg26129200	5.879	0.0371	X	<i>ZMAT1</i>	5'UTR/shore
581	cg12529653	6.235	0.0477	X		IGR/opensea	641	cg13407348	6.059	0.0277	6		IGR/opensea	701	cg16240755	-5.877	0.0293	2		IGR/opensea
582	cg18121641	-6.234	0.0347	15	<i>UACA</i>	BD/opensea	642	cg19461907	6.057	0.0452	19	<i>OCEL1</i>	TSS1500/shore	702	cg07849604	5.875	0.0279	3	<i>TRH</i>	TSS200/island
583	cg20925811	6.234	0.0139	20	<i>MMP9</i>	BD/shore	643	cg21185355	6.053	0.0199	3	<i>ULK4</i>	BD/opensea	703	cg24762931	-5.873	0.0212	2		IGR/opensea
584	cg04696756	6.227	0.0491	11	<i>RL2-SNX15</i>	BD/opensea	644	cg04980339	6.049	0.0383	4	<i>UGDH-AS1</i>	BD/opensea	704	cg0457913	5.873	0.0246	6	<i>C6orf138</i>	TSS200/shore
585	cg05826762	6.219	0.0164	7		IGR/opensea	645	cg08121408	6.025	0.0329	1	<i>SLC1A7</i>	BD/opensea	705	cg11977760	5.873	0.0444	19	<i>TDRD12</i>	TSS200/island
586	cg04599589	6.209	0.0245	6		IGR/opensea	646	cg11530334	-6.019	0.0103	8		IGR/opensea	706	cg1553910	5.870	0.0129	6	<i>GRM4</i>	BD/opensea
587	cg14413394	6.207	0.0370	5		IGR/opensea	647	cg02873315	6.015	0.0291	10		IGR/island	707	cg13180566	-5.866	0.0407	4		IGR/shelf
588	cg080805973	-6.202	0.0121	4		IGR/shelf	648	cg25199357	6.013	0.0203	7		IGR/opensea	708	cg07731620	5.863	0.0370	6		IGR/shore
589	cg18298927	-6.199	0.0306	18		IGR/island	649	cg02733025	6.013	0.0423	7		IGR/opensea	709	cg01021271	5.853	0.0399	11		IGR/opensea
590	cg15410343	6.198	0.0132	7	<i>OC650224</i>	TSS1500/shore	650	cg09711372	-6.007	0.0220	11	<i>OR512</i>	TSS1500/opensea	710	cg12473738	5.847	0.0395	22		IGR/island
591	cg24764243	6.198	0.0356	7	<i>NRCAM</i>	5'UTR/opensea	651	cg26820559	-6.001	0.0147	7		IGR/opensea	711	cg02517528	-5.844	0.0431	12		IGR/opensea
592	cg04189235	-6.195	0.0288	8	<i>JNC01605</i>	TSS200/opensea	652	cg01817393	-6.000	0.0397	20	<i>GNA5</i>	TSS1500/shore	712	cg14696287	5.844	0.0302	X	<	

#	CpG	delta β %	FDR	Chr	Simbolo del gen	Localización genómica/ Contexto CGI	#	CpG	delta β %	FDR	Chr	Simbolo del gen	Localización genómica/ Contexto CGI	#	CpG	delta β %	FDR	Chr	Simbolo del gen	Localización genómica/ Contexto CGI
723	cg11747820	5.821	0.0339	1	PTPRU	BD/shore	781	cg05617797	5.688	0.0140	20		IGR/opensea	841	cg17604152	5.567	0.0145	X	CASK	BD/opensea
722	cg18626683	5.820	0.0373	1	PRRX1	BD/opensea	782	cg06439884	-5.685	0.0452	1	HVRNPR	BD/opensea	842	cg18056097	5.566	0.0129	20	CHMP4B	3'UTR/opensea
723	cg11348817	-5.820	0.0137	6	FILIP1	TSS1500/opensea	783	cg24454158	-5.685	0.0136	1	FMN2	BD/opensea	843	cg12103742	5.566	0.0343	11		IGR/shore
724	cg18872420	5.819	0.0343	14	SPTLC2	BD/opensea	784	cg07673020	5.684	0.0492	7		IGR/opensea	844	cg17170684	5.564	0.0239	5		IGR/opensea
725	cg02535680	-5.818	0.0048	19	UNC00904	TSS1500/opensea	785	cg06644349	-5.684	0.0172	12	PTPRO	BD/opensea	845	cg09521435	5.563	0.0190	2		IGR/opensea
726	cg11050977	-5.816	0.0327	11	MIR1261	TSS1500/opensea	786	cg17017848	-5.683	0.0313	11		IGR/opensea	846	cg15341874	5.559	0.0337	X	RPL39	TSS1500/shore
727	cg18123184	-5.813	0.0147	9	TRPM6	BD/opensea	787	cg11480627	5.683	0.0291	11	SHANK2	BD/island	847	cg09750510	-5.557	0.0200	6	SLC17A4	5'UTR/opensea
728	cg16794869	-5.811	0.0180	12	C1002887	BD/opensea	788	cg04561511	5.681	0.0435	20	ZNF337	TSS1500/shore	848	cg18823710	-5.557	0.0447	8	NRG1	BD/opensea
729	cg07143815	5.804	0.0488	8		IGR/opensea	789	cg029161525	5.675	0.0195	2	ROCK2	BD/opensea	849	cg14976348	-5.545	0.0362	1		IGR/opensea
730	cg16291861	5.803	0.0158	19		IGR/opensea	790	cg15788369	5.675	0.0153	19		IGR/island	850	cg06888460	5.544	0.0309	11	LDHAL6A	TSS200/island
731	cg19738424	-5.799	0.0268	19	OPA3	BD/opensea	791	cg13689996	-5.675	0.0028	17	C17orf54	BD/opensea	851	cg06728055	-5.542	0.0482	3	WWTR1	BD/opensea
732	cg13843791	5.798	0.0302	12	ZCHCH8	BD/opensea	792	cg1283144	5.671	0.0448	11	OR5241	TSS1500/opensea	852	cg12833841	5.542	0.0383	3		IGR/opensea
733	cg03240800	5.793	0.0397	5	PCDHAG	BD/shore	793	cg20236089	-5.670	0.0311	6	DTNBP1	BD/opensea	853	cg2592525	-5.539	0.0139	12		IGR/opensea
734	cg07068853	5.792	0.0405	X		IGR/opensea	794	cg15776752	-5.669	0.0159	X	NHSL2	BD/opensea	854	cg10485633	-5.537	0.0180	5		IGR/shore
735	cg17279574	-5.786	0.0074	6	ADTRP	BD/opensea	795	cg09948769	5.663	0.0202	15		IGR/shelf	855	cg21616982	-5.535	0.0483	12		IGR/opensea
736	cg15394321	-5.786	0.0367	12	C1005073	BD/opensea	796	cg03570994	5.659	0.0453	6	PPT2	TSS200/shore	856	cg08231326	-5.534	0.0122	18		IGR/opensea
737	cg05346981	-5.786	0.0407	1	MIR548F3	BD/opensea	797	cg13839289	-5.656	0.0427	7		IGR/opensea	857	cg19717703	-5.533	0.0164	6		IGR/opensea
738	cg20827960	5.785	0.0294	11	NTM	BD/opensea	798	cg20960683	-5.651	0.0105	3		IGR/opensea	858	cg22818074	5.527	0.0403	15	MAP2K1	BD/opensea
739	cg26928972	5.782	0.0065	3	CSTA	TSS1500/opensea	799	cg02693238	-5.651	0.0477	8	VPS13B	BD/opensea	859	cg21190244	-5.526	0.0309	X	FAM47B	TSS1500/shore
740	cg19387053	5.780	0.0193	18	HMSD	TSS1500/opensea	800	cg16747877	5.647	0.0245	6	USP45	EB/opensea	860	cg26536593	5.520	0.0075	1	ZNF670	TSS1500/shore
741	cg05157702	-5.780	0.0488	X	PIR	5'UTR/shore	801	cg23825373	-5.646	0.0347	21		IGR/opensea	861	cg03725544	-5.517	0.0308	2		IGR/opensea
742	cg12813768	5.776	0.0109	1	SHCP1	BD/shore	802	cg04582770	-5.645	0.0239	15	TMED3	TSS1500/shore	862	cg03779328	-5.516	0.0306	21	KRTAP6-1	TSS200/opensea
743	cg05115664	-5.765	0.0257	9		IGR/island	803	cg14716792	-5.645	0.0419	11	OR4A15	TSS1500/opensea	863	cg07105285	5.513	0.0284	11	MTNR1B	TSS200/shore
744	cg00789793	5.765	0.0431	3	RASA2	BD/opensea	804	cg11857517	5.640	0.0477	5	SEMA5A	BD/opensea	864	cg12878148	5.510	0.0441	13	KHL1	BD/shore
745	cg01758864	5.762	0.0193	1	PFKFB2	BD/opensea	805	cg26794885	-5.639	0.0359	8		IGR/opensea	865	cg10881311	5.505	0.0311	2	ST6GAL2	5'UTR/opensea
746	cg04002804	-5.758	0.0294	19		IGR/opensea	806	cg14201389	5.639	0.0028	11	RSF1	BD/opensea	866	cg13480738	-5.499	0.0395	2	PRKCE	BD/opensea
747	cg11635197	5.758	0.0201	11	NPAS4	3'UTR/opensea	807	cg13095698	5.639	0.0463	X	SAT1L	TSS1500/opensea	867	cg08950105	-5.497	0.0196	9		IGR/shore
748	cg18582766	-5.757	0.0334	7	PSMK2	BD/opensea	808	cg19732987	5.639	0.0064	10	BTAF1	BR/opensea	868	cg15365353	-5.493	0.0076	5		IGR/opensea
749	cg0354692	-5.755	0.0200	5	VCAN	3'UTR/opensea	809	cg27358947	5.636	0.0370	10	ENTPD1	BD/opensea	869	cg12390454	5.492	0.0498	11		IGR/opensea
750	cg00361119	5.752	0.0333	16	A2BP1	BD/opensea	810	cg20819154	-5.632	0.0152	6	MLIP	BD/opensea	870	cg27174137	5.492	0.0447	7	SUN3	BD/opensea
751	cg22073869	5.751	0.0277	13	FARP1	BD/opensea	811	cg20898865	-5.630	0.0366	10		IGR/opensea	871	cg02447462	5.491	0.0493	19	CFD	BD/island
752	cg08790036	-5.749	0.0278	5		IGR/opensea	812	cg21483431	5.623	0.0110	12	C1RL	BD/opensea	872	cg10566015	-5.490	0.0277	8		IGR/opensea
753	cg17303779	-5.747	0.0416	5	RASEF1C	BD/opensea	813	cg00936349	5.622	0.0124	X		IGR/shelf	873	cg21189925	-5.490	0.0311	X	IL13RA1	BD/opensea
754	cg16192086	-5.746	0.0311	2	C1010600	BD/opensea	814	cg27434326	5.619	0.0416	2		IGR/shore	874	cg09528218	-5.487	0.0400	20	NCOA3	5'UTR/opensea
755	cg16780859	-5.746	0.0094	4	PALLD	BD/opensea	815	cg27048432	5.618	0.0307	2	GPR39	BD/island	875	cg10691430	-5.484	0.0141	2		IGR/opensea
756	cg26618267	-5.745	0.0243	10		IGR/opensea	816	cg06148154	-5.616	0.0343	5	C5orf66	5'UTR/opensea	876	cg10818781	5.482	0.0276	12	PHB2	TSS1500/shore
757	cg03824347	-5.742	0.0384	4		IGR/opensea	817	cg03303774	5.616	0.0423	4		IGR/shore	877	cg18306115	-5.477	0.0160	4	RXFP1	TSS1500/opensea
758	cg13322464	5.742	0.0395	6	GMNN	TSS1500/shore	818	cg02201479	5.610	0.0269	10	INPP5A	BD/shore	878	cg11866589	-5.475	0.0040	1		IGR/opensea
759	cg12796409	5.737	0.0451	10		IGR/opensea	819	cg15061569	-5.607	0.0475	19		IGR/shore	879	cg08993878	5.475	0.0412	12		IGR/opensea
760	cg06202614	-5.733	0.0258	2	INC00602	BD/opensea	820	cg12161603	-5.603	0.0481	11	MTC2	BD/opensea	880	cg18809706	-5.475	0.0194	7		IGR/shore
761	cg27053108	-5.723	0.0485	2		IGR/opensea	821	cg21180010	-5.599	0.0423	4		IGR/opensea	881	cg04664465	-5.474	0.0458	5		IGR/opensea
762	cg03269770	5.723	0.0331	X	HTR2C	3'UTR/opensea	822	cg11987757	5.592	0.0354	9	TL1L1	BD/opensea	882	cg01783554	-5.471	0.0184	8		IGR/opensea
763	cg13141188	-5.722	0.0278	5	HTR4	TSS1500/opensea	823	cg11852899	-5.588	0.0408	X	DMD	5'UTR/opensea	883	cg15083578	5.467	0.0174	3	C3orf23	3'UTR/opensea
764	cg11394276	5.719	0.0161	10	GPAM	3'UTR/opensea	824	cg24469288	-5.585	0.0463	11		IGR/opensea	884	cg03696109	-5.466	0.0445	6		IGR/opensea
765	cg07291037	5.716	0.0275	9	CACNA1B	BD/opensea	825	cg20590252	5.584	0.0421	2	PDIAB	BD/opensea	885	cg26989531	5.465	0.0039	12	CCND2	1stExon/shore
766	cg06646165	5.713	0.0277	9	1-Dec	5'UTR/opensea	826	cg26519249	-5.584	0.0214	8		IGR/opensea	886	cg26123647	-5.461	0.0294	2	MYT1L	5'UTR/shore
767	cg07059581	5.707	0.0249	4		IGR/opensea	827	cg01578632	5.583	0.0383	16	WWP2	TSS1500/opensea	887	cg04295473	-5.458	0.0166	3	NLG1	BD/opensea
768	cg08692541	-5.707	0.0094	3	C3orf20	TSS1500/opensea	828	cg01746252	5.583	0.0347	10	PPAPDC1A	BD/opensea	888	cg08521238	-5.457	0.0317	11	ATG13	TSS1500/shore
769	cg13081489	5.706	0.0183	1	NID1	BD/shelf	829	cg19175386	-5.582	0.0437	12		IGR/shore	889	cg18157505	-5.456	0.0455	1	PTPRC	BD/opensea
770	cg02443707	5.706	0.0139	6	GMDS	BD/opensea	830	cg24319133	-5.580	0.0478	4		IGR/opensea	890	cg1307144	5.453	0.0442	18	EPB41L3	5'UTR/opensea
771	cg26068079	-5.706	0.0113	8	NRG1	BD/opensea	831	cg18476517	-5.580	0.0458	8		IGR/opensea	891	cg07463869	-5.453	0.0412	X	DMD	BD/opensea
772	cg25411977	5.706	0.0440	2	TSC1	BD/island	832	cg02570900	5.579	0.0300	X	IL1RAPL2	BD/opensea	892	cg23276941	-5.452	0.0300	16	PARN	BD/opensea
773	cg03476948	-5.706	0.0370	14		IGR/opensea	833	cg02871254	5.576	0.0292	8	NSME2	BD/opensea	893	cg18847904	-5.451	0.0131	5		IGR/opensea
774	cg01773685	5.703	0.0401	19	KLK15	BD/island	834	cg06534000	5.576											



#	CpG	delta β %	FDR	Chr	Simbolo del gen	Localización genómica/ Contexto CGI	#	CpG	delta β %	FDR	Chr	Simbolo del gen	Localización genómica/ Contexto CGI	#	CpG	delta β %	FDR	Chr	Simbolo del gen	Localización genómica/ Contexto CGI
1081	cg01394007	5.137	0.0039	10	FGFBP3	TSS200/shore	1141	cg19762416	5.039	0.0238	19	C19orf44	TSS1500/shore	1201	cg00721830	4.967	0.0295	20	NFATC2	BD/opensea
1082	cg16242106	-5.136	0.0065	15	UBE2Q2	BD/island	1142	cg23897667	5.036	0.0283	8		IGR/opensea	1202	cg5878684	4.962	0.0311	4	KIAA0922	BD/opensea
1083	cg14189878	-5.132	0.0440	10		IGR/opensea	1143	cg10682600	-5.035	0.0124	3		IGR/opensea	1203	cg09603398	-4.962	0.0178	13	ENOX1	5'UTR/opensea
1084	cg13483034	-5.131	0.0199	12	C10I19276	TSS1500/opensea	1144	cg10093768	-5.034	0.0198	11	SLC36A4	BD/opensea	1204	cg07706748	-4.958	0.0244	15	PEAK1	5'UTR/opensea
1085	cg09674580	-5.131	0.0161	1	DPYD	BD/opensea	1145	cg07053841	-5.034	0.0028	6	OR2W1	1stExon/opensea	1205	cg1774548	4.957	0.0436	5		IGR/shelf
1086	cg19452802	5.130	0.0065	6		IGR/shore	1146	cg22018815	-5.034	0.0450	17	ERBB2	BD/island	1206	cg08647407	4.956	0.0435	5		IGR/opensea
1087	cg21512324	-5.129	0.0085	8		IGR/opensea	1147	cg24476243	5.033	0.0251	3	MAP4	BD/opensea	1207	cg26263239	-4.956	0.0182	6	OC15444	BD/shore
1088	cg04523791	-5.127	0.0334	4		IGR/opensea	1148	cg08469419	5.032	0.0474	11	USHC	BD/opensea	1208	cg03669147	4.956	0.0065	8	FGF20	BD/shore
1089	cg02775617	5.119	0.0461	10	ARHGAP12	5'UTR/shore	1149	cg19870596	-5.030	0.0212	2	SMC6	5'UTR/opensea	1209	cg03918530	-4.956	0.0359	3	MIR138-1	TSS200/opensea
1090	cg12456798	-5.117	0.0418	1	LRN2	5'UTR/opensea	1150	cg21031917	-5.030	0.0328	6	KHDRBS2	BD/opensea	1210	cg05398321	-4.955	0.0411	14	GPR68	BD/island
1091	cg19258887	5.111	0.0464	14		IGR/opensea	1151	cg11468748	5.028	0.0478	X	IDS	TSS200/shore	1211	cg17093478	4.953	0.0429	5	PCDH46	BD/island
1092	cg15590153	5.111	0.0439	1	PGM1	TSS1500/shore	1152	cg22996962	-5.028	0.0333	21	JTB2	5'UTR/shelf	1212	cg02104660	-4.952	0.0186	3	ATP2B2	5'UTR/opensea
1093	cg14759944	5.110	0.0310	5	M5H3	BD/opensea	1153	cg08014966	-5.028	0.0322	3		IGR/opensea	1213	cg02592360	-4.949	0.0244	X	CXorf56	TSS1500/opensea
1094	cg26215915	-5.107	0.0119	6		IGR/opensea	1154	cg26274401	-5.026	0.0341	6	STX11	TSS1500/shore	1214	cg4535120	4.949	0.0216	8		IGR/opensea
1095	cg04945312	5.107	0.0236	2	GLBL1	5'UTR/shore	1155	cg2259536	5.026	0.0442	3	OSPL10	BD/opensea	1215	cg21408677	-4.944	0.0187	15	THSD4	BD/opensea
1096	cg25015912	5.103	0.0394	1	STL	BD/shelf	1156	cg18897157	-5.025	0.0231	6	RIMS2	BD/opensea	1216	cg10892979	-4.943	0.0442	5		IGR/opensea
1097	cg04073696	-5.098	0.0322	14	ESRRB	5'UTR/shelf	1157	cg04790008	5.022	0.0397	4	OC33997	BD/opensea	1217	cg13712818	-4.942	0.0187	17		IGR/opensea
1098	cg17842189	-5.098	0.0393	22	TBC1D22A	BD/shore	1158	cg22647929	5.022	0.0248	8	SOX7	BD/shore	1218	cg05989320	-4.940	0.0409	3		IGR/opensea
1099	cg22416262	-5.096	0.0243	7		IGR/opensea	1159	cg10266524	-5.021	0.0150	19		IGR/shelf	1219	cg10249243	-4.939	0.0110	16	CDH13	5'UTR/opensea
1100	cg02513147	-5.095	0.0247	8		IGR/opensea	1160	cg26370886	-5.021	0.0181	19	RASIP1	BD/island	1220	cg00168240	-4.938	0.0039	1	PRDM16	BD/shelf
1101	cg04069374	5.095	0.0216	X	FAM70A	BD/island	1161	cg10417901	-5.018	0.0467	1	SLC6A17	5'UTR/opensea	1221	cg14009759	4.932	0.0162	7		IGR/opensea
1102	cg05427189	-5.089	0.0213	2		IGR/opensea	1162	cg12918696	5.018	0.0443	12		IGR/opensea	1222	cg04683612	4.927	0.0127	22	FBXO7	5'UTR/shore
1103	cg10815453	5.087	0.0392	21		IGR/opensea	1163	cg27661394	-5.017	0.0446	4		IGR/opensea	1223	cg05670472	4.924	0.0406	5	PCDHGA4	BD/shore
1104	cg10418855	5.087	0.0411	X	APOO	BD/opensea	1164	cg24516399	5.016	0.0315	2	SCARNA6	TSS1500/opensea	1224	cg5708721	4.923	0.0372	8	TERF1	BD/shelf
1105	cg26804244	5.086	0.0465	2		IGR/opensea	1165	cg17035996	5.012	0.0291	5	FAM159B	TSS1500/shore	1225	cg86676760	4.922	0.0494	7		IGR/opensea
1106	cg09066361	5.086	0.0121	7	GRM8	5'UTR/shore	1166	cg01987516	5.011	0.0390	10		IGR/island	1226	cg13828440	4.922	0.0145	12	KLRD1	TSS1500/opensea
1107	cg05131347	5.085	0.0234	10		IGR/shelf	1167	cg05674221	-5.011	0.0120	2	GACAT3	TSS1500/opensea	1227	cg16789844	4.917	0.0496	7	PDE1C	TSS200/shore
1108	cg15686393	5.082	0.0444	6		IGR/shelf	1168	cg09726240	5.010	0.0277	11	SHANK2	BD/island	1228	cg22797692	-4.917	0.0465	10	PDZD7	BD/shore
1109	cg08355910	-5.080	0.0316	10		IGR/opensea	1169	cg06216650	-5.008	0.0218	2		IGR/island	1229	cg5637610	4.916	0.0064	X		IGR/opensea
1110	cg10240139	-5.079	0.0452	6		IGR/opensea	1170	cg16829758	-5.007	0.0233	X	TNMD	BD/opensea	1230	cg08202226	-4.916	0.0225	1	GATA2B	TSS1500/shore
1111	cg22560211	5.078	0.0472	X	PHF16	5'UTR/opensea	1171	cg24828582	5.007	0.0255	4	ADH4	TSS1500/opensea	1231	cg04853129	-4.909	0.0358	10	TSPAN15	BD/opensea
1112	cg10217853	-5.078	0.0194	15	ARRDC4	BD/shore	1172	cg03873392	5.005	0.0311	16		IGR/opensea	1232	cg03369169	4.909	0.0158	10	FAM107B	BD/opensea
1113	cg25288034	5.076	0.0260	10		IGR/opensea	1173	cg02149509	5.003	0.0037	8		IGR/opensea	1233	cg2603037	-4.906	0.0199	1	TCNH	TSS1500/shelf
1114	cg21674595	-5.073	0.0423	12	C12orf54	BD/opensea	1174	cg04473095	-5.003	0.0221	10		IGR/shelf	1234	cg01391848	4.905	0.0253	X	CXorf27	1stExon/opensea
1115	cg00168032	5.071	0.0196	4		IGR/opensea	1175	cg13510937	5.002	0.0284	11		IGR/opensea	1235	cg08041279	4.904	0.0436	21	POFUT2	3'UTR/island
1116	cg24206053	-5.068	0.0261	5	NRG2	BD/island	1176	cg1158579	4.999	0.0326	7	JAZF1	BD/opensea	1236	cg08255147	-4.903	0.0335	X	HSD17B10	BD/shore
1117	cg06266189	-5.068	0.0492	2	NGEF	BD/shore	1177	cg20498962	-4.998	0.0214	7	NOS3	BD/island	1237	cg23490611	-4.899	0.0274	X	ZNF75D	5'UTR/shelf
1118	cg05722949	5.067	0.0414	1	CNTN2	BD/opensea	1178	cg05874443	-4.997	0.0301	11	SLC36A4	BD/shelf	1238	cg13025263	-4.899	0.0120	4	JAKMIP1	5'UTR/opensea
1119	cg03551401	5.067	0.0229	8	ADCY8	BD/shore	1179	cg24438354	-4.997	0.0428	12		IGR/opensea	1239	cg24015358	-4.899	0.0432	12	P1K3CG	BD/opensea
1120	cg01084500	-5.067	0.0052	1		IGR/opensea	1180	cg24814612	4.996	0.0425	X		IGR/opensea	1240	cg26549084	4.896	0.0261	3	FND3B	5'UTR/shore
1121	cg22587410	-5.066	0.0277	5		IGR/opensea	1181	cg08007320	4.995	0.0258	20	ZNF343	5'UTR/shore	1241	cg21110028	-4.895	0.0390	X	DMD	5'UTR/opensea
1122	cg11794735	-5.065	0.0450	17	RPN3AL	BD/opensea	1182	cg16280624	-4.995	0.0493	3		IGR/opensea	1242	cg13368734	4.894	0.0325	14	COCH	BD/opensea
1123	cg09508281	5.060	0.0384	4	ENAM	BD/opensea	1183	cg07134061	4.995	0.0183	17	RX5-TAX1B	BD/shelf	1243	cg5456593	4.894	0.0077	11	SHANK2	BD/island
1124	cg06815965	5.056	0.0075	1	PM20D1	BD/shore	1184	cg15637491	-4.993	0.0288	15	APBA2	5'UTR/opensea	1244	cg27188468	4.894	0.0448	20		IGR/opensea
1125	cg07466166	5.056	0.0427	X	TAF9B	1stExon/island	1185	cg05893422	-4.992	0.0352	X		IGR/opensea	1245	cg22373576	-4.894	0.0255	2		IGR/opensea
1126	cg02742747	-5.055	0.0289	2	CNTNAPS	BD/opensea	1186	cg16709429	-4.989	0.0408	22		IGR/opensea	1246	cg15436449	-4.891	0.0141	7	GLI3	BD/opensea
1127	cg26650163	5.053	0.0321	15	FRMD5	BD/opensea	1187	cg06043640	4.987	0.0197	2	DNAH7	BD/island	1247	cg16155150	-4.890	0.0291	X		IGR/shore
1128	cg11127878	5.052	0.0347	19	PRR19	5'UTR/island	1188	cg27554835	-4.984	0.0451	20		IGR/opensea	1248	cg14678662	-4.884	0.0269	22	SGSM3	5'UTR/opensea
1129	cg19123916	5.051	0.0433	4	SLC10A4	TSS1500/shore	1189	cg13239894	-4.981	0.0336	7		IGR/opensea	1249	cg12058539	4.881	0.0423	16	TUBB3	1stExon/shore
1130	cg14340110	5.051	0.0432	7	ElF3B	BD/opensea	1190	cg09281528	4.980	0.0258	3	ERICH6-A5	TSS1500/shore	1250	cg00326434	4.880	0.0499	10	CASC2	BD/shore
1131	cg18631466	5.049	0.0201	10		IGR/opensea	1191	cg20721322	4.979	0.0312	7	CNTNAP2	BD/opensea	1251	cg04962994	-4.875	0.0347	4		IGR/opensea
1132	cg08233217	5.048	0.0039	17	ASIC2	BD/opensea	1192	cg09493619	-4.979	0.0464	X	TAF7L	TSS1500/shore	1252	cg02901606	4.874	0.0278	21	C21orf70	BD/shelf
1133	cg11005692	5.048	0.0461	4		IGR/island	1193	cg16661662	-4.976	0.0245	19		IGR/shelf</							





#	CpG	delta β %	FDR	Chr	Simbolo del gen	Localización genómica/ Contexto CGI
1621	cg21058842	-4.423	0.0475	21	USP25	BD/opensea
1622	cg20778783	-4.423	0.0141	1		IGR/opensea
1623	cg22539632	-4.423	0.0293	4	TACR3	BD/opensea
1624	cg12738079	4.421	0.0275	X	AVPR2	TSS1500/opensea
1625	cg11514575	-4.419	0.0297	1	LCE6A	TSS1500/opensea
1626	cg10828561	-4.418	0.0364	8		IGR/opensea
1627	cg03811055	-4.416	0.0252	X	RBBP7	1stExon/island
1628	cg14653390	-4.415	0.0307	1		IGR/shore
1629	cg27005980	-4.415	0.0106	1	TDKXH	TSS1500/shore
1630	cg23655635	4.415	0.0023	8	NIPAL2	BD/opensea
1631	cg14428733	4.414	0.0309	6	HLA-DPB1	BD/shore
1632	cg13853035	-4.413	0.0407	9		IGR/shelf
1633	cg23715709	-4.411	0.0420	1	SLC35F3	BD/opensea
1634	cg26036375	4.409	0.0185	2		IGR/opensea
1635	cg23253588	-4.409	0.0094	12	APOBEC1	5'UTR/opensea
1636	cg13991154	-4.408	0.0212	3	TRANK1	BD/opensea
1637	cg17931903	-4.407	0.0230	X		IGR/opensea
1638	cg10786876	-4.407	0.0248	20	EEF1A2	BD/island
1639	cg13588987	-4.405	0.0213	13		IGR/opensea
1640	cg07969684	-4.404	0.0496	2		IGR/opensea
1641	cg16967578	4.402	0.0183	1	TGFB2	BD/opensea
1642	cg0009304	-4.402	0.0180	11	ORS151	TSS1500/opensea
1643	cg15972984	4.402	0.0274	2	C2orf15	TSS1500/shore
1644	cg15624057	-4.398	0.0156	12	C1001302	TSS1500/shelf
1645	cg21809579	-4.398	0.0423	2		IGR/opensea
1646	cg25572565	-4.398	0.0380	7		IGR/island
1647	cg10372630	-4.397	0.0257	1	MDS2	BD/opensea
1648	cg11010677	-4.394	0.0060	10	PNL1PRP1	TSS1500/opensea
1649	cg05403127	-4.393	0.0442	10	JNC00703	TSS1500/opensea
1650	cg04168635	-4.393	0.0067	19	Eif3k	BD/opensea
1651	cg17451015	-4.390	0.0390	6	TRIM10	BD/opensea
1652	cg19502700	4.387	0.0226	4	LARP7	1stExon/island
1653	cg11229328	-4.386	0.0397	17		IGR/opensea
1654	cg03440485	4.385	0.0492	X		IGR/island
1655	cg12770187	-4.384	0.0139	16	NKRD26P1	BD/opensea
1656	cg17724900	4.383	0.0346	2		IGR/opensea
1657	cg18118198	-4.383	0.0273	14	GZMB	BD/opensea
1658	cg04455058	4.381	0.0478	9		IGR/island
1659	cg20858443	-4.381	0.0448	19	LYPD4	5'UTR/shore
1660	cg15535573	-4.381	0.0367	8		IGR/opensea
1661	cg09259517	4.381	0.0310	8		IGR/opensea
1662	cg25071869	4.380	0.0330	8		IGR/shore
1663	cg13220749	-4.378	0.0491	21	BRWD1	BD/opensea
1664	cg22938623	4.378	0.0390	16	DNAH3	BD/opensea
1665	cg00120040	-4.376	0.0303	18	MYO5B	BD/opensea
1666	cg08187002	4.375	0.0101	17	LYZL6	TSS1500/opensea
1667	cg19978477	-4.372	0.0369	2	MYO3B	BD/opensea
1668	cg02335909	-4.372	0.0322	10		IGR/opensea
1669	cg13247124	-4.371	0.0228	16		IGR/opensea
1670	cg27548075	4.370	0.0431	X	MAGED1	BD/island
1671	cg11957884	-4.370	0.0047	1		IGR/shelf
1672	cg21029666	4.369	0.0359	14		IGR/opensea
1673	cg22534206	4.368	0.0322	12	DCP1B	BD/opensea
1674	cg00627718	-4.368	0.0412	22		IGR/opensea
1675	cg05605639	4.368	0.0429	X		IGR/opensea
1676	cg08904069	-4.366	0.0489	4	F5TL5	5'UTR/opensea
1677	cg16820490	4.365	0.0446	12		IGR/shelf
1678	cg03758972	4.365	0.0220	X		IGR/shelf
1679	cg11198284	4.365	0.0077	1	KIAA0907	BD/opensea
1680	cg22699462	-4.365	0.0223	2		IGR/opensea
1681	cg10917050	4.364	0.0217	3		IGR/opensea
1682	cg09928046	-4.364	0.0438	1	COL11A1	BD/opensea
1683	cg01171067	-4.363	0.0172	X		IGR/opensea
1684	cg20324209	-4.361	0.0059	11		IGR/opensea
1685	cg23648439	-4.360	0.0366	X		IGR/opensea
1686	cg05305080	4.360	0.0062	1	MYOM3	3'UTR/opensea
1687	cg15521034	4.359	0.0094	11	CCDC15	TSS1500/shore
1688	cg05914906	4.357	0.0284	11	ZNF215	5'UTR/opensea
1689	cg05289649	4.355	0.0422	10	ZMIZ1	5'UTR/opensea
1690	cg17960170	4.355	0.0354	14		IGR/opensea
1691	cg19726964	-4.354	0.0170	6	SMOC2	BD/opensea
1692	cg25839301	-4.353	0.0325	X		IGR/opensea
1693	cg26475032	-4.353	0.0417	21	SIM2	BD/opensea
1694	cg25157152	-4.352	0.0393	19		IGR/opensea
1695	cg19935951	4.352	0.0167	4	LRBA	BD/opensea
1696	cg20370864	-4.352	0.0311	13	ATP11A	BD/shelf
1697	cg01449089	-4.352	0.0389	19		IGR/opensea
1698	cg04006374	-4.351	0.0329	2	CLHC1	BD/opensea
1699	cg00637988	-4.351	0.0052	15	MESP1	TSS200/island
1700	cg19096495	-4.351	0.0398	11		IGR/opensea
1701	cg07909692	4.350	0.0058	12	PDZRN4	BD/opensea
1702	cg17427926	-4.348	0.0137	17	OC283999	TSS200/shore
1703	cg01178486	-4.348	0.0471	5	TAF9	BD/shore
1704	cg24975688	-4.346	0.0205	21		IGR/shore
1705	cg10425316	-4.345	0.0227	13	SKA3	BD/opensea
1706	cg15162729	-4.344	0.0466	5		IGR/island
1707	cg27495223	-4.344	0.0421	3	C3orf20	BD/opensea
1708	cg06252333	-4.344	0.0216	12	C12orf60	5'UTR/opensea
1709	cg23427525	-4.341	0.0056	3	CLDN16	TSS1500/opensea
1710	cg11906825	4.340	0.0393	2		IGR/opensea
1711	cg07735461	-4.338	0.0106	8	KIAA1429	BD/opensea
1712	cg18639142	-4.337	0.0113	19	PCSK4	BD/shore
1713	cg04970710	-4.337	0.0275	6	OR14J1	TSS1500/opensea
1714	cg19041675	-4.336	0.0462	5	TENM2	BD/opensea
1715	cg11177333	-4.336	0.0183	3		IGR/opensea
1716	cg24006862	4.335	0.0240	X	XPNPEP2	BD/opensea
1717	cg05052243	4.333	0.0124	X	SAGE1	TSS1500/opensea
1718	cg15826083	4.332	0.0316	10		IGR/opensea
1719	cg10902583	4.332	0.0332	X	PDK3	BD/opensea
1720	cg04036898	4.332	0.0356	1	POMGM1	BD/opensea
1721	cg17360567	-4.331	0.0499	1	OR2M2	TSS200/opensea
1722	cg17290573	4.330	0.0342	14	FBXO34	5'UTR/opensea
1723	cg20252718	-4.328	0.0270	14	DAAM1	BD/opensea
1724	cg02902313	4.327	0.0380	6	NOTCH4	BD/shore
1725	cg26800915	-4.326	0.0426	11	OR5184	TSS1500/opensea
1726	cg11852643	-4.325	0.0399	6	TCR11	5'UTR/island
1727	cg04789475	-4.324	0.0121	4		IGR/opensea
1728	cg02034887	-4.324	0.0360	3	SLC15A2	TSS200/opensea
1729	cg10890935	-4.324	0.0404	17		IGR/opensea
1730	cg04737845	4.322	0.0385	3	CNTN4	BD/opensea
1731	cg21075118	-4.322	0.0070	17	SPOP	5'UTR/opensea
1732	cg09982326	-4.321	0.0156	11	AMOTL1	BD/opensea
1733	cg23599004	-4.321	0.0184	8		IGR/opensea
1734	cg25902202	-4.321	0.0388	12	CUX2	BD/opensea
1735	cg03491704	-4.320	0.0390	16		IGR/shelf
1736	cg22063150	4.320	0.0485	X	CD40LG	TSS1500/opensea
1737	cg01549213	-4.318	0.0343	12	TPH2	TSS1500/opensea
1738	cg07274340	-4.318	0.0351	1		IGR/opensea
1739	cg111970814	-4.317	0.0448	2		IGR/shore
1740	cg10475928	4.315	0.0299	10		IGR/shore





















**Tabla Anexa 2. Regiones diferencialmente metiladas entre pacientes con obesidad y diabetes tipo 2 y pacientes con obesidad y sin diabetes tipo 2**

DMR	Cromosoma	Inicio de DMR	Fin de DMR	Ancho de DMR	CpGs en DMR	Valor de <i>p</i> del área de la DMR	Gene asignado	Estado de metilación en OD	Localización genómica	Contexto con isla CpG
1	20	36148604	36149194	590	27	0.001672432	<i>BLCAP</i>	hipermetilado	5'UTR	island
2	1	108735312	108735893	581	8	0.000680419	<i>SLC25A24</i>	hipometilado	TSS	island
3	1	205818484	205819609	1125	13	0.000368825	<i>PM2D1</i>	hipometilado	TSS	shore/island
4	2	113992694	113993313	619	8	0.000896627	<i>PAX8</i>	hipermetilado	BD	shore/island
5	2	30669385	30670025	640	10	0.000705855	<i>LCLAT1</i>	hipermetilado	TSS	shore/island
6	15	99789622	99790022	400	8	0.000960218	<i>TTC23</i>	hipermetilado	TSS200/1stExon	shore
7	4	1107706	1107983	277	3	0.021067559	<i>RNF212</i>	hipometilado	TSS	island
8	6	29648161	29649084	923	21	0.000311594	<i>ZFP57</i>	hipometilado	TSS	open_sea
9	5	135415693	135416613	920	14	0.000712214	<i>MIR886</i> /Intergenic	hipometilado	TSS/BD/Intergenic	shore/island
10	3	129693124	129694665	1541	15	0.001061963	<i>TRH</i>	hipometilado	5'UTR/TSS200	shore/island
11	2	239140024	239140369	345	8	0.002867935	<i>LOC151174</i>	hipermetilado	TSS	island
12	17	259713	260589	876	13	0.001805972	<i>C17orf97/CHRNE</i>	hipometilado	TSS/1stExon	island
13	6	31148332	31148666	334	14	0.001519815	<i>PSORS13</i>	hipometilado	TSS	open_sea
14	6	31164743	31165329	586	11	0.002480033	<i>HCG27</i>	hipometilado	TSS1500	shore
15	6	30039142	30039801	659	14	0.001640637	<i>RNF29</i>	hipermetilado	BD	island
16	6	29942505	29944505	2000	19	0.001233657	<i>HCG9</i>	hipermetilado	BD	shore/island
17	6	48036212	48036676	464	11	0.002670804	<i>C6orf138</i>	hipometilado	1stExon/TSS200	shore/island
18	6	101846603	101847541	938	18	0.001837768	<i>GRIK2</i>	hipometilado	TSS/BD	shore/island
19	5	29894005	29894341	336	5	0.016139289	<i>HCG4P6</i>	hipermetilado	TSS1500	island
20	5	178986131	178986906	775	13	0.00235921	<i>RUFY1</i>	hipometilado	TSS	shore/island
21	11	92702373	92703536	1163	13	0.002817063	<i>MTNR1B</i>	hipometilado	TSS	shore
22	8	49647579	49648168	589	8	0.006486239	<i>EFCAB1</i>	hipometilado	TSS	shore/island
23	11	34461017	34461028	921	15	0.005042733	<i>CAT</i>	hipometilado	TSS/1stExon/BD	island
24	11	35440599	35441900	1301	15	0.00506181	<i>SLC1A2</i>	hipometilado	TSS/5'UTR/1stExon	island
25	12	133186738	133187452	714	7	0.01019357	<i>LRCOL1</i> /Intergenic	hipometilado	TSS200/Intergenic	shore/island/open_sea
26	5	56204405	56205094	689	8	0.007649947	<i>SETD9/C5orf35</i>	hipometilado	TSS	shore/island
27	2	557949	558315	366	6	0.016209238	Intergenic	hipermetilado	Intergenic	island
28	1	75198211	75199177	966	14	0.00506181	<i>TYW3/CRYZ</i>	hipermetilado	TSS1500	shore/island/open_sea
29	10	71811927	71812265	338	5	0.029703159	<i>H2AFY2</i>	hipometilado	TSS	shore
30	20	35169380	35169886	506	6	0.019013583	<i>MYL9</i>	hipometilado	TSS	shore/island
31	19	33210464	33210851	387	9	0.009474996	<i>TDRD12</i>	hipometilado	TSS/5'UTR	island
32	2	208890461	208890802	341	7	0.013118736	<i>PLEKHM3</i>	hipometilado	TSS	shore
33	14	24779793	24780734	941	12	0.007014041	<i>LTB4R2</i>	hipometilado	5'UTR/1stExon/BD	island
34	2	74726633	74727010	377	9	0.010301674	<i>LBX2</i>	hipometilado	TSS/BD	island
35	19	57741934	57742444	510	11	0.007948822	<i>AURKC</i>	hipermetilado	TSS	shore/island
36	19	54290799	54291194	395	9	0.010772244	<i>MIR372/MIR71A</i>	hipometilado	TSS	open_sea
37	18	74961724	74962369	645	15	0.017722694	<i>GALR1</i>	hipometilado	TSS/5'UTR/1stExon	island
38	5	131281008	131281574	566	8	0.011363636	<i>MEIKIN</i>	hipometilado	TSS	island
39	19	36024217	36024876	659	11	0.009284224	<i>GAPDH5</i>	hipometilado	TSS/5'UTR/1stExon	shore/island/open_sea
40	12	655562873	65563159	286	6	0.0244315	<i>LEMD3</i>	hipometilado	TSS1500	shore
41	16	53407328	53407808	480	9	0.012457394	<i>LOC102723373</i>	hipermetilado	TSS200	island
42	14	70690287	70690704	417	7	0.017360228	Intergenic	hipometilado	Intergenic	open_sea
43	6	31275148	31275875	727	11	0.010155415	Intergenic	hipermetilado	Intergenic	shore
44	10	106028373	106029109	736	11	0.010950298	<i>GSTO2</i>	hipometilado	TSS	shore/island
45	13	112547341	112548065	724	7	0.018981788	Intergenic	hipometilado	Intergenic	shore/island/open_sea
46	6	33091567	33092513	946	11	0.011509895	<i>HLA-DPB2</i>	hipometilado	BD	open_sea
47	19	9785511	9786131	620	12	0.012858015	<i>ZNF562</i>	hipometilado	TSS	shore/island
48	4	3464653	3465064	411	8	0.015757745	<i>DOK7</i>	hipometilado	TSS	island
49	12	9217390	9217907	517	10	0.015338048	<i>LOC144571</i>	hipometilado	TSS/BD	shore/island
50	4	169239550	169239900	350	6	0.030453528	<i>DDX60</i>	hipermetilado	5'UTR	shore/island
51	3	50382952	50383668	716	12	0.01477845	<i>ZMYND10</i>	hipometilado	TSS	shore/island
52	1	67600265	67600963	698	8	0.016692527	<i>C1orf141</i>	hipometilado	TSS200	shore/island
53	19	41882232	41882741	509	10	0.016088416	<i>TMEM91</i>	hipometilado	TSS	shore/island
54	17	4802266	4803053	787	10	0.016934171	<i>CHRNE</i>	hipometilado	BD	island
55	11	49230036	49230457	421	7	0.023732004	<i>FOLH1</i>	hipometilado	TSS/5'UTR/1stExon	shore/island
56	5	68628240	68628856	616	8	0.018078801	<i>CCDC125</i>	hipometilado	TSS	shore/island
57	5	131592959	131593413	454	8	0.019407845	<i>PDLIM4</i>	hipometilado	TSS	shore/island
58	19	37825211	37825679	468	10	0.020692374	<i>HKR1</i>	hipometilado	TSS/1stExon	island
59	5	191292	192103	811	11	0.019579539	<i>LRRK14B</i>	hipometilado	TSS/1stExon	shore/island
60	12	122985088	122985592	504	7	0.027865391	<i>ZCCHC8</i>	hipermetilado	1stExon/BD	island
61	12	103889166	10388960	794	11	0.022727273	<i>C12orf42</i>	hipometilado	TSS/5'UTR	shore/island
62	3	48632568	48632892	324	7	0.03131836	<i>COL7A1</i>	hipometilado	TSS	island
63	9	123605229	123605381	152	6	0.04123849	<i>PSMD5</i>	hipometilado	TSS	island
64	11	111847892	111848400	508	6	0.043012667	<i>DIXDC1</i>	hipometilado	TSS200/1STEXON	island
65	12	54447283	54448090	807	10	0.026619016	<i>HOXA4</i>	hipermetilado	5'UTR/1stExon	shore/island
66	6	28234525	28234854	329	7	0.0313175205	<i>ZNF187</i>	hipometilado	TSS	shore
67	5	140090300	140091102	802	8	0.026294704	<i>VTRNA1-1</i>	hipometilado	TSS	open_sea
68	6	28129313	28129656	343	9	0.026790711	<i>ZNF389</i>	hipometilado	TSS	open_sea
69	X	95939482	95940153	671	9	0.026790711	<i>DIAPH2</i>	hipermetilado	TSS/5'UTR/1stExon	island
70	3	184971652	184972171	519	9	0.02686066	<i>EHHADH</i>	hipometilado	TSS/5'UTR	shore/island

71	6	99842025	99842368	343	8	0.027655543	<i>COQ3</i>	hipometilado	TSS	shore/island
72	2	220107847	220108496	649	8	0.028030727	<i>GLB1L</i>	hipometilado	BD	shore/island
73	8	22422657	22423091	434	7	0.035101999	<i>SORBS3</i>	hipermetilado	TSS	island
74	17	48585216	48585575	359	6	0.045778857	<i>MYCBPAP</i>	hipermetilado	TSS	shore/island
75	2	38892846	38893251	405	7	0.037359465	<i>GALM</i>	hipometilado	TSS/5'UTR	open_sea
76	3	195489708	195490309	601	8	0.030733327	<i>MUC4</i>	hipometilado	BD	shore/island
77	15	81426347	81426669	322	7	0.037969934	<i>C15orf26</i>	hipermetilado	TSS	shore/island
78	2	152145870	152146531	661	7	0.038643995	<i>NMI</i>	hipometilado	TSS/5'UTR	shore/island
79	5	172385451	172385878	427	8	0.032221346	<i>LOC100268168</i>	hipometilado	BD	island
80	X	47077168	47077403	235	8	0.033601262	<i>CDK16</i>	hipometilado	TSS	island
81	16	3142965	3143250	285	7	0.040507198	<i>ZSCAN10</i>	hipometilado	TSS/5'UTR	shelf
82	1	179560455	179560983	528	10	0.038020807	<i>TDRD5</i>	hipometilado	TSS/5'UTR	shore/island
83	19	57018933	57019373	440	8	0.034516966	<i>ZNF471</i>	hipometilado	TSS	island
84	7	43288411	43289277	866	9	0.036437401	<i>HECW1</i>	hipermetilado	BD	shore/island
85	1	47691158	47691601	443	7	0.042771023	<i>TAL1</i>	hipometilado	BD	island
86	9	37800484	37801319	835	9	0.037213206	<i>DCAF10</i>	hipometilado	TSS	island
87	1	162336618	162337375	757	8	0.036774432	<i>NOS1AP</i>	hipometilado	BD	shore/island
88	11	368614	368956	342	10	0.046306659	<i>B4GALNT4</i>	hipometilado	TSS1500	open_sea
89	1	248100183	248100614	431	8	0.037213206	<i>OR2L13</i>	hipometilado	TSS/1stExon	shore/island
90	3	148803905	148804381	476	8	0.038249733	<i>HLTF</i>	hipometilado	TSS/5'UTR	island
91	10	77871618	77872458	840	8	0.038580404	<i>C10orf11</i>	hipermetilado	BD	shore/island
92	1	202311052	202311492	440	8	0.039909447	<i>UBE2T</i>	hipometilado	TSS	shore/island
93	4	99851003	99851281	278	7	0.048303403	<i>EIF4</i>	hipermetilado	5'UTR/1stExon/BD	shore
94	11	89867385	89867679	294	7	0.048754896	<i>NAALAD2</i>	hipermetilado	TSS	open sea
95	10	120514588	120515094	506	9	0.046745434	<i>C10orf46</i>	hipometilado	TSS	shore/island
96	2	31806173	31806781	608	9	0.049505265	<i>SRD5A2</i>	hipometilado	TSS	island

**Tabla Anexa 3. Análisis de enriquecimiento de vías de la Encyclopedia de Genes y Genomas de Kioto de CpGs diferencialmente metilados en pacientes con obesidad y diabetes tipo 2.**

Descripción	Tamaño	Valor de <i>p</i>	FDR	Símbolo del gen
Sinápsis glutamatérgica	114	1.17E-07	2.3208E-05	<i>GRIK4, GRIK2, GRM1, GRM3, GRM2, PPP3CB, GRM4, GRM7, GRM8, DLGAP1, HOMER3, GLUL, PRKCG, SLC38A1, PLA2G4F, PLA2G4D, PRKCB, PLA2G4C, PLCB4, ADCY9, PLCB1, PLCB2, SHANK2, SHANK1, GRIA2, GLS2, GNAI3, SLC1A2, ITPR1, ACNA1A, ITPR2, ACNA1D, ADCY2, ACNA1C, PLD1, SLC1A6, ADCY8, SLC1A7, GNAI2, ADCY5, PPP3R1, GNG5, GNG7, GNG8, SLC17A8, SLC38A3, GRIA3, HOMER1, HOMER2, GNG12, GRIN2B, GRIN2D, GRIN2B, GNBA4, GNAS</i>
Vía de señalización de Hippo	154	1.64E-07	2.3208E-05	<i>YWHAE, GSK3B, WWC1, ITGB2, FZD10, LIMD1, FGF1, AMOT, GLI2, PPP1CC, CCND3, RASSF1, CCND2, PPP2R1A, CDH1, MYC, BTRC, TEAD1, TEAD2, TEAD4, WNT5B, FBXW11, WNT5A, CSNK1D, SCRIB, WNT9A, AXIN2, YWHAZ, PAR3, YAP1, CRB2, LEF1, PRKCZ, STK3, SAV1, WNT6, WNT11, CTNNAI1, TP53BP2, CTNNAI3, CTNNAI2, WNT1, WNT2, FZD1, SMAD2, TCF7L2, WWTR1, TGFb2, TCF7L1, SMAD3, WNT3A, FZD7, FZD6, WNT7A, WTIP, GDF6, BMP6, BMP7, BMP8, BMP4, BMP2, DLG1, DLG2, PPP2R2C, DLG3, PPP2R2B, ID2, SNAI2, BMPR1B, BMPR1A, TP73</i>
Vía de señalización de Oxitocina	152	2.14E-07	2.3208E-05	<i>RYR1, RYR2, CDKN1A, PRKAG2, CALML3, MYL6B, MYLK3, PIK3CG, RYR3, MYLK, MYLK4, PPP1CC, PPP3CB, EEF2K, PRKCG, GUCY1A2, PRKAB2, PLA2G4F, MAP2K1, MEF2C, CAMK1D, PPP1R12A, MAP2K2, PLA2G4D, PRKCB, PLA2G4C, ACNA203, PRKA81, ACNB2, ACNB3B, PLCB4, ADCY9, RAF1, PPP1R12B, PLCB1, MYL9, PLCB2, CAMK2B, CAMK2D, ROCK2, NPK1, CAMK2A, GNAI3, ITPR1, ITPR2, ACNA1D, ADCY2, ACNA1C, ADCY8, EGFR, GNAI2, ADCY5, TRPM2, NRAS, PPP3R1, CACNG1, CAMK2G, KCNJ2, CACNG4, MAP2K5, KCNJ4, JUN, NOS3, NFATC2, ACNA1C, NFATC1, NFATC4, GNAS, CAMK1, CALM2</i>
Secreción de ácido gástrico	75	1.5984E-06	0.00013027	<i>CAMK2B, CHRM3, CAMK2D, CAMK2A, GNAI3, ATP1A4, ITPR1, ITPR2, ATP1A2, CALML3, ADCY2, SLC4A2, ADCY8, MYLK3, GNAI2, MYLK, ADCY5, MYLK4, HRH2, C42, CAMK2G, KCNQ2, PRKCG, KCN10, PRKCB, KCN15, ATP1B2, ATP4A, PLCB4, ADCY9, SST, KCNQ1, GNAS, PLCB1, EZR, KCNQ2, PLCB2, CALM2, CFTR</i>
Vía de señalización de Wnt	146	2.6058E-06	0.00015846	<i>INVS, GSK3B, CTNND2, FZD10, CCND3, PPP3CB, CCND2, MYC, RUVBL1, RSP02, RSP03, SOST, BTRC, TLE4, PRKCG, TLE3, TLE2, WNT5B, PRKCB, FBXW11, WNT5A, CSNK2A2, WNT9A, AXIN2, SENP2, DKK1, PLCB4, DAAM1, DAAM2, TBL1XR1, CSNK2B, ROR2, PLCB1, PLCB2, PPARD, CAMK2B, CAMK2D, CTBP2, ROCK2, CTBP1, CAMK2A, LEF1, CUL1, LRPS, PRICKLE3, PSEN1, PRICKLE1, NLK, LRP6, WNT6, MAPK9, PPP3R1, WNT11, WIF1, WNT1, WNT2, CAMK2G, FZD2, TCF7L2, JUN, TCF7L1, SMAD3, WNT3A, RYK, FZD7, FZD6, NFATC2, WNT7A, NFATC1, NFATC4, MAPK10, NOTUM, LGR5, LGR4</i>
Sinapsis colinérgica	112	2.9165E-06	0.00015846	<i>CHRM3, CHRM5, PIK3CB, AKT2, CREB3L1, AKT3, ACT1, SLC18A3, PRKCG, CHRN8B, MAP2K1, PRKCB, SLC5A7, PLCB4, CREB1, ADCY9, PIK3CA, KCNQ1, KCNQ3, KCNQ5, PLCB1, PLCB2, CREB5, CAMK2B, CAMK2D, CHRNA3, CHRNA7, CAMK2A, CHAT, ACNA1B, GNAI3, ITPR1, ACNA1A, ITPR2, ACNA1D, ADCY2, ACNA1C, ADCY8, GNAI2, ADCY5, NRAS, GNG5, GNG4, GNG7, GNG8, FYN, CAMK2G, KCN12, KCNJ4, GNG12, GNBA4, BCL2</i>
Síndrome de cushing	154	1.0176E-05	0.00040443	<i>RB1, SCARB1, GSK3B, CDKN1A, AHR, FZD10, CREB3L1, PDE8B, MAP2K1, MAP2K2, WNT5B, WNT5A, ARNT, WNT9A, AXIN2, MRAP, PLCB4, CREB1, ADCY9, ORAI1, PLCB1, PLCB2, CREB5, CAMK2B, CAMK2D, ATF6B, CAMK2A, LEF1, GNAI3, ITPR1, ITPR2, ACNA1D, ADCY2, ACNA1C, ADCY8, EGFR, ACNA1H, CRHR1, ACNA1G, GNAI2, ADCY5, WNT6, ACNA1I, PDE11A, WNT11, CYP11A1, E2F1, E2F2, WNT1, WNT2, CAMK2G, LDR, FZD1, TCF7L2, WNT3A, FZD7, FZD6, HSD3B1, WNT7A, PBX1, NCEH1, CDK6, GNAS, KCN2K</i>
Guía del axon	175	1.0194E-05	0.00040443	<i>EPHB6, ROBO2, SEMA5A, SEMA5B, GSK3B, ROBO1, PPP3CB, SHH, RGS3, DPYSL5, CFL2, CFL1, PLXNC1, EPHB2, NEO1, EPHB1, NCK1, SEMA6B, EPHAS, EPHA7, TRPC6, ARHGEF12, SEMA6A, WNT5B, UNC5A, TRPC4, DCC, WNT5A, RGMA, ENAH, PIK3CA, RASA1, PARD3, RAF1, MET, MYL9, NGEF, CAMK2B, CAMK2D, ROCK2, SEMA3A, CAMK2A, NTN4, GNAI3, NTN1, PRKCG, MYL12A, GNAI2, ABILIM1, NRAS, PPP3R1, ABILIM2, RRAS, ABILIM3, AB1, SLT1, PLXNA2, PAK6, SLT3, FYN, LRIG2, SLT2, LRR4C4, SRGAP1, CAMK2G, PLXNA4, NTN1G, RYK, SEMA4B, PTCH1, NFATC2, BMP7, PTK2, NFATC4, CXCL12, PLXNB1, BMPR1B</i>
Sinapsis dopaminérgica	131	1.1953E-05	0.00040443	<i>GSK3B, ARR81, CALM1, COMT, SLC6A3, PPP1CC, PPP3CB, PPP2R1A, PPP2R5C, KIF5C, AKT2, KIF5B, CREB3L1, AKT3, AKT1, SCN1A, PRKCG, PRKCB, PPP2R5C, PLCB4, CREB5, CAMK2B, CREB5, CAMK2B, GRIA2, CAMK2D, ATF6B, CAMK2A, ACNA1B, GNAI3, ITPR1, ACNA1A, ITPR2, ACNA1D, ACNA1C, GNAI2, ADCY5, MAPK9, GNG5, GNG4, GNG7, GNG8, DRD3, CAMK2G, GRIA3, PPP2R3A, MAPK14, GNG12, GRIN2B, MAPK12, MAPK10, TH, PPP2R2C, PPP2R2B, GNBA4, GNAS, CALM2</i>
Vía de señalización de apelina	137	1.2406E-05	0.00040443	<i>RYR1, RYR2, PRKAG2, CALML3, MYLK3, PIK3CG, RYR3, MYLK, MYLK4, MAP1LC3A, CDH1, AKT2, AKT3, AKT1, NOS1, MEF2A, PRKAB2, MAP2K1, MEF2C, MAP2K2, PRKCE, RPS6, RRS2, PRKAB1, MYL4, PLCB4, ADCY9, MYL2, TFAM, RAF1, PLCB1, PLCB2, HDAC4, HDAC5, NOTCH3, PIK3R4, GNAI3, ITPR1, ITPR2, ADCY2, ADCY8, GNAI2, ADCY5, NRAS, Rras, GNG5, GNG4, GNG7, GNG8, SMAD2, SMAD3, NOS3, MAP1LC3B2, GNG12, APLN, SLC8A3, ADCY10, GNBA4, CALM2</i>
Via de señalización de cGMP-PKG	163	2.1303E-05	0.0005792	<i>ATP2A2, CALML3, ATP2A1, MYLK3, PIK3CG, MYLK, MYLK4, NPPB, PPP1CC, PPP3CB, AKT2, CREB3L1, AKT3, BDKRB2, AKT1, PRKG1, MEF2A, GUCY1A2, MAP2K1, MEF2C, PPP1R12A, TRPC6, MAP2K2, PRKCE, ATPE2, PLCB2, CREB1, ADCY9, KCNMA1, PDE5A, VDAC1, RAF1, PLCB1, MYL9, PLCB2, CREB5, ATF6B, ROCK2, NPK1, SRF, GNAI3, ATP1A4, ITPR1, ITPR2, ACNA1D, ADRB1, ATP1A2, ADCY2, ACNA1C, ADCY8, GNAI2, ADCY5, PPP3R1, GNAI2, NOS3, INSR, PDE2A, NFATC2, ATP2B3, NFATC1, ATP2B2, NFATC4, SLC8A3, PDE3A, GTF2IRD1, CALM2</i>
Depresión a largo término	60	2.2018E-05	0.0005792	<i>RYR1, GRIA2, GNAI3, ITPR1, ACNA1A, ITPR2, GRM1, CRHR1, GNA12, IFG1R, NRAS, PPP2R1A, GNA12, NOS1, GRIA3, PRKG1, PRKCG, LYN, GUCY1A2, GRID2, PLA2G4F, MAP2K1, MAP2K2, PLA2G4D, PRKCB, PLA2G4C, PLCB4, GNAs, PLCB1, RAF1, PLCB2</i>
Ritmos circadianos	96	2.4874E-05	0.0005792	<i>CAMK2B, RYR1, GRIA2, RYR2, CAMK2D, CAMK2A, GNAI3, ITPR1, ACNA1D, CALML3, ADCY2, ACNA1C, ADCY8, ACNA1H, RYR3, ACNA1G, GNAI2, ADCY5, ACNA1I, GNG5, GNG4, GNG7, GNG8, NOS1, CAMK2G, GRIA3, PRKG1, PRKCG, GUCY1A2, PRKCB, GNG12, GRIN2B, GRIN2D, ADCY10, ADCYAP1, PLCB4, CREB1, ADCY9, MTNR1B, NOS1AP, GNBA4, GNAs, PLCB1, PLCB2, CALM2</i>
Síntesis y secrección de aldosterona	96	2.4874E-05	0.0005792	<i>CAMK2B, SCARB1, CAMK2D, DAGLA, ATF6B, NPK1, CAMK2A, ATP1A4, ITPR1, ACNA1D, CALML3, ADCY2, ACNA1C, ADCY8, ACNA1H, RYR3, ACNA1G, GNAI2, ADCY5, ACNA1I, GNG5, GNG4, GNG7, GNG8, NOS1, CAMK2G, GRIA3, PRKG1, PRKCG, GUCY1A2, PRKCB, GNG12, GRIN2B, GRIN2D, ADCY10, ADCYAP1, PLCB4, CREB1, ADCY9, MTNR1B, NOS1AP, GNBA4, GNAs, PLCB1, PLCB2, CALM2, CREB5</i>
Vía de señalización de cAMP	199	6.5941E-05	0.0014331	<i>RYR2, VIPR2, ATP2A2, CALML3, ATP2A1, HTR4, GLU3, PPP1CC, AKT2, CREB3L1, AKT3, PDE4B, AKT1, PLC1, CNG44, VAV3, ABCC4, LHCGR, MAP2K1, PPP1R12A, MAP2K2, PDE4D, PDE4C, RPS6, ARAP3, ATP1B2, TIAM1, ADCYAP1, CREB1, ADCY9, PIK3CA, ORAI1, CNGB3, RAF1, PPARA, MYL9, CTRF, RAPGEF4, CREB5, CAMK2B, GRIA2, CAMK2D, ROCK2, NPK1, GPR119, CAMK2A, GNAI3, ATP1A4, ACNA1D, ADRB1, ATP1A2, ADCY2, ACNA1C, PLD1, ADCY8, CRHR1, GNA12, ADCY5, MAPK9, RRAS, CAMK2G, GRIA3, GABBR2, JUN, GABBR1, PTCH1, ATP2B1, NFATC1, ATP2B2, GRIN2B, NFKB1, ATP2B2, GRIN2D, NFKB1A, MAPK10, ADCY10, GRIN3B, PDE10A, SST, PDE3A, GNAs, GHRL, CALM2</i>
Endocitosis	244	7.5537E-05	0.0015391	<i>SH3GL3, ZFYVE9, SH3KBP1, WIPF2, CLTB, CBLC, ARRB1, AP2A1, CBLB, AP2A2, IGF1R, CAPZB, KIF5C, PIP5KL1, KIF5B, PSD3, CHMP1A, VPS35, CCR5, RAB8A, PDCD6IP, ARAP2, ARAP3, EPS15L1, HLA-A, HLA-F, HLA-G, ARFGAP1, DNM1, HLA-E, RNF41, DNM2, EPN2, RUFY1, ACAP2, ZFYVE16, RABEP1, TRAF6, PARO3, CHMP4B, AMPK, VPS25, TSG101, VPS4B, AGAP2, NEDD4L, AGAP1, SNX22, ASAP1, ASAP2, PLD1, PRK CZ, EGFR, CYTH3, SNX4, CYTH2, RAB11FIP1, SNX2, GRK5, GRK4, GRK7, CLTC1, AP2S1, PIP5K1C, LDLR, RAB11FIP4, ARFGEF1, SMAD2, GIT2, RAB4A, SMAD3, IQSEC2, HSPA1L, SMURF1, CAV1, WWP1, SNF8, STAM, ARPC5, IGF2R, EHD2, ITCH, ARPC2, CHMP2B, MDM2, FGFR4, SMAP1, FGFR2, SPG21, HSPA1A</i>

Vías en cáncer	526	0.00012158	0.0023314	<i>RB1, KEAP1, CALML3, FZD10, FGF1, ETS1, IGF1R, CCND3, RASSF1, CCND2, FGF8, FGF9, CDH1, MYC, RASSF5, AKT2, AKT3, AKT1, IL3RA1, IFNAR2, PRKG, MAP2K1, MAP2K2, WNT5B, DAPK1, PRKCB, WNT5A, MITF, RUNX1, EML4, BCR, ADCY9, COL4A2, COL4A1, MSH3, COL4A3, RAF1, NOTCH1, CTBP2, MAX, CTBP1, NOTCH4, CUL2, CULL, PDGFB, MGST1, TGFA, MGST2, STK4, PLD1, HSP90B1, WNT6, TERT, ABL1, FGF20, WNT1, RALGS, WNT2, FZD1, JAG2, SMAD2, GSTM3, TGFB2, JUN, GSTM1, SMAD3, JUP, WNT3A, ZBTB16, PTCH1, FZD7, FZD6, GNG12, PTK2, NFKB1, NFKB2, BMP4, NFKBIA, BMP2, CXCL12, CDK6, BCL2, MDM2, GNB4, GNAS, FGF4, CALM2, FGF2, GSK3B, CDKN1A, FLT3, LAMC3, GLI3, GLU2, SHH, SUFU, BKRB2, IKBKG, POLK, JAK3, APP1, ARHGEF11, ARHGEF12, GSTO2, ITGA3, DCC, GSTO1, NCOA3, PLEKHGS, ARNT, TRAF1, WNT9A, AXIN2, MMP9, PLCB4, IFNG, PAX8, PIK3CA, TRAF3, TRAF6, RAR8, PLCB1, MET, PLCB2, PPARD, CAMK2B, CEPPA, CAMK2D, RALB, LAMA2, ROCK2, LAMA1, HDAC1, CAMK2A, LEF1, LRPS, GNAI3, XIAP, ADCY2, ADCY8, EGFR, ADCY5, LRP6, GNAI2, DLL4, MAPK9, NRAS, WNT11, GNG5, GNG7, ERBB2, GNA12, E2F1, CTNNAA1, GNG8, E2F2, CTNNAA3, CTNNAA2, IL2RBA1, CAMK2G, TCF7L2, ARNT2, NQO1, TCF7L1, TXNRD1, LAMB4, STAT3, WNT7A, MAPK10, KITLG, RAD51, GSTA4, CDDC6</i>
Sinapsis GABAérgica	88	0.00017313	0.0030113	<i>GABRB1, GLS2, CACNA1B, GNAI3, CACNA1A, CACNA1D, ADCY7, CACNA1C, SLC6A1, ADCY8, GPHN, GNAI2, ADCY5, GNG5, GNG6, GNG7, GNG8, SLC38A3, GLU1, SLC38A5, GABRQ, PRKCG, NSF, GABARAPL2, GABBR2, GABRA1, SLC38A1, GABARAPL1, GABBR1, SLC12A5, PRKCB, GABRA4, GABRA3, SLC6A11, GNG12, GABRG3, GABRG1, ADCY9, GNB4</i>
Proteoglicanos en cáncer	201	0.0001755	0.0030113	<i>CDKN1A, FZD1, IGF1, PPP1CC, SHH, MYC, AKT2, AKT3, AKT1, PLC1, PRKCB, VAV3, MAP2K1, PPP1R12A, ARHGEF12, MAP2K2, WNT5B, PRKCB, RS66, WNT5A, RRAS2, ANK2, ANK3, WNT9A, HSPG2, ANK1, NMP9, DCN, TIAM1, PIK3CA, CTTN, HCL51, RAF1, EZR, PPP1R12B, MET, CD44, TLR2, CAMK2B, CAMK2D, SDC4, ROCK2, SDC2, CAMK2A, TWIST2, ITPR1, ITPR2, THBS1, EGFR, WNT6, NRAS, WNT11, ERBB3, RRAS, GPC1, ERBB2, GPC3, DROSHA, WNT1, WNT2, CAMK2G, FZD1, SMAD2, TGFB2, WNT3A, FZD7, CAV1, PTCH1, FZD6, RDX, STAT3, WNT7A, MAPK14, MAPK21, PTK2, MDM2, NANOG</i>
Vía de señalización de fosfolípida D	146	0.00022625	0.0036878	<i>DGKG, PIK3CG, GRM1, GRM3, GRM2, GRM4, GRM7, AKT2, AKT3, GRM8, AKT1, PLA2G4F, MAP2K1, MAP2K2, SYK, PLA2G4D, PLA2G4C, AVPR2, RRS2, TSC2, DNM1, DNM2, PLCB4, ADCY1, PIK3CA, DGKQ, RAF1, PLCB1, PLCB2, DGKI, RAPGEF4, SHC4, PTGFR, RALB, SHC1, PDGFB, ADCY2, AGPAT1, PLD1, ADCY8, EGFR, AGPAT3, AGPAT4, ADCY5, CYTH3, CYTH2, NRAS, RRS, GNA12, PDGFC, PTK2B, FYN, PIK3C1, RALGS, IRSN, KITLG, RHEB, GNAS</i>
Melanogénesis	101	0.00024757	0.0038432	<i>CAMK2B, GSK3B, CAMK2D, LEF1, CAMK2A, GNAI3, CALML3, ADCY2, FZD10, ADCY8, GNAI2, ADCY5, CTTN, HCL51, RAF1, EZR, WNT1, WNT2, CAMK2G, FZD1, PRKCB, TCF7L2, MAP2K1, TCF7L1, MAP2K2, WNT5B, PRKCB, WNT3A, FZD7, FZD6, WNT5A, WNT7A, MITF, WNT9A, KITLG, PLCB4, CREB1, ADCY9, GNAS, PLCB1, RAF1, PLCB2, CALM2</i>
Senescencia celular	160	0.00031419	0.0046558	<i>RB1, LIN54, CDKN1A, CALML3, ETS1, PPP1CC, CCND3, PPP3CB, CCND2, MYC, RASSF5, AKT2, AKT3, CAPN2, AKT1, MYBL2, CAPN1, NBN, BTRC, MAP2K1, MAP2K2, FBXW11, IGFBP3, RRAS2, TSC2, HLA-A, HLA-B, HLA-E, RBL1, PIK3CA, VDAC1, RAF1, ITPR1, ITPR2, CACNA1D, ADRB1, ADCY1, M5T1R, CACNA1C, ADCY8, CACNA1E, EGFR, CACNA1C, CACNA11, CACNA1G, CACNA1I, PPP3R1, PHKG1, ERBB2, MAPK12, NFKB1, NFATC2, HPK2, RAD50, CDK6, RHEB, MDM2, ATM, CALM2, MCU, RAD9A</i>
Vía de señalización de calcio	183	0.00037703	0.0050452	<i>RYR1, CHRM3, RYR2, FLT1, CHRM5, HTR2B, HTR2C, ATP2A2, CALML3, ATP2A1, HTR4, FGF1, MYLK3, GRM1, RYR3, MYLK, MYLK4, PPP3CB, FGF8, FGF9, BDKRB2, PLC1, NOS1, PRKCG, LHGR, CAMK1D, PRKCB, TACR3, PHKA2, PLCB4, ADCY9, ASPH, ORAI1, CASQ2, ORAI1, VDAC1, PLCB1, MET, PLCB2, CAMK2B, PTGFR, CAMK2D, PDE1C, CHRNAT, CAMK2A, CACNA1B, PDGFB, ITPR1, CACNA1A, ITPR2, CACNA1D, ADRB1, ADCY1, M5T1R, CACNA1C, ADCY8, CACNA1E, EGFR, CACNA1C, CACNA11, CACNA1G, CACNA1I, PPP3R1, PHKG1, ERBB3, TBXA2R, HRR2, ERBB2, PDGFC, FGF20, PTK2B, CAMK2G, NTRK2, MCOLN3, NOS3, ATP2B3, PHKB, ATP2B2, TPCN2D, SLC8A3, GDNF, GNAS, CAMK1, PLCB3, FGF4, CALM2, MCU, FGFR2</i>
Vía de señalización de ErbB	85	0.00038893	0.0050452	<i>SHC4, CAMK2B, GSK3B, CDKN1A, CAMK2D, SHC1, CAMK2A, TGFa, CBLB, EGFR, MAPK9, NRAS, ERBB3, MYC, AKT2, AKT3, ERBB2, ABL1, AKT1, ABL2, PAK6, MAP2K7, CAMK2G, NCK1, PRKCG, JUN, MAP2K1, MAP2K2, PRKCB, NRG1, NRG2, PTK2, MAPK10, BTC, NRG3, PIK3CA, RAF1</i>
Secreción de insulina	85	0.00038893	0.0050452	<i>CAMK2B, CHRM3, RYR2, CAMK2D, ATF6B, GPR119, CAMK2A, ATP1A4, CACNA1D, ATP1A2, ADCY2, CACNA1C, ADCY8, ADCY5, RIMS2, CREB3L1, KCNN1, Ffar1, KCNN4, CAMK2G, PRKCB, ABCB8, ATP1B2, GCK, ADCYAP1, PLCB4, CREB1, ADCY9, KCNNMA1, GNAS, PLCB1, PLCB2, VAMP2, CREB5, RAPGEF4</i>
Adicción a morfina	91	0.00040238	0.0050452	<i>GABRB1, PDE1C, CACNA1B, GNAI3, CACNA1A, ARRB1, ADCY2, ADCY8, GNAI2, ADCY5, PDE11A, GNG5, GRK5, GNG4, GRK4, GNG7, PDE4B, GNG8, PDE8B, GABRQ, PRKCG, GABBR2, GABRA1, GABBR1, PRKCB, PDE4D, GABRA4, PDE2A, PDE4C, GABRA3, GNG12, GABRG3, GABRG1, PDE10A, ADCY9, GNB4, PDE3A, GNAS, PDE7B</i>
Cáncer gástrico	149	0.00042266	0.0051032	<i>RB1, GSK3B, CDKN1A, FZD10, FGF1, SHH, FGF8, FGF9, CDH1, MYC, AKT2, AKT3, AKT1, POLK, MAP2K1, MAP2K2, WNT5B, WNT5A, WNT9A, AXIN2, PIK3CA, RAR8, RAF1, MET, CDH17, SHC4, SHC1, LEF1, LRPS, EGFR, LRP6, WNT6, NRAS, WNT11, MUC2, TERT, ERBB2, FGF20, E2F1, CTNNAA1, E2F2, CTNNAA3, CTNNAA2, WNT1, WNT2, FZD1, SMAD2, TCF7L2, TCF7L1, SMAD3, JUP, WNT3A, FZD7, FZD6, WNT7A, BCL2, FGFR2</i>
Señalización adrenérgica en cardiomiositos	144	0.0005421	0.0063115	<i>RYR2, ATP2A2, CALML3, ATP2A1, PIK3CG, PPP1CC, PPP2R1A, PPP2R5E, AKT2, CREB3L1, AKT3, AKT1, TPM2, CACNA2D3, PPP2R5C, ATP1B2, MYL4, ACNB2, ACNB3, PLCB4, CREB1, ADCY9, MYL2, KCNQ1, PLCB1, PLCB2, RAPGEF4, CREB5, CAMK2B, CAMK2D, ATF6B, CAMK2A, GNAI3, ATP1A4, CREM, CACNA1D, ADRB1, ATP1A2, ADCY2, CACNA1C, ADCY8, GNAI2, ADCY5, CACNG1, CAMK2G, CACNG4, ATP2B3, ATP2B2, PPP2R3A, MAPK14, MAPK12, SLC8A3, PPP2R2C, PPP1R1A, PPP2R2B, BCL2, GNAS, CALM2</i>
Secreción y síntesis de cortisol	64	0.000735	0.0080893	<i>SCARB1, ATF6B, ITPR1, ITPR2, CACNA1D, ADCY2, CACNA1C, ADCY8, CACNA1G, ADCY5, CACNA1I, CYP11A1, CREB3L1, PDE8B, LDLR, HSD3B1, PBX1, MRAP, NCEH1, PLCB4, CREB1, ADCY9, GNAS, ORAI1, PLCB1, KCN2, PLCB2, CREB5</i>
Vía de señalización de relaxina	130	0.00074441	0.0080893	<i>ARRB1, RXFP1, RXFP2, AKT2, CREB3L1, AKT3, AKT1, NOS1, MAP2K1, MAP2K2, MMP9, PLCB4, CREB1, ADCY9, COL4A2, PIK3CA, COL4A1, COL4A3, RAF1, PLCB1, PLCB2, CREB5, SHC4, ATF6B, SHC1, GNAI1, ATP2A1, ADCY2, PRKCB, EGFR, GNAI2, ADCY5, MAPK9, NRAS, GNG5, GNG4, GNG7, GNG8, MAP2K7, SMAD2, JUN, NOS3, MAPK14, MAPK12, NFKB1, NFKBIA, MAPK10, GNB4, GNAS</i>
Acción, síntesis, secreción de hormonas paratiroides	106	0.00084862	0.0089242	<i>CDKN1A, ATF6B, LRP5, GNAI3, ITPR1, ITPR2, ARRB1, ADCY2, PLD1, ADCY8, EGFR, LRP6, GNAI2, ADCY5, AKAP13, MMP25, CREB3L1, GNA12, PDE4B, SOST, PRKCG, SLC34A3, ARHGEF11, MEF2A, MAP2K1, MEF2C, PRKCB, PDE4D, PDE4C, MAFB, PLCB4, CREB1, ADCY9, CYP2A1, MMP16, MMP15, MMP17, BCL2, GNAS, PLCB1, RAF1, PLCB2, CREB5</i>
Metabolismo de ácidos grasos	48	0.00099533	0.01014	<i>TECR, HSD17B4, HACD2, ACACA, ACAT1, FADS2, SCP2, CPT2, ACADM, ACADS, CBR4, CPT1A, MECR, ELOVL4, ELOVL5, OXSM, SCDS, ACSL6, ELOVL7, CPT1C, ACADS8, HADHB, HADHA, EHHAHD, ACSBG1, PPT2</i>
Vía de señalización de MAPK	295	0.0011666	0.011525	<i>FGF1, IGF1R, RPS6KA4, FGF8, FGF9, MYC, RPS6KA2, AKT2, AKT3, AKT1, MAP3K5, PRKCG, DAXX, MEF2C, MAP2K1, MAP2K2, PRKCB, CACNA2D3, MAPK8IP3, MAPK8IP1, CDC25B, CACNB2, CACNB3, RAF1, MAX, CACNA1B, PDGFB, CACNA1A, TGFA, CACNA1D, CACNA1C, STK4, NLK, CACNA1E, CACNA1H, STK3, CACNA1G, CACNA1I, PPP3R1, RRAS, PDGFC, FGF20, MAP2K7, MAP2K5, TGFB2, JUN, INSR, NFATC1, GNG12, NFKB1, NFKB2, FGFR4, FGFR2, PTPLR, FLT1, FLT3, HSPB1, ARRB1, ECT1, PPP1CB, DUSP10, IKBKG, PLA2G4F, PLA2G4D, DUSP1, PLA2G4C, RRA2S, IRAK4, PPP1A, TRAF6, RASA1, RASA2, MET, SRF, EGFR, MAPK9, NRAS, ERBB3, MKNK1, ERBB2, NTF3, GNA12, CACG1, MAP4K3, CACG4, MAP4K4, MAP3K2, NTRK2, ANGPT2, MAP3K1, ANGPT1, HSPA1L, MAPK14, MAPK12, MAPK10, KITLG, TAOK3, TAOK1, PTPN7, PTPN5, HSPA1A</i>

Ciclo de vesículas sinápticas	63	0.0013045	0.012475	<i>STXBP1, CACNA1B, SLC1A2, CLTB, CACNA1A, AP2A1, TCIRG1, SLC6A1, SLC1A6, CPLX2, AP2A2, SLC1A7, CPLX1, SLC6A3, RIMS1, CLTC1, AP2S1, ATP6VOA2, ATP6V1H, SLC17A8, STX3, STX2, ATP6V1G3, ATP6V1C1, ATP6VOA1, SLC18A3, NSF, ATP6V1G1, SYT1, SLC6A11, DNMT1, DNMT2, ATP6VO2D, VAMP2</i>
Carcinoma hepatocelular	168	0.0013701	0.012475	<i>RB1, GSK3B, CDKN1A, KEAP1, FZD10, IGF1R, MYC, AKT2, AKT3, DPF3, AKT1, POLK, ARID2, PRKCG, MAP2K1, MAP2K2, WNT5B, GSTO2, PRKCB, GSTO1, WNT5A, WNT9A, AXIN2, ARID1B, PIK3CA, RAF1, MET, SHC4, SMARCD3, SHC1, LEF1, MGST1, LRP5, MGST2, TGFA, EGFR, LRP6, WNT6, NRAS, WNT11, TERT, E2F1, E2F2, WNT1, WNT2, FZD1, SMARCE1, SMAD2, GSTM3, TCF7L2, NQO1, TGFB2, TCF7L1, GSTM1, SMAD3, WNT3A, TXNRD1, FZD7, FZD6, WNT7A, CDK6, GSTA4</i>
Cardiomiopatía arritmogénica del ventrículo derecho	72	0.0013964	0.012475	<i>RB1, GSK3B, CDKN1A, KEAP1, FZD10, IGF1R, MYC, AKT2, AKT3, DPF3, AKT1, POLK, ARID2, PRKCG, MAP2K1, MAP2K2, WNT5B, GSTO2, PRKCB, GSTO1, WNT5A, WNT9A, AXIN2, ARID1B, PIK3CA, RAF1, MET, SHC4, SMARCD3, SHC1, LEF1, MGST1, LRP5, MGST2, TGFA, EGFR, LRP6, WNT6, NRAS, WNT11, TERT, E2F1, E2F2, WNT1, WNT2, FZD1, SMARCE1, SMAD2, GSTM3, TCF7L2, NQO1, TGFB2, TCF7L1, GSTM1, SMAD3, WNT3A, TXNRD1, FZD7, FZD6, WNT7A, CDK6, GSTA4</i>
Vía de señalización de GnRH	93	0.0014159	0.012475	<i>CAMK2B, CAMK2D, CAMK2A, ITPR1, ITPR2, CACNA1D, CALML3, ADCY2, CACNA1C, PLD1, ADCY8, EGFR, ADCY5, MAPK9, NRAS, GNRRH, PTK2B, MAP2K7, CAMK2G, MAP3K2, JUN, PLA2G4F, MAP2K1, MAP2K2, MAP3K1, PLA2G4D, PRKCB, PLA2G4C, MAPK14, MAPK12, MAPK10, PLCB4, ADCY9, GNAS, PLCB1, RAF1, PLCB2, CALM2</i>
Infección de virus de papiloma humano	339	0.001793	0.015382	<i>RB1, MAML2, MAML1, UBE3A, FZD10, CCND3, CCND2, PPP2R1A, CREB3L1, AKT2, AKT3, AKT1, MAGI1, IFNAR2, ATP6V1G1, MAP2K1, MAP2K2, WNT5B, WNT5A, TSC2, SCRIB, HLA-A, HLA-F, HLA-G, HLA-E, COL4A2, COL4A1, PARD3, COL4A3, MAML3, RAF1, ATP6VO2D, NOTCH3, NOTCH1, NOTCH4, PSEN1, PRKCZ, WNT6, TERT, ATP6VO42, ATP6V1H, WNT1, WNT2, ATP6V1C1, ATP6VOA1, FZD1, WNT3A, FZD7, FZD6, EIF2AK2, PTK2, NFKB1, DLG1, DLG2, CDK6, DLG3, RHEB, ITGA10, ITGA11, MDM2, GNAS, ATM, GSK3B, CDKN1A, LAMC3, ITGB4, TCIRG1, LFNG, PPP2R5E, ITGB8, IKBKG, ATP6AP1, VWF, ITGA3, WNT9A, AXIN2, PPP2R5C, RBL1, CREB1, PKM, IRF3, PIK3CA, TRAF3, ITGA8, COL6A3, COL6A6, TLR3, ITGA9, CREB5, TNXB, LAMA2, LAMA1, HDAC1, THBS1, THBS4, EGFR, NRAS, WNT11, E2F1, ATP6V1G3, BCAP31, TCF7L2, TCF7L1, MX2, LAMB4, MX1, WNT7A, PPP2R3A, PPP2R2C, PPP2R2B</i>
Infección por virus de herpes asociado a sarcoma de Kaposi	186	0.00185	0.015464	<i>RB1, GSK3B, CDKN1A, CALML3, CXCL1, CXCL2, PIK3CG, PREX1, PPP3CB, MAP1LC3A, MYC, AKT2, AKT3, AKT1, IKBKG, CCR3, IFNAR2, MAP2K1, MAP2K2, SYK, HLA-A, HLA-F, HLA-G, HLA-E, HCK, CREB1, PIK3CA, IRF3, TRAF3, IRF7, RAF1, TLR3, LEF1, PDGFb, ITPR1, ITPR2, MAPK9, NRAS, PPP3R1, UBB, GNG5, GNG4, GNG7, E2F1, GNG8, E2F2, MAP2K7, MICB, LYN, TCF7L2, JUN, TCF7L1, ANGPT2, STAT3, MAP1LC3B2, NFATC2, EIF2AK2, NFATC1, MAPK14, GNG12, MAPK12, NFKB1, NFATC4, NFKBIA, MAPK10, CLEC2B, CDK6, GNB4, CALM2</i>
Inositol phosphate metabolism	74	0.0023676	0.019296	<i>IPPK, MTMR3, INPP1, INPL1, MTMR8, PIK3C2G, MTMR6, PIK3CG, PIK3C2B, MTM1, INPP5A, PIP5KL1, INPP5E, INPP5J, PIP4K2A, PLC1, PIP4K2B, PIP5K1C, ITPK1, FIG4, INPP4A, INPP4B, PIKFYVE, PLCB4, PIK3CA, PI4KB, PLCB2, PLCD3, PLCB1, PLCB2, PI4K2A</i>
Glioma	71	0.0049944	0.033485	<i>SHC4, RB1, CAMK2B, CDKN1A, CAMK2D, SHC1, CAMK2A, PDGFB, TGFA, CALML3, EGFR, IGF1R, NRAS, AKT2, AKT3, E2F1, E2F2, AKT1, POLK, CAMK2G, PRKCG, MAP2K1, CAMK1D, MAP2K2, PRKCB, CDK6, PIK3CA, MDM2, CAMK1, RAF1, CALM2</i>
Ubiquitin mediated proteolysis	137	0.0049192	0.033485	<i>UBE2D2, UBE2D3, CBLC, KEAP1, UBE3A, CBLB, CDC20, HERC3, CDC23, UBE2Q1, UBE2Q2, CDC27, BTRC, ANAPC7, FBXW11, FBXW7, UBE2E2, UBE4B, CDC34, TRAF6, ANAPC4, BIRC6, CUL7, MGRN1, CUL2, CUL1, NEDD4L, XIAP, KLHL13, RCHY1, RHOBTB1, RHOBTB2, FZR1, UBB, UBR5, UBE2F, UBE2H, UBE2I, MAP3K1, SMURF1, HUWE1, WWP1, WWP2, CUL4A, ITCH, CDC16, UBE2N, MDM2, STUB1, TRIM37, SAE1</i>

**Tabla Anexa 4. Genes diferencialmente expresados entre pacientes con obesidad y diabetes tipo 2 y pacientes con obesidad y sin diabetes tipo 2.**

Transcrito	logFC	Valor de <i>p</i>	Símbolo del gen	Descripción	Cromosoma	Tipo de locus	RefSeq	Media de expresión en OND	Media de expresión en OD	Estado de expresión en OD
TC1000008643.hg.1	1.657589	0.002926	<i>SCD</i>	stearoyl-CoA desaturase (delta-9-desaturase)	10	Multiple_Complex	NM_001013436	12.36741	14.02500	sobreexpresado
TC1100012303.hg.1	1.278332	0.012844	<i>PPBP1B</i>	protein phosphatase 2, regulatory subunit A, beta	11	Coding	NM_001004724	10.51291	11.79125	sobreexpresado
TC1100008236.hg.1	1.247031	0.010669	<i>CCND1</i>	cyclin D1	11	Multiple_Complex	NM_178130	6.97113	8.21816	sobreexpresado
TC0800008124.hg.1	1.169881	0.033859	<i>CA3</i>	carbonic anhydrase III	8	Coding	NM_014440	5.61116	6.78104	sobreexpresado
TC0100015858.hg.1	-1.075605	0.014380	<i>S100A8</i>	S100 calcium binding protein A8	1	NonCoding	hsa_circ_0092307	8.60264	7.52703	subexpresado
TC1100010962.hg.1	1.075098	0.000721	<i>MPEG1</i>	macrophage expressed 1	11	Multiple_Complex	NM_017570	10.23836	11.31346	sobreexpresado
TC0500012587.hg.1	-0.979197	0.008730	<i>TIMD4</i>	T-cell immunoglobulin and mucin domain containing 4	5	Coding	NM_014077	4.71452	3.73532	subexpresado
TC2000008985.hg.1	-0.978676	0.001351	<i>RBM39</i>	RNA binding motif protein 39	20	Coding	NM_001256869	8.79766	7.81898	subexpresado
TC2000006437.hg.1	0.968092	0.018330	<i>DEFB132</i>	defensin, beta 132	20	Multiple_Complex	NM_006082	7.42704	8.39514	sobreexpresado
TC0400012621.hg.1	0.962909	0.006822	<i>ACSL1</i>	acyl-CoA synthetase long-chain family member 1	4	Multiple_Complex	NM_001202858	11.34759	12.31050	sobreexpresado
TC1100008477.hg.1	0.950532	0.007362	<i>DGAT2</i>	diacylglycerol O-acyltransferase 2	11	Multiple_Complex	NM_001256798	12.88371	13.83425	sobreexpresado
TC1100011888.hg.1	0.938927	0.000453	<i>CTSC</i>	cathepsin C	11	Coding	NM_001001957	12.41441	13.35334	sobreexpresado
TC0100018265.hg.1	0.924083	0.044298	<i>GSTM5</i>	glutathione S-transferase mu 5	1	Multiple_Complex	NM_001166692	9.24733	10.17141	sobreexpresado
TC0100016150.hg.1	-0.921894	0.003219	<i>ITLN2</i>	intelectin 2	1	Coding	ENST00000627464	8.99866	8.07677	subexpresado
TC0600007268.hg.1	-0.894025	0.003962	<i>HIST1H4C</i>	histone cluster 1, H4c	6	Coding	NM_152898	13.61116	12.71714	subexpresado
TC0X00007918.hg.1	-0.879723	0.013453	<i>TNMD</i>	tenomodulin	X	Multiple_Complex	NM_001173977	10.64751	9.76779	subexpresado
TC0200014694.hg.1	0.870090	0.001222	<i>ACVR1C</i>	activin A receptor type IC	2	Multiple_Complex	NM_0018003	10.86467	11.73476	sobreexpresado
TC1700009939.hg.1	0.866708	0.009512	<i>PEMT</i>	phosphatidylethanolamine N-methyltransferase	17	Multiple_Complex	NM_001242792	6.60390	7.47061	sobreexpresado
TC0400007282.hg.1	0.861282	0.012549	<i>KLB</i>	Klotho beta	4	Multiple_Complex	NM_0011634709	6.27714	7.13842	sobreexpresado
TC1400007603.hg.1	-0.860066	0.005063	<i>RGS6</i>	regulator of G-protein signaling 6	14	NonCoding	ENST00000627952	6.21563	5.35556	subexpresado
TC1200012678.hg.1	-0.843252	0.001291	<i>PTPRQ</i>	protein tyrosine phosphatase, receptor type, Q	12	Multiple_Complex	NM_001256870	8.16023	7.31698	subexpresado
TC0100018310.hg.1	0.842568	0.009930	<i>FCGR2B</i>	Fc fragment of IgG, low affinity IIb, receptor (CD32)	1	Multiple_Complex	NM_001101339	9.98064	10.82321	sobreexpresado
TC1500007346.hg.1	-0.837551	0.004133	<i>CGNL1</i>	cingulin-like 1	15	Multiple_Complex	NM_0012268	6.16613	5.32858	subexpresado
TC1600011557.hg.1	0.830026	0.000279	<i>TERF2</i>	telomeric repeat binding factor 2	16	Multiple_Complex	NM_178460	6.43629	7.26631	sobreexpresado
TC0700009145.hg.1	0.828039	0.006423	<i>MEST</i>	mesoderm specific transcript	7	Multiple_Complex	NM_003007469	11.17330	12.00134	sobreexpresado
TC0300008847.hg.1	0.825681	0.010923	<i>ACKR4</i>	atypical chemokine receptor 4	3	Multiple_Complex	NM_0208278	5.55716	6.38284	sobreexpresado
TC0100008182.hg.1	-0.824054	0.011561	<i>CY4X1</i>	cytochrome P450, family 4, subfamily X, polypeptide 1	1	Multiple_Complex	NM_005099	6.82116	5.99711	subexpresado
TC1200007596.hg.1	0.797238	0.004229	<i>GPD1</i>	glycerol-3-phosphate dehydrogenase 1	12	Multiple_Complex	NM_001134477	10.30313	11.10037	sobreexpresado
TC1600010394.hg.1	0.780691	0.035080	<i>CES1</i>	carboxylesterase 1	16	Multiple_Complex	NM_001258031	10.55118	11.33187	sobreexpresado
TC0500006613.hg.1	0.774926	0.031071	<i>ADAMTS16</i>	ADAM metallopeptidase with thrombospondin type 1 motif 16	5	Multiple_Complex	NM_003753	5.12409	5.89902	sobreexpresado
TC0600011943.hg.1	-0.769941	0.035110	<i>ENPP5</i>	ectonucleotide pyrophosphatase/phosphodiesterase 5 (putative)	6	Multiple_Complex	NM_001282879	7.68732	6.91738	subexpresado
TC1000010849.hg.1	0.765434	0.006540	<i>SLC25A16</i>	solute carrier family 25 (mitochondrial carrier), member 16	10	Multiple_Complex	NM_001190702	7.98394	8.74937	sobreexpresado
TC0800012206.hg.1	0.765074	0.001113	<i>DGAT1</i>	diacylglycerol O-acyltransferase 1	8	Multiple_Complex	NM_022055	9.63380	10.39987	sobreexpresado
TC0600009353.hg.1	-0.760956	0.005260	<i>TPD52L1</i>	tumor protein D52-like 1	6	Multiple_Complex	NM_152597	8.37986	7.61890	subexpresado
TC1600008209.hg.1	-0.760775	0.003548	<i>CDH1</i>	cadherin 1, type 1	16	NonCoding	hsa_circ_0002327	3.77690	3.01613	subexpresado
TC0200016193.hg.1	0.756630	0.001870	<i>COL6A3</i>	collagen, type VI, alpha 3	2	Coding	NM_005195	7.92828	8.68491	sobreexpresado
TC0200015087.hg.1	0.755245	0.022638	<i>SESTD1</i>	SEC14 and spectrin domains 1	2	Multiple_Complex	NM_03607	6.71868	7.47393	sobreexpresado
TC1300008091.hg.1	-0.751201	0.000582	<i>ATP11A</i>	Transcriptoidentified by AceView, Entrez Gene ID(s) 23250	13	Multiple_Complex	NM_001242898	4.06056	3.30936	subexpresado
TC0400007933.hg.1	-0.747032	0.031856	<i>ANXA3</i>	annexin A3	4	Multiple_Complex	BC070280	8.54333	7.79630	subexpresado
TC1200012105.hg.1	0.746146	0.007374	<i>WSB2</i>	WD repeat and SOCS box containing 2	12	Multiple_Complex	NM_001190799	7.75915	8.50529	sobreexpresado
TC0200007775.hg.1	0.744944	0.015980	<i>MDH1</i>	malate dehydrogenase 1	2	Multiple_Complex	NM_001144994	7.36067	8.10561	sobreexpresado
TC1600008712.hg.1	0.744081	0.013317	<i>IRFB8</i>	interferon regulatory factor 8	16	Multiple_Complex	NM_021228	6.70271	7.44679	sobreexpresado
TC0500011333.hg.1	0.737218	0.005999	<i>TMEM167A</i>	transmembrane protein 167A	5	Unassigned	FAM153A.vbAug10	8.99393	9.73115	sobreexpresado
TC0700007822.hg.1	0.734148	0.010392	<i>VKORC1L1</i>	vitamin K epoxide reductase complex subunit 1 like 1	7	Multiple_Complex	NM_001514	10.81725	11.55140	sobreexpresado
TC1700007752.hg.1	0.729786	0.033708	<i>PPP1R1B</i>	protein phosphatase 1, regulatory (inhibitor) subunit 1B	17	Multiple_Complex	NM_001024938	6.78959	7.51937	sobreexpresado
TC0X00009981.hg.1	0.723447	0.001780	<i>IL2RG</i>	interleukin 2 receptor, gamma	X	Multiple_Complex	NM_001242314	7.82707	8.55051	sobreexpresado
TC1000012428.hg.1	0.723351	0.018979	<i>AKR1C3</i>	aldo-keto reductase family 1, member C3	10	Multiple_Complex	NM_024068	11.79005	12.51341	sobreexpresado
TC0X00009793.hg.1	0.721820	0.006738	<i>PFKFB1</i>	6-phosphofructo-2-kinase/fructose-2,6-biphosphatase 1	X	Coding	ENST00000628134	7.44014	8.16196	sobreexpresado
TC1100013022.hg.1	0.721459	0.009159	<i>FADS2</i>	fatty acid desaturase 2	11	Multiple_Complex	NM_030901	8.25597	8.97743	sobreexpresado
TC0400012902.hg.1	-0.721244	0.036416	<i>FGBPB2</i>	fibroblast growth factor binding protein 2	4	Coding	NM_004093	7.08883	6.36759	subexpresado
TC0600011953.hg.1	0.715815	0.011023	<i>PLA2G7</i>	phospholipase A2, group VII (platelet-activating factor acetylhydrolase, plasma)	6	Multiple_Complex	NM_001142623	4.85171	5.56753	sobreexpresado
TC2200006935.hg.1	0.715055	0.004152	<i>ADRB2</i>	adrenergic, beta, receptor kinase 2	22	Multiple_Complex	NM_001190977	7.97507	8.69013	sobreexpresado
TCU_N_GLO00218v100006433.hg.1	-0.714056	0.000898	<i>LOC389834</i>	ankyrin repeat domain 57 pseudogene	n_GLO00218	Multiple_Complex	NM_001291488	4.74833	4.03427	subexpresado
TC1400009481.hg.1	-0.712247	0.007004	<i>PLEK2</i>	pleckstrin 2	14	Multiple_Complex	NM_001136108	6.06773	5.35548	subexpresado
TC0600011635.hg.1	-0.712184	0.007832	<i>FKBP5</i>	FK506 binding protein 5	6	Coding	NM_004962	12.28785	11.57566	subexpresado
TSUUnmapped00000571.hg.1	0.711051	0.029567	<i>GREM1</i>	gremlin 1, DAN family BMP antagonist [Source:HGNC Symbol;Acc:HGNC:2001]		Coding	NM_194250	7.18670	7.89776	sobreexpresado
TC0700008938.hg.1	-0.708565	0.029230	<i>PTRZ1</i>	protein tyrosine phosphatase, receptor-type, Z polypeptide 1	7	Coding	NM_001003938	3.77413	3.06557	subexpresado
TC0900007604.hg.1	0.706690	0.000373	<i>OSTF1</i>	osteoclast stimulating factor 1	9	Multiple_Complex	NM_004798	9.24877	9.95546	sobreexpresado
TC1100006995.hg.1	0.704784	0.012447	<i>SAA1</i>	serum amyloid A1	11	Coding	ENST00000628198	14.60880	15.31358	sobreexpresado
TC0600014257.hg.1	0.704642	0.008677	<i>HLA-C</i>	major histocompatibility complex, class I, C	6	Multiple_Complex	NM_005294	10.37443	11.07908	sobreexpresado
TC0100013061.hg.1	-0.701462	0.004354	<i>MST1L</i>	macrophage stimulating 1-like	1	Multiple_Complex	NM_014448	4.87920	4.17773	subexpresado
TC1000010993.hg.1	0.697821	0.001752	<i>MICU1</i>	mitochondrial calcium uptake 1	10	Multiple_Complex	NM_001010909	6.30420	7.00203	sobreexpresado
TC0100012097.hg.1	0.694180	0.003956	<i>LGALS8</i>	lectin, galactoside-binding, soluble, 8	1	Multiple_Complex	NM_001142930	9.00853	9.70271	sobreexpresado

TC1500006788.hg.1	0.684296	0.023059	<i>GREM1</i>	gremlin 1, DAN family BMP antagonist	15	Multiple_Complex	NM_001287580	7.07208	7.75637	sobreexpresado
TC0400012245.hg.1	0.683862	0.020232	<i>FAM198B</i>	family with sequence similarity 198, member B	4	Unassigned	IP1.qAug10-unsplice	11.10243	11.78629	sobreexpresado
TC0100010252.hg.1	0.683577	0.005046	<i>FCER1A</i>	Fc fragment of IgE, high affinity I, receptor for; alpha polypeptide	1	Multiple_Complex	NM_000478	5.22318	5.90676	sobreexpresado
TC0600009270.hg.1	-0.680636	0.002239	<i>PLN</i>	phospholamban	6	Coding	NM_001463	5.51644	4.83581	subexpresado
TC1600010732.hg.1	0.675504	0.030734	<i>NQO1</i>	NAD(P)H dehydrogenase, quinone 1	16	Multiple_Complex	NM_031459	11.22036	11.89586	sobreexpresado
TC0300009122.hg.1	0.674291	0.004123	<i>CPA3</i>	carboxypeptidase A3 (mast cell)	3	Multiple_Complex	NM_153603	9.26537	9.93966	sobreexpresado
TC0100011245.hg.1	0.669014	0.000468	<i>ADORA1</i>	adenosine A1 receptor	1	Coding	NM_001304369	4.38892	5.05793	sobreexpresado
TC1800008828.hg.1	-0.668443	0.007765	<i>CCBE1</i>	Jeck2013 ALT_ACCEPTOR, ALT_DONOR, coding, INTERNAL, intronic best transcript NM_133459	18	Multiple_Complex	NM_001058	3.18054	2.51210	subexpresado
TC0300009474.hg.1	0.668180	0.032869	<i>CLDN11</i>	claudin 11	3	Multiple_Complex	NM_001102608	7.15720	7.82538	sobreexpresado
TC0200016006.hg.1	0.657314	0.010191	<i>HTR2B</i>	5-hydroxytryptamine (serotonin) receptor 2B, G protein-coupled	2	Coding	ENST00000250838	5.94594	6.60326	sobreexpresado
TC0400007276.hg.1	0.657020	0.006489	<i>KLHL5</i>	kelch-like family member 5	4	Multiple_Complex	NM_003676	8.15730	8.81432	sobreexpresado
TC1100011812.hg.1	-0.654922	0.004850	<i>DLG2</i>	discs, large homolog 2 ( <i>Drosophila</i> )	11	Coding	NM_001001827	5.00477	4.34985	subexpresado
TC0100016260.hg.1	0.653367	0.017286	<i>ALDH9A1</i>	aldehyde dehydrogenase 9 family, member A1	1	Multiple_Complex	NM_182557	7.87969	8.53306	sobreexpresado
TC0300013823.hg.1	0.652463	0.024218	<i>CLEC3B</i>	C-type lectin domain family 3, member B	3	Multiple_Complex	NM_000896	7.79091	8.44337	sobreexpresado
TC1100007897.hg.1	0.650306	0.029856	<i>LGALS12</i>	lectin, galactoside-binding, soluble, 12	11	Multiple_Complex	NM_001099287	8.03843	8.68873	sobreexpresado
TC0900011992.hg.1	0.649265	0.002937	<i>AGPAT2</i>	1-acylglycerol-3-phosphate O-acyltransferase 2	9	Multiple_Complex	NM_027701	9.88700	10.53627	sobreexpresado
TC1000012427.hg.1	0.648001	0.031154	<i>AKR1C1</i>	aldo-keto reductase family 1, member C1	10	Multiple_Complex	NM_001031716	12.43036	13.07836	sobreexpresado
TC1200011393.hg.1	-0.645278	0.014557	<i>PPFIA2</i>	protein tyrosine phosphatase, receptor type, f polypeptide (PTPf), interacting protein (liprin),	12	Multiple_Complex	NM_182832	7.21963	6.57435	subexpresado
TC0300008130.hg.1	-0.643616	0.047913	<i>COL8A1</i>	collagen, type VIII, alpha 1	3	Multiple_Complex	NM_001009566	9.76950	9.12588	subexpresado
TC0X00011012.hg.1	-0.638891	0.004850	<i>SLTRK4</i>	SLT1 and NTRK-like family, member 4	X	Multiple_Complex	NM_006739	4.97053	4.33164	subexpresado
TC0X0006483.hg.1	0.636496	0.002257	<i>GYG2</i>	glycogenin 2	X	Multiple_Complex	NM_153371	13.78316	14.41966	sobreexpresado
TC0300013896.hg.1	0.635012	0.020233	<i>MFSD1</i>	major facilitator superfamily domain containing 1	3	Multiple_Complex	NM_001291963	9.86606	10.50108	sobreexpresado
TC0200016455.hg.1	-0.634918	0.024436	<i>C2orf74</i>	Cromosoma 2 open reading frame 74	2	Multiple_Complex	NM_001271933	9.14487	8.50995	subexpresado
TC1300008644.hg.1	0.634621	0.017806	<i>POSTN</i>	periostin, osteoblast specific factor	13	Coding	ENST00000632952	9.34633	9.98095	sobreexpresado
TC0700012728.hg.1	-0.634261	0.014340	<i>PTN</i>	pleiotrophin	7	Multiple_Complex	NM_014485	8.68761	8.05335	subexpresado
TC1700007360.hg.1	-0.633104	0.010525	<i>TMEM97</i>	transmembrane protein 97	17	Multiple_Complex	NM_000387	5.63569	5.90348	subexpresado
TC2000007005.hg.1	0.631669	0.000530	<i>CST7</i>	cystatin F (leukocystatin)	20	Multiple_Complex	NM_001173513	6.94208	7.57375	sobreexpresado
TC1900008533.hg.1	0.630719	0.002445	<i>CD37</i>	CD37 molecule	19	Multiple_Complex	NM_001099274	7.67985	8.31056	sobreexpresado
TC0100017223.hg.1	0.627984	0.048635	<i>LPGAT1</i>	lysophosphatidylglycerol acyltransferase 1	1	NonCoding	boyboy.aAug10	6.23714	6.86513	sobreexpresado
TC1100009024.hg.1	-0.626110	0.005263	<i>LAYN</i>	layilin	11	Coding	ITIHUMT0000040029	5.34021	4.71410	subexpresado
TC1300009714.hg.1	-0.625232	0.019114	<i>ARGLU1</i>	arginine and glutamate rich 1	13	Multiple_Complex	NR_028062	8.79287	8.16764	subexpresado
TC0800010524.hg.1	0.622757	0.014174	<i>IMPAD1</i>	inositol monophosphatase domain containing 1	8	Multiple_Complex	NM_001001851	9.35071	9.97347	sobreexpresado
TC1200011327.hg.1	-0.622268	0.037655	<i>CSRP2</i>	cysteine and glycine-rich protein 2	12	Multiple_Complex	NM_001004426	8.25668	7.63441	subexpresado
TC0500013301.hg.1	0.617117	0.006665	<i>DAB2</i>	Dab, mitogen-responsive phosphoprotein, homolog 2 ( <i>Drosophila</i> )	5	Multiple_Complex	NM_001128165	11.74129	12.35840	sobreexpresado
TC0100013278.hg.1	-0.616932	0.006187	<i>TCEA3</i>	transcription elongation factor A (SII), 3	1	Multiple_Complex	NM_005744	8.32764	7.71071	subexpresado
TC1800007059.hg.1	-0.616342	0.006690	<i>DTNA</i>	dystrobrevin, alpha	18	Multiple_Complex	NM_001017390	6.37214	5.75580	subexpresado
TC0100007458.hg.1	0.616282	0.009139	<i>DHDDS</i>	dehydrodolichyl diphosphate synthase subunit	1	Multiple_Complex	NM_021804	10.81114	11.42742	sobreexpresado
TC1200010838.hg.1	0.615839	0.002491	<i>ZNF385A</i>	zinc finger protein 385A	12	Multiple_Complex	NM_001135219	7.22538	7.84122	sobreexpresado
TC0800008197.hg.1	-0.615792	0.002020	<i>OTUD6B</i>	OTU domain containing 6B	8	Multiple_Complex	NM_0006600	5.82390	5.20811	subexpresado
TC1300008668.hg.1	0.614273	0.000457	<i>LHFP</i>	lipoma HMGIC fusion partner	13	Multiple_Complex	NM_001145201	13.35794	13.97221	sobreexpresado
TC0400009632.hg.1	-0.613559	0.004376	<i>FRG1</i>	FSHD region gene 1	4	NonCoding	hsa_circ_0092370	9.20153	8.58797	subexpresado
TC0300012323.hg.1	0.608539	0.005655	<i>MGLL</i>	monoglyceride lipase	3	Multiple_Complex	NM_001901	9.91308	10.52162	sobreexpresado
TC0X00011382.hg.1	0.605602	0.001446	<i>ACSL4</i>	acyl-CoA synthetase long-chain family member 4	X	Multiple_Complex	NM_001220482	6.06912	6.67472	sobreexpresado
TC0600009228.hg.1	0.604775	0.013786	<i>NT5DC1</i>	5-nucleotidase domain containing 1	6	Coding	NM_014907	7.94956	8.55434	sobreexpresado
TC1100013152.hg.1	0.603519	0.030983	<i>SAA2</i>	serum amyloid A2	11	NonCoding	ENST00000492070	15.10262	15.70613	sobreexpresado
TC0300008979.hg.1	-0.602875	0.021282	<i>CLSTN2</i>	calsyntenin 2	3	Multiple_Complex	NM_016565	9.15642	8.55354	subexpresado
TC0300010999.hg.1	0.602498	0.020279	<i>MAP4</i>	microtubule associated protein 4	3	Multiple_Complex	NM_0013110	12.58485	13.18734	sobreexpresado
TC1400008761.hg.1	0.602332	0.045404	<i>CMA1</i>	chymase 1, mast cell	14	Multiple_Complex	NM_00105509	5.77644	6.37877	sobreexpresado
TC1200010413.hg.1	0.602277	0.036157	<i>ABCD2</i>	ATP binding cassette subfamily D member 2	12	Multiple_Complex	NM_001199159	7.70298	8.30526	sobreexpresado
TC0500009422.hg.1	-0.601558	0.011835	<i>NPM1</i>	nucleophosmin (nucleolar phosphoprotein B23, numatrin)	5	Coding	NM_001300974	11.47645	10.87489	subexpresado
TC0100010230.hg.1	0.599902	0.001057	<i>CD1C</i>	CD1c molecule	1	Multiple_Complex	NM_001039130	4.72942	5.32932	sobreexpresado
TC2100008529.hg.1	-0.599712	0.029476	<i>NDUFV3</i>	NADH dehydrogenase (ubiquinone) flavoprotein 3, 10kDa	21	Coding	WRN.dAug10	11.89575	11.29604	subexpresado
TC0200010116.hg.1	-0.598558	0.003056	<i>DFNB59</i>	deafness, autosomal recessive 59	2	Multiple_Complex	NM_001007214	3.78175	3.18320	subexpresado
TC1600009608.hg.1	0.595575	0.007109	<i>NOMO2</i>	NODAL modulator 2	16	Multiple_Complex	NM_004892	10.02853	10.62411	sobreexpresado
TC2100007208.hg.1	0.594886	0.017906	<i>MX1</i>	MX dynamin-like GTPase 1	21	Multiple_Complex	NM_015836	8.34939	8.94428	sobreexpresado
TC0700011782.hg.1	-0.594365	0.010081	<i>FAM133B</i>	family with sequence similarity 133, member B	7	Multiple_Complex	NM_002131	6.30240	5.70804	subexpresado
TC0X00006758.hg.1	-0.592171	0.005670	<i>CNKS2</i>	connector enhancer of kinase suppressor of Ras 2	X	Multiple_Complex	NM_001004352	7.25036	6.65819	subexpresado
TSUnmapped0000134.hg.1	-0.590590	0.005457	<i>SLC16A1</i>	solute carrier family 16 (monocarboxylate transporter), member 1		Multiple_Complex	NM_030824	8.46282	7.87223	subexpresado
TC1400007584.hg.1	-0.590115	0.025996	<i>TTC9</i>	tetratricopeptide repeat domain 9	14	Multiple_Complex	NM_006503	5.30292	4.71280	subexpresado
TC0400009860.hg.1	-0.589050	0.01754	<i>STX18</i>	syntaxin 18	4	Multiple_Complex	NM_001009932	8.39136	7.80231	subexpresado
TC1700012279.hg.1	-0.587776	0.023196	<i>HOXB-A53</i>	HOXB cluster antisense RNA 3	17	Multiple_Complex	NR_028330	8.11959	7.53181	subexpresado
TC0100008807.hg.1	-0.587450	0.002568	<i>NEXN</i>	nexilin (F actin binding protein)	1	Multiple_Complex	NM_000672	9.18804	8.60059	subexpresado
TC0600008981.hg.1	0.583769	0.001779	<i>AIM1</i>	absent in melanoma 1	6	Coding	NM_001199328	5.62076	6.20453	sobreexpresado
TC1000012516.hg.1	0.582154	0.016240	<i>AKR1C2</i>	aldo-keto reductase family 1, member C2	10	Unassigned	P112.cAug10-unsplice	13.55113	14.13328	sobreexpresado
TC0900011217.hg.1	0.581925	0.000779	<i>PTBP3</i>	polypyrimidine tract binding protein 3	9	Coding	NM_001010978	9.37224	9.95417	sobreexpresado
TC0700006619.hg.1	0.581778	0.044242	<i>SLC29A4</i>	solute carrier family 29 (equilibrative nucleoside transporter), member 4	7	Coding	ENST00000633992	7.20269	7.78447	subexpresado
TC1000011522.hg.1	0.581759	0.017138	<i>TM9SF3</i>	transmembrane 9 superfamily member 3	10	Multiple_Complex	NM_001077186	6.56705	7.14880	sobreexpresado
TC0500007408.hg.1	0.581649	0.027490	<i>GZMK</i>	granzyme K	5	Multiple_Complex	NM_001114123	4.37016	4.95181	sobreexpresado
TC0200012031.hg.1	-0.580117	0.014079	<i>HADHA</i>	Transcriptoidentified by AceView, Entrez Gene ID(s) 3030	2	Multiple_Complex	NM_001145018	3.96357	3.38346	subexpresado
TC0200007181.hg.1	0.578222	0.032472	<i>YIPF4</i>	Yip1 domain family member 4	2	Unassigned	r1f196.hAug10-unsplice	7.05746	7.63568	sobreexpresado
TC0200008335.hg.1	-0.577585	0.044682	<i>THNSL2</i>	threonine synthase-like 2	2	Coding	NM_001145132	6.63008	6.05249	subexpresado
TC0900006937.hg.1	0.577013	0.006018	<i>ACO1</i>	aconitase 1, soluble	9	Multiple_Complex	NM_001099677	11.22443	11.80145	sobreexpresado
TC0100011454.hg.1	-0.576897	0.018571	<i>HSD1B1</i>	hydroxysteroid (11-beta) dehydrogenase 1	1	Multiple_Complex	NM_001150	8.99008	8.41319	subexpresado

TC1500009921.hg.1	-0.576217	0.010653	<i>UACA</i>	veal autoantigen with coiled-coil domains and ankyrin repeats	15	Multiple_Complex	NM_173647	10.57161	9.99539	subexpresado
TC0100010571.hg.1	0.575657	0.031136	<i>PRRX1</i>	paired related homeobox 1	1	Multiple_Complex	NM_001137559	9.42723	10.00289	sobreexpresado
TC1700008104.hg.1	-0.575209	0.013614	<i>NSF</i>	N-ethylmaleimide-sensitive factor	17	Multiple_Complex	NM_001145290	7.14500	6.56979	subexpresado
TC0100014585.hg.1	0.573726	0.004994	<i>NEGR1</i>	neuronal growth regulator 1	1	Coding	ENST00000631068	10.25692	10.83064	sobreexpresado
TC1700008102.hg.1	-0.571624	0.024142	<i>LRRC37A2</i>	leucine rich repeat containing 37, member A2	17	Multiple_Complex	NM_018964	7.59249	7.02087	subexpresado
TC2000009250.hg.1	0.571422	0.017201	<i>PLTP</i>	phospholipid transfer protein	20	Multiple_Complex	NM_019050	11.66822	12.23964	sobreexpresado
TC0700009680.hg.1	0.570947	0.040835	<i>TMEM176A</i>	transmembrane protein 176A	7	Coding	NM_001024598	9.92330	10.49425	sobreexpresado
TC0200011344.hg.1	-0.570208	0.002849	<i>NDUFA10</i>	Memczak2013 ANTISENSE, coding, INTERNAL, intronic best transcript NM_004544	2	Multiple_Complex	NM_001178008	4.37793	3.80772	subexpresado
TC1900008432.hg.1	0.569438	0.003355	<i>EHD2</i>	EH domain containing 2	19	Multiple_Complex	NM_001243253	14.45907	15.02851	sobreexpresado
TC0800007870.hg.1	-0.568058	0.002359	<i>CSPP1</i>	centrosome and spindle pole associated protein 1	8	Multiple_Complex	NM_000586	5.32981	4.76176	subexpresado
TC1100007507.hg.1	0.566472	0.019197	<i>PTPRJ</i>	protein tyrosine phosphatase, receptor type, J	11	Multiple_Complex	NM_015456	4.93307	5.49955	sobreexpresado
TC0600011466.hg.1	-0.565638	0.003532	<i>ZBTB12</i>	zinc finger and BTB domain containing 12	6	Coding	NM_207398	3.82200	3.25636	subexpresado
TC1200007430.hg.1	-0.564969	0.001640	<i>SCAF11</i>	Memczak2013 ANTISENSE, CDS, coding, INTERNAL best transcript NM_004719	12	Multiple_Complex	NM_022894	4.38167	3.81670	subexpresado
TC0100013483.hg.1	-0.562757	0.000281	<i>TAF12</i>	TAF12 RNA polymerase II, TATA box binding protein (TBP)-associated factor, 20kDa	1	Multiple_Complex	NM_001267041	7.09878	6.53602	subexpresado
TC0900012140.hg.1	-0.561929	0.003618	<i>PGM5</i>	phosphoglucomutase 5	9	Multiple_Complex	ENST00000418612	4.23013	3.66820	subexpresado
TC1000012329.hg.1	-0.559840	0.000219	<i>BNIP3</i>	BCL2/adenovirus E1B 19kDa interacting protein 3	10	Multiple_Complex	NM_024635	11.13350	10.57366	subexpresado
TC0300010903.hg.1	-0.559504	0.000177	<i>KIAA1143</i>	KIAA1143	3	Multiple_Complex	NM_001066558	9.49421	8.93471	sobreexpresado
TC1800007829.hg.1	-0.558197	0.025379	<i>HSPB11</i>	heat shock factor binding protein 1-like 1	18	Multiple_Complex	NM_018711	8.94162	8.38343	subexpresado
TC0300012252.hg.1	0.558109	0.027049	<i>SNX4</i>	sorting nexin 4	3	Multiple_Complex	NM_025099	6.15710	6.71520	sobreexpresado
TC0900012189.hg.1	-0.556186	0.001704	<i>TMEM141</i>	transmembrane protein 141	9	Multiple_Complex	NR_132342	7.47988	6.92370	subexpresado
TC1100010757.hg.1	0.554448	0.015384	<i>MTC1H2</i>	mitochondrial carrier 2	11	Coding	NM_024410	10.62127	11.17572	sobreexpresado
TC0700011318.hg.1	0.554024	0.032305	<i>ERV3-1</i>	endogenous retrovirus group 3, member 1	7	Multiple_Complex	NM_001243042	7.55615	8.11018	sobreexpresado
TC0300007355.hg.1	-0.553975	0.016380	<i>TMA7</i>	translation machinery associated 7 homolog	3	Multiple_Complex	NM_001146077	9.50625	8.95227	subexpresado
TC0400006579.hg.1	0.553422	0.003213	<i>ADD1</i>	adducin 1 (alpha)	4	Multiple_Complex	NM_017895	10.54039	11.09381	sobreexpresado
TC1200001062.hg.1	-0.550779	0.046533	<i>RERGL</i>	RERG/RAS-like	12	Multiple_Complex	NM_00135862	5.38952	4.83875	subexpresado
TC0300012189.hg.1	0.550685	0.004086	<i>KPNAA1</i>	karyopherin alpha 1	3	Multiple_Complex	NM_020994	6.27274	6.82343	sobreexpresado
TC0400009694.hg.1	-0.549470	0.001890	<i>ATPS1</i>	ATP synthase, H+ transporting, mitochondrial Fo complex subunit E	4	Multiple_Complex	NM_001012339	10.45056	9.90109	subexpresado
TC1400007154.hg.1	0.547882	0.022138	<i>GNG2</i>	guanine nucleotide binding protein (G protein), gamma 2	14	Coding	ENST00000547058	10.30530	10.85318	sobreexpresado
TC1200007052.hg.1	0.547066	0.003508	<i>GOLT1B</i>	golgi transport 1B	12	NonCoding	ENST00000503553.3	7.64210	8.18917	sobreexpresado
TC1500010399.hg.1	0.547051	0.008780	<i>PUN1</i>	perilipin 1	15	Multiple_Complex	NM_017619	13.62566	14.17271	sobreexpresado
TC0700008875.hg.1	-0.546663	0.031847	<i>MET</i>	MET proto-oncogene, receptor tyrosine kinase	7	Multiple_Complex	NM_001173393	8.16741	7.62075	subexpresado
TC0X00007965.hg.1	-0.546615	0.022136	<i>TCEAL2</i>	transcription elongation factor A (SII)-like 2	X	Coding	NM_145256	5.64803	5.10142	subexpresado
TC1000011450.hg.1	0.546467	0.047483	<i>RBP4</i>	retinol binding protein 4, plasma	10	Coding	NM_001293228	13.09420	13.64067	sobreexpresado
TC14_GLU00194V1_random_00006432.hg.1	-0.545523	0.000720	<i>MAF1P</i>	MAFF interacting protein (pseudogene)	4_GLU00194V	Coding	NM_005447	10.18644	9.64092	subexpresado
TC1900011668.hg.1	-0.545366	0.007283	<i>ZNF763</i>	zinc finger protein 763	19	Multiple_Complex	NM_006470	5.98243	5.43707	subexpresado
TC0600012434.hg.1	0.544858	0.030750	<i>ME1</i>	malic enzyme 1, NADP(+)-dependent, cytosolic	6	Multiple_Complex	NM_001039547	9.64425	10.18911	sobreexpresado
TC0600009505.hg.1	-0.544843	0.043922	<i>TCF21</i>	transcription factor 21	6	Multiple_Complex	NM_032020	7.71329	7.16844	subexpresado
TC0500008479.hg.1	0.544511	0.017626	<i>SNX2</i>	sorting nexin 2	5	Multiple_Complex	NM_022140	12.46762	13.01213	sobreexpresado
TC0400012941.hg.1	-0.543794	0.008522	<i>THAP9-AS1</i>	THAP9 antisense RNA 1	4	Multiple_Complex	NM_000399	7.42043	6.87663	subexpresado
TC1900011122.hg.1	-0.541655	0.000453	<i>KCNAT7</i>	potassium channel, voltage gated shaker related subfamily A, member 7	19	Multiple_Complex	NM_021202	5.02825	4.48660	subexpresado
TC0700006852.hg.1	0.541199	0.040058	<i>ABCBS5</i>	ATP binding cassette subfamily B member 5	7	Multiple_Complex	NM_000835	5.04562	5.58682	sobreexpresado
TC1000012471.hg.1	-0.540845	0.016593	<i>ADIRF</i>	adipogenesis regulatory factor	10	Multiple_Complex	NM_001198993	9.03122	8.49037	subexpresado
TC0900010950.hg.1	-0.540265	0.005086	<i>XPA</i>	xeroderma pigmentosum, complementation group A	9	Coding	NM_178429	6.83306	6.29280	subexpresado
TC0600013998.hg.1	0.540123	0.026042	<i>THBS2</i>	thrombospondin 2	6	Multiple_Complex	NM_016072	7.11345	7.65358	sobreexpresado
TC0X00010895.hg.1	0.539669	0.002772	<i>ZNF75D</i>	zinc finger protein 75D	X	Multiple_Complex	NM_006500	4.37489	4.91456	sobreexpresado
TC1500008895.hg.1	-0.539237	0.006743	<i>GOLGA8B</i>	golgin A8 family, member B	15	Multiple_Complex	NM_014899	8.48316	7.94393	subexpresado
TC1000012567.hg.1	-0.539037	0.005874	<i>AGAP5</i>	ArfGAP with GTPase domain, ankyrin repeat and PH domain 5	10	Multiple_Complex	NM_001144030	9.22127	8.68223	subexpresado
TC1700009042.hg.1	-0.537405	0.000781	<i>AFMID</i>	arylformamidase	17	Multiple_Complex	NM_005630	5.66255	5.12515	subexpresado
TC0900008463.hg.1	0.536117	0.025581	<i>HSDL2</i>	hydroxysteroid dehydrogenase like 2	9	Multiple_Complex	NM_001615121	9.70660	10.24272	sobreexpresado
TC0200012956.hg.1	0.535974	0.030995	<i>GFPT1</i>	glutamine--fructose-6-phosphate transaminase 1	2	NonCoding	ENST00000628008	9.74189	10.27787	sobreexpresado
TC0500007303.hg.1	0.535411	0.006606	<i>NNT</i>	nicotinamide nucleotide transhydrogenase	5	Unassigned	F1veAug10-unsplc	6.48999	7.02540	sobreexpresado
TC1600009022.hg.1	0.535193	0.026400	<i>TPBS2</i>	tryptase beta 2 (gene/pseudogene)	16	Multiple_Complex	NM_006089	9.77773	10.31292	sobreexpresado
TC0800011601.hg.1	-0.534935	0.024689	<i>SAMD12</i>	sterile alpha motif domain containing 12	8	Multiple_Complex	NM_001017999	4.40119	3.86626	subexpresado
TC1200011791.hg.1	-0.533734	0.007720	<i>CKAP4</i>	cytoskeleton-associated protein 4	12	Unassigned	KHA6.sAug10-unsp1	8.87222	8.33848	subexpresado
TC0100006696.hg.1	-0.533669	0.001310	<i>ZBTB48</i>	zinc finger and BTB domain containing 48	1	NonCoding	hsa_circ_0001707	3.77398	3.24031	subexpresado
TC1300008691.hg.1	-0.532731	0.013760	<i>FOXO1</i>	Memczak2013 ALT_ACCEPTOR, ALT_DONOR, coding, INTERNAL, intronic best transcript NM_002015	13	Multiple_Complex	NM_006248	4.50943	3.97670	subexpresado
TC0200009762.hg.1	-0.532263	0.006135	<i>PKP4</i>	Transcript identified by AceView, Entrez Gene ID(s) 8502	2	Multiple_Complex	NM_031215	4.03204	3.49978	subexpresado
TC0200006627.hg.1	-0.531564	0.005778	<i>ID2</i>	inhibitor of DNA binding 2, dominant negative helix-loop-helix protein	2	Multiple_Complex	NM_017891	10.61429	10.08273	subexpresado
TC1900009493.hg.1	0.531334	0.025747	<i>CD209</i>	CD209 molecule	19	Coding	NM_001003682	8.40164	8.93298	sobreexpresado
TC1100008673.hg.1	0.530503	0.000927	<i>TMEM135</i>	transmembrane protein 135	11	Multiple_Complex	NM_017617	6.36844	6.89895	sobreexpresado
TC1100009485.hg.1	0.529962	0.006416	<i>FU1</i>	Fli-1 proto-oncogene, ETS transcription factor	11	Multiple_Complex	NM_001278710	7.16912	7.69908	sobreexpresado
TC0100010379.hg.1	0.529798	0.017208	<i>UHMW1</i>	U2AF homology motif (UHMW) kinase 1	1	Multiple_Complex	NM_00113402	8.23228	8.76208	sobreexpresado
TC1200011454.hg.1	-0.529788	0.014798	<i>CEP290</i>	centrosomal protein 290kDa	12	Multiple_Complex	NM_000930	6.35366	5.82387	sobreexpresado
TC0300013146.hg.1	-0.529534	0.037423	<i>TNFSF10</i>	tumor necrosis factor (ligand) superfamily, member 10	3	Multiple_Complex	NM_001013845	14.32635	13.79682	subexpresado
TC0500007491.hg.1	0.529406	0.008941	<i>GAPT</i>	GRB2-binding adaptor protein, transmembrane	5	Multiple_Complex	NM_153702	4.49903	5.02844	sobreexpresado
TC1600011365.hg.1	-0.529762	0.009784	<i>NPIP9</i>	nuclear pore complex interacting protein family, member B9	16	Multiple_Complex	NM_198482	8.72270	8.19508	subexpresado
TC1900007108.hg.1	0.527368	0.011261	<i>CALR</i>	calreticulin	19	Coding	ENST00000630248	13.79747	14.32484	sobreexpresado
TC0500013215.hg.1	0.525901	0.019915	<i>LVRN</i>	laeverin	5	Multiple_Complex	NM_000135	6.72781	7.25371	sobreexpresado
TC0500011208.hg.1	0.525693	0.048533	<i>WDR41</i>	WD repeat domain 41	5	Unassigned	133B.rAug10-unspl	7.21760	7.74330	sobreexpresado
TC1700009590.hg.1	-0.525510	0.004317	<i>KIAA0753</i>	KIAA0753	17	Multiple_Complex	THUMT0000019407	4.97834	4.45283	subexpresado
TC0600007207.hg.1	-0.523233	0.008438	<i>GMNN</i>	geminin, DNA replication inhibitor	6	NonCoding	hsa_circ_0092284	4.73981	4.21657	subexpresado

TC0100011219.hg.1	-0.523205	0.018457	<i>PPP1R12B</i>	protein phosphatase 1, regulatory subunit 12B	1	Multiple_Complex	NM_001115116	8.46041	7.93721	subexpresado
TC0300010217.hg.1	0.522083	0.016597	<i>CIDEc</i>	cell death-inducing DFFA-like effector c	3	Multiple_Complex	NM_001863	12.85494	13.37702	sobreexpresado
TC1100012526.hg.1	-0.520647	0.015985	<i>USP2</i>	ubiquitin specific peptidase 2	11	Coding	NM_001005289	5.18849	4.66784	subexpresado
TC0500011758.hg.1	0.520252	0.040742	<i>CDO1</i>	cysteine dioxygenase type 1	5	Multiple_Complex	NM_207446	9.77192	10.29218	sobreexpresado
TC0800011566.hg.1	-0.520040	0.007564	<i>RAD21</i>	Transcriptoidentified by AceView, Entrez Gene ID(s) 5885	8	Multiple_Complex	NM_005886	4.54952	4.02948	subexpresado
TC0300013471.hg.1	0.519607	0.031168	<i>BCL6</i>	B-cell CLL/lymphoma 6	3	Multiple_Complex	NM_134268	11.64378	12.16338	sobreexpresado
TC1400009147.hg.1	0.519577	0.030062	<i>PYGL</i>	phosphorylase, glycogen, liver	14	Multiple_Complex	NM_001037172	10.95748	11.47706	sobreexpresado
TC0100018478.hg.1	-0.518559	0.015860	<i>NBPF10</i>	neuroblastoma breakpoint family, member 10	1	Multiple_Complex	NM_181707	10.44867	9.93011	subexpresado
TC1900010595.hg.1	-0.518472	0.021420	<i>PPP1R14A</i>	protein phosphatase 1, regulatory (inhibitor) subunit 14A	19	NonCoding	hsa_circ_0001131	10.65405	10.13558	subexpresado
TC1700009949.hg.1	0.517910	0.001830	<i>SREBF1</i>	sterol regulatory element binding transcription factor 1	17	Multiple_Complex	NM_003083	8.16019	8.67810	sobreexpresado
TC0200007855.hg.1	-0.517604	0.011052	<i>MEIS1</i>	Transcriptoidentified by AceView, Entrez Gene ID(s) 4211	2	Multiple_Complex	NM_001162483	3.87656	3.35895	subexpresado
TC1100012959.hg.1	0.517512	0.010859	<i>TIMM10B</i>	translocase of inner mitochondrial membrane 10 homolog B (yeast)	11	Coding	NM_001004745	7.56849	8.08600	sobreexpresado
TC1200011727.hg.1	0.517039	0.028823	<i>IGF1</i>	insulin-like growth factor 1 (somatomedin C)	12	Multiple_Complex	NM_002664	9.99743	10.51447	sobreexpresado
TC0200013003.hg.1	-0.516769	0.002204	<i>FIGLA</i>	folliculogenesis specific bHLH transcription factor	2	Multiple_Complex	NM_001135597	4.04334	3.52657	subexpresado
TC0400012757.hg.1	0.515707	0.009203	<i>RNF4</i>	ring finger protein 4	4	Unassigned	EM1:iAug10-unsplic	8.19266	8.70837	sobreexpresado
TC0200010239.hg.1	0.515564	0.028266	<i>COL3A1</i>	collagen, type III, alpha 1	2	Multiple_Complex	NM_001261390	11.44724	11.96281	sobreexpresado
TC0800006927.hg.1	0.515133	0.034948	<i>LPL</i>	lipoprotein lipase	8	Multiple_Complex	NM_004884	13.80457	14.31970	sobreexpresado
TC1200012723.hg.1	0.514883	0.001027	<i>ZNF664</i>	zinc finger protein 664	12	Multiple_Complex	NM_001301129	6.28447	6.79936	sobreexpresado
TC0200008534.hg.1	-0.514090	0.029981	<i>ANKRD36</i>	ankyrin repeat domain 36	2	Multiple_Complex	NM_001145652	7.57650	7.06241	subexpresado
TC1200008224.hg.1	0.514053	0.013582	<i>GLIPR1</i>	GLI pathogenesis-related 1	12	NonCoding	ENST00000553898	10.82435	11.33840	sobreexpresado
TC0200016587.hg.1	-0.513867	0.005059	<i>PLCL1</i>	phospholipase C-like 1	2	Multiple_Complex	NM_001200049	5.07922	4.56535	subexpresado
TC0500010639.hg.1	-0.513392	0.000872	<i>CCL28</i>	chemokine (C-C motif) ligand 28	5	NonCoding	hsa_circ_0001892	6.26736	5.75396	subexpresado
TC0900007518.hg.1	0.513356	0.010365	<i>MAMDC2</i>	MAM domain containing 2	9	Multiple_Complex	NM_018012	6.86141	7.37477	sobreexpresado
TC0100012778.hg.1	0.511750	0.013906	<i>ENO1</i>	enolase 1, (alpha)	1	Multiple_Complex	BC105788	12.46934	12.98109	sobreexpresado
TC1300008916.hg.1	-0.511338	0.006122	<i>CAB39L</i>	calcium binding protein 39-like	13	Multiple_Complex	NM_138492	6.38121	5.86987	subexpresado
TC0300012813.hg.1	0.510319	0.019080	<i>P2RY14</i>	purinergic receptor P2Y, G-protein coupled, 14	3	Multiple_Complex	NM_015960	10.53716	11.04748	sobreexpresado
TC0100012534.hg.1	0.510118	0.004246	<i>PANK4</i>	pantothenate kinase 4	1	Multiple_Complex	NM_001142281	5.39175	5.90187	sobreexpresado
TC0400012972.hg.1	0.508954	0.010397	<i>RNF150</i>	ring finger protein 150	4	Multiple_Complex	NM_001242481	8.21077	8.71973	sobreexpresado
TC1000012108.hg.1	0.507847	0.038624	<i>CXPX2</i>	carboxypeptidase X (M14 family), member 2	10	Multiple_Complex	NM_001267033	7.26236	7.77021	sobreexpresado
TC1600011487.hg.1	-0.507462	0.008227	<i>NPIPA8</i>	nuclear pore complex interacting protein family, member A8	16	Multiple_Complex	NM_001308350	10.96391	10.45645	subexpresado
TC0700008868.hg.1	0.507233	0.035434	<i>TES</i>	testin LIN domain protein	7	Multiple_Complex	NM_001270890	5.96203	6.46926	sobreexpresado
TC1000010509.hg.1	-0.506863	0.025042	<i>AGAP4</i>	ArfGAP with GTPase domain, ankyrin repeat and PH domain 4	10	Multiple_Complex	NM_015666	8.19802	7.69116	subexpresado
TC0X00006715.hg.1	-0.506768	0.010840	<i>SCML1</i>	sex comb on midleg-like 1 ( <i>Drosophila</i> )	X	Multiple_Complex	NM_001195535	6.74249	6.23572	subexpresado
TC0100013293.hg.1	-0.506749	0.009595	<i>ID3</i>	inhibitor of DNA binding 3, dominant negative helix- loop-helix protein	1	Multiple_Complex	NM_001177	8.39041	7.88366	subexpresado
TC0200016739.hg.1	-0.506634	0.003743	<i>ARLS5A</i>	ADP-ribosylation factor like GTPase 5A	2	Multiple_Complex	NM_001114121	3.64236	3.13573	subexpresado
TC1500009460.hg.1	-0.506200	0.003754	<i>FAM214A</i>	family with sequence similarity 214, member A	15	Multiple_Complex	NM_001271937	8.11887	7.61267	subexpresado
TC1200009768.hg.1	0.505931	0.005156	<i>LPCAT3</i>	lysophosphatidylcholine acyltransferase 3	12	Multiple_Complex	NM_000290	7.21703	7.72296	sobreexpresado
TC0200011885.hg.1	-0.505920	0.008101	<i>TTC32</i>	tetratricopeptide repeat domain 32	2	Multiple_Complex	NM_144719	4.82807	4.32214	subexpresado
TC1800007680.hg.1	0.505261	0.002376	<i>CNDP2</i>	CNDP dipeptidase 2 (metallopeptidase M20 family)	18	Coding	NM_015551	9.29888	9.80415	sobreexpresado
TC0100013303.hg.1	0.504623	0.001358	<i>HMGCL</i>	3-hydroxymethyl-3-methylglutaryl-CoA lyase	1	Multiple_Complex	NM_138450	6.24222	6.74684	sobreexpresado
TC1100009068.hg.1	0.504600	0.016190	<i>NCAM1</i>	neural cell adhesion molecule 1	11	Coding	NM_001282524	7.15353	7.65813	sobreexpresado
TC1600007959.hg.1	-0.504228	0.016244	<i>MT1E</i>	metallothionein 1E	16	Coding	NM_005621	12.84380	12.33957	subexpresado
TC1500010842.hg.1	-0.504187	0.002039	<i>GOLGA8R</i>	golgin A8 family, member R	15	Multiple_Complex	NM_000979	6.65837	6.15418	subexpresado
TC1200010113.hg.1	-0.501785	0.003863	<i>ABCC9</i>	Transcriptoidentified by AceView, Entrez Gene ID(s) 10060	12	Multiple_Complex	NM_006623	2.78812	2.28634	subexpresado
TC1600011451.hg.1	-0.501360	0.000911	<i>TCF25</i>	transcription factor 25 (basic helix-loop-helix)	16	Multiple_Complex	NM_000451	9.65703	9.15567	subexpresado
TC0100008653.hg.1	0.500689	0.020269	<i>IL12RB2</i>	interleukin 12 receptor, beta 2	1	Multiple_Complex	NM_001304376	5.87261	6.37330	sobreexpresado

**Tabla Anexa 5. Traslape entre cambios en la metilación del ADN y la expresión génica (CpG diferencialmente metilado - gen diferencialmente expresado) y sus valores de correlación entre la metilación con la expresión y con niveles de glucosa en ayunas y HbA1c.**

Símbolo del gen	CpG	delta β	Chr	Posición	Localización genómica	Contexto con isla CpG	logFC de la expresión	Estado de metilación en OD	Estado de expresión en OD	r de la correlación de Pearson entre DMC-DEG	Valor de p de la correlación de Pearson entre DMC-DEG	r de la correlación de Pearson entre DMC-glucosa	Valor de p de la correlación de Pearson entre DMC-HbA1c	r de la correlación de Pearson entre DMC-HbA1c	
TPDS2L1	cg01198661	0.0224	6	125504065	5'UTR	opensea	-0.7610	hipermetilado	subexpresado	0.559373	0.034418	0.320206	0.234686	0.371508	0.160658
FKBP5	cg01294490	0.0088	6	35656906	TSS200	shore	-0.7122	hipermetilado	subexpresado	-0.229905	0.369091	0.363093	0.187888	0.606067	0.019648
SLTRK4	cg01560464	0.0308	X	142721195	5'UTR	shore	-0.6389	hipermetilado	subexpresado	-0.530190	0.069257	0.495275	0.102686	0.415890	0.164346
ABCC9	cg01909678	0.0193	12	22019999	BD	opensea	-0.5018	hipermetilado	subexpresado	0.493048	0.085126	0.220346	0.414616	0.291608	0.307934
RNF150	cg02005162	-0.0931	4	141852934	BD	opensea	0.5090	hiprometilado	sobreexpresado	-0.243481	0.354617	-0.457450	0.095729	-0.654959	0.016179
ZNF763	cg02690491	0.0416	19	12075772	TSS200	shore	-0.5454	hipermetilado	subexpresado	-0.639622	0.020171	0.376248	0.179890	0.558538	0.047835
ACVR1C	cg02695239	-0.0238	2	158476243	BD	opensea	0.8701	hipometilado	sobreexpresado	-0.582411	0.024955	-0.527473	0.042342	-0.680503	0.007841
ZNF75D	cg02803670	0.0483	X	13478751	TSS1500	island	0.5397	hipermetilado	sobreexpresado	0.663911	0.031906	0.339301	0.199119	0.532410	0.036383
HSD11B1	cg02947427	-0.0199	1	209897658	BD	opensea	-0.5769	hiprometilado	subexpresado	0.396252	0.173881	-0.191071	0.499284	-0.442046	0.147355
TMEM135	cg03169087	-0.0350	11	86747930	TSS1500	shore	0.5305	hiprometilado	sobreexpresado	-0.526778	0.068549	-0.356289	0.189897	-0.421846	0.110400
COL6A3	cg03372974	-0.0247	2	284255093	BD	opensea	0.7566	hiprometilado	sobreexpresado	-0.404520	0.149364	-0.531048	0.038383	-0.561929	0.040640
SESTD1	cg03401780	-0.0125	2	180056920	5'UTR	opensea	0.7552	hiprometilado	sobreexpresado	-0.188689	0.457293	-0.555369	0.028280	-0.545822	0.038074
MFSO1	cg03539313	-0.0254	3	158541027	BD	opensea	0.6350	hiprometilado	sobreexpresado	-0.263222	0.321020	-0.264024	0.378624	-0.419531	0.172230
DLG2	cg04373607	-0.0322	11	85151996	BD	opensea	-0.6549	hiprometilado	subexpresado	0.400078	0.163004	-0.376847	0.170516	-0.414127	0.122878
CPXM2	cg04505284	0.0423	10	125545940	BD	opensea	0.5078	hiprometilado	sobreexpresado	0.434884	0.126009	0.348085	0.199713	0.552314	0.028063
CDH1	cg04853319	-0.0237	16	68827444	BD	opensea	-0.7608	hiprometilado	subexpresado	-0.563476	0.045064	-0.507520	0.079904	-0.701243	0.008207
ADD1	cg05532108	0.0084	4	28454444	TSS200	island	0.5534	hiprometilado	sobreexpresado	0.612185	0.012453	0.333669	0.232344	0.494846	0.062273
TPDS2L1	cg05818382	-0.0128	6	125558131	BD	opensea	-0.7610	hiprometilado	subexpresado	-0.350991	0.239824	-0.364215	0.190626	-0.412083	0.139929
TCEA3	cg06177627	0.0109	1	23751208	1stExon	island	-0.6169	hiprometilado	subexpresado	-0.604310	0.040390	0.443483	0.106319	0.595788	0.024339
PTN	cg06644472	0.0209	7	136944526	5'UTR	opensea	-0.6343	hiprometilado	subexpresado	-0.117699	0.498617	0.246989	0.371271	0.343974	0.200448
PPFIA2	cg06859971	-0.0367	12	81810669	BD	opensea	-0.6453	hiprometilado	subexpresado	0.241179	0.368746	-0.522017	0.043626	-0.496963	0.066961
PANK4	cg07010340	-0.0073	1	2442012	BD	shore	0.5101	hiprometilado	sobreexpresado	-0.500984	0.079409	-0.354156	0.247960	-0.293452	0.274948
RG56	cg07274562	0.0126	14	72531369	5'UTR	opensea	-0.8601	hiprometilado	subexpresado	0.295708	0.297483	-0.278622	0.365225	-0.569955	0.055211
TCEA3	cg07356011	-0.0161	1	23750759	BD	island	-0.6169	hiprometilado	subexpresado	0.421868	0.161588	-0.377046	0.158497	-0.356817	0.192917
RG56	cg07509323	-0.0712	14	27203562	BD	opensea	-0.8601	hiprometilado	subexpresado	0.366690	0.212659	-0.425732	0.121399	-0.482453	0.086755
CSPP1	cg07896832	0.0419	8	67975874	TSS1500	shore	-0.5681	hiprometilado	subexpresado	-0.470292	0.109334	0.474920	0.064634	0.617076	0.013012
FL1	cg08136110	0.0114	11	128626808	BD	opensea	0.5300	hiprometilado	sobreexpresado	0.277943	0.318256	0.369048	0.167925	0.524894	0.042743
COL6A3	cg08261446	-0.0291	2	238306938	5'UTR	opensea	0.7566	hiprometilado	sobreexpresado	-0.169154	0.473826	-0.132360	0.528171	-0.226530	0.392917
GREM1	cg08495115	0.0126	15	33010399	5'UTR	island	0.7111	hiprometilado	sobreexpresado	0.678437	0.012355	0.374108	0.161795	0.475919	0.081898
HMGCL	cg08673615	0.0097	1	24151775	BD	opensea	0.5046	hiprometilado	sobreexpresado	0.388128	0.163435	0.209604	0.459731	0.456982	0.099816
THNSL2	cg09033577	0.0424	2	88485744	3'UTR	opensea	-0.5776	hiprometilado	subexpresado	-0.339279	0.245855	0.412101	0.117194	0.405898	0.118546
NNT	cg09489281	0.0172	5	43604149	5'UTR	shore	0.5354	hiprometilado	sobreexpresado	0.514651	0.063445	0.436625	0.159732	0.718240	0.004038
NSF	cg09613464	0.5460	17	48403866	BD	opensea	-0.5752	hiprometilado	subexpresado	-0.341979	0.221846	0.528882	0.034085	0.666105	0.003940
MTCH2	cg12161603	-0.0560	11	47659321	BD	opensea	0.5544	hiprometilado	sobreexpresado	0.449392	0.116286	-0.191039	0.450811	-0.271557	0.332692
NOQ1	cg12178385	0.0225	16	69761720	TSS1500	shore	0.6755	hiprometilado	subexpresado	0.415985	0.156300	0.531309	0.039060	0.611868	0.025146
PTBP3	cg12300909	0.0142	9	11501205	BD	opensea	0.5819	hiprometilado	subexpresado	0.615817	0.022419	0.446722	0.087354	0.529952	0.040297
HTR2B	cg12793238	0.0271	2	231977049	BD	opensea	0.6573	hiprometilado	sobreexpresado	0.434614	0.132202	0.471250	0.075748	0.578961	0.026023
MEST	cg130140298	0.0187	7	130131905	5'UTR	island	0.8280	hiprometilado	subexpresado	-0.559958	0.049939	0.335229	0.216310	0.339317	0.220515
DEFB132	cg13151472	0.0485	20	237300	TSS1500	opensea	0.9681	hiprometilado	sobreexpresado	0.364661	0.203250	0.294602	0.270131	0.471847	0.091788
GMNN	cg13322464	0.0574	6	24774713	TSS1500	shore	-0.5232	hiprometilado	subexpresado	-0.449562	0.131360	0.472597	0.103095	0.595788	0.080148
RG56	cg13647459	0.0248	14	72900738	BD	opensea	-0.8601	hiprometilado	subexpresado	0.456774	0.114710	0.381871	0.181058	0.303051	0.278480
FADS2	cg13764085	0.0100	11	61607741	BD	opensea	0.7215	hiprometilado	sobreexpresado	0.569775	0.029125	0.289468	0.269876	0.562011	0.022947
LPGAT1	cg14513226	0.0071	1	212003502	5'UTR	island	0.6280	hiprometilado	sobreexpresado	-0.015245	0.536288	0.189020	0.472179	0.399595	0.166754
CEP290	cg14555810	-0.0479	12	88444663	BD	opensea	-0.5298	hiprometilado	subexpresado	0.298941	0.291431	-0.411308	0.170312	-0.509980	0.062808
BCL6	cg14893267	-0.0084	3	187463559	TSS200	shore	0.5196	hiprometilado	sobreexpresado	-0.517777	0.062976	-0.329022	0.257637	-0.547735	0.049660
SNX2	cg15175985	0.0093	5	122110695	TSS200	island	0.5445	hiprometilado	sobreexpresado	0.348719	0.233108	0.447465	0.125780	0.691112	0.004780
ADRBK2	cg15913873	0.0184	22	26100838	BD	opensea	0.7151	hiprometilado	sobreexpresado	0.537110	0.063799	0.277762	0.345144	0.552778	0.044496
MET	cg16424884	-0.0179	7	116378637	BD	opensea	-0.5467	hiprometilado	subexpresado	0.462237	0.107361	-0.464339	0.098697	-0.448365	0.090418
ATP1A	cg16762784	0.0089	13	135208050	BD	opensea	-0.7512	hiprometilado	sobreexpresado	-0.765869	0.003087	0.373818	0.207307	0.548562	0.038791
TNMD	cg16829758	-0.0501	X	99847172	BD	opensea	-0.8797	hiprometilado	subexpresado	0.394742	0.190677	-0.211951	0.419303	-0.194758	0.440008
EHD2	cg16860712	0.0085	19	48244461	BD	island	0.5694	hiprometilado	sobreexpresado	0.689020	0.009712	0.547855	0.040643	0.652701	0.012018
MX1	cg17155270	-0.0145	21	48201971	5'UTR	shelf	0.5949	hiprometilado	sobreexpresado	-0.210778	0.395094	-0.199826	0.455284	-0.262255	0.341295
SAA2	cg17310354	0.1064	11	18260736	3'UTR	opensea	0.6035	hiprometilado	sobreexpresado	0.244541	0.320003	0.271750	0.364668	0.332234	0.239474
PPP1R12B	cg17492940	0.0249	1	202407102	BD	opensea	-0.5232	hiprometilado	subexpresado	-0.670103	0.010041	0.487095	0.063039	0.630858	0.009197
RG56	cg17922833	-0.0680	14	17299938	BD	opensea	-0.8601	hiprometilado	subexpresado	-0.343734	0.229606	-0.398638	0.128307	-0.462043	0.082152
UACA	cg18121641	-0.0623	15	70991223	BD	opensea	-0.5762	hiprometilado	sobreexpresado	0.476625	0.104081	-0.189207	0.474336	-0.435392	0.127773
TES	cg18182548	0.0140	7	115890284	BD	opensea	0.5072	hiprometilado	sobreexpresado	0.311029	0.280412	0.296982	0.274974	0.393180	0.132353
HIST1H4C	cg18269503	0.0121	6	26104560	1stExon	shore	-0.8940	hiprometilado	subexpresado	-0.347387	0.202431	0.501061	0.095456	0.627193	0.021920
PRRX1	cg18626833	0.0582	1	170659175	BD	opensea	0.5757	hiprometilado	sobreexpresado	0.686839	0.070400	0.187882	0.459931	0.368834	0.181947
SNX4	cg18764438	0.0122	3	125238508	BD	island</									

<i>MEST</i>	cg22115706	-0.0079	7	130125719	TSS1500	shore	0.8280	hipometilado	sobreexpresado	-0.430147	0.143500	-0.634058	0.024043	-0.578123	0.029177
<i>COL8A1</i>	cg22366214	0.0163	3	99472358	5'UTR	opensea	-0.6436	hipermetilado	subexpresado	-0.384190	0.208257	0.210699	0.415265	0.275050	0.323999
<i>MAP4</i>	cg22700215	-0.0377	3	47952841	BD	opensea	0.6025	hipometilado	sobreexpresado	-0.352259	0.209901	-0.514328	0.035810	-0.530135	0.035433
<i>TM9SF3</i>	cg23141096	0.0061	10	98347050	TSS1500	island	0.5818	hipermetilado	sobreexpresado	0.414183	0.162760	0.062427	0.494758	0.318856	0.294009
<i>BNIP3</i>	cg23471067	0.0240	10	133793477	BD	island	-0.5598	hipermetilado	subexpresado	-0.636015	0.023606	0.296385	0.311996	0.487140	0.101384
<i>ZNF75D</i>	cg23490611	-0.0490	X	134475099	5'UTR	shelf	0.5397	hipometilado	sobreexpresado	-0.540086	0.068605	-0.353844	0.219284	-0.613768	0.013263
<i>MAP4</i>	cg24476243	0.0503	3	47992056	BD	opensea	0.6025	hipermetilado	sobreexpresado	0.619827	0.024579	0.289350	0.283373	0.449909	0.086289
<i>PKP4</i>	cg24760753	0.0340	2	159534030	BD	opensea	-0.5323	hipermetilado	subexpresado	-0.647446	0.011411	0.432587	0.096300	0.601703	0.020552
<i>ATP11A</i>	cg25043602	0.0319	13	113489734	BD	shelf	-0.7512	hipermetilado	subexpresado	0.482153	0.085834	0.539091	0.031224	0.686309	0.002933
<i>MTCH2</i>	cg25152200	0.0158	11	47663666	BD	island	0.5544	hipermetilado	sobreexpresado	-0.209042	0.403939	0.505474	0.050988	0.634997	0.013562
<i>CDH1</i>	cg25934308	0.0103	16	68862967	BD	opensea	-0.7608	hipermetilado	subexpresado	-0.499766	0.081346	0.421374	0.146613	0.469940	0.097416
<i>CLSTN2</i>	cg26207573	-0.0138	3	140181818	BD	opensea	-0.6029	hipometilado	subexpresado	-0.563476	0.013530	-0.445065	0.106823	-0.557189	0.037944
<i>NEGR1</i>	cg26491461	0.0090	1	72748417	TSS200	shore	0.5737	hipermetilado	sobreexpresado	0.366021	0.214294	0.160184	0.471830	0.373000	0.216786
<i>CSPP1</i>	cg27473073	-0.0221	8	67996256	BD	opensea	-0.5681	hipometilado	subexpresado	0.304884	0.256938	-0.443650	0.128253	-0.405171	0.128713

**Tabla Anexa 6. Análisis de enriquecimiento de vías de la Enciclopedia de Genes y Genomas de Kioto de CpGs diferencialmente metilados – genes diferencialmente expresados.**

Descripción	Tamaño	Valor de <i>p</i>	Símbolo del gen
Metabolismo del butonato	28	0.0055253	<i>HADHA, HMGCL</i>
Alteración de la regulación transcripcional en cáncer	186	0.0061486	<i>BCL6, FLI1, ID2, MET</i>
Degradación de valine, leucina e isoleucina	48	0.015689	<i>HADHA, HMGCL</i>
Metabolismo de ácidos grasos	48	0.015689	<i>HADHA, FADS2</i>
Vía de señalización de Hippo	154	0.023226	<i>CDH1, DLG2, ID2</i>
Unión adherente	72	0.033504	<i>CDH1, MET</i>
Melanoma	72	0.033504	<i>CDH1, MET</i>
Señalización de <i>PPAR</i>	74	0.035231	<i>FADS2, LPL</i>
Invasión bacteriana de células epiteliales	74	0.035231	<i>CDH1, MET</i>
Síntesis y degradación de cuerpos cetónicos	10	0.039471	<i>HMGCL</i>

**Tabla Anexa 7. CpGs diferencialmente metilados validados en cohortes combinadas a un valor de *p* nominal.**

CpG	delta β %	Valor de <i>p</i>	Media del valor β OND	Media del valor β OD	Estado de metilación en OD	Chr	Posición	Símbolo del gen	Localización genómica	Contexto con isla CpG	DMC con la misma dirección en la Tabla 1
cg02517528	-0.10532	0.00088	0.80590	0.70058	hipometilado	12	132068115		IGR	opensea	Si
cg10209670	-0.03016	0.00103	0.94320	0.91304	hipometilado	15	93128681		IGR	opensea	Si
cg26284735	-0.10733	0.00115	0.60266	0.49534	hipometilado	3	5065165		IGR	shelf	Si
cg22398783	0.06972	0.00135	0.59444	0.66416	hipermetilado	9	93880106		IGR	island	Si
cg02786019	-0.02737	0.00180	0.91430	0.88693	hipometilado	7	142582859	<i>TRPV6</i>	BD	opensea	Si
cg05627522	0.03875	0.00193	0.06683	0.10558	hipermetilado	15	75251581		IGR	island	Si
cg09443748	0.04380	0.00197	0.22253	0.26633	hipermetilado	5	174008626		IGR	opensea	Si
cg23985374	0.06845	0.00201	0.51163	0.58008	hipermetilado	5	140240941	<i>PCDHA6</i>	BD	shore	Si
cg11177264	0.04927	0.00231	0.10239	0.15166	hipermetilado	11	64739539	<i>C11orf85</i>	1stExon	island	Si
cg03841028	0.02587	0.00258	0.07341	0.09928	hipermetilado	1	200860378	<i>C1orf106</i>	TSS1500	island	Si
cg03303774	0.09747	0.00262	0.19570	0.29317	hipermetilado	4	1407052		IGR	shore	Si
cg06259025	0.05444	0.00365	0.11478	0.16922	hipermetilado	13	52769875	<i>THSD1P</i>	TSS1500	island	Si
cg27334928	0.07559	0.00373	0.58502	0.66061	hipermetilado	9	102277580		IGR	opensea	Si
cg18351999	0.08116	0.00407	0.14493	0.22609	hipermetilado	11	406901	<i>SIGIRR</i>	BD	island	Si
cg04535120	0.05375	0.00411	0.19284	0.24659	hipermetilado	8	16613053		IGR	opensea	Si
cg06654109	0.04639	0.00424	0.19314	0.23952	hipermetilado	10	50819950	<i>SLC18A3</i>	1stExon	island	Si
cg14878917	0.02719	0.00427	0.07831	0.10551	hipermetilado	1	217311209	<i>ESRRG</i>	TSS200	shore	Si
cg15162392	0.04607	0.00433	0.09410	0.14018	hipermetilado	2	37571729	<i>QPCT</i>	TSS200	island	Si
cg21893210	0.06898	0.00472	0.27542	0.34440	hipermetilado	2	220108407	<i>GLB1L</i>	5'UTR	shore	Si
cg26623444	0.03203	0.00497	0.07985	0.11187	hipermetilado	7	31376092		IGR	island	Si
cg13859847	-0.04639	0.00530	0.64693	0.60054	hipometilado	15	79579422	<i>ANKRD34C</i>	5'UTR	shelf	Si
cg22739207	0.04396	0.00539	0.33225	0.37620	hipermetilado	5	1356382		IGR	opensea	Si
cg08368063	0.04684	0.00540	0.17442	0.22127	hipermetilado	17	27950074		IGR	island	Si
cg13492164	-0.02725	0.00543	0.94146	0.91420	hipometilado	14	78709782		IGR	opensea	Si
cg20584555	-0.05148	0.00560	0.86277	0.81129	hipometilado	11	61717780	<i>BEST1</i>	5'UTR	opensea	Si
cg11283819	0.04890	0.00585	0.17073	0.21963	hipermetilado	13	30689528		IGR	shore	Si
cg05271743	0.08758	0.00585	0.54934	0.63692	hipermetilado	1	205216467	<i>TMCC2</i>	BD	opensea	Si
cg05050864	-0.04047	0.00593	0.59005	0.54958	hipometilado	X	136118853		IGR	shelf	Si
cg00390253	-0.02853	0.00646	0.85437	0.82584	hipometilado	3	50241300	<i>SLC38A3</i>	TSS1500	shore	Si
cg13178295	0.04274	0.00658	0.27935	0.32209	hipermetilado	6	28742980		IGR	opensea	Si
cg17813164	0.02552	0.00667	0.79959	0.82511	hipermetilado	7	75550364	<i>POR</i>	5'UTR	opensea	Si
cg07180307	0.01698	0.00707	0.05153	0.06851	hipermetilado	11	109294168	<i>C11orf87</i>	5'UTR	island	Si
cg17827477	-0.03427	0.00754	0.78116	0.74689	hipometilado	22	49487343		IGR	island	Si
cg11298379	0.05410	0.00757	0.34667	0.40076	hipermetilado	5	1359691		IGR	opensea	Si
cg26434090	0.04576	0.00772	0.66564	0.71140	hipermetilado	11	117665395	<i>DSCAML1</i>	BD	shore	Si
cg01561869	0.07527	0.00782	0.33324	0.40852	hipermetilado	5	140725147	<i>PCDHGA2</i>	BD	island	Si
cg22699620	-0.06678	0.00805	0.58998	0.52320	hipometilado	21	46348691	<i>ITGB2</i>	5'UTR	shelf	Si
cg11247378	0.09423	0.00811	0.45013	0.54436	hipermetilado	22	39784982		IGR	island	Si
cg04557025	0.03952	0.00835	0.85007	0.88959	hipermetilado	10	61112134	<i>FAM13C</i>	BD	opensea	Si
cg06647001	0.03743	0.00842	0.75804	0.79547	hipermetilado	20	23077908		IGR	opensea	Si
cg05844859	-0.06652	0.00872	0.88587	0.81935	hipometilado	3	132444827	<i>NCRNA00119</i>	BD	shelf	Si
cg03413097	0.02010	0.00886	0.07004	0.09013	hipermetilado	7	156811422		IGR	island	Si
cg23715709	-0.06620	0.00910	0.49470	0.42850	hipometilado	1	234086989	<i>SLC35F3</i>	BD	opensea	Si
cg05983315	0.03760	0.00928	0.06093	0.09854	hipermetilado	19	58545837	<i>ZSCAN1</i>	5'UTR	island	Si
cg06869136	0.04310	0.00932	0.79288	0.83598	hipermetilado	4	129879038	<i>SCLT1</i>	BD	opensea	Si
cg24582377	0.06061	0.00945	0.28268	0.34329	hipermetilado	12	58138195	<i>TSPAN31</i>	TSS1500	opensea	Si
cg02741348	0.02743	0.00956	0.76726	0.79468	hipermetilado	3	42574303	<i>VIPR1</i>	BD	shelf	Si
cg04020984	0.05404	0.00975	0.19804	0.25208	hipermetilado	6	26988150	<i>LOC100270746</i>	TSS200	shore	Si
cg05117258	0.04137	0.01037	0.76236	0.80373	hipermetilado	17	43279120		IGR	opensea	Si
cg06647751	0.04676	0.01048	0.08334	0.13011	hipermetilado	10	88149324		IGR	island	Si
cg14759944	0.06533	0.01051	0.58191	0.64724	hipermetilado	5	80009589	<i>MSH3</i>	BD	opensea	Si
cg00345792	-0.02045	0.01072	0.93094	0.91048	hipometilado	1	27877772	<i>AHDC1</i>	BD	shelf	Si
cg25602536	0.02683	0.01100	0.07585	0.10267	hipermetilado	2	8816608		IGR	island	Si
cg08784247	0.08279	0.01148	0.51746	0.60025	hipermetilado	12	81329808	<i>MIR618</i>	TSS200	shore	Si
cg00302703	0.03814	0.01153	0.69399	0.73213	hipermetilado	10	22933635	<i>PIP4K2A</i>	BD	opensea	Si

cg08784247	0.08279	0.01148	0.51746	0.60025	hipermetilado	12	81329808	<i>MIR618</i>	TSS200	shore	Si
cg00302703	0.03814	0.01153	0.69399	0.73213	hipermetilado	10	22933635	<i>PIP4K2A</i>	BD	opensea	Si
cg14869070	0.06389	0.01159	0.65274	0.71664	hipermetilado	1	212336373		IGR	opensea	Si
cg10602248	0.06072	0.01161	0.40313	0.46385	hipermetilado	2	220108337	<i>GLB1L</i>	1stExon	island	Si
cg15081698	0.03853	0.01197	0.11440	0.15292	hipermetilado	6	101847050	<i>GRIK2</i>	5'UTR	island	Si
cg19508458	-0.04830	0.01200	0.72283	0.67454	hipometilado	14	97091902		IGR	opensea	Si
cg09478960	0.02328	0.01202	0.77119	0.79447	hipermetilado	9	129963518	<i>RALGPS1</i>	BD	opensea	Si
cg04751558	0.04217	0.01213	0.08201	0.12418	hipermetilado	10	131927401		IGR	island	Si
cg03240800	0.07414	0.01225	0.73630	0.81044	hipermetilado	5	140219613	<i>PCDHA6</i>	BD	shore	Si
cg19886436	0.02642	0.01255	0.80375	0.83017	hipermetilado	20	18295989	<i>ZNF133</i>	BD	opensea	Si
cg10831628	0.04023	0.01288	0.76196	0.80219	hipermetilado	9	6761547	<i>KDM4C</i>	5'UTR	shelf	Si
cg24859617	-0.06084	0.01310	0.80350	0.74266	hipometilado	11	125656966	<i>PATE3</i>	TSS1500	opensea	Si
cg08378505	0.04842	0.01323	0.10309	0.15151	hipermetilado	17	73127297	<i>NT5C</i>	BD	island	Si
cg25752087	-0.06315	0.01328	0.53493	0.47178	hipometilado	17	12523042		IGR	opensea	Si
cg15878083	0.03333	0.01346	0.74853	0.78186	hipermetilado	8	141227076	<i>TRAPPC9</i>	BD	opensea	Si
cg00564759	0.02303	0.01347	0.22872	0.25175	hipermetilado	16	29818771	<i>MAZ</i>	BD	island	Si
cg18129578	-0.04409	0.01357	0.68103	0.63694	hipometilado	5	95589114	<i>LOC101929710</i>	BD	opensea	Si
cg26367719	-0.04964	0.01374	0.69314	0.64350	hipometilado	19	55875605	<i>FAM71E2</i>	TSS1500	shore	Si
cg25362709	-0.07030	0.01389	0.84380	0.77351	hipometilado	11	124413728	<i>OR8B12</i>	TSS200	opensea	Si
cg18546037	-0.03383	0.01438	0.86291	0.82908	hipometilado	3	121363104	<i>HCLS1</i>	BD	opensea	Si
cg00277334	-0.04585	0.01448	0.35833	0.31248	hipometilado	10	82204260		IGR	opensea	Si
cg18713748	0.04085	0.01466	0.26745	0.30829	hipermetilado	5	140706190		IGR	opensea	Si
cg15165114	0.02195	0.01493	0.56784	0.58979	hipermetilado	X	57936655	<i>ZXDA</i>	1stExon	island	Si
cg23520347	0.08056	0.01502	0.25564	0.33620	hipermetilado	1	206730839	<i>RASSF5</i>	BD	island	Si
cg16680167	-0.03506	0.01515	0.66069	0.62563	hipometilado	7	154474156	<i>DPP6</i>	BD	opensea	Si
cg13481359	0.04836	0.01541	0.29632	0.34468	hipermetilado	2	73520043	<i>EGR4</i>	BD	island	Si
cg00408231	0.03224	0.01569	0.64599	0.67823	hipermetilado	X	100807848	<i>ARMCX1</i>	5'UTR	island	Si
cg01331430	0.02753	0.01601	0.76361	0.79114	hipermetilado	12	105721218	<i>KCCAT198</i>	TSS1500	shelf	Si
cg15611809	0.04567	0.01636	0.73655	0.78222	hipermetilado	5	67483833		IGR	opensea	Si
cg05210266	0.02672	0.01682	0.04979	0.07651	hipermetilado	8	65282507		IGR	island	Si
cg23770419	0.03073	0.01686	0.71594	0.74666	hipermetilado	X	134340778		IGR	opensea	Si
cg16528678	-0.02514	0.01699	0.91744	0.89230	hipometilado	5	94830		IGR	shelf	Si
cg07849604	0.08791	0.01737	0.47979	0.56770	hipermetilado	3	129693134	<i>TRH</i>	TSS200	island	Si
cg11305349	0.02771	0.01767	0.77406	0.80177	hipermetilado	X	119536550		IGR	opensea	Si
cg15077975	0.05592	0.01796	0.58813	0.64405	hipermetilado	3	6781230		IGR	opensea	Si
cg13644300	-0.02189	0.01803	0.91648	0.89459	hipometilado	9	136577774	<i>SARDH</i>	BD	opensea	Si
cg21851210	0.05377	0.01821	0.63983	0.69360	hipermetilado	3	192167183	<i>FGF12</i>	BD	opensea	Si
cg21599081	-0.04658	0.01826	0.84436	0.79778	hipometilado	4	1511568		IGR	shelf	Si
cg04941227	0.03393	0.01839	0.72064	0.75458	hipermetilado	1	11828017	<i>C1orf167</i>	BD	opensea	Si
cg04945312	0.06287	0.01861	0.40077	0.46364	hipermetilado	2	220108383	<i>GLB1L</i>	5'UTR	shore	Si
cg03531673	-0.03711	0.01866	0.71954	0.68243	hipometilado	1	73240887		IGR	opensea	Si
cg01645496	0.02626	0.01882	0.77371	0.79997	hipermetilado	7	47523214	<i>TNS3</i>	5'UTR	opensea	Si
cg18576057	-0.02995	0.01891	0.79308	0.76314	hipometilado	15	98982463	<i>FAM169B</i>	3'UTR	opensea	Si
cg25119870	0.04409	0.01909	0.34269	0.38678	hipermetilado	X	122318637	<i>GRIA3</i>	BD	shore	Si
cg10491628	0.05007	0.01949	0.07006	0.12013	hipermetilado	6	29521220		IGR	island	Si
cg13312094	0.03282	0.01953	0.32408	0.35689	hipermetilado	19	19321359	<i>NCAN</i>	TSS1500	shore	Si
cg07671446	-0.05409	0.01962	0.84308	0.78899	hipometilado	12	55455154		IGR	opensea	Si
cg24533913	0.02568	0.01983	0.05748	0.08315	hipermetilado	22	30116489	<i>CABP7</i>	1stExon	island	Si
cg09811510	-0.08231	0.02021	0.45265	0.37035	hipometilado	3	159590447	<i>SCHIP1</i>	BD	opensea	Si
cg02704069	0.03512	0.02071	0.77949	0.81461	hipermetilado	19	54602735	<i>OSCAR</i>	BD	shelf	Si
cg20174636	0.06405	0.02093	0.13535	0.19940	hipermetilado	2	220299900	<i>SPEG</i>	1stExon	island	Si
cg10897685	0.02566	0.02202	0.74191	0.76757	hipermetilado	10	125004958		IGR	opensea	Si
cg00603982	0.02844	0.02247	0.83620	0.86464	hipermetilado	11	68822544	<i>TPCN2</i>	BD	opensea	Si
cg11301556	0.03223	0.02249	0.14709	0.17933	hipermetilado	20	44657798	<i>SLC12A5</i>	TSS200	island	Si
cg26121234	-0.05213	0.02266	0.50002	0.44789	hipometilado	3	13899618	<i>WNT7A</i>	BD	shelf	Si

cg07969684	-0.03410	0.03605	0.61642	0.58232	hipometilado	2	195154914		IGR	opensea	Si
cg06683094	0.06873	0.03607	0.50321	0.57195	hipermetilado	5	140177056	<i>PCDHA2</i>	BD	shore	Si
cg01157084	0.04258	0.03626	0.15901	0.20159	hipermetilado	X	7063814	<i>HDHD1</i>	BD	shore	Si
cg05898320	-0.04922	0.03691	0.79563	0.74641	hipometilado	3	55442720		IGR	opensea	Si
cg21080275	0.01472	0.03701	0.07389	0.08861	hipermetilado	8	144953114	<i>EPPK1</i>	TSS1500	shore	Si
cg26513818	-0.04628	0.03742	0.80481	0.75853	hipometilado	1	236555214		IGR	shelf	Si
cg26270345	0.01589	0.03757	0.05534	0.07122	hipermetilado	5	180017195	<i>SCGB3A1</i>	3'UTR	island	Si
cg24960057	-0.03873	0.03764	0.64484	0.60611	hipometilado	3	194293992		IGR	opensea	Si
cg22798770	-0.03012	0.03834	0.21898	0.18886	hipometilado	3	39072571		IGR	opensea	Si
cg17749961	-0.15743	0.03851	0.32339	0.16596	hipometilado	2	30669863	<i>LCLAT1</i>	TSS1500	shore	Si
cg10326673	-0.19047	0.03897	0.50132	0.31085	hipometilado	2	30669757	<i>LCLAT1</i>	TSS1500	shore	Si
cg17434329	0.02185	0.03903	0.84894	0.87079	hipermetilado	15	65221053	<i>ANKDD1A</i>	BD	opensea	Si
cg23222160	-0.01733	0.03920	0.90830	0.89097	hipometilado	14	94605081		IGR	opensea	Si
cg00472528	-0.04752	0.03923	0.80102	0.75350	hipometilado	12	124801636		IGR	shelf	Si
cg07573727	0.01581	0.03925	0.09335	0.10916	hipermetilado	14	74706196	<i>VSX2</i>	5'UTR	island	Si
cg08683831	0.05173	0.03947	0.23915	0.29088	hipermetilado	4	1404607		IGR	shore	Si
cg26317209	0.03865	0.03984	0.08552	0.12417	hipermetilado	12	133187136	<i>LRCOL1</i>	TSS200	shore	Si
cg00289431	0.03070	0.04008	0.61227	0.64297	hipermetilado	11	75401420		IGR	opensea	Si
cg19963943	-0.03760	0.04032	0.70772	0.67012	hipometilado	13	47337912		IGR	opensea	Si
cg04790739	0.02707	0.04040	0.72607	0.75314	hipermetilado	12	3072837	<i>TEAD4</i>	5'UTR	shelf	Si
cg26132774	0.01961	0.04074	0.04638	0.06599	hipermetilado	13	79170146		IGR	island	Si
cg02897974	-0.03649	0.04099	0.82290	0.78641	hipometilado	13	112673923		IGR	shelf	Si
cg15819345	-0.03113	0.04117	0.69477	0.66364	hipometilado	7	28579607	<i>CREB5</i>	BD	opensea	Si
cg21809927	0.09775	0.04118	0.33830	0.43605	hipermetilado	6	30079265	<i>TRIM31</i>	BD	opensea	Si
cg04759104	0.03840	0.04128	0.09654	0.13494	hipermetilado	12	133187085	<i>LRCOL1</i>	TSS200	island	Si
cg02243495	0.02070	0.04138	0.08067	0.10137	hipermetilado	17	48227139	<i>PPP1R9B</i>	1stExon	island	Si
cg00511674	0.01780	0.04139	0.06318	0.08099	hipermetilado	16	78080068		IGR	island	Si
cg00367874	0.07185	0.04155	0.54387	0.61572	hipermetilado	2	38713092	<i>LOC101929596</i>	BD	opensea	Si
cg00357221	-0.04985	0.04194	0.78739	0.73754	hipometilado	10	114043412	<i>TECTB</i>	TSS200	opensea	Si
cg26221342	0.01394	0.04208	0.92538	0.93932	hipermetilado	5	1272400	<i>TERT</i>	BD	shore	Si
cg23676439	0.01673	0.04330	0.03778	0.05451	hipermetilado	4	155663836	<i>LRAT</i>	TSS1500	island	Si
cg26268742	-0.01818	0.04332	0.92967	0.91150	hipometilado	19	48563560	<i>PLA2G4C</i>	BD	shore	Si
cg20938047	0.04339	0.04336	0.72310	0.76649	hipermetilado	14	25357032	<i>STXBP6</i>	BD	opensea	Si
cg13837997	-0.03133	0.04364	0.81485	0.78352	hipermetilado	7	156917109		IGR	opensea	Si
cg03495660	-0.01483	0.04400	0.95242	0.93759	hipermetilado	16	1074500		IGR	shelf	Si
cg20361154	0.01100	0.04441	0.02205	0.03305	hipermetilado	22	22862884	<i>ZNF280B</i>	5'UTR	island	Si
cg15941803	0.02593	0.04441	0.11706	0.14300	hipermetilado	16	56623105	<i>MT3</i>	TSS200	island	Si
cg13100130	0.02010	0.04470	0.81850	0.83861	hipermetilado	5	78984248	<i>CMYA5</i>	TSS1500	opensea	Si
cg12923043	0.03336	0.04472	0.73982	0.77317	hipermetilado	5	134544265	<i>C5orf66</i>	5'UTR	opensea	Si
cg01604809	0.01712	0.04476	0.87001	0.88714	hipermetilado	19	5595291	<i>SAFB2</i>	BD	shore	Si
cg26069920	0.06100	0.04480	0.55315	0.61414	hipermetilado	X	75649532	<i>MAGEE1</i>	1stExon	island	Si
cg27307529	0.06282	0.04561	0.60722	0.67004	hipermetilado	9	123844564		IGR	opensea	Si
cg18537464	-0.04405	0.04599	0.60399	0.55994	hipometilado	18	76345144		IGR	opensea	Si
cg22321422	0.02793	0.04605	0.81358	0.84151	hipermetilado	12	132625414	<i>DDX51</i>	BD	shelf	Si
cg08094206	-0.08830	0.04614	0.42643	0.33813	hipometilado	6	30122523	<i>TRIM10</i>	BD	opensea	Si
cg24219671	-0.03699	0.04637	0.82626	0.78927	hipometilado	6	36275520	<i>PNPLA1</i>	3'UTR	opensea	Si
cg27612324	0.04638	0.04662	0.17494	0.22132	hipermetilado	12	133177383		IGR	shore	Si
cg05937941	0.03840	0.04680	0.73597	0.77437	hipermetilado	7	32996314	<i>FKBP9</i>	TSS1500	shore	Si
cg16274229	0.02493	0.04683	0.68765	0.71258	hipermetilado	14	42297732	<i>LRFN5</i>	5'UTR	opensea	Si
cg07046302	0.02871	0.04692	0.78015	0.80885	hipermetilado	16	88904273	<i>GALNS</i>	BD	shore	Si
cg07360658	0.01891	0.04719	0.08160	0.10051	hipermetilado	7	150780793	<i>TMUB1</i>	TSS1500	island	Si
cg04546815	0.02117	0.04739	0.81145	0.83262	hipermetilado	1	62739014	<i>KANK4</i>	BD	opensea	Si
cg21291133	0.04507	0.04756	0.64256	0.68763	hipermetilado	5	79331802	<i>THBS4</i>	TSS200	shore	Si
cg00057134	0.03123	0.04773	0.40980	0.44103	hipermetilado	9	88313473	<i>AGTPBP1</i>	BD	opensea	Si
cg07409443	0.05577	0.04782	0.18444	0.24021	hipermetilado	10	36923818		IGR	opensea	Si
cg26946232	-0.07164	0.04791	0.64738	0.57575	hipometilado	6	166090312		IGR	opensea	Si
cg03950121	-0.02073	0.04810	0.80207	0.78133	hipometilado	10	134016915	<i>DPYSL4</i>	BD	shore	Si
cg19354746	0.01905	0.04828	0.27557	0.29461	hipermetilado	22	50969673	<i>TYMP</i>	TSS1500	island	Si

cg07969684	-0.03410	0.03605	0.61642	0.58232	hipometilado	2	195154914		IGR	opensea	Si
cg06683094	0.06873	0.03607	0.50321	0.57195	hipermetilado	5	140177056	<i>PCDHA2</i>	BD	shore	Si
cg01157084	0.04258	0.03626	0.15901	0.20159	hipermetilado	X	7063814	<i>HDHD1</i>	BD	shore	Si
cg05898320	-0.04922	0.03691	0.79563	0.74641	hipometilado	3	55442720		IGR	opensea	Si
cg21080275	0.01472	0.03701	0.07389	0.08861	hipermetilado	8	144953114	<i>EPPK1</i>	TSS1500	shore	Si
cg26513818	-0.04628	0.03742	0.80481	0.75853	hipometilado	1	236555214		IGR	shelf	Si
cg26270345	0.01589	0.03757	0.05534	0.07122	hipermetilado	5	180017195	<i>SCGB3A1</i>	3'UTR	island	Si
cg24960057	-0.03873	0.03764	0.64484	0.60611	hipometilado	3	194293992		IGR	opensea	Si
cg22798770	-0.03012	0.03834	0.21898	0.18886	hipometilado	3	39072571		IGR	opensea	Si
cg17749961	-0.15743	0.03851	0.32339	0.16596	hipometilado	2	30669863	<i>LCLAT1</i>	TSS1500	shore	Si
cg10326673	-0.19047	0.03897	0.50132	0.31085	hipometilado	2	30669757	<i>LCLAT1</i>	TSS1500	shore	Si
cg17434329	0.02185	0.03903	0.84894	0.87079	hipermetilado	15	65221053	<i>ANKDD1A</i>	BD	opensea	Si
cg23222160	-0.01733	0.03920	0.90830	0.89097	hipometilado	14	94605081		IGR	opensea	Si
cg00472528	-0.04752	0.03923	0.80102	0.75350	hipometilado	12	124801636		IGR	shelf	Si
cg07573727	0.01581	0.03925	0.09335	0.10916	hipermetilado	14	74706196	<i>VSX2</i>	5'UTR	island	Si
cg08683831	0.05173	0.03947	0.23915	0.29088	hipermetilado	4	1404607		IGR	shore	Si
cg26317209	0.03865	0.03984	0.08552	0.12417	hipermetilado	12	133187136	<i>LRCOL1</i>	TSS200	shore	Si
cg00289431	0.03070	0.04008	0.61227	0.64297	hipermetilado	11	75401420		IGR	opensea	Si
cg19963943	-0.03760	0.04032	0.70772	0.67012	hipometilado	13	47337912		IGR	opensea	Si
cg04790739	0.02707	0.04040	0.72607	0.75314	hipermetilado	12	3072837	<i>TEAD4</i>	5'UTR	shelf	Si
cg26132774	0.01961	0.04074	0.04638	0.06599	hipermetilado	13	79170146		IGR	island	Si
cg02897974	-0.03649	0.04099	0.82290	0.78641	hipometilado	13	112673923		IGR	shelf	Si
cg15819345	-0.03113	0.04117	0.69477	0.66364	hipometilado	7	28579607	<i>CREB5</i>	BD	opensea	Si
cg21809927	0.09775	0.04118	0.33830	0.43605	hipermetilado	6	30079265	<i>TRIM31</i>	BD	opensea	Si
cg04759104	0.03840	0.04128	0.09654	0.13494	hipermetilado	12	133187085	<i>LRCOL1</i>	TSS200	island	Si
cg02243495	0.02070	0.04138	0.08067	0.10137	hipermetilado	17	48227139	<i>PPP1R9B</i>	1stExon	island	Si
cg00511674	0.01780	0.04139	0.06318	0.08099	hipermetilado	16	78080068		IGR	island	Si
cg00367874	0.07185	0.04155	0.54387	0.61572	hipermetilado	2	38713092	<i>LOC101929596</i>	BD	opensea	Si
cg00357221	-0.04985	0.04194	0.78739	0.73754	hipometilado	10	114043412	<i>TECTB</i>	TSS200	opensea	Si
cg26221342	0.01394	0.04208	0.92538	0.93932	hipermetilado	5	1272400	<i>TERT</i>	BD	shore	Si
cg23676439	0.01673	0.04330	0.03778	0.05451	hipermetilado	4	155663836	<i>LRAT</i>	TSS1500	island	Si
cg26268742	-0.01818	0.04332	0.92967	0.91150	hipometilado	19	48563560	<i>PLA2G4C</i>	BD	shore	Si
cg20938047	0.04339	0.04336	0.72310	0.76649	hipermetilado	14	25357032	<i>STXBP6</i>	BD	opensea	Si
cg13837997	-0.03133	0.04364	0.81485	0.78352	hipermetilado	7	156917109		IGR	opensea	Si
cg03495660	-0.01483	0.04400	0.95242	0.93759	hipermetilado	16	1074500		IGR	shelf	Si
cg20361154	0.01100	0.04441	0.02205	0.03305	hipermetilado	22	22862884	<i>ZNF280B</i>	5'UTR	island	Si
cg15941803	0.02593	0.04441	0.11706	0.14300	hipermetilado	16	56623105	<i>MT3</i>	TSS200	island	Si
cg13100130	0.02010	0.04470	0.81850	0.83861	hipermetilado	5	78984248	<i>CMYA5</i>	TSS1500	opensea	Si
cg12923043	0.03336	0.04472	0.73982	0.77317	hipermetilado	5	134544265	<i>C5orf66</i>	5'UTR	opensea	Si
cg01604809	0.01712	0.04476	0.87001	0.88714	hipermetilado	19	5595291	<i>SAFB2</i>	BD	shore	Si
cg26069920	0.06100	0.04480	0.55315	0.61414	hipermetilado	X	75649532	<i>MAGEE1</i>	1stExon	island	Si
cg27307529	0.06282	0.04561	0.60722	0.67004	hipermetilado	9	123844564		IGR	opensea	Si
cg18537464	-0.04405	0.04599	0.60399	0.55994	hipometilado	18	76345144		IGR	opensea	Si
cg22321422	0.02793	0.04605	0.81358	0.84151	hipermetilado	12	132625414	<i>DDX51</i>	BD	shelf	Si
cg08094206	-0.08830	0.04614	0.42643	0.33813	hipometilado	6	30122523	<i>TRIM10</i>	BD	opensea	Si
cg24219671	-0.03699	0.04637	0.82626	0.78927	hipometilado	6	36275520	<i>PNPLA1</i>	3'UTR	opensea	Si
cg27612324	0.04638	0.04662	0.17494	0.22132	hipermetilado	12	133177383		IGR	shore	Si
cg05937941	0.03840	0.04680	0.73597	0.77437	hipermetilado	7	32996314	<i>FKBP9</i>	TSS1500	shore	Si
cg16274229	0.02493	0.04683	0.68765	0.71258	hipermetilado	14	42297732	<i>LRFN5</i>	5'UTR	opensea	Si
cg07046302	0.02871	0.04692	0.78015	0.80885	hipermetilado	16	88904273	<i>GALNS</i>	BD	shore	Si
cg07360658	0.01891	0.04719	0.08160	0.10051	hipermetilado	7	150780793	<i>TMUB1</i>	TSS1500	island	Si
cg04546815	0.02117	0.04739	0.81145	0.83262	hipermetilado	1	62739014	<i>KANK4</i>	BD	opensea	Si
cg21291133	0.04507	0.04756	0.64256	0.68763	hipermetilado	5	79331802	<i>THBS4</i>	TSS200	shore	Si
cg00057134	0.03123	0.04773	0.40980	0.44103	hipermetilado	9	88313473	<i>AGTPBP1</i>	BD	opensea	Si
cg07409443	0.05577	0.04782	0.18444	0.24021	hipermetilado	10	36923818		IGR	opensea	Si
cg26946232	-0.07164	0.04791	0.64738	0.57575	hipometilado	6	166090312		IGR	opensea	Si
cg03950121	-0.02073	0.04810	0.80207	0.78133	hipometilado	10	134016915	<i>DPYSL4</i>	BD	shore	Si
cg19354746	0.01905	0.04828	0.27557	0.29461	hipermetilado	22	50969673	<i>TYMP</i>	TSS1500	island	Si

cg10418855	0.03697	0.02276	0.66668	0.70365	hipermetilado	X	23901443	APOO	BD	opensea	Si
cg14536845	0.04763	0.02277	0.48197	0.52960	hipermetilado	12	85818609		IGR	opensea	Si
cg16031338	-0.02631	0.02293	0.83345	0.80714	hipometilado	1	2430136	PLCH2	BD	shelf	Si
cg01495425	0.03990	0.02325	0.61290	0.65280	hipermetilado	15	55401029		IGR	opensea	Si
cg22616881	0.02533	0.02357	0.08441	0.10973	hipermetilado	7	96642096	DLX6AS	BD	shelf	Si
cg10865628	0.02437	0.02419	0.09983	0.12419	hipermetilado	2	115918782	DPP10	TSS1500	island	Si
cg19761110	0.05789	0.02442	0.44038	0.49827	hipermetilado	2	236774071	AGAP1	BD	island	Si
cg11210138	0.08588	0.02489	0.67864	0.76452	hipermetilado	17	46233945	MIR1203	TSS200	opensea	Si
cg25416829	0.02505	0.02504	0.77742	0.80247	hipermetilado	16	3564569	CLUAP1	5'UTR	opensea	Si
cg17283857	0.03113	0.02520	0.07821	0.10934	hipermetilado	10	102989315	FLJ41350	TSS200	island	Si
cg00491523	-0.05852	0.02594	0.46122	0.40269	hipometilado	16	6913336	A2BP1	5'UTR	opensea	Si
cg25452854	0.02181	0.02638	0.10433	0.12614	hipermetilado	1	217311234	ESRRG	TSS200	shore	Si
cg00699993	0.01630	0.02645	0.03952	0.05582	hipermetilado	4	158141570	GRIA2	TSS200	island	Si
cg07626700	0.06965	0.02645	0.67641	0.74607	hipermetilado	7	156741534	NOM1	TSS1500	island	Si
cg13378934	0.04269	0.02662	0.24831	0.29100	hipermetilado	19	47910580	MEIS3	BD	shore	Si
cg05279229	-0.04121	0.02688	0.83930	0.79808	hipometilado	7	1896384	MAD1L1	BD	island	Si
cg10730349	0.02711	0.02699	0.05332	0.08043	hipermetilado	11	35441796	SLC1A2	TSS1500	island	Si
cg17333895	0.03451	0.02705	0.69056	0.72507	hipermetilado	1	43823552	CDC20	TSS1500	shore	Si
cg19969083	0.07135	0.02705	0.53630	0.60765	hipermetilado	13	106753187		IGR	opensea	Si
cg00852921	0.05248	0.02724	0.52390	0.57638	hipermetilado	20	62120544	EEF1A2	BD	island	Si
cg10815453	0.08410	0.02753	0.44864	0.53273	hipermetilado	21	45122781		IGR	opensea	Si
cg08247321	0.08739	0.02762	0.51078	0.59818	hipermetilado	13	33479697	LINC00423	BD	opensea	Si
cg02522035	0.02066	0.02771	0.07955	0.10021	hipermetilado	16	78037098		IGR	opensea	Si
cg01622718	0.04515	0.02773	0.79556	0.84072	hipermetilado	7	158363414	PTPRN2	BD	shore	Si
cg15221280	0.02845	0.02791	0.75879	0.78724	hipermetilado	12	9242536	A2M	BD	opensea	Si
cg15652532	-0.22553	0.02795	0.54960	0.32407	hipometilado	2	30669759	LCLAT1	TSS1500	shore	Si
cg16345720	-0.04966	0.02796	0.82932	0.77966	hipometilado	11	64727184	C11orf85	5'UTR	opensea	Si
cg17367844	0.02230	0.02808	0.82084	0.84315	hipermetilado	17	66382274	ARSG	BD	opensea	Si
cg13359356	0.02597	0.02913	0.75200	0.77796	hipermetilado	14	24738503	RABGGTA	BD	shelf	Si
cg05759948	-0.03639	0.02915	0.76563	0.72923	hipometilado	10	54532533	MBL2	TSS1500	opensea	Si
cg01255414	0.01785	0.02928	0.05187	0.06973	hipermetilado	3	192127991	FGF12	TSS1500	island	Si
cg20334313	0.02586	0.02970	0.10872	0.13458	hipermetilado	8	50822381		IGR	island	Si
cg19935951	0.04805	0.02983	0.51904	0.56709	hipermetilado	4	151258915	LRBA	BD	opensea	Si
cg09259517	0.03178	0.02998	0.73790	0.76968	hipermetilado	8	130116116		IGR	opensea	Si
cg20314884	0.04041	0.03010	0.55759	0.59801	hipermetilado	2	220108094	GLB1L	BD	island	Si
cg19525261	-0.06559	0.03016	0.47246	0.40687	hipometilado	11	91864865		IGR	opensea	Si
cg06784574	-0.02131	0.03022	0.89412	0.87281	hipometilado	16	46745827	MYLK3	BD	opensea	Si
cg14306652	-0.05993	0.03080	0.28923	0.22930	hipometilado	X	122217799		IGR	opensea	Si
cg22028894	0.03506	0.03094	0.78373	0.81879	hipermetilado	5	140719360	PCDHGA2	1stExon	shore	Si
cg00878516	-0.01450	0.03139	0.94793	0.93343	hipometilado	19	35842853	FFAR1	1stExon	island	Si
cg23405658	0.02450	0.03158	0.80252	0.82702	hipermetilado	11	763824	TALDO1	BD	opensea	Si
cg09827139	0.02582	0.03171	0.13996	0.16578	hipermetilado	4	1401710	NKX1-1	TSS1500	island	Si
cg22889573	0.01630	0.03209	0.04758	0.06388	hipermetilado	3	134369939	KY	TSS200	island	Si
cg21133868	-0.03592	0.03210	0.66729	0.63136	hipometilado	5	1224256	SLC6A19	3'UTR	shelf	Si
cg07907386	0.01566	0.03271	0.04744	0.06310	hipermetilado	4	41749443	PHOX2B	BD	island	Si
cg24622544	0.05067	0.03294	0.34555	0.39623	hipermetilado	12	121021673		IGR	shore	Si
cg27333886	0.03776	0.03323	0.48723	0.52499	hipermetilado	19	47713807	SAE1	3'UTR	opensea	Si
cg09803494	0.03029	0.03350	0.70767	0.73796	hipermetilado	8	116575634	TRPS1	BD	opensea	Si
cg20494424	-0.02719	0.03380	0.85291	0.82572	hipometilado	14	101970709		IGR	opensea	Si
cg26293825	0.02679	0.03387	0.72548	0.75227	hipermetilado	X	152040592		IGR	opensea	Si
cg14003931	0.06648	0.03418	0.25893	0.32541	hipermetilado	10	134938469	GPR123	BD	island	Si
cg27127814	0.01636	0.03424	0.03237	0.04874	hipermetilado	13	53425257		IGR	island	Si
cg14006181	0.02945	0.03461	0.10384	0.13329	hipermetilado	14	29254942	C14orf23	BD	island	Si
cg10389436	0.04039	0.03524	0.71099	0.75138	hipermetilado	X	26210406	MAGEB6	TSS200	opensea	Si
cg05018974	0.02895	0.03530	0.76543	0.79437	hipermetilado	19	3015439	TLE2	BD	opensea	Si
cg25874108	-0.03676	0.03539	0.57849	0.54174	hipometilado	17	72892908		IGR	shelf	Si
cg08697310	0.05030	0.03545	0.47474	0.52504	hipermetilado	11	64739810	C11orf85	TSS1500	shore	Si
cg27220549	0.02813	0.03575	0.76286	0.79099	hipermetilado	2	242289494	44806	EB	opensea	Si
cg03533472	0.04066	0.03582	0.36189	0.40254	hipermetilado	16	46919112	GPT2	BD	shore	Si
cg14544225	-0.03227	0.03589	0.88152	0.84925	hipometilado	17	11139650		IGR	shelf	Si

cg20847018	-0.03723	0.04861	0.85867	0.82144	hipometilado	11	116580245		IGR	shore	Si
cg08535112	-0.02299	0.04905	0.87677	0.85377	hipometilado	10	61418311	<i>SLC16A9</i>	BD	opensea	Si
cg11072367	0.02425	0.04913	0.76442	0.78867	hipermetilado	14	77409055		IGR	opensea	Si
cg04821009	0.02652	0.04926	0.88752	0.91403	hipermetilado	5	94982163	<i>RFESD</i>	TSS1500	shore	Si
cg04194073	0.03765	0.04927	0.08432	0.12197	hipermetilado	22	50064930		IGR	island	Si
cg19834745	0.02028	0.04952	0.80065	0.82093	hipermetilado	16	68777093	<i>CDH1</i>	BD	opensea	Si
cg10193817	0.02147	0.04988	0.07382	0.09529	hipermetilado	11	115375226	<i>CADM1</i>	5'UTR	island	Si

**Tabla Anexa 8. Análisis de enriquecimiento de vías de la Enciclopedia de Genes y Genomas de Kioto de los CpGs diferencialmente metilados validados con la misma dirección en la Tabla 2**

Descripción	Tamaño	Valor de <i>p</i>	FDR	Pathways included in Tabla 4	Símbolo del gen
Sinápsis glutamatérgica	114	6.3105E-05	0.020572	Si	<i>GRIA2, GRIA3, GRIK2, PLA2G4C, SLC1A2, SLC38A3</i>
Depresión a largo término	60	0.0058546	0.90039	Si	<i>GRIA2, GRIA3, PLA2G4C</i>
Adicción a amfetaminas	68	0.0082858	0.90039		<i>CREB5, GRIA2, GRIA3</i>
Cascada de coagulación y del complemento	79	0.012474	0.94487		<i>A2M, ITGB2, MBL2</i>
Vía de señalización de Hippo	154	0.014492	0.94487	Si	<i>CDH1, ITGB2, TEAD4, WNT7A</i>
Adicción a nicotina	40	0.024953	1		<i>GRIA2, GRIA3</i>
Cáncer de vejiga	41	0.026131	1		<i>CDH1, TYMP</i>
Adicción a cocaína	49	0.036334	1		<i>CREB5, GRIA2</i>
Malaria	49	0.036334	1		<i>ITGB2, THBS4</i>
Absorción de minerales	51	0.03909	1		<i>SLC6A19, TRPV6</i>

**Tabla Anexa 9. CpGs diferencialmente metilados entre pacientes con obesidad y diabetes tipo 2 y pacientes con obesidad y sin diabetes tipo 2 del análisis de metilación extendida.**

CpG	delta β %	FDR	Media del valor β OND	Media del valor β OD	Estado de metilación en OD	Chr	Posición	Símbolo del gen	Localización genómica	Contexto con isla CpG	DMCs included in Tabla 2
cg01500431	-25.6973	0.0382	0.88885	0.6318767	hipometilado	22	24388327	<i>GSTTP2</i>	BD	shelf	Si
cg15652532	-25.118	0.028	0.581	0.330	hipometilado	2	30669759	<i>LCLAT1</i>	TSS1500	shore	Si
cg10326673	-21.522	0.030	0.534	0.319	hipometilado	2	30669757	<i>LCLAT1</i>	TSS1500	shore	Si
cg17749961	-19.552	0.014	0.344	0.149	hipometilado	2	30669863	<i>LCLAT1</i>	TSS1500	shore	Si
cg05586384	10.454	0.026	0.112	0.216	hipermetilado	10	64005030	<i>RTKN2</i>	BD	opensea	Si
cg19525261	-10.445	0.001	0.514	0.409	hipometilado	11	91864865		Intergenic	opensea	Si
cg02174092	10.370	0.021	0.180	0.284	hipermetilado	10	43846539		Intergenic	island	Si
cg03327325	8.984	0.025	0.262	0.352	hipermetilado	10	43846574		Intergenic	island	Si
cg03303774	8.869	0.000	0.186	0.275	hipermetilado	4	1407052		Intergenic	shore	Si
cg21809927	8.719	0.046	0.355	0.442	hipermetilado	6	30079265	<i>TRIM31</i>	BD	opensea	Si
cg26284735	-8.698	0.002	0.579	0.492	hipometilado	3	5065165		Intergenic	shelf	Si
cg00277334	-8.620	0.001	0.394	0.308	hipometilado	10	82204260		Intergenic	opensea	Si
cg02517528	-8.158	0.005	0.781	0.700	hipometilado	12	132068115		Intergenic	opensea	Si
cg26946232	-7.854	0.017	0.678	0.599	hipometilado	6	166090312		Intergenic	opensea	Si
cg13448197	7.781	0.028	0.156	0.233	hipermetilado	10	43846281		Intergenic	island	Si
cg20905180	7.635	0.010	0.655	0.731	hipermetilado	8	11149412	<i>MTMR9</i>	BD	opensea	Si
cg25258098	-7.383	0.047	0.450	0.377	hipometilado	11	396794	<i>PKP3</i>	BD	island	Si
cg01353941	7.167	0.026	0.569	0.640	hipermetilado	3	191781655		Intergenic	opensea	Si
cg22699620	-7.055	0.004	0.567	0.497	hipometilado	21	46348691	<i>ITGB2</i>	5'UTR	shelf	Si
cg04106633	6.938	0.041	0.794	0.864	hipermetilado	4	1044584		Intergenic	island	Si
cg17643330	-6.852	0.037	0.497	0.429	hipometilado	5	20421453	<i>CDH18</i>	5'UTR	opensea	Si
cg12885826	-6.769	0.034	0.599	0.531	hipometilado	11	85757355	<i>PICALM</i>	5'UTR	opensea	Si
cg23985374	6.752	0.000	0.492	0.560	hipermetilado	5	140240941	<i>PCDHA6</i>	BD	shore	Si
cg01794156	-6.692	0.046	0.550	0.483	hipometilado	11	397077	<i>PKP3</i>	BD	island	Si
cg20574820	-6.654	0.013	0.671	0.604	hipometilado	4	81230962		Intergenic	opensea	Si
cg09811510	-6.643	0.016	0.430	0.364	hipometilado	3	159590447	<i>SCHIP1</i>	BD	opensea	Si
cg01988559	6.600	0.027	0.708	0.774	hipermetilado	8	222125		Intergenic	opensea	Si
cg27661394	-6.489	0.016	0.736	0.671	hipometilado	4	4661952		Intergenic	opensea	Si
cg23012519	-6.458	0.019	0.272	0.208	hipometilado	11	397486	<i>PKP3</i>	BD	shore	Si
cg15228618	-6.407	0.020	0.286	0.222	hipometilado	18	55448441	<i>ATP8B1</i>	5'UTR	opensea	Si
cg24417482	-6.342	0.034	0.562	0.499	hipometilado	1	66488936	<i>PDE4B</i>	BD	opensea	Si
cg00528572	6.332	0.037	0.238	0.301	hipermetilado	11	92703433	<i>MTNR1B</i>	BD	island	Si
cg22398783	6.284	0.001	0.594	0.657	hipermetilado	9	93880106		Intergenic	island	Si
cg23495647	-6.268	0.025	0.633	0.571	hipometilado	4	170284641		Intergenic	opensea	Si
cg11469098	6.257	0.038	0.219	0.282	hipermetilado	8	49647809	<i>EFCAB1</i>	5'UTR	island	Si
cg18351999	6.248	0.007	0.126	0.188	hipermetilado	11	406901	<i>SIGIRR</i>	BD	island	Si
cg15014164	-6.234	0.008	0.635	0.573	hipometilado	9	2251185		Intergenic	opensea	Si
cg24859617	-6.213	0.001	0.821	0.759	hipometilado	11	125656966	<i>PATE3</i>	TSS1500	opensea	Si
cg00168240	-6.155	0.008	0.801	0.740	hipometilado	1	3347457	<i>PRDM16</i>	BD	shelf	Si
cg03673989	-6.073	0.036	0.832	0.771	hipometilado	11	380069	<i>B4GALNT4</i>	BD	island	Si
cg00658016	6.060	0.031	0.118	0.179	hipermetilado	3	178865678	<i>PIK3CA</i>	TSS1500	shore	Si
cg24280832	-6.032	0.020	0.529	0.469	hipometilado	10	77871958	<i>C10orf11</i>	BD	shore	Si
cg25482834	-5.926	0.019	0.715	0.656	hipometilado	8	39717480		Intergenic	opensea	Si
cg09086168	-5.875	0.007	0.767	0.709	hipometilado	4	70803577	<i>CSN1S1</i>	BD	opensea	Si
cg06522515	-5.861	0.010	0.714	0.656	hipometilado	3	184090630	<i>THPO</i>	BD	opensea	Si
cg26529538	-5.845	0.010	0.701	0.643	hipometilado	10	114074165	<i>GUCY2GP</i>	BD	opensea	Si
cg18801955	-5.828	0.014	0.630	0.572	hipometilado	11	15651124		Intergenic	opensea	Si
cg18809706	-5.810	0.040	0.721	0.663	hipometilado	7	143209945		Intergenic	shore	Si
cg07626700	5.801	0.027	0.684	0.742	hipermetilado	7	156741534	<i>NOM1</i>	TSS1500	island	Si
cg05346981	-5.794	0.016	0.652	0.594	hipometilado	1	218649868	<i>MIR548F3</i>	BD	opensea	Si
cg10151737	-5.771	0.029	0.161	0.103	hipometilado	6	170615854	<i>FAM120B</i>	1stExon	island	Si
cg08784247	5.747	0.028	0.527	0.585	hipermetilado	12	81329808	<i>MIR618</i>	TSS200	shore	Si
cg20336571	5.714	0.025	0.510	0.567	hipermetilado	10	71812134	<i>H2AFY2</i>	TSS1500	shore	Si
cg03240800	5.692	0.034	0.750	0.806	hipermetilado	5	140219613	<i>PCDHA6</i>	BD	shore	Si

cg25362709	-5.621	0.009	0.842	0.785	hipometilado	11	124413728	<i>OR8B12</i>	TSS200	opensea	Si
cg27401755	-5.574	0.039	0.742	0.686	hipometilado	8	100371135	<i>VPS13B</i>	BD	opensea	Si
cg16745033	-5.501	0.009	0.267	0.212	hipometilado	8	81143546		Intergenic	opensea	Si
cg27334928	5.485	0.014	0.603	0.658	hipermetilado	9	102277580		Intergenic	opensea	Si
cg04265011	-5.475	0.048	0.324	0.270	hipometilado	1	95428129	<i>LOC729970</i>	BD	opensea	Si
cg15546412	-5.434	0.040	0.670	0.615	hipometilado	4	159985919		Intergenic	opensea	Si
cg09747162	5.427	0.032	0.641	0.695	hipermetilado	1	35227074	<i>GJB4</i>	BD	island	Si
cg09541526	-5.411	0.031	0.445	0.391	hipometilado	3	164448691	<i>LINC01324</i>	BD	opensea	Si
cg24727089	-5.396	0.044	0.618	0.564	hipometilado	18	54259794		Intergenic	opensea	Si
cg02526277	5.342	0.043	0.421	0.474	hipermetilado	11	18230620	<i>LOC494141</i>	TSS200	island	Si
cg14195119	-5.252	0.024	0.549	0.497	hipometilado	12	109316118	<i>SVOP</i>	BD	opensea	Si
cg05898320	-5.251	0.020	0.789	0.736	hipometilado	3	55442720		Intergenic	opensea	Si
cg24960057	-5.222	0.001	0.644	0.591	hipometilado	3	194293992		Intergenic	opensea	Si
cg11635197	5.206	0.015	0.572	0.624	hipermetilado	11	66193993	<i>NPAS4</i>	3'UTR	opensea	Si
cg21893210	5.186	0.012	0.267	0.319	hipermetilado	2	220108407	<i>GLB1L</i>	5'UTR	shore	Si
cg00993076	-5.147	0.038	0.546	0.495	hipometilado	7	106280967		Intergenic	opensea	Si
cg07859753	-5.131	0.043	0.702	0.650	hipometilado	13	96300257		Intergenic	shelf	Si
cg05411132	5.106	0.043	0.661	0.712	hipermetilado	X	99195115	<i>LOC442459</i>	TSS1500	shore	Si
cg01561869	5.099	0.033	0.329	0.380	hipermetilado	5	140725147	<i>PCDHGA2</i>	BD	island	Si
cg07766402	-5.057	0.048	0.540	0.490	hipometilado	17	2143584	<i>SMG6</i>	5'UTR	opensea	Si
cg15287044	-5.056	0.019	0.692	0.641	hipometilado	19	24269525	<i>ZNF254</i>	TSS1500	opensea	Si
cg18123184	-5.051	0.028	0.576	0.525	hipometilado	9	77461952	<i>TRPM6</i>	BD	opensea	Si
cg24347525	-5.038	0.013	0.528	0.477	hipometilado	5	146603831		Intergenic	opensea	Si
cg16532685	-5.016	0.003	0.856	0.806	hipometilado	19	24182604		Intergenic	opensea	Si
cg26790981	-5.011	0.037	0.709	0.658	hipometilado	19	33281643	<i>TDRD12</i>	3'UTR	opensea	Si
cg09750510	-5.006	0.010	0.818	0.768	hipometilado	6	25761690	<i>SLC17A4</i>	5'UTR	opensea	Si
cg02871941	5.006	0.040	0.829	0.879	hipermetilado	19	33210836	<i>TDRD12</i>	5'UTR	island	Si
cg14189878	-4.941	0.007	0.686	0.636	hipometilado	10	4569800		Intergenic	opensea	Si
cg10602248	4.922	0.020	0.389	0.438	hipermetilado	2	220108337	<i>GLB1L</i>	1stExon	island	Si
cg13099429	4.911	0.039	0.332	0.381	hipermetilado	14	70827109	<i>COX16</i>	TSS1500	shore	Si
cg01578632	4.894	0.045	0.596	0.645	hipermetilado	16	69958298	<i>WWP2</i>	TSS1500	opensea	Si
cg05844859	-4.893	0.005	0.883	0.834	hipometilado	3	132444827	<i>NCRNA00119</i>	BD	shelf	Si
cg24975688	-4.891	0.003	0.598	0.549	hipometilado	21	46786707		Intergenic	shore	Si
cg17376853	4.886	0.028	0.618	0.667	hipermetilado	11	405970	<i>SIGIRR</i>	BD	shore	Si
cg01722932	4.874	0.034	0.284	0.333	hipermetilado	11	92702653	<i>MTNR1B</i>	TSS200	shore	Si
cg01766743	-4.827	0.016	0.870	0.821	hipometilado	12	24608519	<i>SOX5</i>	5'UTR	opensea	Si
cg19969083	4.824	0.045	0.548	0.597	hipermetilado	13	106753187		Intergenic	opensea	Si
cg01322142	4.818	0.017	0.602	0.650	hipermetilado	4	786718	<i>CPLX1</i>	BD	shore	Si
cg10190509	-4.796	0.009	0.762	0.714	hipometilado	17	34308137	<i>CCL16</i>	BD	opensea	Si
cg27657459	-4.788	0.038	0.890	0.842	hipometilado	17	54853771		Intergenic	shelf	Si
cg09726240	4.786	0.028	0.200	0.248	hipermetilado	11	70672878	<i>SHANK2</i>	BD	island	Si
cg27612324	4.767	0.020	0.170	0.218	hipermetilado	12	133177383		Intergenic	shore	Si
cg02711652	4.742	0.009	0.088	0.135	hipermetilado	17	63555717	<i>AXIN2</i>	5'UTR	shore	Si
cg10653532	4.726	0.037	0.851	0.898	hipermetilado	6	11048137		Intergenic	shelf	Si
cg00354692	-4.706	0.032	0.755	0.708	hipometilado	5	82878006	<i>VCAN</i>	3'UTR	opensea	Si
cg26519249	-4.699	0.007	0.686	0.639	hipometilado	8	123682301		Intergenic	opensea	Si
cg23715709	-4.698	0.015	0.495	0.448	hipometilado	1	234086989	<i>SLC35F3</i>	BD	opensea	Si
cg05050864	-4.682	0.004	0.589	0.542	hipometilado	X	136118853		Intergenic	shelf	Si
cg06104343	-4.647	0.018	0.778	0.732	hipometilado	17	70392577		Intergenic	opensea	Si
cg06541218	-4.643	0.047	0.786	0.740	hipometilado	2	146798769		Intergenic	opensea	Si
cg06148154	-4.616	0.036	0.812	0.765	hipometilado	5	134510531	<i>C5orf66</i>	5'UTR	opensea	Si
cg26367719	-4.612	0.004	0.695	0.649	hipometilado	19	55875605	<i>FAM71E2</i>	TSS1500	shore	Si
cg16240755	-4.603	0.048	0.694	0.648	hipometilado	2	101959078		Intergenic	opensea	Si
cg07053841	-4.603	0.043	0.540	0.494	hipometilado	6	29012588	<i>OR2W1</i>	1stExon	opensea	Si
cg16345720	-4.599	0.013	0.810	0.764	hipometilado	11	64727184	<i>C11orf85</i>	5'UTR	opensea	Si
cg22199118	-4.592	0.020	0.596	0.550	hipometilado	8	69350927	<i>C8orf34</i>	5'UTR	opensea	Si
cg14825736	-4.591	0.006	0.730	0.684	hipometilado	5	142077949	<i>FGF1</i>	TSS1500	opensea	Si
cg26036125	-4.559	0.002	0.823	0.777	hipometilado	18	74841187	<i>MBP</i>	5'UTR	shelf	Si
cg25157999	-4.559	0.003	0.837	0.792	hipometilado	12	657046	<i>B4GALNT3</i>	BD	opensea	Si
cg10815453	4.549	0.022	0.444	0.489	hipometilado	21	45122781		Intergenic	opensea	Si

cg24622544	4.549	0.023	0.355	0.400	hipermetilado	12	121021673		Intergenic	shore	Si
cg21796547	-4.536	0.008	0.201	0.156	hipometilado	14	73705457	PAPLN	5'UTR	shore	Si
cg05398321	-4.533	0.049	0.894	0.849	hipometilado	14	91700968	GPR68	BD	island	Si
cg13859847	-4.527	0.014	0.638	0.592	hipometilado	15	79579422	ANKRD34C	5'UTR	shelf	Si
cg04490211	-4.515	0.007	0.843	0.798	hipometilado	10	110946662		Intergenic	opensea	Si
cg14456855	-4.515	0.030	0.728	0.683	hipometilado	3	183653938	ABCC5	BD	opensea	Si
cg19105362	4.514	0.034	0.161	0.206	hipometilado	10	71929497	SAR1A	5'UTR	shore	Si
cg17908947	-4.500	0.006	0.846	0.801	hipometilado	22	38600334	MAFF	5'UTR	shore	Si
cg03682453	-4.490	0.016	0.829	0.784	hipometilado	3	16113103		Intergenic	opensea	Si
cg21512324	-4.475	0.023	0.760	0.715	hipometilado	8	89718417		Intergenic	opensea	Si
cg00009304	-4.470	0.042	0.769	0.724	hipometilado	11	4871187	OR51S1	TSS1500	opensea	Si
cg11315777	4.449	0.025	0.254	0.298	hipometilado	21	30449989	MAP3K7CL	1stExon	shelf	Si
cg12652240	-4.449	0.010	0.625	0.581	hipometilado	9	113188514	SVEP1	BD	opensea	Si
cg07731620	4.440	0.026	0.138	0.182	hipometilado	6	41340500		Intergenic	shore	Si
cg19935951	4.433	0.012	0.528	0.573	hipometilado	4	151258915	LRBA	BD	opensea	Si
cg02873315	4.429	0.043	0.630	0.674	hipometilado	10	131927449		Intergenic	island	Si
cg10217853	-4.415	0.014	0.635	0.591	hipometilado	15	98505199	ARRDC4	BD	shore	Si
cg08941098	-4.392	0.021	0.819	0.775	hipometilado	7	141244370		Intergenic	opensea	Si
cg03768897	-4.370	0.036	0.838	0.794	hipometilado	10	127588272	FANK1	BD	shelf	Si
cg09066361	4.362	0.032	0.508	0.552	hipometilado	7	126890254	GRM8	5'UTR	shore	Si
cg04535803	4.342	0.010	0.211	0.254	hipometilado	X	33744947		Intergenic	island	Si
cg10086067	-4.339	0.024	0.684	0.641	hipometilado	17	50931889		Intergenic	opensea	Si
cg14869070	4.311	0.026	0.681	0.724	hipometilado	1	212336373		Intergenic	opensea	Si
cg06338499	4.303	0.026	0.423	0.466	hipometilado	18	34854300	BRUNOL4	BD	island	Si
cg04523791	-4.286	0.047	0.728	0.685	hipometilado	4	59849905		Intergenic	opensea	Si
cg00265891	-4.286	0.050	0.625	0.582	hipometilado	3	171471619	PLD1	5'UTR	opensea	Si
cg14223723	-4.274	0.033	0.747	0.704	hipometilado	2	99279985	MGAT4A	TSS200	opensea	Si
cg04789475	-4.266	0.020	0.616	0.573	hipometilado	4	186960991		Intergenic	opensea	Si
cg21044139	4.254	0.035	0.704	0.747	hipometilado	16	81254139	PKD1L2	TSS200	opensea	Si
cg15873301	4.248	0.042	0.116	0.159	hipometilado	3	12045459	SYN2	TSS1500	shore	Si
cg18537464	-4.235	0.041	0.603	0.561	hipometilado	18	76345144		Intergenic	opensea	Si
cg14527022	-4.232	0.007	0.353	0.310	hipometilado	5	107177134		Intergenic	opensea	Si
cg05271743	4.215	0.030	0.570	0.612	hipometilado	1	205216467	TMCC2	BD	opensea	Si
cg02685978	4.215	0.034	0.702	0.744	hipometilado	6	100065987		Intergenic	shore	Si
cg27451362	4.211	0.026	0.149	0.192	hipometilado	6	101846650	GRIK2	TSS1500	shore	Si
cg09508281	4.189	0.021	0.296	0.338	hipometilado	4	71503375	ENAM	BD	opensea	Si
cg26200533	-4.188	0.038	0.434	0.393	hipometilado	3	136612977	NCK1	5'UTR	opensea	Si
cg23194938	-4.183	0.027	0.760	0.719	hipometilado	21	16388312	NRIP1	5'UTR	opensea	Si
cg25119870	4.182	0.022	0.322	0.364	hipometilado	X	122318637	GRIA3	BD	shore	Si
cg09393309	-4.178	0.043	0.552	0.510	hipometilado	2	200815984	TYW5	BD	opensea	Si
cg19761110	4.167	0.034	0.457	0.499	hipometilado	2	236774071	AGAP1	BD	island	Si
cg13481359	4.164	0.014	0.298	0.340	hipometilado	2	73520043	EGR4	BD	island	Si
cg13407169	-4.160	0.013	0.657	0.616	hipometilado	2	74731413	LOC151534	BD	shore	Si
cg10691430	-4.126	0.034	0.649	0.608	hipometilado	2	68107369		Intergenic	opensea	Si
cg25752087	-4.113	0.048	0.507	0.466	hipometilado	17	12523042		Intergenic	opensea	Si
cg23999956	-4.072	0.012	0.779	0.738	hipometilado	5	27437552		Intergenic	opensea	Si
cg05626790	4.063	0.039	0.060	0.100	hipometilado	12	133187174		Intergenic	shore	Si
cg23944682	4.061	0.035	0.186	0.227	hipometilado	X	49969429		Intergenic	opensea	Si
cg23546097	-4.059	0.015	0.548	0.508	hipometilado	16	15740943	NDE1	5'UTR	shelf	Si
cg15662730	-4.053	0.013	0.515	0.475	hipometilado	19	30050792	VSTM2B	BD	opensea	Si
cg19508458	-4.053	0.012	0.714	0.673	hipometilado	14	97091902		Intergenic	opensea	Si
cg11533763	-4.052	0.032	0.744	0.704	hipometilado	10	88227406	WAPAL	BD	opensea	Si
cg04435377	-4.048	0.020	0.822	0.782	hipometilado	22	23744094	ZDHHC8P	BD	opensea	Si
cg25093813	4.035	0.049	0.316	0.356	hipometilado	2	45030336		Intergenic	shore	Si
cg09666191	-4.019	0.048	0.585	0.545	hipometilado	10	105786728	SLK	3'UTR	opensea	Si
cg26069920	4.017	0.029	0.534	0.574	hipometilado	X	75649532	MAGEE1	1stExon	island	Si
cg04455058	4.013	0.009	0.070	0.110	hipometilado	9	139085579		Intergenic	island	Si
cg16754015	-4.001	0.021	0.891	0.851	hipometilado	10	1415068	ADARB2	BD	shore	Si
cg03593280	-3.991	0.005	0.187	0.147	hipometilado	7	106300098	FLJ36031	3'UTR	shore	Si
cg04853129	-3.988	0.020	0.676	0.637	hipometilado	10	71244851	TSPAN15	BD	opensea	Si
cg01975548	3.985	0.036	0.134	0.174	hipometilado	2	166060639	SCN3A	TSS200	opensea	Si
cg13588987	-3.984	0.018	0.590	0.550	hipometilado	13	73112437		Intergenic	opensea	Si
cg23620343	-3.983	0.017	0.716	0.676	hipometilado	8	58944148	FAM110B	EB	opensea	Si

cg20031327	-3.979	0.013	0.712	0.672	hipometilado	7	151033415		Intergenic	opensea	Si
cg16311536	3.967	0.020	0.155	0.194	hipermetilado	10	105344174	<i>NEURL</i>	BD	island	Si
cg25626441	-3.960	0.029	0.915	0.876	hipometilado	X	77152114	<i>MAGT1</i>	TSS1500	shore	Si
cg02899584	-3.956	0.030	0.548	0.509	hipometilado	11	27240063	<i>BBOX1-AS1</i>	BD	opensea	Si
cg01285144	3.941	0.043	0.217	0.257	hipermetilado	11	5174983	<i>OR52A1</i>	TSS1500	opensea	Si
cg16192086	-3.940	0.031	0.661	0.621	hipometilado	2	114588977	<i>OC101060091</i>	BD	opensea	Si
cg17303779	-3.936	0.014	0.585	0.545	hipometilado	5	179532989	<i>RASGEF1C</i>	BD	opensea	Si
cg26121234	-3.927	0.030	0.473	0.434	hipometilado	3	13899618	<i>WNT7A</i>	BD	shelf	Si
cg22028894	3.923	0.006	0.782	0.821	hipermetilado	5	140719360	<i>PCDHGA2</i>	1stExon	shore	Si
cg04987487	-3.921	0.016	0.527	0.488	hipometilado	7	112214030		Intergenic	opensea	Si
cg00496544	-3.916	0.012	0.597	0.558	hipometilado	9	32819000		Intergenic	opensea	Si
cg09142476	-3.909	0.009	0.798	0.759	hipometilado	2	186526128		Intergenic	opensea	Si
cg23427525	-3.907	0.012	0.706	0.667	hipometilado	3	190104590	<i>CLDN16</i>	TSS1500	opensea	Si
cg09686331	-3.903	0.037	0.598	0.559	hipometilado	5	132581465	<i>FSTL4</i>	BD	opensea	Si
cg19452802	3.901	0.041	0.312	0.351	hipermetilado	6	46459961		Intergenic	shore	Si
cg25456593	3.900	0.037	0.167	0.206	hipermetilado	11	70672858	<i>SHANK2</i>	BD	island	Si
cg02513147	-3.898	0.037	0.693	0.654	hipometilado	8	29721654		Intergenic	opensea	Si
cg26422698	-3.896	0.037	0.768	0.729	hipometilado	12	93490999	<i>LOC643339</i>	BD	opensea	Si
cg23453857	-3.889	0.013	0.558	0.519	hipometilado	X	39762766		Intergenic	opensea	Si
cg00852921	3.888	0.038	0.505	0.544	hipermetilado	20	62120544	<i>EEF1A2</i>	BD	island	Si
cg16280624	-3.881	0.017	0.669	0.630	hipometilado	3	39476251		Intergenic	opensea	Si
cg26810908	-3.871	0.048	0.722	0.683	hipometilado	1	238054569	<i>ZP4</i>	TSS1500	opensea	Si
cg18129578	-3.870	0.008	0.685	0.647	hipometilado	5	95589114	<i>OC101929710</i>	BD	opensea	Si
cg25041439	-3.870	0.037	0.763	0.725	hipometilado	11	125753110	<i>HYLS1</i>	TSS1500	shelf	Si
cg05450351	-3.864	0.028	0.664	0.625	hipometilado	2	188364356	<i>TFPI</i>	BD	opensea	Si
cg01759909	-3.832	0.045	0.776	0.737	hipometilado	17	76264540		Intergenic	opensea	Si
cg18872420	3.831	0.025	0.885	0.923	hipermetilado	14	78023429	<i>SPTLC2</i>	BD	opensea	Si
cg11283819	3.826	0.010	0.167	0.205	hipermetilado	13	30689528		Intergenic	shore	Si
cg20845085	-3.807	0.012	0.768	0.730	hipometilado	12	65728847	<i>MSRB3</i>	BD	opensea	Si
cg19174658	-3.794	0.048	0.820	0.782	hipometilado	22	45018513		Intergenic	shelf	Si
cg21982919	-3.793	0.003	0.835	0.797	hipometilado	3	48733742	<i>IP6K2</i>	BD	opensea	Si
cg03928353	-3.786	0.042	0.551	0.513	hipometilado	15	55402786		Intergenic	opensea	Si
cg07409443	3.784	0.043	0.180	0.218	hipermetilado	10	36923818		Intergenic	opensea	Si
cg01533115	3.773	0.048	0.330	0.368	hipermetilado	X	48911192		Intergenic	island	Si
cg07380865	-3.755	0.042	0.649	0.611	hipometilado	17	37704670		Intergenic	opensea	Si
cg16606110	-3.753	0.040	0.675	0.637	hipometilado	12	107525099		Intergenic	opensea	Si
cg09987993	-3.749	0.009	0.901	0.864	hipometilado	2	69381969	<i>ANTXR1</i>	BD	opensea	Si
cg26618267	-3.736	0.024	0.787	0.750	hipometilado	10	79706243		Intergenic	opensea	Si
cg20214094	-3.733	0.011	0.777	0.739	hipometilado	11	88909315		Intergenic	opensea	Si
cg05207876	-3.732	0.029	0.759	0.722	hipometilado	9	99317249	<i>CDC14B</i>	BD	opensea	Si
cg23506049	-3.715	0.023	0.310	0.273	hipometilado	12	103228185		Intergenic	opensea	Si
cg25040362	-3.714	0.008	0.744	0.707	hipometilado	5	179602061	<i>RASGEF1C</i>	5'UTR	opensea	Si
cg21851210	3.713	0.026	0.680	0.717	hipermetilado	3	192167183	<i>FGF12</i>	BD	opensea	Si
cg20193203	-3.712	0.018	0.891	0.854	hipometilado	3	45379158		Intergenic	opensea	Si
cg24582377	3.703	0.009	0.303	0.340	hipermetilado	12	58138195	<i>TSPAN31</i>	TSS1500	opensea	Si
cg26571157	-3.689	0.021	0.676	0.639	hipometilado	2	214081451		Intergenic	opensea	Si
cg20335953	-3.682	0.045	0.487	0.450	hipometilado	18	51749158	<i>SNORA37</i>	TSS1500	shore	Si
cg00541638	-3.674	0.034	0.325	0.289	hipometilado	16	9056115	<i>USP7</i>	BD	shore	Si
cg01368230	3.673	0.033	0.527	0.563	hipermetilado	9	34628025	<i>ARID3C</i>	TSS200	shore	Si
cg15081698	3.661	0.013	0.107	0.143	hipermetilado	6	101847050	<i>GRIK2</i>	5'UTR	island	Si
cg10418855	3.654	0.021	0.672	0.708	hipermetilado	X	23901443	<i>APOO</i>	BD	opensea	Si
cg08378505	3.651	0.003	0.100	0.136	hipermetilado	17	73127297	<i>NT5C</i>	BD	island	Si
cg06067723	-3.643	0.016	0.756	0.720	hipometilado	11	8714720		Intergenic	shelf	Si
cg03770437	-3.638	0.047	0.689	0.653	hipometilado	19	4988206	<i>KDM4B</i>	5'UTR	shore	Si
cg07969684	-3.629	0.025	0.610	0.574	hipometilado	2	195154914		Intergenic	opensea	Si
cg21944372	-3.627	0.005	0.799	0.763	hipometilado	6	45906653	<i>CLIC5</i>	TSS1500	opensea	Si
cg13786938	-3.605	0.027	0.593	0.557	hipometilado	5	156594465	<i>FAM71B</i>	TSS1500	opensea	Si
cg21781988	3.597	0.036	0.057	0.093	hipermetilado	10	101287742		Intergenic	island	Si
cg04557025	3.596	0.017	0.852	0.888	hipermetilado	10	61112134	<i>FAM13C</i>	BD	opensea	Si
cg08683831	3.592	0.043	0.243	0.279	hipermetilado	4	1404607		Intergenic	shore	Si
cg20847018	-3.583	0.011	0.863	0.827	hipometilado	11	116580245		Intergenic	shore	Si
cg07236737	-3.576	0.008	0.778	0.742	hipometilado	17	32746772		Intergenic	opensea	Si
cg11304195	-3.572	0.037	0.851	0.816	hipometilado	1	243779347	<i>AKT3</i>	BD	opensea	Si
cg17550175	-3.567	0.012	0.774	0.739	hipometilado	10	95322270		Intergenic	shelf	Si
cg06750250	-3.564	0.010	0.717	0.682	hipometilado	20	52767511		Intergenic	opensea	Si

cg10905947	-3.561	0.049	0.813	0.777	hipometilado	21	30392204	RWDD2B	TSS1500	shore	Si
cg08577641	-3.552	0.041	0.785	0.749	hipometilado	6	73307770		Intergenic	opensea	Si
cg02742747	-3.549	0.036	0.689	0.653	hipometilado	2	125066470	CNTNAP5	BD	opensea	Si
cg26015374	-3.547	0.020	0.742	0.707	hipometilado	5	138205900	LRRTM2	3'UTR	opensea	Si
cg19978477	-3.538	0.027	0.712	0.676	hipometilado	2	171226229	MYO3B	BD	opensea	Si
cg06560379	-3.536	0.027	0.278	0.242	hipometilado	6	44231305	NFKBIE	BD	shore	Si
cg04535120	3.530	0.013	0.192	0.227	hipermetilado	8	16613053		Intergenic	opensea	Si
cg06764656	-3.512	0.040	0.665	0.630	hipometilado	2	70775729	TGFA	BD	opensea	Si
cg05371183	-3.510	0.020	0.550	0.514	hipometilado	19	15084573	SLC1A6	TSS1500	opensea	Si
cg17682675	-3.508	0.023	0.825	0.789	hipometilado	10	94087556	5-Mar	BD	opensea	Si
cg08307434	-3.508	0.009	0.894	0.859	hipometilado	11	391037		Intergenic	shelf	Si
cg05600609	-3.498	0.028	0.757	0.722	hipometilado	5	167315790	ODZ2	BD	opensea	Si
cg20234667	-3.493	0.010	0.522	0.487	hipometilado	22	38301577	MICALL1	TSS1500	shore	Si
cg04730685	3.493	0.008	0.167	0.202	hipermetilado	13	95360278		Intergenic	shore	Si
cg24965243	-3.485	0.036	0.742	0.708	hipometilado	2	212285		Intergenic	shore	Si
cg20908478	-3.476	0.012	0.833	0.798	hipometilado	6	3905854		Intergenic	opensea	Si
cg16680167	-3.472	0.007	0.663	0.628	hipometilado	7	154474156	DPP6	BD	opensea	Si
cg16857716	3.469	0.021	0.516	0.551	hipermetilado	X	75392480	CXorf26	TSS1500	opensea	Si
cg02296932	-3.465	0.039	0.666	0.631	hipometilado	7	4978060	MMD2	BD	opensea	Si
cg26776018	-3.464	0.044	0.474	0.439	hipometilado	8	70575849		Intergenic	opensea	Si
cg24906159	-3.450	0.038	0.669	0.635	hipometilado	14	97643591		Intergenic	opensea	Si
cg20696463	-3.443	0.019	0.645	0.610	hipometilado	16	54277492		Intergenic	opensea	Si
cg23436058	-3.432	0.019	0.826	0.792	hipometilado	8	143869231	LY6D	TSS1500	opensea	Si
cg00141688	-3.431	0.025	0.818	0.784	hipometilado	2	10517352	HPCAL1	5'UTR	opensea	Si
cg11420359	-3.428	0.009	0.728	0.693	hipometilado	17	74535976	PRCD	TSS200	shore	Si
cg11957884	-3.425	0.020	0.895	0.861	hipometilado	1	53306243		Intergenic	shelf	Si
cg18787514	-3.425	0.029	0.689	0.655	hipometilado	13	78565332	LINCO1069	BD	opensea	Si
cg07066594	3.417	0.019	0.208	0.242	hipermetilado	X	64195554	ZC4H2	BD	opensea	Si
cg09323400	3.412	0.040	0.758	0.793	hipermetilado	12	113535362	DTX1	3'UTR	shelf	Si
cg24646951	3.399	0.017	0.863	0.897	hipermetilado	15	35147320		Intergenic	opensea	Si
cg04496578	3.391	0.027	0.783	0.816	hipermetilado	3	188149132	LPP	BD	opensea	Si
cg18713748	3.386	0.041	0.262	0.296	hipermetilado	5	140706190		Intergenic	opensea	Si
cg25993377	-3.381	0.006	0.751	0.718	hipometilado	11	126417306	KIRREL3	BD	opensea	Si
cg02104660	-3.380	0.022	0.710	0.677	hipometilado	3	10491451	ATP2B2	5'UTR	opensea	Si
cg11228127	-3.363	0.016	0.815	0.781	hipometilado	1	7553810	CAMTA1	BD	opensea	Si
cg15063453	3.363	0.049	0.103	0.137	hipermetilado	11	73694489	UCP2	TSS1500	island	Si
cg23468672	-3.357	0.029	0.684	0.651	hipometilado	8	32085421	NRG1	BD	opensea	Si
cg19864490	3.345	0.021	0.112	0.145	hipermetilado	1	166136447	FAM78B	TSS1500	island	Si
cg16650800	-3.342	0.001	0.809	0.776	hipometilado	2	171638998	ERICH2	TSS1500	opensea	Si
cg23072559	-3.339	0.046	0.609	0.576	hipometilado	19	55944231	SHISA7	3'UTR	shore	Si
cg26064862	-3.336	0.045	0.653	0.620	hipometilado	20	36485420	CTNNBL1	BD	opensea	Si
cg15819345	-3.335	0.010	0.698	0.665	hipometilado	7	28579607	CREB5	BD	opensea	Si
cg16829758	-3.335	0.025	0.608	0.575	hipometilado	X	99847172	TNMD	BD	opensea	Si
cg21133868	-3.321	0.008	0.660	0.626	hipometilado	5	1224256	SLC6A19	3'UTR	shelf	Si
cg23708361	3.313	0.033	0.094	0.127	hipermetilado	7	145813432	CNTNAP2	TSS200	island	Si
cg24804765	-3.308	0.036	0.271	0.238	hipometilado	19	51524658	KLK10	TSS1500	shore	Si
cg27333886	3.304	0.019	0.489	0.522	hipermetilado	19	47713807	SAE1	3'UTR	opensea	Si
cg21599081	-3.302	0.040	0.834	0.801	hipometilado	4	1511568		Intergenic	shelf	Si
cg17554630	-3.287	0.028	0.844	0.811	hipometilado	11	102551138		Intergenic	opensea	Si
cg08428398	-3.278	0.008	0.647	0.614	hipometilado	X	68117948		Intergenic	shelf	Si
cg24584237	-3.278	0.023	0.563	0.530	hipometilado	11	396081	PKP3	BD	shore	Si
cg10512498	-3.277	0.017	0.892	0.859	hipometilado	4	176986333	WDR17	TSS1500	shore	Si
cg10746943	-3.262	0.023	0.579	0.546	hipometilado	1	29776968		Intergenic	opensea	Si
cg15168787	-3.259	0.009	0.740	0.707	hipometilado	17	39344864	KRTAP9-1	TSS1500	opensea	Si
cg12510717	-3.248	0.019	0.831	0.798	hipometilado	13	92055237	GPC5	BD	shelf	Si
cg06785542	-3.238	0.003	0.649	0.617	hipometilado	20	24719803		Intergenic	opensea	Si
cg07671446	-3.227	0.041	0.846	0.813	hipometilado	12	55455154		Intergenic	opensea	Si
cg10841979	-3.223	0.011	0.804	0.772	hipometilado	4	85724414	WDFY3	BD	opensea	Si
cg22592525	-3.221	0.040	0.535	0.503	hipometilado	12	34076952		Intergenic	opensea	Si
cg26178126	-3.214	0.024	0.620	0.588	hipometilado	1	37740931		Intergenic	opensea	Si
cg20800088	-3.214	0.047	0.587	0.555	hipometilado	15	42438146	PLA2G4F	BD	opensea	Si
cg04751558	3.204	0.049	0.074	0.106	hipermetilado	10	131927401		Intergenic	island	Si
cg06241689	-3.201	0.050	0.603	0.571	hipometilado	2	231906408	C2orf72	BD	shelf	Si
cg05585475	-3.199	0.036	0.837	0.805	hipometilado	5	140015193		Intergenic	shelf	Si
cg02192965	-3.193	0.033	0.869	0.837	hipometilado	2	44502740	SLC3A1	1stExon	opensea	Si

cg09259517	3.192	0.016	0.735	0.767	hipermetilado	8	130116116		Intergenic	opensea	Si
cg15446373	-3.191	0.024	0.799	0.767	hipometilado	17	39638473	KRT35	TSS1500	opensea	Si
cg17399280	-3.190	0.003	0.726	0.694	hipometilado	6	64632821	EYS	BD	opensea	Si
cg27120568	-3.181	0.026	0.820	0.788	hipometilado	7	24704712	MPP6	BD	opensea	Si
cg16528730	-3.181	0.017	0.761	0.729	hipometilado	8	30437346	GTF2E2	BD	opensea	Si
cg06684888	-3.170	0.019	0.557	0.526	hipometilado	18	51759874		Intergenic	opensea	Si
cg11305349	3.169	0.040	0.778	0.810	hipermelitado	X	119536550		Intergenic	opensea	Si
cg01774310	3.164	0.045	0.074	0.106	hipermelitado	12	7261841	C1RL	TSS200	opensea	Si
cg22798770	-3.151	0.016	0.220	0.189	hipometilado	3	39072571		Intergenic	opensea	Si
cg03167604	-3.145	0.024	0.679	0.647	hipometilado	1	195550323		Intergenic	opensea	Si
cg26317209	3.145	0.011	0.077	0.109	hipermelitado	12	133187136	LRCOL1	TSS200	shore	Si
cg06692537	3.141	0.020	0.152	0.184	hipermelitado	7	123673679	TMEM229A	TSS200	island	Si
cg03741155	-3.131	0.028	0.842	0.811	hipometilado	16	87092288		Intergenic	opensea	Si
cg26044566	-3.115	0.047	0.818	0.787	hipometilado	1	3124703	PRDM16	BD	opensea	Si
cg15637491	-3.112	0.043	0.656	0.625	hipometilado	15	29226066	APBA2	5'UTR	opensea	Si
cg07464125	-3.111	0.049	0.669	0.638	hipometilado	10	78943634	KCNMA1	BD	opensea	Si
cg12745632	-3.102	0.016	0.847	0.816	hipometilado	2	128407154	GPR17	5'UTR	shore	Si
cg17557580	-3.100	0.027	0.730	0.699	hipometilado	3	154105271	GPR149	BD	opensea	Si
cg14368852	-3.100	0.036	0.632	0.601	hipometilado	X	152130179	ZNF185	BD	shelf	Si
cg12184402	-3.081	0.041	0.483	0.452	hipometilado	19	45808465	MARK4	3'UTR	shelf	Si
cg08492405	3.056	0.049	0.394	0.424	hipermelitado	15	89904655		Intergenic	shore	Si
cg22528076	-3.055	0.028	0.901	0.870	hipometilado	8	57068277		Intergenic	shore	Si
cg18016139	-3.050	0.025	0.892	0.861	hipometilado	11	2470969	KCNQ1	BD	opensea	Si
cg20778783	-3.046	0.046	0.674	0.644	hipometilado	1	197810463		Intergenic	opensea	Si
cg02786019	-3.038	0.001	0.911	0.881	hipometilado	7	142582859	TRPV6	BD	opensea	Si
cg00564759	3.036	0.016	0.201	0.232	hipometilado	16	29818771	MAZ	BD	island	Si
cg03397481	-3.028	0.021	0.745	0.715	hipometilado	3	188759258		Intergenic	opensea	Si
cg04073696	-3.026	0.041	0.489	0.458	hipometilado	14	76840353	ESRRB	5'UTR	shelf	Si
cg11177264	3.014	0.020	0.110	0.140	hipermelitado	11	64739539	C11orf85	1stExon	island	Si
cg08368063	3.004	0.020	0.187	0.217	hipermelitado	17	27950074		Intergenic	island	Si
cg24829707	-2.996	0.019	0.878	0.848	hipometilado	6	167062226	RPS6KA2	BD	opensea	Si
cg03466238	-2.995	0.033	0.703	0.673	hipometilado	19	50710979	MYH14	5'UTR	shelf	Si
cg20750058	2.993	0.026	0.413	0.443	hipermelitado	3	103895044		Intergenic	opensea	Si
cg26374826	-2.992	0.019	0.798	0.768	hipometilado	6	161837218	PARK2	BD	opensea	Si
cg09027255	-2.985	0.049	0.577	0.548	hipometilado	1	2796193		Intergenic	opensea	Si
cg21711862	-2.978	0.005	0.841	0.812	hipometilado	2	554363		Intergenic	shelf	Si
cg18576057	-2.960	0.019	0.788	0.758	hipometilado	15	98982463	FAM169B	3'UTR	opensea	Si
cg18730782	2.960	0.033	0.063	0.093	hipermelitado	14	68066466	PIGH	BD	shore	Si
cg22669561	-2.959	0.041	0.635	0.605	hipometilado	7	93114291	MIR489	TSS1500	opensea	Si
cg10040688	-2.958	0.011	0.707	0.678	hipometilado	12	50364609		Intergenic	shelf	Si
cg19963943	-2.952	0.047	0.700	0.670	hipometilado	13	47337912		Intergenic	opensea	Si
cg00408231	2.950	0.031	0.646	0.676	hipermelitado	X	100807848	ARMCX1	5'UTR	island	Si
cg25140607	2.950	0.024	0.142	0.172	hipermelitado	6	10410544	TFAP2A	BD	island	Si
cg17713193	-2.940	0.026	0.711	0.682	hipometilado	12	100803749	SLC17A8	BD	opensea	Si
cg00439970	-2.937	0.017	0.751	0.722	hipometilado	17	77366243	RBFOX3	5'UTR	opensea	Si
cg00213479	2.934	0.004	0.079	0.108	hipermelitado	5	2038899		Intergenic	island	Si
cg16177897	2.932	0.009	0.761	0.790	hipermelitado	9	138447186		Intergenic	opensea	Si
cg10105056	-2.923	0.007	0.787	0.758	hipometilado	15	74558018	CCDC33	BD	opensea	Si
cg02767771	2.918	0.032	0.134	0.163	hipermelitado	10	135043492	UTF1	TSS1500	island	Si
cg08815340	2.918	0.016	0.241	0.271	hipermelitado	6	5026435		Intergenic	opensea	Si
cg11822824	-2.913	0.026	0.722	0.692	hipometilado	14	37592000	SLC25A21	BD	opensea	Si
cg18867902	2.911	0.043	0.077	0.106	hipermelitado	14	21098805		Intergenic	shelf	Si
cg11791670	-2.905	0.003	0.955	0.926	hipometilado	7	78346166	MAGI2	BD	opensea	Si
cg09916212	-2.897	0.043	0.903	0.874	hipometilado	11	2498390	KCNQ1	BD	opensea	Si
cg16157016	-2.896	0.025	0.817	0.788	hipometilado	22	38470264	PICK1	BD	island	Si
cg19270544	-2.895	0.029	0.817	0.788	hipometilado	1	115519224	SYCP1	BD	opensea	Si
cg02589507	-2.894	0.043	0.600	0.571	hipometilado	X	149352980		Intergenic	opensea	Si
cg11700282	2.884	0.004	0.882	0.911	hipermelitado	19	5871323	FUT5	TSS1500	shelf	Si
cg16950696	2.882	0.038	0.142	0.170	hipermelitado	X	102942205	MORF4L2	5'UTR	island	Si
cg06235522	2.881	0.012	0.701	0.730	hipometilado	15	37296747	MEIS2	BD	opensea	Si
cg13312094	2.880	0.027	0.315	0.344	hipometilado	19	19321359	NCAN	TSS1500	shore	Si
cg17104619	-2.877	0.042	0.793	0.765	hipometilado	1	102855488		Intergenic	opensea	Si
cg06171889	2.877	0.011	0.306	0.335	hipometilado	2	219722808		Intergenic	shore	Si
cg10109506	-2.864	0.005	0.786	0.758	hipometilado	10	13491514	BEND7	BD	opensea	Si
cg24435966	-2.862	0.015	0.705	0.676	hipometilado	4	43342431		Intergenic	opensea	Si
cg10798988	-2.857	0.015	0.220	0.191	hipometilado	4	157870965	PDGFC	BD	opensea	Si
cg09203650	2.847	0.024	0.271	0.299	hipometilado	17	45909528	MRPL10	TSS1500	shore	Si

cg05695274	-2.843	0.001	0.795	0.767	hipometilado	6	10614986	<i>GCNT2</i>	BD	opensea	Si
cg03495944	-2.837	0.027	0.753	0.724	hipometilado	10	121884042		Intergenic	opensea	Si
cg16546998	2.833	0.007	0.764	0.792	hipermetilado	12	123270190	<i>CCDC62</i>	BD	opensea	Si
cg09692123	-2.831	0.037	0.843	0.815	hipometilado	16	81058342	<i>CENPN</i>	BD	opensea	Si
cg11301556	2.830	0.013	0.135	0.163	hipermetilado	20	44657798	<i>SLC12A5</i>	TSS200	island	Si
cg15580665	2.828	0.046	0.697	0.726	hipermetilado	7	48048806	<i>SUN3</i>	BD	opensea	Si
cg10371977	-2.820	0.008	0.883	0.855	hipometilado	12	42737595	<i>PPHLN1</i>	BD	opensea	Si
cg21807318	-2.819	0.026	0.761	0.733	hipometilado	20	48949125		Intergenic	opensea	Si
cg19074761	-2.818	0.045	0.634	0.606	hipometilado	2	4275819		Intergenic	opensea	Si
cg16107526	-2.817	0.023	0.769	0.741	hipometilado	3	191759705		Intergenic	opensea	Si
cg14679421	-2.814	0.029	0.818	0.790	hipometilado	10	74606227	<i>MCU</i>	BD	opensea	Si
cg08856161	-2.803	0.017	0.748	0.720	hipometilado	2	232070095	<i>ARMC9</i>	5'UTR	opensea	Si
cg01418322	-2.803	0.027	0.570	0.542	hipometilado	16	86785532		Intergenic	opensea	Si
cg11210670	-2.799	0.016	0.671	0.643	hipometilado	1	112603813		Intergenic	opensea	Si
cg14079660	-2.780	0.014	0.717	0.689	hipometilado	11	35486416	<i>PAMR1</i>	BD	opensea	Si
cg03923587	-2.777	0.012	0.833	0.805	hipometilado	2	7504570		Intergenic	opensea	Si
cg21419909	-2.768	0.009	0.801	0.773	hipometilado	9	73478014	<i>TRPM3</i>	EB	opensea	Si
cg21312648	-2.756	0.024	0.760	0.733	hipometilado	7	53585234		Intergenic	opensea	Si
cg20590877	-2.755	0.021	0.840	0.812	hipometilado	3	72192554		Intergenic	opensea	Si
cg21062701	-2.754	0.034	0.561	0.533	hipometilado	20	42711886		Intergenic	opensea	Si
cg25146508	-2.752	0.009	0.838	0.811	hipometilado	1	236673058		Intergenic	opensea	Si
cg20965527	2.750	0.038	0.616	0.644	hipermelilado	1	180150424	<i>QSOX1</i>	BD	opensea	Si
cg12534455	-2.747	0.037	0.710	0.682	hipometilado	8	96891870		Intergenic	opensea	Si
cg19180769	2.743	0.030	0.738	0.765	hipermetilado	8	81260592		Intergenic	opensea	Si
cg02182779	-2.742	0.016	0.713	0.686	hipometilado	8	32286668	<i>NRG1</i>	BD	opensea	Si
cg04498924	2.740	0.008	0.792	0.819	hipermetilado	4	88033403	<i>AFF1</i>	BD	opensea	Si
cg01186315	-2.737	0.043	0.671	0.644	hipometilado	8	17645191	<i>MTUS1</i>	5'UTR	opensea	Si
cg22123728	-2.735	0.017	0.881	0.853	hipometilado	22	38081493	<i>NOL12</i>	TSS1500	shore	Si
cg10045115	-2.735	0.045	0.476	0.449	hipometilado	6	41008483		Intergenic	opensea	Si
cg19812633	2.732	0.024	0.739	0.767	hipermetilado	4	187746201		Intergenic	opensea	Si
cg19934020	-2.729	0.015	0.795	0.768	hipometilado	3	76605406		Intergenic	opensea	Si
cg21297560	-2.725	0.037	0.772	0.745	hipometilado	20	31674643	<i>BPIFB4</i>	BD	opensea	Si
cg00390253	-2.722	0.011	0.843	0.816	hipometilado	3	50241300	<i>SLC38A3</i>	TSS1500	shore	Si
cg11980944	2.721	0.009	0.321	0.348	hipermetilado	1	205399731		Intergenic	opensea	Si
cg16171023	-2.721	0.035	0.695	0.668	hipometilado	3	184091243	<i>THPO</i>	BD	opensea	Si
cg10389436	2.721	0.014	0.711	0.739	hipermetilado	X	26210406	<i>MAGEB6</i>	TSS200	opensea	Si
cg22549339	-2.720	0.045	0.860	0.832	hipometilado	15	27891472		Intergenic	opensea	Si
cg22277102	-2.714	0.014	0.917	0.890	hipometilado	19	2591194	<i>GNG7</i>	5'UTR	shelf	Si
cg26293825	2.711	0.027	0.733	0.760	hipermetilado	X	152040592		Intergenic	opensea	Si
cg26380116	-2.709	0.019	0.741	0.714	hipometilado	12	125927452	<i>TMEM132B</i>	BD	opensea	Si
cg22739207	2.704	0.010	0.338	0.365	hipermetilado	5	1356382		Intergenic	opensea	Si
cg01922919	-2.703	0.030	0.714	0.687	hipometilado	19	5769540	<i>CATSPERD</i>	BD	opensea	Si
cg18730308	2.696	0.038	0.744	0.771	hipermetilado	5	40053123	<i>LINC00603</i>	BD	opensea	Si
cg06647001	2.696	0.034	0.762	0.788	hipermetilado	20	23077908		Intergenic	opensea	Si
cg19501755	-2.694	0.038	0.139	0.112	hipometilado	1	241774637	<i>OPN3</i>	BD	opensea	Si
cg12702013	-2.687	0.013	0.704	0.677	hipometilado	12	5496695		Intergenic	opensea	Si
cg20817055	-2.681	0.038	0.675	0.648	hipometilado	14	101431056	<i>SNORD114-9</i>	TSS1500	opensea	Si
cg09890963	-2.667	0.024	0.751	0.724	hipometilado	15	93197833	<i>FAM174B</i>	BD	shore	Si
cg00600900	-2.667	0.019	0.736	0.709	hipometilado	15	27866426		Intergenic	opensea	Si
cg01662880	-2.659	0.022	0.807	0.781	hipometilado	3	155838174	<i>KCNAB1</i>	TSS200	opensea	Si
cg05459252	2.659	0.039	0.719	0.746	hipermetilado	10	21095355	<i>NEBL</i>	BD	opensea	Si
cg04906462	-2.656	0.044	0.907	0.880	hipometilado	7	130788305	<i>FLJ43663</i>	BD	shelf	Si
cg11931220	-2.656	0.028	0.239	0.213	hipometilado	12	49276387		Intergenic	opensea	Si
cg23505890	-2.655	0.046	0.929	0.902	hipometilado	11	619004	<i>MUPCDH</i>	BD	shore	Si
cg11010677	-2.655	0.024	0.758	0.731	hipometilado	10	118349322	<i>PNLIPRP1</i>	TSS1500	opensea	Si
cg12444450	-2.653	0.043	0.607	0.580	hipometilado	1	45763846		Intergenic	opensea	Si
cg16031338	-2.651	0.020	0.831	0.804	hipometilado	1	2430136	<i>PLCH2</i>	BD	shelf	Si
cg14536845	2.647	0.042	0.497	0.524	hipermetilado	12	85818609		Intergenic	opensea	Si
cg06654109	2.641	0.016	0.201	0.227	hipermetilado	10	50819950	<i>SLC18A3</i>	1stExon	island	Si
cg11059049	-2.641	0.007	0.742	0.716	hipometilado	4	132348081		Intergenic	opensea	Si
cg00237625	-2.638	0.044	0.639	0.612	hipometilado	22	39485267		Intergenic	opensea	Si
cg02562004	-2.634	0.013	0.771	0.744	hipometilado	17	39792221	<i>KRT42P</i>	BD	opensea	Si
cg19167951	-2.621	0.020	0.710	0.684	hipometilado	2	158957290	<i>UPP2</i>	TSS1500	opensea	Si
cg17541103	-2.620	0.034	0.797	0.771	hipometilado	7	44096276	<i>DBNL</i>	BD	opensea	Si
cg01395858	-2.620	0.039	0.509	0.482	hipometilado	18	12768630		Intergenic	opensea	Si

cg01157084	2.618	0.036	0.164	0.190	hipermetilado	X	7063814	<i>HDHD1</i>	BD	shore	Si
cg15294292	-2.614	0.050	0.742	0.716	hipometilado	4	1117112	<i>TMED11P</i>	TSS200	opensea	Si
cg24084564	-2.612	0.041	0.752	0.726	hipometilado	19	39892799		Intergenic	shore	Si
cg22340843	2.607	0.050	0.802	0.828	hipermetilado	12	88928624	<i>KITLG</i>	BD	opensea	Si
cg04256286	-2.602	0.020	0.802	0.776	hipometilado	18	3411610	<i>TGIF1</i>	TSS1500	opensea	Si
cg23274422	-2.599	0.018	0.760	0.734	hipometilado	20	2583708	<i>TMC2</i>	BD	opensea	Si
cg23222160	-2.593	0.006	0.905	0.879	hipometilado	14	94605081		Intergenic	opensea	Si
cg11963658	-2.579	0.035	0.919	0.893	hipometilado	13	111376030		Intergenic	shelf	Si
cg08102414	-2.578	0.049	0.424	0.398	hipometilado	4	1570791		Intergenic	island	Si
cg20938047	2.577	0.025	0.742	0.768	hipermetilado	14	25357032	<i>STXBP6</i>	BD	opensea	Si
cg26289788	-2.576	0.038	0.713	0.687	hipometilado	3	8818056		Intergenic	opensea	Si
cg23071341	-2.574	0.008	0.820	0.794	hipometilado	5	25319153		Intergenic	opensea	Si
cg24919210	-2.567	0.048	0.721	0.696	hipometilado	11	41899846		Intergenic	opensea	Si
cg19975403	-2.566	0.006	0.788	0.762	hipometilado	12	2612326	<i>CACNA1C</i>	BD	opensea	Si
cg11954572	-2.562	0.043	0.472	0.447	hipometilado	6	169111857		Intergenic	opensea	Si
cg22837305	-2.553	0.017	0.850	0.824	hipometilado	2	60513416		Intergenic	opensea	Si
cg26770051	-2.548	0.039	0.851	0.826	hipometilado	5	15267944	<i>LOC101929454</i>	TSS1500	opensea	Si
cg22903084	-2.538	0.029	0.708	0.683	hipometilado	22	30774829	<i>KIAA1656</i>	TSS1500	opensea	Si
cg03730875	2.532	0.016	0.754	0.779	hipermetilado	4	129779245	<i>JADE1</i>	BD	opensea	Si
cg01248300	-2.529	0.016	0.705	0.680	hipometilado	2	241732395	<i>KIF1A</i>	BD	opensea	Si
cg09756587	-2.522	0.022	0.777	0.751	hipometilado	8	105256470	<i>RIMS2</i>	BD	opensea	Si
cg17827477	-2.522	0.008	0.786	0.761	hipometilado	22	49487343		Intergenic	island	Si
cg01060989	-2.521	0.018	0.934	0.909	hipometilado	1	221945814		Intergenic	opensea	Si
cg08785924	-2.520	0.023	0.731	0.706	hipometilado	13	106735708		Intergenic	opensea	Si
cg27287944	-2.519	0.034	0.831	0.806	hipometilado	19	1254435	<i>MIDN</i>	BD	island	Si
cg07079049	-2.517	0.016	0.729	0.704	hipometilado	19	2788201	<i>THOP1</i>	BD	shelf	Si
cg08411519	-2.515	0.042	0.702	0.677	hipometilado	1	37170038		Intergenic	opensea	Si
cg19943783	-2.513	0.022	0.714	0.689	hipometilado	6	8327782		Intergenic	opensea	Si
cg24614332	2.510	0.039	0.104	0.129	hipermetilado	14	22538566		Intergenic	opensea	Si
cg20696372	2.509	0.036	0.746	0.771	hipermetilado	18	57110349	<i>CCBE1</i>	BD	opensea	Si
cg10310649	-2.508	0.045	0.711	0.686	hipometilado	10	28921389		Intergenic	opensea	Si
cg04150893	-2.495	0.042	0.882	0.858	hipometilado	X	119137553		Intergenic	shelf	Si
cg03824955	2.492	0.019	0.847	0.872	hipermetilado	10	12291297	<i>CDC123</i>	BD	opensea	Si
cg23560648	2.486	0.035	0.117	0.142	hipermetilado	4	93225657	<i>GRID2</i>	5'UTR	shore	Si
cg06517942	-2.484	0.006	0.819	0.794	hipometilado	7	38210624		Intergenic	opensea	Si
cg08151999	-2.480	0.023	0.798	0.773	hipometilado	15	36030847	<i>DPH6-AS1</i>	BD	opensea	Si
cg17991030	-2.480	0.034	0.416	0.391	hipometilado	3	159847104	<i>IL12A-AS1</i>	BD	opensea	Si
cg14221044	-2.476	0.025	0.801	0.776	hipometilado	10	43494796		Intergenic	opensea	Si
cg26072617	-2.472	0.006	0.843	0.819	hipometilado	15	52379211		Intergenic	opensea	Si
cg04821009	2.461	0.017	0.893	0.917	hipermetilado	5	94982163	<i>RFESD</i>	TSS1500	shore	Si
cg03051851	-2.458	0.048	0.769	0.744	hipometilado	17	5145482		Intergenic	opensea	Si
cg15541192	-2.456	0.042	0.779	0.754	hipometilado	22	43817799	<i>MPPED1</i>	5'UTR	shore	Si
cg15011837	-2.455	0.036	0.929	0.905	hipometilado	10	1071902	<i>C10orf110</i>	BD	opensea	Si
cg15411447	-2.450	0.012	0.937	0.913	hipometilado	5	5652129		Intergenic	opensea	Si
cg00857152	2.449	0.042	0.822	0.846	hipermetilado	7	89969652	<i>LOC101927446</i>	BD	opensea	Si
cg15498667	-2.447	0.018	0.863	0.838	hipometilado	8	93889931		Intergenic	opensea	Si
cg22286732	-2.445	0.028	0.872	0.847	hipometilado	13	113544293		Intergenic	shelf	Si
cg03304332	-2.439	0.036	0.810	0.786	hipometilado	7	27651116	<i>HIBADH</i>	BD	opensea	Si
cg21692930	-2.430	0.024	0.889	0.865	hipometilado	1	3124533	<i>PRDM16</i>	BD	opensea	Si
cg17813074	2.429	0.027	0.098	0.122	hipermetilado	8	41908347	<i>MYST3</i>	5'UTR	shore	Si
cg14756668	-2.428	0.046	0.492	0.468	hipometilado	5	26488099		Intergenic	opensea	Si
cg24319409	2.428	0.017	0.838	0.863	hipermetilado	7	158726727	<i>WDR60</i>	BD	opensea	Si
cg06445016	2.425	0.024	0.064	0.089	hipermetilado	8	61835848		Intergenic	island	Si
cg17862113	2.421	0.042	0.119	0.144	hipermetilado	11	17743282	<i>MYOD1</i>	3'UTR	island	Si
cg17538137	-2.417	0.049	0.837	0.813	hipometilado	10	4468714		Intergenic	opensea	Si
cg00529067	-2.408	0.039	0.675	0.651	hipometilado	10	132812859		Intergenic	opensea	Si
cg23951015	-2.405	0.005	0.816	0.792	hipometilado	21	35744423		Intergenic	shelf	Si
cg09860053	-2.402	0.042	0.860	0.836	hipometilado	1	92632588	<i>KIAA1107</i>	TSS200	opensea	Si
cg01191660	-2.400	0.022	0.712	0.688	hipometilado	1	11024083	<i>C10orf127</i>	BD	opensea	Si
cg13226974	-2.393	0.036	0.746	0.722	hipometilado	8	64383554	<i>LOC102724612</i>	BD	opensea	Si
cg06777522	2.391	0.014	0.143	0.167	hipermetilado	3	145969007	<i>PLSCR4</i>	TSS200	island	Si
cg14418473	-2.391	0.005	0.853	0.829	hipometilado	6	24531376	<i>ALDH5A1</i>	BD	opensea	Si
cg13802220	-2.388	0.032	0.800	0.776	hipometilado	20	62005389		Intergenic	shelf	Si
cg20494424	-2.387	0.022	0.865	0.841	hipometilado	14	101970709		Intergenic	opensea	Si
cg24564157	-2.385	0.015	0.801	0.777	hipometilado	4	72672207	<i>GC</i>	TSS1500	opensea	Si

cg26120213	-2.107	0.006	0.848	0.827	hipometilado	3	51814127	<i>IQCF6</i>	TSS1500	opensea	Si
cg00298000	-2.106	0.014	0.837	0.816	hipometilado	2	37622494		Intergenic	opensea	Si
cg11379095	2.105	0.009	0.107	0.128	hipermetilado	2	144955850	<i>GTDC1</i>	BD	opensea	Si
cg26254757	-2.098	0.047	0.744	0.723	hipometilado	1	230120528		Intergenic	opensea	Si
cg18998003	-2.090	0.027	0.901	0.881	hipometilado	20	60388715	<i>CDH4</i>	BD	opensea	Si
cg26268742	-2.090	0.023	0.928	0.907	hipometilado	19	48563560	<i>PLA2G4C</i>	BD	shore	Si
cg01345533	-2.087	0.019	0.839	0.818	hipometilado	7	73771429	<i>CLIP2</i>	BD	opensea	Si
cg22202031	2.086	0.013	0.073	0.094	hipermetilado	12	133464603	<i>CHFR</i>	TSS1500	island	Si
cg00011274	-2.083	0.033	0.718	0.697	hipometilado	13	73843063		Intergenic	opensea	Si
cg13327228	-2.077	0.033	0.835	0.815	hipometilado	10	134884398		Intergenic	shore	Si
cg21513384	-2.076	0.034	0.133	0.112	hipometilado	X	108524767		Intergenic	opensea	Si
cg21321946	-2.074	0.018	0.843	0.822	hipometilado	1	177156047	<i>BRINP2</i>	5'UTR	opensea	Si
cg06616905	2.071	0.038	0.854	0.875	hipermetilado	6	2940957		Intergenic	opensea	Si
cg09324001	-2.070	0.039	0.910	0.890	hipometilado	19	10049131		Intergenic	shore	Si
cg05210266	2.069	0.009	0.050	0.071	hipermetilado	8	65282507		Intergenic	island	Si
cg18664095	2.068	0.009	0.146	0.167	hipermetilado	10	17271130	<i>VIM</i>	5'UTR	island	Si
cg24550172	-2.059	0.049	0.821	0.800	hipometilado	3	122647507	<i>SEMA5B</i>	BD	opensea	Si
cg07959018	-2.059	0.022	0.775	0.754	hipometilado	2	220399461	<i>ASIC4</i>	BD	opensea	Si
cg08707225	-2.056	0.035	0.796	0.776	hipometilado	22	25107790		Intergenic	opensea	Si
cg07148167	-2.050	0.017	0.875	0.854	hipometilado	15	29403393	<i>APBA2</i>	BD	shelf	Si
cg26257240	-2.049	0.014	0.888	0.868	hipometilado	22	32519127	<i>AP1B1P1</i>	BD	opensea	Si
cg05983315	2.049	0.029	0.064	0.085	hipermetilado	19	58545837	<i>ZSCAN1</i>	5'UTR	island	Si
cg00573352	2.046	0.010	0.901	0.921	hipermetilado	10	35754300	<i>CCNY</i>	BD	opensea	Si
cg09264088	2.045	0.003	0.084	0.105	hipermetilado	15	63569686	<i>APH1B</i>	TSS200	island	Si
cg23706287	-2.041	0.032	0.760	0.740	hipometilado	8	34748626		Intergenic	opensea	Si
cg23630256	-2.039	0.039	0.958	0.938	hipometilado	14	69062423	<i>RAD51L1</i>	3'UTR	opensea	Si
cg03349504	-2.038	0.030	0.925	0.905	hipometilado	18	43359344		Intergenic	shelf	Si
cg04272654	-2.033	0.038	0.794	0.773	hipometilado	1	180120914		Intergenic	shelf	Si
cg12155930	-2.008	0.050	0.766	0.745	hipometilado	12	49744981	<i>DNAJC22</i>	BD	opensea	Si
cg25884579	-2.008	0.029	0.761	0.741	hipometilado	6	42883389	<i>PTCRA</i>	TSS1500	shelf	Si
cg24823018	-2.001	0.023	0.749	0.729	hipometilado	2	161134826	<i>RBMS1</i>	BD	opensea	Si
cg19401060	1.996	0.014	0.091	0.111	hipermetilado	5	19988501	<i>CDH18</i>	TSS200	opensea	Si
cg10731951	-1.994	0.007	0.898	0.878	hipometilado	7	157869826	<i>PTPRN2</i>	BD	opensea	Si
cg10413151	-1.992	0.026	0.724	0.704	hipometilado	16	11155887	<i>CLEC16A</i>	BD	opensea	Si
cg02717158	1.989	0.025	0.814	0.834	hipermetilado	9	4234563	<i>GLIS3</i>	BD	opensea	Si
cg24150163	-1.986	0.049	0.799	0.779	hipometilado	7	49269660		Intergenic	opensea	Si
cg12605654	-1.984	0.033	0.887	0.867	hipometilado	5	145123276		Intergenic	opensea	Si
cg16893138	-1.979	0.009	0.850	0.830	hipometilado	20	47849779	<i>DDX27</i>	BD	opensea	Si
cg00512658	-1.979	0.014	0.940	0.920	hipometilado	11	59663124		Intergenic	shelf	Si
cg13644300	-1.975	0.015	0.913	0.894	hipometilado	9	136577774	<i>SARDH</i>	BD	opensea	Si
cg05799193	-1.972	0.016	0.866	0.846	hipometilado	10	29999702	<i>SVIL</i>	5'UTR	opensea	Si
cg13078847	-1.970	0.039	0.812	0.793	hipometilado	4	3664401		Intergenic	opensea	Si
cg21747967	-1.968	0.039	0.802	0.782	hipometilado	5	7520707	<i>ADCY2</i>	BD	opensea	Si
cg22278782	-1.967	0.009	0.946	0.926	hipometilado	2	159930424	<i>TANC1</i>	BD	opensea	Si
cg19163194	1.963	0.034	0.117	0.137	hipermetilado	17	64960668	<i>CACNG4</i>	TSS1500	shore	Si
cg18764438	1.963	0.018	0.093	0.112	hipermetilado	3	125238508	<i>SNX4</i>	BD	island	Si
cg17694766	-1.958	0.045	0.828	0.808	hipometilado	8	50080767		Intergenic	opensea	Si
cg01331430	1.949	0.022	0.768	0.788	hipermetilado	12	105721218	<i>KCCAT198</i>	TSS1500	shelf	Si
cg21822905	-1.939	0.027	0.850	0.831	hipometilado	1	2341337	<i>PEX10</i>	BD	shore	Si
cg06331674	1.938	0.039	0.059	0.079	hipermetilado	7	32534854	<i>AVL9</i>	TSS1500	shore	Si
cg16564135	1.934	0.043	0.895	0.914	hipermetilado	11	122628959	<i>UBASH3B</i>	BD	opensea	Si
cg10341152	1.932	0.038	0.073	0.092	hipermetilado	13	37393069	<i>RFXAP</i>	TSS1500	shore	Si
cg01000280	-1.930	0.014	0.953	0.934	hipometilado	22	30472636		Intergenic	shelf	Si
cg26215571	-1.924	0.035	0.726	0.707	hipometilado	1	231860964	<i>DISC1</i>	BD	opensea	Si
cg19899552	1.921	0.036	0.903	0.922	hipermetilado	1	81580343		Intergenic	opensea	Si
cg22508492	-1.912	0.024	0.809	0.789	hipometilado	11	46275455		Intergenic	opensea	Si
cg05466939	-1.911	0.038	0.826	0.807	hipometilado	18	42801722	<i>SLC14A2</i>	5'UTR	opensea	Si
cg03841028	1.910	0.008	0.068	0.087	hipermetilado	1	200860378	<i>C1orf106</i>	TSS1500	island	Si
cg05892156	-1.908	0.008	0.951	0.932	hipometilado	18	8658686		Intergenic	shore	Si
cg08879216	1.898	0.035	0.095	0.114	hipermetilado	9	102862132	<i>INVS</i>	5'UTR	shore	Si
cg06071388	-1.897	0.047	0.843	0.824	hipometilado	17	28661266	<i>TMIGD1</i>	TSS1500	opensea	Si
cg219077991	-1.895	0.022	0.883	0.864	hipometilado	2	47033678		Intergenic	opensea	Si
cg19565305	-1.891	0.041	0.916	0.897	hipometilado	2	178973019	<i>PDE11A</i>	5'UTR	opensea	Si
cg09902446	1.889	0.034	0.804	0.822	hipermetilado	3	183520434	<i>YEATS2</i>	BD	opensea	Si
cg19897855	-1.881	0.018	0.774	0.755	hipometilado	2	71063183	<i>CD207</i>	TSS1500	opensea	Si

cg17892280	2.361	0.041	0.242	0.266	hipermetilado	11	72975377	P2RY6	TSS1500	shore	Si
cg09677891	-2.358	0.045	0.750	0.727	hipometilado	10	116371467	ABLIM1	BD	opensea	Si
cg15859167	-2.356	0.024	0.736	0.713	hipometilado	1	17519342		Intergenic	opensea	Si
cg11712188	-2.355	0.030	0.913	0.889	hipometilado	6	91093918		Intergenic	opensea	Si
cg08603817	-2.339	0.035	0.634	0.610	hipometilado	11	123174720		Intergenic	shore	Si
cg06501515	-2.337	0.015	0.930	0.906	hipometilado	19	268801		Intergenic	shore	Si
cg22724153	-2.336	0.044	0.917	0.894	hipometilado	7	123565925	SPAM1	5'UTR	opensea	Si
cg06371502	2.330	0.020	0.109	0.132	hipometilado	1	197879766		Intergenic	shore	Si
cg22299509	-2.328	0.037	0.828	0.804	hipometilado	7	155744340		Intergenic	opensea	Si
cg10209670	-2.321	0.016	0.934	0.911	hipometilado	15	93128681		Intergenic	opensea	Si
cg05627522	2.313	0.033	0.073	0.096	hipometilado	15	75251581		Intergenic	island	Si
cg22906553	-2.312	0.035	0.938	0.914	hipometilado	2	128288443		Intergenic	shelf	Si
cg09540180	-2.311	0.013	0.791	0.768	hipometilado	19	32082137	THEG5	TSS1500	opensea	Si
cg04747060	-2.305	0.024	0.828	0.805	hipometilado	2	208049155		Intergenic	opensea	Si
cg09827139	2.304	0.009	0.142	0.165	hipermelitado	4	1401710	NKX1-1	TSS1500	island	Si
cg10453337	-2.297	0.031	0.927	0.904	hipometilado	5	7502014	ADCY2	BD	opensea	Si
cg05897028	-2.297	0.008	0.840	0.817	hipometilado	20	47252940	PREX1	BD	island	Si
cg01306183	-2.296	0.018	0.768	0.745	hipometilado	11	63057478	SLC22A10	5'UTR	opensea	Si
cg04921989	2.295	0.029	0.083	0.106	hipermelitado	2	132183100		Intergenic	island	Si
cg06869136	2.295	0.022	0.821	0.844	hipermelitado	4	129879038	SCLT1	BD	opensea	Si
cg26600421	-2.294	0.032	0.856	0.833	hipometilado	6	108224375	SEC63	BD	opensea	Si
cg03135474	-2.291	0.037	0.795	0.772	hipometilado	11	117689046		Intergenic	opensea	Si
cg13492164	-2.286	0.015	0.940	0.917	hipometilado	14	78709782		Intergenic	opensea	Si
cg15221280	2.280	0.009	0.765	0.788	hipermelitado	12	9242536	A2M	BD	opensea	Si
cg13079474	-2.279	0.029	0.783	0.760	hipometilado	6	35930575	SLC26A8	BD	opensea	Si
cg14679444	-2.278	0.022	0.868	0.845	hipometilado	22	50470101	TTLL8	BD	island	Si
cg05785653	2.275	0.005	0.093	0.116	hipermelitado	15	45695817	SPATA5L1	BD	shore	Si
cg24528350	-2.273	0.050	0.881	0.858	hipometilado	1	77384892	ST6GALNAC5	BD	opensea	Si
cg05197803	-2.267	0.026	0.804	0.781	hipometilado	14	74762651	ABCD4	BD	opensea	Si
cg02926769	-2.265	0.040	0.936	0.913	hipometilado	16	88942358	CBFA2T3	3'UTR	shore	Si
cg09541508	-2.262	0.039	0.827	0.804	hipometilado	1	78545401	GIPC2	BD	opensea	Si
cg05914065	-2.248	0.007	0.882	0.860	hipometilado	20	35737171	MROH8	BD	opensea	Si
cg21644009	-2.248	0.014	0.929	0.907	hipometilado	6	28494863	GPX5	BD	opensea	Si
cg05904038	-2.248	0.036	0.788	0.766	hipometilado	1	6388366	ACOT7	BD	opensea	Si
cg00236052	-2.247	0.016	0.842	0.819	hipometilado	12	132683752	GALNT9	BD	shore	Si
cg17483224	-2.246	0.019	0.756	0.734	hipometilado	17	71968546		Intergenic	opensea	Si
cg03950121	-2.238	0.022	0.798	0.776	hipometilado	10	134016915	DPYSL4	BD	shore	Si
cg24905864	2.229	0.024	0.798	0.820	hipometilado	3	136701022	IL20RB	BD	opensea	Si
cg24524539	-2.228	0.034	0.797	0.775	hipometilado	10	118947020		Intergenic	opensea	Si
cg09873688	-2.226	0.041	0.798	0.776	hipometilado	5	3504858	LINC01017	TSS1500	opensea	Si
cg18021806	-2.226	0.023	0.811	0.789	hipometilado	13	36789681	SOHLH2	TSS1500	shore	Si
cg20617367	-2.225	0.049	0.815	0.793	hipometilado	6	56611699	RNU6-71P	BD	opensea	Si
cg25372830	-2.221	0.048	0.769	0.747	hipometilado	10	109136205		Intergenic	opensea	Si
cg05158197	2.206	0.010	0.052	0.074	hipermelitado	4	168155888	SPOCK3	TSS200	shore	Si
cg21505231	-2.201	0.038	0.816	0.794	hipometilado	6	30984668		Intergenic	opensea	Si
cg18651470	2.200	0.031	0.120	0.142	hipermelitado	6	114662697		Intergenic	shore	Si
cg25768814	-2.199	0.036	0.842	0.820	hipometilado	8	63023593		Intergenic	opensea	Si
cg14420401	-2.197	0.036	0.857	0.835	hipometilado	6	28436690		Intergenic	opensea	Si
cg13243985	-2.196	0.017	0.748	0.726	hipometilado	3	50166735		Intergenic	opensea	Si
cg06976209	2.189	0.007	0.837	0.859	hipermelitado	3	15457528	METTL6	BD	opensea	Si
cg18932983	2.174	0.019	0.092	0.113	hipermelitado	11	132813569	OPCML	TSS1500	island	Si
cg17316679	-2.171	0.024	0.839	0.817	hipometilado	4	30759604	PCDH7	BD	opensea	Si
cg16528678	-2.169	0.036	0.914	0.892	hipometilado	5	94830		Intergenic	shelf	Si
cg04152562	-2.160	0.048	0.833	0.812	hipometilado	5	50351675		Intergenic	opensea	Si
cg09182506	-2.159	0.041	0.843	0.821	hipometilado	8	93737956	FLJ46284	BD	opensea	Si
cg02182738	-2.152	0.041	0.724	0.703	hipometilado	18	74251599	LINC00908	BD	opensea	Si
cg18899498	-2.150	0.014	0.685	0.664	hipometilado	15	40586020	PLCB2	BD	shelf	Si
cg18816429	2.144	0.029	0.817	0.838	hipermelitado	2	128150683		Intergenic	opensea	Si
cg13988440	-2.142	0.033	0.903	0.882	hipometilado	11	69240805		Intergenic	opensea	Si
cg20730728	2.129	0.046	0.842	0.864	hipermelitado	1	45504001	ZSWIM5	BD	opensea	Si
cg09661367	2.128	0.023	0.826	0.847	hipometilado	1	40029685	PAPC4	BD	opensea	Si
cg03621566	2.127	0.032	0.105	0.127	hipometilado	3	45430545	LARS2	5'UTR	shore	Si
cg26524446	-2.123	0.013	0.807	0.786	hipometilado	3	45408913		Intergenic	opensea	Si
cg11141075	2.121	0.024	0.059	0.081	hipermelitado	12	65563034	LEMD3	TSS1500	shore	Si
cg10434137	-2.114	0.031	0.866	0.845	hipometilado	13	44032630	ENOX1-AS2	BD	opensea	Si

cg04150382	1.852	0.017	0.036	0.055	hipermetilado	12	121533801		Intergenic	island	Si
cg09582589	-1.843	0.046	0.855	0.836	hipometilado	8	123055057		Intergenic	opensea	Si
cg03413097	1.836	0.011	0.073	0.092	hipermetilado	7	156811422		Intergenic	island	Si
cg04687273	-1.829	0.040	0.791	0.773	hipometilado	3	13382712	NUP210	BD	opensea	Si
cg09507697	-1.825	0.019	0.937	0.918	hipometilado	7	130037985	TSGA14	3'UTR	opensea	Si
cg19119032	1.818	0.041	0.074	0.092	hipermetilado	18	63418404	CDH7	5'UTR	island	Si
cg07457615	1.817	0.043	0.873	0.891	hipermetilado	10	73499041	C10orf105	TSS1500	opensea	Si
cg18875435	-1.805	0.040	0.776	0.758	hipometilado	19	15271010	NOTCH3	3'UTR	opensea	Si
cg16943151	1.795	0.049	0.849	0.867	hipermetilado	10	62647977	RHOBTB1	BD	opensea	Si
cg10266935	1.795	0.037	0.116	0.134	hipermetilado	17	46816036		Intergenic	opensea	Si
cg15318690	1.789	0.021	0.059	0.077	hipermetilado	14	54422052	BMP4	5'UTR	island	Si
cg10865628	1.787	0.049	0.109	0.127	hipermetilado	2	115918782	DPP10	TSS1500	island	Si
cg22889573	1.774	0.005	0.042	0.060	hipermetilado	3	134369939	KY	TSS200	island	Si
cg03473809	-1.770	0.033	0.924	0.906	hipometilado	4	155672265	LRAT	3'UTR	opensea	Si
cg17813164	1.760	0.016	0.810	0.827	hipermetilado	7	75550364	POR	5'UTR	opensea	Si
cg10711230	-1.756	0.047	0.927	0.909	hipometilado	1	867031	SAMD11	BD	shelf	Si
cg19354746	1.754	0.021	0.274	0.291	hipermetilado	22	50969673	TYMP	TSS1500	island	Si
cg27527108	1.751	0.015	0.070	0.087	hipermetilado	1	116711075		Intergenic	island	Si
cg02965551	-1.749	0.043	0.790	0.772	hipometilado	2	85385395	TCF7L1	BD	opensea	Si
cg04141574	-1.747	0.020	0.825	0.808	hipometilado	3	181753729		Intergenic	opensea	Si
cg24533913	1.736	0.009	0.055	0.073	hipermetilado	22	30116489	CABP7	1stExon	island	Si
cg07740388	-1.734	0.037	0.859	0.842	hipometilado	17	78055269	CCDC40	BD	opensea	Si
cg06583108	1.732	0.028	0.039	0.056	hipermetilado	12	85430029	TSPAN19	1stExon	opensea	Si
cg26960317	-1.731	0.017	0.931	0.913	hipometilado	11	6637731	TPP1	BD	shelf	Si
cg19930620	-1.729	0.018	0.944	0.926	hipometilado	3	7340148	GRM7	BD	opensea	Si
cg12728578	1.727	0.023	0.100	0.117	hipermetilado	6	27342632	ZNF204P	BD	island	Si
cg19929006	-1.715	0.016	0.963	0.946	hipometilado	7	12376625	VWDE	BD	opensea	Si
cg02741348	1.707	0.040	0.771	0.788	hipermetilado	3	42574303	VIPR1	BD	shelf	Si
cg16475721	1.707	0.020	0.049	0.066	hipermetilado	7	31232678		Intergenic	island	Si
cg20327645	1.704	0.008	0.070	0.087	hipermetilado	19	46476983	NOVA2	TSS1500	opensea	Si
cg07180307	1.704	0.012	0.051	0.068	hipermetilado	11	109294168	C11orf87	5'UTR	island	Si
cg18624581	1.696	0.024	0.056	0.073	hipermetilado	12	65153313	GNS	TSS200	island	Si
cg11579066	-1.689	0.038	0.774	0.757	hipometilado	12	56547618	MYL6B	5'UTR	shore	Si
cg01255414	1.686	0.008	0.050	0.067	hipermetilado	3	192127991	FGF12	TSS1500	island	Si
cg05701676	1.672	0.045	0.024	0.041	hipermetilado	11	73018662	ARHGEF17	TSS1500	island	Si
cg10477603	1.667	0.042	0.049	0.066	hipermetilado	10	126849704	CTBP2	TSS200	island	Si
cg08482638	-1.664	0.047	0.840	0.823	hipometilado	9	82177671		Intergenic	opensea	Si
cg00603034	-1.663	0.042	0.800	0.783	hipometilado	19	3273467	CELF5	BD	shelf	Si
cg02129712	-1.658	0.032	0.952	0.935	hipometilado	8	56090701	XKR4	BD	opensea	Si
cg10904266	-1.658	0.044	0.804	0.788	hipometilado	11	118692470		Intergenic	opensea	Si
cg22266010	-1.642	0.038	0.827	0.810	hipometilado	21	38331806	HLCS	5'UTR	opensea	Si
cg18515868	-1.638	0.026	0.885	0.868	hipometilado	4	1304836	MAEA	BD	island	Si
cg05861971	1.636	0.030	0.071	0.088	hipermetilado	2	101436479	NPAS2	TSS200	island	Si
cg23440809	1.621	0.019	0.048	0.064	hipermetilado	16	19079132	LOC102723385	TSS1500	island	Si
cg23162510	1.612	0.008	0.058	0.074	hipermetilado	17	27054515	TLCD1	TSS1500	shore	Si
cg08240078	1.609	0.038	0.831	0.847	hipermetilado	18	54328362	WDR7	5'UTR	opensea	Si
cg06893832	-1.605	0.022	0.862	0.846	hipometilado	8	41476110	AGPAT6	BD	opensea	Si
cg09062114	1.602	0.031	0.813	0.829	hipermetilado	8	102398093		Intergenic	opensea	Si
cg22180410	1.600	0.031	0.228	0.244	hipermetilado	4	187646446	FAT1	TSS1500	island	Si
cg00953355	1.597	0.048	0.131	0.147	hipermetilado	17	70114129		Intergenic	island	Si
cg18721249	1.595	0.044	0.060	0.076	hipermetilado	7	116166456	CAV1	BD	island	Si
cg23030115	-1.582	0.034	0.821	0.805	hipometilado	11	75311353	MAP6	BD	opensea	Si
cg05269713	-1.572	0.044	0.922	0.906	hipometilado	17	48353633	TMEM92	BD	shelf	Si
cg23549179	-1.570	0.022	0.935	0.919	hipometilado	12	113228545	RPH3A	TSS1500	opensea	Si
cg07660665	1.568	0.048	0.918	0.933	hipermetilado	10	1147798	WDR37	BD	shore	Si
cg14442746	-1.565	0.028	0.937	0.921	hipometilado	14	56264572	C14orf34	TSS1500	opensea	Si
cg21494953	-1.565	0.026	0.917	0.901	hipometilado	5	32788290	C5orf23	TSS1500	opensea	Si
cg24545495	-1.562	0.036	0.931	0.916	hipometilado	1	6149049	KCNAB2	BD	opensea	Si
cg10758618	-1.560	0.042	0.938	0.922	hipometilado	8	141472224		Intergenic	shelf	Si
cg20618989	1.546	0.011	0.036	0.052	hipermetilado	19	39811332		Intergenic	shore	Si
cg25836955	1.541	0.040	0.048	0.063	hipermetilado	22	39269159	CBX6	TSS1500	island	Si
cg11224748	-1.540	0.022	0.955	0.940	hipometilado	17	12415493		Intergenic	opensea	Si
cg07129921	1.539	0.040	0.129	0.144	hipermetilado	6	72596209	RIMS1	TSS200	island	Si
cg03894719	-1.537	0.016	0.875	0.860	hipometilado	8	143454777	TSNARE1	5'UTR	opensea	Si
cg20546331	1.533	0.007	0.064	0.079	hipermetilado	19	36450358		Intergenic	island	Si

cg10193817	1.530	0.036	0.072	0.087	hipermetilado	11	115375226	CADM1	5'UTR	island	Si
cg18969353	1.529	0.041	0.828	0.843	hipermetilado	1	92371953	TGFBR3	TSS1500	opensea	Si
cg09911810	1.525	0.023	0.058	0.073	hipermetilado	20	35090175	DLGAP4	TSS200	shore	Si
cg11427880	1.521	0.037	0.844	0.859	hipermetilado	8	22666410	PEBP4	BD	opensea	Si
cg10996370	-1.511	0.026	0.955	0.940	hipometilado	X	15806025	INE2	TSS1500	shelf	Si
cg09066439	1.500	0.020	0.064	0.079	hipermetilado	1	147142231	ACP6	5'UTR	island	Si
cg07046302	1.500	0.049	0.787	0.802	hipermetilado	16	88904273	GALNS	BD	shore	Si
cg14212124	-1.499	0.036	0.893	0.878	hipometilado	3	71256506	FOXP1	5'UTR	opensea	Si
cg04352304	1.494	0.034	0.059	0.074	hipermetilado	10	102475896		Intergenic	shore	Si
cg11989942	1.492	0.046	0.885	0.900	hipermetilado	17	80067146	CCDC57	BD	opensea	Si
cg00973334	1.491	0.012	0.027	0.042	hipermetilado	12	50561022	LASS5	1stExon	island	Si
cg26270345	1.490	0.012	0.054	0.069	hipermetilado	5	180017195	SCGB3A1	3'UTR	island	Si
cg03009674	-1.489	0.050	0.803	0.788	hipometilado	5	177946401	COL23A1	BD	shore	Si
cg00852139	1.487	0.029	0.095	0.110	hipermetilado	19	44808630	ZNF235	5'UTR	shore	Si
cg16286428	-1.484	0.036	0.928	0.913	hipometilado	14	74258359	LOC100506476	BD	opensea	Si
cg14387688	1.484	0.019	0.835	0.850	hipermetilado	15	52862375	ARPP19	TSS1500	shore	Si
cg13247997	1.479	0.023	0.101	0.116	hipermetilado	5	83680284	EDIL3	1stExon	island	Si
cg13477391	1.478	0.047	0.832	0.847	hipermetilado	16	84351899	WFDC1	BD	opensea	Si
cg15635052	1.477	0.030	0.122	0.137	hipermetilado	3	32433105	CMTM7	TSS200	island	Si
cg13100130	1.476	0.029	0.832	0.847	hipermetilado	5	78984248	CMYA5	TSS1500	opensea	Si
cg18333626	1.473	0.049	0.065	0.080	hipermetilado	22	32572285		Intergenic	island	Si
cg23576941	-1.469	0.011	0.964	0.950	hipometilado	20	16556979		Intergenic	shore	Si
cg10991578	1.465	0.023	0.054	0.068	hipermetilado	14	96671020	BDKRB2	TSS200	opensea	Si
cg10486998	1.460	0.036	0.049	0.064	hipermetilado	18	74961787	GALR1	TSS1500	island	Si
cg25848630	-1.460	0.048	0.817	0.802	hipometilado	14	76886514	ESRRB	5'UTR	opensea	Si
cg06656994	1.459	0.008	0.059	0.074	hipermetilado	1	179713176	FAM163A	5'UTR	island	Si
cg00699993	1.456	0.013	0.042	0.056	hipermetilado	4	158141570	GRIA2	TSS200	island	Si
cg18688032	1.455	0.022	0.072	0.087	hipermetilado	11	108464701	EXPH5	TSS1500	shore	Si
cg14878917	1.454	0.014	0.086	0.100	hipermetilado	1	217311209	ESRRG	TSS200	shore	Si
cg17801983	1.454	0.008	0.052	0.066	hipermetilado	19	18336599	PDE4C	TSS1500	island	Si
cg17779824	1.449	0.030	0.074	0.088	hipermetilado	1	197886418	LHX9	TSS200	shore	Si
cg09243400	1.449	0.016	0.052	0.066	hipermetilado	22	26986286	TPST2	TSS200	shore	Si
cg22259293	-1.446	0.032	0.059	0.045	hipometilado	8	145051491	PLEC1	TSS1500	island	Si
cg04022063	1.444	0.048	0.045	0.060	hipermetilado	15	30114295	TJP1	5'UTR	island	Si
cg07907386	1.441	0.008	0.045	0.059	hipermetilado	4	41749443	PHOX2B	BD	island	Si
cg07781848	1.439	0.031	0.091	0.105	hipermetilado	12	123868310	SETD8	TSS1500	island	Si
cg24262739	-1.438	0.033	0.827	0.812	hipometilado	1	43850740	MED8	BD	opensea	Si
cg16364506	-1.430	0.008	0.972	0.957	hipometilado	1	180805744	XPR1	BD	opensea	Si
cg00511674	1.425	0.023	0.065	0.079	hipermetilado	16	78080068		Intergenic	island	Si
cg07360658	1.423	0.001	0.086	0.100	hipermetilado	7	150780793	TMUB1	TSS1500	island	Si
cg21047419	1.414	0.029	0.092	0.106	hipermetilado	9	137979140	OLFM1	TSS1500	island	Si
cg13595754	-1.410	0.032	0.858	0.844	hipometilado	9	22147983		Intergenic	opensea	Si
cg22115706	-1.405	0.010	0.962	0.948	hipometilado	7	130125719	MEST	TSS1500	shore	Si
cg04021697	1.403	0.044	0.050	0.064	hipermetilado	1	3567303	WDR8	TSS1500	island	Si
cg22871668	1.400	0.007	0.036	0.050	hipermetilado	6	133562492	EYA4	TSS200	island	Si
cg00345792	-1.386	0.017	0.936	0.922	hipometilado	1	27877772	AHDC1	BD	shelf	Si
cg23139887	-1.386	0.048	0.936	0.923	hipometilado	14	22131976	OR4E2	TSS1500	opensea	Si
cg01177961	1.376	0.034	0.867	0.880	hipermetilado	14	65124727		Intergenic	opensea	Si
cg04413904	-1.364	0.013	0.946	0.933	hipometilado	16	1088479		Intergenic	island	Si
cg23740245	-1.362	0.030	0.948	0.934	hipometilado	16	737393	WDR24	BD	island	Si
cg14069049	1.360	0.012	0.076	0.090	hipermetilado	4	11430698	HS3ST1	TSS200	island	Si
cg07596120	1.358	0.039	0.046	0.059	hipermetilado	22	42476528	C22orf32	BD	shore	Si
cg17385208	1.355	0.023	0.058	0.072	hipermetilado	9	129885104	ANGPTL2	TSS200	opensea	Si
cg22188827	1.353	0.007	0.028	0.041	hipermetilado	5	78429774		Intergenic	opensea	Si
cg06106633	1.352	0.034	0.944	0.958	hipermetilado	6	73969316	KHDC1	5'UTR	shelf	Si
cg00964103	1.349	0.019	0.083	0.096	hipermetilado	1	216897261	ESRRG	5'UTR	opensea	Si
cg26491461	1.348	0.026	0.086	0.099	hipermetilado	1	72748417	NEGR1	TSS200	shore	Si
cg13594655	1.346	0.027	0.042	0.056	hipermetilado	19	17581315	SLC27A1	5'UTR	island	Si
cg27127814	1.341	0.011	0.034	0.047	hipermetilado	13	53425257		Intergenic	island	Si
cg02571579	1.341	0.023	0.085	0.099	hipermetilado	2	85361441	TCF7L1	EB	island	Si
cg10498361	1.335	0.017	0.027	0.040	hipermetilado	20	21284574	XRN2	BD	shore	Si
cg00603982	1.331	0.043	0.850	0.863	hipermetilado	11	68822544	TPCN2	BD	opensea	Si
cg23189698	-1.330	0.015	0.946	0.933	hipometilado	14	88652240	KCNK10	BD	opensea	Si
cg00064235	1.330	0.016	0.063	0.077	hipermetilado	10	102989598	FLJ41350	BD	island	Si
cg14258645	-1.322	0.028	0.958	0.945	hipometilado	19	22849235	ZNF492	3'UTR	opensea	Si

cg10517517	1.304	0.028	0.058	0.071	hipermetilado	7	158649165	WDR60	TSS200	island	Si
cg20329085	1.304	0.034	0.051	0.064	hipermetilado	18	31158497	ASXL3	TSS200	opensea	Si
cg05228738	1.303	0.026	0.019	0.032	hipermetilado	16	22309747	POLR3E	5'UTR	shore	Si
cg17118852	1.291	0.025	0.066	0.079	hipermetilado	11	40314835	LRRC4C	TSS200	opensea	Si
cg08537804	-1.291	0.039	0.950	0.937	hipometilado	11	117652230	DSCAML1	BD	shore	Si
cg09419297	1.288	0.042	0.042	0.054	hipermetilado	15	77712428	HMG20A	TSS1500	island	Si
cg23405658	1.287	0.046	0.812	0.825	hipermetilado	11	763824	TALDO1	BD	opensea	Si
cg23411551	1.284	0.025	0.054	0.067	hipermetilado	7	100136718	AGFG2	TSS200	island	Si
cg21998203	-1.284	0.048	0.897	0.885	hipometilado	1	180319543	ACBD6	BD	opensea	Si
cg17025459	-1.277	0.022	0.966	0.953	hipometilado	18	51754366		Intergenic	shelf	Si
cg16680522	1.277	0.016	0.064	0.077	hipermetilado	9	32783453	TMEM215	TSS200	island	Si
cg17004740	1.275	0.022	0.050	0.062	hipermetilado	19	44711915		Intergenic	opensea	Si
cg08740284	1.275	0.045	0.101	0.113	hipermetilado	15	40987165	RAD51	TSS1500	island	Si
cg00639195	1.272	0.024	0.052	0.065	hipermetilado	15	79103007	ADAMTS7	BD	island	Si
cg14609568	-1.271	0.024	0.971	0.958	hipometilado	4	7186138		Intergenic	opensea	Si
cg18328702	-1.265	0.027	0.936	0.923	hipometilado	4	46992926	GABRA4	BD	shelf	Si
cg17814180	1.246	0.019	0.061	0.073	hipermetilado	7	86274020	GRM3	1stExon	opensea	Si
cg19995828	1.242	0.024	0.040	0.052	hipermetilado	4	81256889	C4orf22	5'UTR	shore	Si
cg07335156	1.240	0.010	0.022	0.035	hipermetilado	7	75947820		Intergenic	island	Si
cg26132774	1.234	0.019	0.042	0.055	hipermetilado	13	79170146		Intergenic	island	Si
cg18529173	1.223	0.031	0.042	0.054	hipermetilado	15	73089318		Intergenic	island	Si
cg24300475	1.220	0.033	0.063	0.076	hipermetilado	12	3601514	PRMT8	BD	island	Si
cg04603419	1.212	0.023	0.060	0.072	hipermetilado	17	42061560	PYY	5'UTR	island	Si
cg24939019	1.208	0.012	0.049	0.061	hipermetilado	5	141404855		Intergenic	opensea	Si
cg18079925	-1.194	0.044	0.960	0.948	hipometilado	12	29873263	TMTC1	BD	opensea	Si
cg01473942	1.180	0.035	0.053	0.065	hipermetilado	4	41218683		Intergenic	island	Si
cg04302704	-1.165	0.034	0.948	0.937	hipometilado	16	87701668	JPH3	BD	shore	Si
cg04030615	1.161	0.035	0.062	0.074	hipermetilado	1	229569902	ACTA1	TSS200	island	Si
cg23435082	1.158	0.025	0.033	0.045	hipermetilado	11	117186472	BACE1	1stExon	island	Si
cg14237894	1.152	0.018	0.037	0.048	hipermetilado	5	150400040	GPX3	5'UTR	island	Si
cg08459564	1.141	0.035	0.051	0.062	hipermetilado	1	995180		Intergenic	island	Si
cg18845703	1.134	0.029	0.052	0.063	hipermetilado	1	45477697	HECTD3	TSS1500	shore	Si
cg00309582	1.127	0.010	0.028	0.039	hipermetilado	20	55841925	BMP7	TSS1500	shore	Si
cg00976036	1.121	0.043	0.090	0.101	hipermetilado	9	34989696	DNAJB5	TSS1500	island	Si
cg22838378	1.113	0.014	0.035	0.046	hipermetilado	15	81616776	STARD5	TSS1500	island	Si
cg22450968	1.105	0.014	0.039	0.050	hipermetilado	7	156871234		Intergenic	island	Si
cg08566247	1.101	0.023	0.020	0.031	hipermetilado	7	12726792	ARL4A	5'UTR	island	Si
cg13852730	-1.095	0.012	0.944	0.933	hipometilado	15	62745028		Intergenic	opensea	Si
cg08601899	-1.092	0.022	0.962	0.951	hipometilado	6	114379217	HS3ST5	BD	opensea	Si
cg04971362	1.091	0.015	0.053	0.064	hipermetilado	5	170738987	TLX3	3'UTR	island	Si
cg05662582	1.090	0.043	0.033	0.043	hipermetilado	11	93517353	MED17	TSS200	island	Si
cg20516256	-1.089	0.038	0.973	0.962	hipometilado	14	70232567	SFRS5	TSS1500	shore	Si
cg14955151	1.085	0.037	0.063	0.074	hipermetilado	17	73874635	TRIM47	1stExon	island	Si
cg05070302	1.083	0.009	0.053	0.064	hipermetilado	11	18034776	SERGEF	TSS200	island	Si
cg04305913	-1.078	0.027	0.933	0.922	hipometilado	9	139228912	GPSM1	BD	island	Si
cg13873925	-1.078	0.050	0.944	0.933	hipometilado	6	348879	DUSP22	BD	opensea	Si
cg20175760	1.071	0.002	0.014	0.025	hipermetilado	8	125486985	RNF139	TSS200	island	Si
cg04229103	1.070	0.034	0.065	0.076	hipermetilado	2	145090268	GTDC1	TSS200	island	Si
cg18250344	1.069	0.041	0.104	0.114	hipermetilado	12	56882191	GLS2	5'UTR	island	Si
cg20111118	1.069	0.038	0.073	0.083	hipermetilado	4	148653624	ARHGAP10	BD	island	Si
cg05532204	1.065	0.031	0.059	0.069	hipermetilado	6	33291321	DAXX	TSS1500	shore	Si
cg22063966	1.063	0.040	0.066	0.077	hipermetilado	19	56160065	CCDC106	5'UTR	shore	Si
cg20698069	1.063	0.018	0.066	0.077	hipermetilado	12	122242495	SETD1B	TSS200	island	Si
cg23390857	1.060	0.020	0.047	0.057	hipermetilado	5	133339500	VDAC1	BD	shore	Si
cg13221868	1.060	0.015	0.076	0.087	hipermetilado	1	52498888	KT12	1stExon	island	Si
cg10652674	-1.056	0.048	0.951	0.941	hipometilado	10	62023665	ANK3	BD	opensea	Si
cg01933946	1.052	0.012	0.035	0.045	hipermetilado	1	38155525	C1orf109	BD	shore	Si
cg08434594	1.049	0.014	0.046	0.057	hipermetilado	19	14640333	TECR	TSS200	island	Si
cg04916091	1.047	0.024	0.032	0.043	hipermetilado	19	17958647	JAK3	5'UTR	island	Si
cg25186094	1.040	0.040	0.036	0.047	hipermetilado	8	110552721	EBAG9	TSS200	shore	Si
cg21423804	1.038	0.034	0.054	0.064	hipermetilado	13	114144967	TMC03	TSS1500	island	Si
cg14577472	1.038	0.027	0.033	0.044	hipermetilado	20	42295538	MYBL2	TSS200	island	Si
cg02219482	1.031	0.013	0.033	0.043	hipermetilado	15	75940069	SNX33	TSS1500	island	Si
cg25958158	1.030	0.006	0.037	0.047	hipermetilado	10	105041668	INA	BD	shelf	Si
cg20106260	1.025	0.035	0.049	0.059	hipermetilado	11	72851913	FCHSD2	BD	shore	Si

cg08037817	1.005	0.039	0.047	0.057	hipermetilado	11	746956	TALDO1	TSS1500	island	Si
cg03917887	1.004	0.049	0.044	0.054	hipermetilado	9	130478109	PTRH1	TSS200	island	Si
cg23276238	1.001	0.006	0.038	0.048	hipermetilado	15	42783487		Intergenic	shore	Si
cg09987982	0.997	0.040	0.057	0.067	hipermetilado	3	48343027	NME6	5'UTR	island	Si
cg22146963	0.991	0.014	0.040	0.050	hipermetilado	18	657288	TYMS	TSS1500	shore	Si
cg20361154	0.987	0.005	0.024	0.034	hipermetilado	22	22862884	ZNF280B	5'UTR	island	Si
cg02522035	0.986	0.039	0.085	0.095	hipermetilado	16	78037098		Intergenic	opensea	Si
cg00157228	-0.984	0.038	0.940	0.930	hipometilado	9	138682403	KCNT1	BD	shore	Si
cg17607737	0.978	0.017	0.040	0.050	hipermetilado	11	67121107	POLD4	TSS200	island	Si
cg26894509	0.977	0.033	0.050	0.060	hipermetilado	2	86851090	RNF103	TSS200	island	Si
cg04441562	0.976	0.031	0.044	0.054	hipermetilado	5	79865276	ANKRD34B	5'UTR	island	Si
cg01732463	-0.976	0.034	0.970	0.960	hipometilado	16	85813304	COX4NB	3'UTR	opensea	Si
cg04212568	0.976	0.032	0.046	0.056	hipermetilado	12	123874243	SETD8	BD	island	Si
cg03481493	0.969	0.025	0.069	0.078	hipermetilado	11	117049410	SIDT2	TSS1500	island	Si
cg20751373	0.968	0.011	0.036	0.046	hipermetilado	10	52750756	PRKG1	TSS200	shore	Si
cg13909879	0.965	0.046	0.037	0.046	hipermetilado	4	85420999		Intergenic	shore	Si
cg20818337	0.964	0.022	0.042	0.052	hipermetilado	2	55277917	RTN4	TSS200	island	Si
cg08097157	-0.956	0.046	0.958	0.949	hipometilado	6	31080048	C6orf15	BD	opensea	Si
cg00366859	0.954	0.037	0.048	0.057	hipermetilado	12	49075798	KANSL2	5'UTR	island	Si
cg11285428	0.949	0.008	0.060	0.070	hipermetilado	11	36616266	C11orf74	1stExon	opensea	Si
cg03521085	-0.947	0.046	0.958	0.948	hipometilado	4	1219008	CTBP1	BD	island	Si
cg02639285	0.941	0.022	0.032	0.041	hipermetilado	8	91658767	TMEM64	TSS1500	island	Si
cg23242708	-0.940	0.021	0.939	0.930	hipometilado	2	3322335	TSSC1	BD	shore	Si
cg06375217	0.938	0.013	0.020	0.029	hipermetilado	17	7738487		Intergenic	island	Si
cg00043080	-0.936	0.035	0.957	0.947	hipometilado	19	40853155	PLD3	TSS1500	shore	Si
cg27442308	0.933	0.020	0.050	0.060	hipermetilado	13	95364675	SOX21	TSS1500	island	Si
cg16161825	0.926	0.025	0.960	0.969	hipermetilado	4	489953	ZNF721	5'UTR	shelf	Si
cg20252022	0.926	0.021	0.034	0.043	hipermetilado	12	77272172	CSR2P	5'UTR	shore	Si
cg03800500	0.922	0.022	0.064	0.073	hipermetilado	11	89956408	CHORDC1	1stExon	shore	Si
cg22834511	-0.922	0.043	0.968	0.958	hipometilado	2	8423122		Intergenic	opensea	Si
cg19907331	0.919	0.032	0.031	0.041	hipermetilado	13	48669293	MED4	TSS200	island	Si
cg26637795	0.916	0.040	0.057	0.066	hipermetilado	10	27793165	RAB18	TSS200	island	Si
cg06149604	0.912	0.018	0.023	0.032	hipermetilado	1	113933334	MAGI3	TSS200	island	Si
cg22935149	0.910	0.039	0.029	0.038	hipermetilado	22	38851884	KCNJ4	TSS1500	shore	Si
cg21546671	0.907	0.034	0.057	0.066	hipermetilado	17	46655387	HOXB4	1stExon	island	Si
cg26245531	0.904	0.007	0.034	0.043	hipermetilado	14	88459216	GALC	BD	island	Si
cg13114088	-0.903	0.040	0.977	0.968	hipometilado	2	158182996	ERMN	TSS1500	opensea	Si
cg13724383	0.901	0.049	0.939	0.948	hipermetilado	9	130265187	LRSAM1	3'UTR	opensea	Si
cg21343919	0.899	0.008	0.042	0.051	hipermetilado	20	46413743	SULF2	5'UTR	island	Si
cg18341081	0.896	0.035	0.039	0.048	hipermetilado	1	235813361	GNG4	TSS200	island	Si
cg12360113	0.896	0.015	0.049	0.058	hipermetilado	9	116102758	WDR31	TSS200	shore	Si
cg00653081	0.894	0.020	0.027	0.036	hipermetilado	17	27717927	TAOK1	TSS200	island	Si
cg15244223	0.894	0.036	0.041	0.050	hipermetilado	6	118228493	SLC35F1	TSS200	island	Si
cg06062940	0.893	0.048	0.071	0.080	hipermetilado	22	44287510	PNPLA5	BD	island	Si
cg14016587	-0.891	0.033	0.956	0.947	hipometilado	19	40433779	FCGBP	BD	shelf	Si
cg19302722	0.889	0.035	0.032	0.041	hipermetilado	2	119067753		Intergenic	opensea	Si
cg11642382	0.886	0.032	0.036	0.045	hipermetilado	7	145813066	CNTNAP2	TSS1500	island	Si
cg25250853	0.879	0.046	0.087	0.096	hipermetilado	2	85822726	RNF181	TSS200	island	Si
cg19546943	0.871	0.016	0.026	0.034	hipermetilado	19	11924860	ZNF440	TSS1500	shore	Si
cg02126603	0.866	0.023	0.039	0.048	hipermetilado	17	79455239		Intergenic	island	Si
cg18541904	0.863	0.010	0.034	0.042	hipermetilado	15	52043684	TMOD2	TSS200	island	Si
cg15456646	0.860	0.047	0.032	0.040	hipermetilado	14	60716665	PPM1A	5'UTR	island	Si
cg21875336	0.855	0.016	0.017	0.025	hipermetilado	6	79788099	PHIP	TSS200	island	Si
cg12986825	0.855	0.017	0.036	0.044	hipermetilado	16	3086994	LOC100128770	BD	shore	Si
cg03965044	0.849	0.015	0.034	0.042	hipermetilado	17	48712212	ABCC3	TSS200	island	Si
cg05512505	0.838	0.037	0.059	0.067	hipermetilado	19	7968863	MAP2K7	1stExon	island	Si
cg05600340	0.837	0.006	0.031	0.040	hipermetilado	12	120524786	CCDC64	BD	island	Si
cg06312136	0.835	0.032	0.028	0.036	hipermetilado	4	775927		Intergenic	island	Si
cg00671542	0.822	0.027	0.024	0.033	hipermetilado	9	111696524	IKBKAP	5'UTR	island	Si
cg00225917	0.818	0.030	0.964	0.972	hipermetilado	7	99668058	ZNF3	3'UTR	opensea	Si
cg21991830	0.817	0.043	0.040	0.048	hipermetilado	8	53626936	RB1CC1	1stExon	island	Si
cg02902442	0.817	0.024	0.039	0.047	hipermetilado	1	165894087		Intergenic	opensea	Si
cg07489123	0.815	0.025	0.048	0.056	hipermetilado	19	1812466	ATP8B3	TSS200	island	Si
cg09516144	0.814	0.013	0.037	0.045	hipermetilado	16	15982637	C16orf63	TSS200	island	Si
cg08315283	0.814	0.040	0.033	0.041	hipermetilado	14	35873392	NFKB1A	BD	island	Si

cg21725226	0.811	0.050	0.041	0.049	hipermetilado	2	202899283	FZD7	TSS200	island	Si
cg21782977	0.810	0.019	0.028	0.037	hipermetilado	18	9136603	ANKRD12	TSS200	island	Si
cg05039004	0.810	0.020	0.023	0.031	hipermetilado	1	29586299	PTPRU	BD	island	Si
cg21547690	0.807	0.039	0.035	0.043	hipermetilado	14	42077327	LRFN5	5'UTR	shore	Si
cg26847366	0.804	0.032	0.044	0.052	hipermetilado	6	42531657	UBR2	TSS200	shore	Si
cg06138027	0.804	0.016	0.017	0.025	hipermetilado	9	86596281	HNRNPK	TSS1500	shore	Si
cg08481732	0.799	0.039	0.041	0.049	hipermetilado	15	32323009	CHRNA7	BD	island	Si
cg09294589	-0.796	0.046	0.037	0.029	hipometilado	3	33155133	CRTAP	TSS1500	shore	Si
cg09386096	0.790	0.046	0.016	0.024	hipermetilado	19	19649054	CILP2	TSS200	island	Si
cg16967099	0.777	0.049	0.042	0.050	hipermetilado	18	30351472	KLHL14	5'UTR	island	Si
cg06118126	0.771	0.016	0.023	0.031	hipermetilado	20	19738589		Intergenic	island	Si
cg21402687	-0.769	0.035	0.969	0.962	hipometilado	3	184313390		Intergenic	opensea	Si
cg04204975	0.765	0.024	0.044	0.051	hipermetilado	11	61891341	INCENP	TSS200	island	Si
cg24292323	0.759	0.040	0.030	0.037	hipermetilado	22	38201137	H1F0	1stExon	island	Si
cg09852008	0.756	0.043	0.026	0.033	hipermetilado	1	10092689	UBE4B	TSS1500	island	Si
cg12741255	0.755	0.030	0.025	0.032	hipermetilado	20	13201844	ISM1	TSS1500	island	Si
cg09375871	0.752	0.036	0.027	0.034	hipermetilado	12	57146310	PRIM1	TSS200	island	Si
cg24983959	0.751	0.023	0.028	0.035	hipermetilado	11	57228377	RTN4RL2	BD	island	Si
cg01121072	0.748	0.043	0.071	0.079	hipermetilado	2	27579103	GTF3C2	5'UTR	shore	Si
cg00696003	0.738	0.031	0.020	0.027	hipermetilado	9	96793000	PTPDC1	TSS200	island	Si
cg00831358	0.733	0.036	0.020	0.027	hipermetilado	1	32254081		Intergenic	island	Si
cg21087962	0.731	0.036	0.020	0.027	hipermetilado	3	160283382	KPNA4	TSS200	island	Si
cg13311096	0.728	0.030	0.025	0.032	hipermetilado	8	74005566	C8orf84	TSS200	island	Si
cg20409282	0.727	0.049	0.029	0.036	hipermetilado	15	78832703	PSMA4	TSS200	island	Si
cg20779181	0.717	0.046	0.031	0.039	hipermetilado	6	40555323	LRFN2	TSS200	island	Si
cg23344136	-0.705	0.031	0.977	0.970	hipometilado	4	183686196	ODZ3	BD	opensea	Si
cg24330775	0.705	0.038	0.024	0.031	hipermetilado	19	49497177	GYS1	TSS1500	shore	Si
cg16930225	0.698	0.036	0.048	0.055	hipermetilado	17	56709284	TEX14	BD	opensea	Si
cg01836936	0.692	0.043	0.036	0.042	hipermetilado	17	21156233	C17orf103	BD	opensea	Si
cg19882685	0.691	0.048	0.033	0.040	hipermetilado	5	177541122	N4BP3	5'UTR	island	Si
cg13256993	0.689	0.034	0.022	0.029	hipermetilado	14	69658140		Intergenic	island	Si
cg16449476	0.686	0.039	0.028	0.035	hipermetilado	11	73472217	RAB6A	TSS200	island	Si
cg14894702	0.683	0.039	0.025	0.032	hipermetilado	15	83952309	BNC1	TSS200	island	Si
cg13470658	0.681	0.036	0.027	0.034	hipermetilado	3	150321009	SELT	TSS200	island	Si
cg01709288	0.658	0.012	0.020	0.026	hipermetilado	16	81111226	C16orf46	TSS1500	island	Si
cg26167583	0.656	0.017	0.022	0.028	hipermetilado	11	65625524	CFL1	BD	island	Si
cg26337277	0.653	0.048	0.034	0.041	hipermetilado	21	42879998	TMRSS2	TSS200	island	Si
cg08213098	0.638	0.047	0.027	0.033	hipermetilado	1	35395837		Intergenic	island	Si
cg04960781	0.635	0.028	0.042	0.049	hipermetilado	14	57322873	OTX2-AS1	BD	opensea	Si
cg16688232	0.624	0.021	0.023	0.029	hipermetilado	8	126010694	SQLE	TSS200	island	Si
cg23982151	0.608	0.049	0.029	0.035	hipermetilado	1	224371627	DEG51	BD	island	Si
cg16638648	0.602	0.045	0.031	0.037	hipermetilado	17	38083781	ORMDL3	1stExon	island	Si
cg07378821	0.599	0.032	0.019	0.025	hipermetilado	3	39425509	SLC25A38	BD	island	Si
cg01911352	0.559	0.047	0.021	0.026	hipermetilado	22	38302090	MICALL1	TSS1500	island	Si
cg00339430	-0.555	0.030	0.990	0.985	hipometilado	4	185975059		Intergenic	opensea	Si
cg09758595	0.548	0.038	0.020	0.026	hipermetilado	8	11141996	MTMR9	TSS200	island	Si
cg09789050	0.548	0.046	0.026	0.032	hipermetilado	5	61699876	DIMT1L	TSS200	island	Si
cg01001468	0.532	0.047	0.023	0.028	hipermetilado	16	79635425	MAF	TSS1500	island	Si
cg01036164	0.528	0.031	0.023	0.028	hipermetilado	15	40545324	PAK6	5'UTR	island	Si
cg23291732	0.511	0.037	0.019	0.024	hipermetilado	17	40169247	DNAJC7	TSS200	island	Si
cg01186777	0.508	0.041	0.012	0.017	hipermetilado	19	6531016	TNFSF9	5'UTR	island	Si

**Tabla Anexa 10. Análisis de enriquecimiento de vías de la Enciclopedia de Genes y Genomas de Kioto de los CpGs diferencialmente metilados del análisis extendido de metilación.**

Descripción	Tamaño	Valor de <i>p</i>	FDR	Vías incluidas en Tabla 4	Símbolo del gen
Adicción a morfina	91	1.82E-11	5.95E-09	Si	GABRB3, GABRB1, PDE3B, GABRR3, PDE4B, PDE4A, PRKACB, PRKG, PRKCB, PDE4D, PDE4C, PRKCA, OPRM1, GABRG3, ADCY9, PDE1C, PDE1B, PDE1A, CACNA1B, CACNA1A, ADCY2, ADCY1, ADCY8, GNA12, ADCY5, GNG10, PDE11A, GNG2, GRK5, GRK4, GNG4, GNG7, DRD1, GABRD, KCN3, GABRP, KCN15, GABBR2, GABRA1, GABBR1, KCN9, GABRAS, GABRA4, PDE2A, GABRA3, GNG12, PDE10A, PDE3A, GNAS, PDE7B, PDE7A
Sinápsis glutamatérgica	114	1.67E-09	2.73E-07	Si	GRIK5, GRIK3, GRIK4, GRK1, GRK2, GRM3, PPP3CA, GRMT, GRM6, GRM8, DLGAP1, PRKACB, PRKG, PLA2G4F, PRKCB, TRPC1, PLA2G4C, PRKCA, PLCB4, ADCY9, PLCB1, PLCB2, SHANK2, GRIA1, GRIA2, GLS2, SLC12A1, ITPR1, CACNA1A, SLC13A1, ITPR2, ADCY2, CACNA1C, ADCY1, PLD1, SLC14A6, ADCY8, GNA12, ADCY5, GNG10, GNG2, GNG4, GNG7, SLC17A6, SLC17A8, SLC38A3, GRIA3, KCN3, GRIA4, GNG12, GRIN2B, GRIN1, GRIN3B, GRIN3A, DLG4, GNAS
Sinapsis dopaminérgica	131	1.31E-08	1.4285E-06	Si	CALM6, CALML4, COMT, SLC6A3, PPP3CA, KIF5C, AKT3, KIF5A, CREB3L2, PRKACB, SCN1A, PRKG, PRKCB, PPP2R5B, PPP2R5A, PRKCA, PPP2R5C, FOS, PLCB4, PLCB1, PLCB2, ATF4, CREB5, CAMK2B, GRIA1, GRIA2, DDC, CACNA1B, ITPR1, CACNA1A, ITPR2, CACNA1C, ARNTL, GNA12, ADCY5, GNG10, GNG2, GNG4, GNG7, DRD1, DRD2, DRD3, GRIA3, KCN3, GRIA4, KCN5, KCN9, GNG12, GRIN2B, MAPK12, MAPK11, GNAL, PPP2R2C, CALY, PPP2R2B, PPP2R2D, PPP1R1B, GNA5, CALM3, CALM2
Ritmos circadianos	96	1.24E-07	1.0127E-05	Si	GRIA1, CAMK2B, RYR1, GRIA2, CALM6, ITPR1, ADCY2, CACNA1C, CALM4, ADCY1, ADCY8, CACNA1H, RYR3, CACNA1G, GNA12, ADCY5, CACNA1I, GNG10, GNG2, GNG4, GNG7, PRKACB, GRIA3, PRKG1, GRIA4, KCN3, KCN5, KCN9, GNG12, GRIN2B, MAPK12, MAPK11, GNAL, PPP2R2C, CALY, PPP2R2B, PPP2R2D, PPP1R1B, GNA5, CALM3, PLCB1, PLCB2, CALM2
Vía de señalización de MAPK	295	1.1456E-06	7.4692E-05	Si	FGF1, FGF3, FGF5, ELK4, RPS6KA3, RPS6KA2, AKT3, RPS6KA1, MAP3K8, MAP3K6, PRKACB, MAP3K5, PDGFRB, PRKCG, MAP2K4, DAXX, MEF2C, PRKCB, CACNA2D1, CACNA1D2, PRKCA, CACNA2D4, MAPK8IP1, CDC25B, CACNB3, CACNB4, MAP2K9, ATF4, CACNA1B, PDGFB, CACNA1A, TGFA, CACNA1C, CACNA1E, CACNA1H, STK3, CACNA1G, CACNA1I, CACNA1J, RRAS, PDGFC, CACNA1S, MAP2K7, FGFR2, MAP2K6, NGFR, HSP8, TGFBB1, BDNF, Igf2, BRAF, NFATC1, HSP2A, GNG12, NFKB2, EFNA2, FGF19, FGFR4, FGFR2, MAP3K12, FTL1, FTL4, RASGRF1, DUSP16, PPP3CA, MECOM, DUSP5, PLA2G4F, PLA2G4C, FOS, NGF, DUSP6, TGFBR2, PPP1A, MRA5, KIT, MAPT, SOS1, MET, EGR1, INS, CDC42, CACN68, MAPK7, ERBB3, NTF3, MKN2, GNA12, FLN, FLCN, CACNG2, CACNG3, MAP4K3, CACNG4, NTRK1, ANGPT4, HSPA1L, EGF, MAPK12, MAPK11, KITLG, TAOK1, FAS
Vía de señalización de Hippocampo	154	4.8445E-06	0.00018562	Si	WNT2B, WWCL1, ITGB2, FGF1, ACTG1, BBC3, SOX2, CCND3, CCND2, RASSF6, BTRC, TEAD1, TEAD2, YWHAG, TEAD4, WNT5A, CSNK1D, AXIN2, WNT16, YWHAZ, FRMD1, TGFBR2, FRMD6, PARD3, CRB2, CRB1, PRKCZ, STK3, NKD2, SAV1, WNT6, CTNNAS, CTNN2, WNT1, WNT3, TCF7L2, WNTW1, SMAD1, WNT10A, TCF7L1, TGFBI1, FZD2, WNT3A, FZD7, BMP8A, BMP8B, WNT7A, GDF6, BMP7, BMP6, GDF7, SMAD7, BMP4, DLG2, PPP2R2C, DLG3, PPP2R2B, DLG4, DLG5, PPP2R2D, BMPR1A, TP73
Acción, síntesis, secreción de hormonas paratiroides	106	1.0557E-05	0.00032152	Si	GCM2, LRP5, ITPR1, ITPR2, ADCY2, ADCY1, PTH1R, PLD1, ADCY8, EGFR, LRP6, GNA12, ADCY5, AKAP13, MMP25, RXRA, GNA11, GNA12, CREB3L2, PDE4B, PDE4A, RXRG, PRKACB, PRKG, SLC34A2, MEF2C, PRKCB, PDE4D, PDE4C, PRKCA, BRAF, FOS, RHOA, NR4A2, MAFB, PLCB4, ADCY9, CYP24A1, MMP16, MMP15, GNA5, PLCB1, PLCB2, ATF4, CREB5
Vías en cáncer	526	1.0849E-05	0.00032152	Si	CALM6, KEAP1, CALML4, FGF1, ET51, FGF3, FGF5, CCND3, EDNRB, CCND2, AKT3, PIM2, PRKACB, PDGFRB, PRKCG, TPM3, DAPK1, PRKCB, DAPK2, WNT5A, F2R, PRKCA, RUNX1, EML4, ADCY9, COL4A4, CNE1, ORAI1, NOTCH1, NOTCH2, CTCBP1, CTBP2, NOTCH4, CUL1, PDGFB, LPAR1, TGFA, MGST2, LPAR2, GST1, PLD1, WNT6, GNG10, TERT, PLCG1, WNT1, WNT3, FGF2, STAT5A, JAG2, CREBBP, WNT10A, TGFBI1, FZD2, JUP, WNT3A, ZBTB16, FZD7, Igf2, BRAF, GNG12, ESR2, NFKB2, BMP4, NFKBIA, CDK6, IL7, FGF19, MDM2, GNA5, CALM3, FGFR4, CALM2, FGFR3, FGFR2, BCL2L1, RET, ALK, CDKN1B, WNT2B, LAMC3, FTL4, PTEN, SLC2A1, PIK3CD, PIK3CB, BBC3, MECOM, BDKRB2, ITGAV, POLK, JAK3, APPL1, APAF1, GSTO2, DCC, ITGA2, FNGR2, MMP2, ARNT, FOS, AXIN2, WNT16, RHOA, DDB2, TGFBR2, RPL22, CACNA1, PLCB4, PIK3CA, TRAF3, KIT, RARA, CSK2, PPAR, BIRC7, PLCB1, SOS1, MET, PLCB2, CAMK2B, FH, HDAC2, RALB, LAMA2, LAMA1, LAMA3, PTGER3, LRP5, XMAP, ADCY2, ADCY1, CBL, ADCY8, EGFR, ADCY5, DIL3, LRP6, GNA12, COCA4, CACN68, MAPK7, ARNT, FOS, AXIN2, WNT16, HES1, BAK1, CTNN2A, RXXR6, NTRK1, TCF7L2, ARNT2, TCF7L1, CDKN2A, TXNRD2, EGF, WNT7A, MTOR, KITLG, RAD51, IL2RB, BAX, FAS
Vía de señalización de calcio	183	1.8326E-05	0.00049786	Si	RET, RYR1, OXTR, FLT1, CALM6, FLT4, ATP2A3, ATP2A2, CALM4, FGF1, ADRA1A, FGF3, RYR3, FGF5, PPP3CA, EDNRB, BDKRB2, PLC1, PRKACB, PDGFRB, PRKCG, PRKCB, MST1, F2R, TACR2, PHKA1, PRKA, AVPR1A, TACR1, NGF, IPKX, PLCB4, ADCY9, STIM1, ORAI3, ITPKA, VDAC1, PLCB1, MET, PLCB2, CAMK2B, PDE1C, PDE1B, RYR1, CHRNAT7, PTGER3, CACNA1B, ADCY8, CACNA1A, ADCY2, CACNA1B, ADCY8, CACNA1G, CACNA1C, CACNA1G, CACNA1C, CACNA1E, CACNA1I, ERBB3, TBX2A2, HHR2, GNA11, PDGFC, CACNA1S, DRD1, PLCG1, FGF22, NTRK1, EGFR, NTRK3, ATP2B2, HTR5A, MCOLN2, TPCN2, GRIN1, SLCB3A3, GNA1, GDNF, P2RX2, FGF19, GNA5, CALM3, FGFR4, CALM2, FGFR3, MCU, FGFR2
Guía del axón	175	5.6308E-05	0.0012238	Si	EPHB6, SEMASA, SEMAS5B, LRRCA4, ILK, PIK3CD, PIK3CB, ROBO1, PPP3CA, DPYSL5, CFL1, PLXNC1, NEO1, EPHB1, EPHB4, NCK1, SEMA6B, EPHA4, EPHA7, SEMA6A, UNCSA, DCC, EPHB4, TRPC1, WNT5A, PRKCA, RHOA, PIK3CA, PARD3, MET, NGF, EPHA3, EPHA4, SEMA4B, SEMA7A, SEMA3C, SEMA3A, SEMA3E, PRK2, GNA12, CDC42, EFNB1, ABLIM1, RRAS, SLT1, PAK6, SLT3, FYN, SRGP3, PLCG1, FGF22, NTRK4, SRGP1, PLXNA4, PAK4, NTNG1, NTNG2, SEMA4B, LIMK2, NFATC2, SEMA4G, BMP7, GDF7, EFNA2, PLXNB1
Vía de señalización de Oxitocina	152	6.3595E-05	0.0012906	Si	RYR1, OXTR, CALM6, PRKAG2, MYL6B, CALML4, RYR3, ACTG1, PPP3CA, PRKACB, PRKG, PLA2G4F, MEF2C, PRKCB, CACNA2D1, PLA2G4C, CACNA2D2, PRKCA, CACNA2D4, FOS, RHOA, CACNB2, CACNB3, CACNB4, PLCB4, ADCY9, PPP1R12B, PLCB1, PLCB2, CAMK2B, PRKAA2, ITPR1, ITPR2, ADCY2, CACNA1C, ADCY1, ADCY8, EGFR, CAMKK2, GNA12, PIK3R5, ADCY5, CACNG8, MAPK7, CACNA1S, CACNG2, CACNG3, CACNG4, KCN3, KCN4, KCN9, NFATC2, NFATC1, GNA5, CALM3, CALM2
Cardiomiopatía arritmogénica del ventrículo derecho	72	6.7303E-05	0.0012906	Si	LAMA2, ITGB5, LAMA1, ATP2A3, ATP2A2, CACNA1C, ACTG1, CACNG8, CDH2, DAG1, DMD, ITGAV, CTNNAS, CACNA1S, CTNN2A, AXIN2, ITGB6, CACNG2, CACNG3, CACNG4, TCF7L2, TCF7L1, JUP, ITGA4, ACTN2, CACNA2D1, ITGA2, ITGA1, CACNA2D2, CACNA2D4, SLCB3A3, CACNB2, CACNB3, CACNB4, ITGA11, PKP2
Sinapsis GABAérgica	88	0.000008083	0.0014639	Si	GABRB3, GABRB1, GLS2, CACNA1B, CACNA1A, ADCY2, CACNA1C, ADCY1, ADCY8, GNA12, ADCY5, GABRB3, GNG10, GNG2, GNG4, GNG7, CACNA1S, SLC38A3, GABRD, PRKACB, PRKG, GABR, GABARPL2, GABBR2, GABRA1, GABBR1, SLC12A5, PRKCB, GABRA5, GABRA4, GABRA3, GAD2, PRKCA, SLC6A11, GNG12, GABRG3, ADCY9
Síndrome de cushing	154	9.6789E-05	0.0016021	Si	SCARB1, CDKN1B, WNT2B, AHR, CREB3L2, PRKACB, WNT5A, ARNT, AXIN2, WNT16, PLCB4, ADCY9, CCNE1, CRH, API1, PLCB1, PLCB2, ATF4, CREB5, CAMK2B, FH, KMT2A, ITPR1, KCN44, ITPR2, ADCY2, CACNA1C, ADCY1, ADCY8, EGFR, CACNA1H, CACNA1G, GNA12, ADCY5, CRHR2, WNT6, CACNA1J, PDE11A, GNA11, CACNA1S, WNT1, LDR, WNT3, TCF7L2, WNT10A, TCF7L1, CDKN2A, FZD2, CDKN2A, WNT3A, FZD7, WNT7A, BRAF, PBX1, POMC, CDK6, GNA5
Señalización adrenérgica en cardiomocitos	144	9.8285E-05	0.0016021	Si	CALM6, ATP2A3, ATP2A2, CALML4, ADRA1A, AKT3, CREB3L2, PRKACB, TPM4, TPM3, CACNA2D1, TPM1, PPP2R5B, PPP2R5A, CACNA2D2, PRKCA, CACNA2D4, PPP2R5C, CACNB2, CACNB3, CACNB4, PLCB4, ADCY9, KCNQ1, TNNT2, PLCB1, SCN4B, PLCB2, MYH6, MYH7, ATF4, CREB5, CAMK2B, ADCY2, CACNA1C, ADCY1, ADCY8, GNA12, PIK3R5, ADCY5, CACNG8, CACNA1S, CACNG2, CACNG3, CACNG4, ATP2B4, ATP2B2, MAPK12, SLC8A3, MAPK11, PPP2R2C, PPP2R2B, PPP2R2D, GNA5, CALM3, CALM2
Sinapsis colinérgica	112	0.00012427	0.0019045	Si	CAMK2B, CHRNA3, CHRNAT7, CACNA1B, ITPR1, CACNA1A, PIK3CD, ITPR2, ADCY2, CACNA1C, ADCY1, PIK3CB, ADCY8, GNA12, PIK3R5, ADCY5, CACNA1B, GNG10, GNG2, GNG4, GNA11, GNG7, AKT3, CREB3L2, FYN, CACNA1S, PRKACB, SLC12A3, KCN3, PRKG, PRKCA, FOS, GNG12, PLCB4, ADCY9, PIK3CA, KCNQ2, KCNQ1, PLCB1, PLCB2, ATF4, CREB5

esis y secrección de aldoste	96	0.00012852	0.0019045	Si	<i>CAMK2B, SCARB1, CALML6, ITPR1, ITPR2, ADCY2, CACNA1C, CALML4, ADCY1, ADCY8, CACNA1H, CACNA1G, ADCY5, CACNA1I, GNA11, CREB3L2, CACNA1S, LDLR, PRKACB, PRKCG, KCNJ5, PRKCB, PRKCE, PDE2A, ATP2B4, PRKCA, ATP2B2, NR4A2, POMC, PLCB4, ADCY9, GNAS, CALM3, PRKD1, PLCB1, PLCB2, CALM2, ATF4, CREB5</i>
de señalización de fosfolípa	146	0.00014958	0.0021201	Si	<i>DGKG, DGKE, DGKD, PIK3CD, PIK3CB, GRM3, GRM7, GRM6, AKT3, GRM8, PDGFRB, PLA2G4F, PLA2G4C, F2R, TSC2, PRKCA, AVPR1A, RHOA, DNIM3, MRAS, PLCB4, ADCY9, PIK3CA, KIT, PLCB1, SOS1, PLCB2, AGPAT5, SHC4, RALB, PDGFB, LPAR1, LPAR2, ADCY2, ADCY1, PLD1, ADCY8, EGFR, INS, AGPAT4, PIK3R5, ADCY5, CYTH2, RRAS, CXCR1, GNA12, PDGFC, PIP5K1B, FYN, PLCG1, EGF, MTOR, KITLG, GNAS</i>
Vía de señalización de cAMP	199	0.00019549	0.0023603	Si	<i>OXTR, CALML6, PDE3B, ATP2A3, PIK3CD, ATP2A2, PIK3CB, CALML4, AKT3, CREB3L2, PDE4B, PDE4A, PLCE1, PRKACB, VAV3, GHSG, EDN2, PDE4D, PDE4C, F2R, FOS, SSTR1, RHOA, ADCYAP1, ADCY9, PIK3CA, FSHR, CRH, PPARA, CNGB1, CREB5, HCN4, CAMK2B, GRIA1, GRIA2, GIPR, PTGER3, ADCY2, CACNA1C, ADCY1, PLD1, ADCY8, GNAI2, ADCY5, CRHR2, RRAS, CACNA1S, DRD1, DRD2, GRIA3, GRIA4, GABBR2, CREBBP, GABBR1, HTR1E, BDNF, HTR1A, ATP2B4, HTR1B, BRAF, NFATC1, GCG, ATP2B2, GRIN2B, GRIN1, NFKBIA, POMC, GRIN3B, GRIN3A, PDE10A, SST, PPP1R1B, PDE3A, GNAS, CALM3, CALM2, HCN2</i>
Glioma	71	0.00033605	0.0035339	Si	<i>SHC4, CAMK2B, CALML6, PTEN, PDGFB, PIK3CD, TGFA, CALML4, PIK3CB, EGFR, AKT3, BAK1, PLCG1, POLK, PRKCG, PDGFRB, CDKN2A, PRKCB, EGF, PRKCA, BRAF, MTOR, DDB2, CDK6, PIK3CA, MDM2, BAX, CALM3, SOS1, CALM2</i>
Melanogénesis	101	0.00044601	0.004406	Si	<i>CAMK2B, WNT2B, CALML6, ADCY2, CALML4, ADCY1, ADCY8, GNAI2, ADCY5, WNT6, EDNRB, CREB3L2, WNT1, PRKACB, WNT3, PRKCG, TCF7L2, WNT10A, CREBBP, TCF7L1, FZD2, PRKCB, WNT3A, FZD7, WNT5A, WNT7A, PRKCA, WNT16, POMC, PLCB4, ADCY9, DCT, KIT, GNAS, CALM3, PLCB1, PLCB2, CALM2</i>
Infección de virus de papiloma humano	339	0.00048243	0.0046257	Si	<i>RBPI, COMP, CCND3, CCND2, AKT3, CREB3L2, TNR, PRKACB, MAGI1, PDGFRB, HES7, WNT5A, TSC2, COL4A2, CCNE1, TBPL2, COL4A4, MFNG, PARD3, MAML3, IFNAR1, NOTCH3, NOTCH1, NOTCH4, PRK CZ, WNT6, TERT, WNT1, ATP6V1D, ATP6V1C1, WNT3, CREBBP, WNT10A, FZD2, WNT3A, FZD7, DLG2, CDK6, DLG3, ITGA11, COL9A1, MDM2, GNAS, ATR, CDKN1B, WNT2B, ITGB5, LAMC3, PTEN, PIK3CD, TCIRG1, PIK3CB, OASL, LFNG, ITGAV, ITGB6, ITGA4, ITGA2, ITGA1, PPP2R5B, PPP2R5A, AXIN2, TYK2, PPP2R5C, WNT16, CCA1, PKM, IRF3, PIK3CA, TRAF3, COL6A1, SOS1, ATP6VOC, ATP6V1B1, CREB5, HDAC2, TNXB, LAMA2, LAMA1, LAMA3, THBS4, EGFR, THBS3, CDC42, RELN, HES1, BAK1, HES3, HES4, TCF7L2, TCF7L1, EGF, WNT7A, MTOR, PPP2R2C, PPP2R2B, PPP2R2D, BAX, FAS, CSNK1A1, CRB3</i>
Vía de señalización de GnRH	93	0.00069011	0.0060804	Si	<i>CAMK2B, CALML6, ITPR1, ITPR2, ADCY2, CACNA1C, CALML4, ADCY1, PLD1, ADCY8, EGFR, ADCY5, CDC42, MAPK7, GNA11, CACNA1S, MAP2K7, PRKACB, MAP2K6, MAP2K4, PLA2G4F, PRKCB, MMP2, PLA2G4C, PRKCA, MAPK12, MAPK11, PLCB4, ADCY9, GNAS, CALM3, PLCB1, SOS1, PLCB2, CALM2, ATF4</i>
Proteoglicanos en cáncer	201	0.0008333	0.0071488	Si	<i>WNT2B, ITGB5, IHH, PIK3CD, PIK3CB, ACTG1, AKT3, PLCE1, ITGAV, PRKACB, PRKCG, VAV3, PRKCB, ITGA2, MMP2, WNT5A, FRS2, MIR21, PRKCA, ANK3, WNT16, NUDT16L1, ANK1, RHOA, MRAS, PIK3CA, CTTN, EZR, PPP1R12B, SOS1, MET, CD44, CAMK2B, DDX5, SDC2, ITPR1, ITPR2, CBL, EGFR, CDC42, WNT6, ERBB3, RRAS, FLNB, FLCNC, PLCG1, WNT1, WNT3, EIF4B, WNT10A, TGFBI, FZD2, CAV3, WNT3A, FZD7, CAV1, IGF2, WNT7A, MSN, BRAF, MAPK12, MTOR, MAPK11, TFAPI4, MDM2, PDCD4, FAS, HPSE</i>
Secreción y síntesis de cortisol	64	0.0016418	0.01338	Si	<i>SCARB1, ITPR1, KCNA4, ITPR2, ADCY2, CACNA1C, ADCY1, ADCY8, CACNA1H, CACNA1G, ADCY5, CACNA1I, GNA11, CREB3L2, CACNA1S, LDLR, PRKACB, PBX1, POMC, PLCB4, ADCY9, GNAS, PLCB1, PLCB2, ATF4, CREB5</i>
Cáncer gástrico	149	0.0030962	0.018135	Si	<i>CDKN1B, WNT2B, PIK3CD, PIK3CB, FGF1, FGF3, FGF5, AKT3, POLK, WNT5A, AXIN2, WNT16, TGFB2, DDB2, PIK3CA, CCNE1, SOS1, MET, SHC4, ABCB1, LRP5, EGFR, LRP6, WNT6, RXRA, TERT, CTNNAA3, BAK1, CTNNAA2, WNT1, RXRG, WNT3, FGF22, TCF7L2, WNT10A, TCF7L1, TGFB1, FZD2, JUP, CDX2, EGF, WNT3A, FZD7, WNT7A, BRAF, MTOR, FGF19, BAX, CSNK1A1, FGFR2</i>

**Tabla Anexa 11. Regiones diferencialmente metiladas entre pacientes con obesidad y diabetes tipo 2 y pacientes con obesidad y sin diabetes tipo 2 en el análisis extendido de metilación.**

Chr	Inicio de DMR	Final de DMR	Ancho de DMR	CpGs en DMR	Valor de <i>p</i> del área de la DMR	Gen asignado	Estado de metilación en OD	Localización genómica	Contexto con isla CpG	DMRs incluidas en Tabla 3
18	74960629	74962369	1740	31	0.0005856	<i>GALR1</i>	hipometilado	TSS, 1stExon, 5'UTR	shore/island	Si
2	30669385	30670025	640	10	0.0008331	<i>LCLAT1</i>	hipermetilado	TSS	shore	Si
11	35440439	35442225	1786	19	0.0014971	<i>SLC1A2</i>	hipometilado	TSS, 5'UTR, 1stExon, BD	shore/island	Si
6	101846603	101847656	1053	19	0.0018291	<i>GRIK2</i>	hipometilado	TSS, 1stExon, 5'UTR	shore/island	Si
1	108735312	108735893	581	8	0.0022939	<i>SLC25A24</i>	hipometilado	TSS, 5'UTR	shore/island	Si
2	31805915	31806898	983	14	0.0050285	<i>LCLAT1</i>	hipometilado	TSS	shore/island	Si
5	135415693	135416613	920	13	0.0064894	<i>Intergenic/MIR886</i>	hipometilado	Intergenic/TSS	shore/island	Si
11	34460140	34460856	716	13	0.0068274	<i>CAT</i>	hipometilado	TSS, 1stExon, BD	shore/island	Si
10	106028297	106029358	1061	14	0.0073043	<i>GSTO2</i>	hipometilado	TSS, 5'UTR	shore/island	Si
19	33210464	33210851	387	9	0.0082762	<i>TDRD12</i>	hipometilado	TSS, 5'UTR	island	Si
17	4802266	4803053	787	11	0.0083366	<i>C17orf107/CHRNE</i>	hipometilado	TSS1500, BD	island	Si
11	92702507	92703536	1029	11	0.0084151	<i>MTNR1B</i>	hipometilado	TSS, 1stExon, BD	shore/island	Si
14	24779793	24780734	941	12	0.0090912	<i>LTB4R2/LTB4R</i>	hipometilado	1stExon, 5'UTR, BD	shore/island	Si
8	49647579	49648297	718	9	0.0101053	<i>EFCAB1</i>	hipometilado	TSS, 5'UTR, 1stExon, BD	island	Si
2	74726478	74727010	532	10	0.0107332	<i>LBX2</i>	hipometilado	TSS200, 1stExon, BD	island	Si
3	195489708	195490309	601	8	0.0112764	<i>MUC4</i>	hipometilado	BD	shore/island	Si
19	57018933	57019373	440	8	0.0118258	<i>ZNF471</i>	hipometilado	TSS, 1stExon, 5'UTR	island	Si
19	36024217	36024876	659	11	0.0152486	<i>GAPDHS</i>	hipometilado	TSS200, 5'UTR, 1stExon, BD	island	Si
5	56204405	56205094	689	8	0.0172648	<i>SETD9/C5orf35</i>	hipometilado	TSS	shore	Si
12	133186923	133187452	529	6	0.0186713	<i>LRCOL1/Intergenic</i>	hipometilado	TSS200/Intergenic	shore/island	Si
1	47691158	47691845	687	8	0.0216715	<i>TAL1</i>	hipometilado	5'UTR, BD	island	Si
12	65562873	65563159	286	6	0.0234644	<i>LEMD3</i>	hipometilado	TSS	shore	Si
10	71811927	71812332	405	8	0.0308110	<i>H2AFY2</i>	hipometilado	TSS	shore/island	Si
5	131281008	131281504	496	7	0.0342700	<i>MEIKIN/Intergenic</i>	hipometilado	TSS200/Intergenic	island	Si
2	220107847	220108496	649	8	0.0345839	<i>GLB1L</i>	hipometilado	1stExon, 5'UTR, BD	shore/island	Si
19	54290902	54291194	292	8	0.0354291	<i>MIR372</i>	hipometilado	TSS, BD	open_sea	Si
15	99789622	99790022	400	8	0.0377471	<i>TTC23</i>	hipermetilado	TSS200, EB, 1stExon	shore	Si
5	131593104	131593413	309	6	0.0385923	<i>PDLIM4</i>	hipometilado	TSS, 5'UTR	island	Si
4	3464870	3465064	194	7	0.0390631	<i>DOK7</i>	hipometilado	TSS, 5'UTR	island	Si
3	48632568	48632783	215	6	0.0449307	<i>COL7A1</i>	hipometilado	TSS200, 1stExon	island	Si
5	172385641	172385878	237	7	0.0473212	<i>LOC100268168</i>	hipometilado	BD	island	Si
6	28129442	28129656	214	6	0.0496574	<i>ZNF389</i>	hipometilado	TSS200, 1stExon	open_sea	Si

